

COMUNE DI FINALE EMILIA (MO)

**PROGETTAZIONE E REALIZZAZIONE DI OPERE
PER ADEGUAMENTO EDIFICIO SCOLASTICO ESISTENTE
SCUOLA PRIMARIA "CASTELFRANCHI"**

PROGETTO PRELIMINARE



IL R.U.P.

Ing. Manuela Manenti

IL PROGETTISTA

Arch. Alfiero Moretti

GRUPPO DI PROGETTAZIONE

Arch. Filippo Giacomini
Ing. Graziella Moro
Ing. Susanna Orsi
Ing. Andrea Parenti
Ing. Romano Russo
Ing. Anna Schito

ELABORATO:

RELAZIONE GEOLOGICA GEOTECNICA E SISMICA

Bologna, Febbraio 2016

SCALA:

--

B2

PROGETTO ESECUTIVO LAVORI COMPLEMENTARI

COMUNE DI FINALE EMILIA

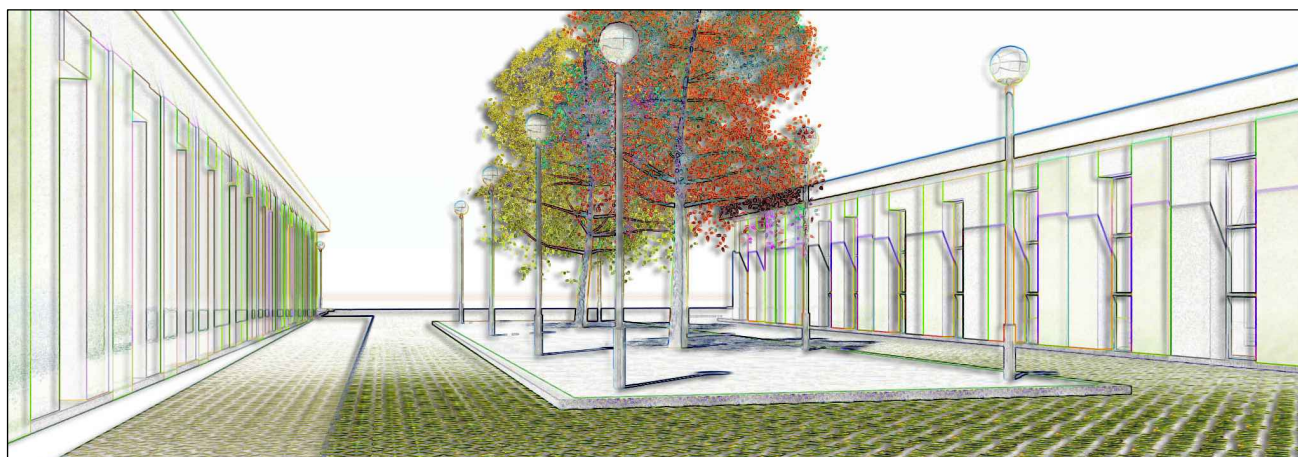
Provincia di Modena

LOTTO N°.

16

D.C.R. n. 1741 DEL 23 SETTEMBRE 2014

LAVORI COMPLEMENTARI SCUOLA PRIMARIA "CASTELFRANCHI" E SCUOLA SECONDARIA I GRADO "FRASSONI"
MEDIANTE PROCEDURA NEGOZIATA AI SENSI DELL'ART. 57 II, comma 5 lett. a) del D.Lgs. n. 163/2006



Impresa Esecutrice: ATI

Capogruppo Mandataria:



C.M.C. - Cooperativa muratori
cementisti Ravenna
Via Trieste 76 48122 Ravenna
tel. +39 0544 428111
fax +39 0544 428554
cmc.cmc@cmcra.com

timbro e firma

Mandanti:



AR.CO. LAVORI s.c.c.
Via Negrini,1 4123 Ravenna
Tel. 0544/453853 Fax. 0544/450337
Mail: arcolavori@arcolavori.com

timbro e firma

Progettazione Interna:



C.M.C. - Cooperativa muratori
cementisti Ravenna
Via Trieste 76 48122 Ravenna
tel. +39 0544 428111
fax +39 0544 428554
cmc.cmc@cmcra.com

Progettista e responsabile delle varie specializzazioni nonché
responsabile coordinamento e integrazione tra le varie prestazioni
specialistiche

Ing. Gian Luca Menchini

timbro e firma

Elaborato:

**RELAZIONE GEOLOGICA E SULLA
RISPOSTA SISMICA LOCALE**

RESPONSABILE DEL PROCEDIMENTO:

Ing. MANUELA MANENTI

timbro e firma

C.S.E.:

timbro e firma

Consulenza alla Progettazione:

EU.LE.RO. ENG

VIA DEI BERIO 88 - ROMA (RM)

DIREZIONE LAVORI:

Ing. ANTONIO LIGORI

timbro e firma

COMUNE DI FINALE EMILIA
PROVINCIA DI MODENA

REALIZZAZIONE DI EDIFICI
SCOLASTICI TEMPORANEI

COMMITTENTE: COMUNE DI FINALE EMILIA

RELAZIONE GEOLOGICA-GEOTECNICA E SISMICA



DOTT. GEOL. ALESSANDRO MACCAFERRI
V.LE CADUTI IN GUERRA 1- 41121 MODENA
☎ 059-226540

LUGLIO 2012

**DOTT. ALESSANDRO MACCAFERRI
- GEOLOGO -****Studio:**

V.le Caduti in Guerra 1
41121 Modena

Tel: 059-226540 - Fax: 059-4398943

Cell. 335-7053511 - E-mail: maccafe@tin.it

Modena 31/07/2012

**RELAZIONE GEOLOGICO-GEOTECNICA
E SISMICA**

PROGETTO: Progetto per la costruzione di edifici scolastici temporanei - EST

REGIONE: Emilia Romagna

PROVINCIA: Modena

COMUNE: Finale Emilia

LOCALITA': Capoluogo

UBICAZIONE: Via Rovere

IDENTIFICAZIONE CATASTALE: Foglio 67, mappale 32

COMMITTENTE: Comune di Finale Emilia

RIFERIMENTO NORMATIVO: D.M. 11/03/88 N. 47 - Circ. Min. Infr. 617/2009
D.M. 14/01/2008

RELAZIONE REDATTA AD USO: Pratica edilizia

. PREMESSA

Su incarico della committenza, Amministrazione Comunale di Finale Emilia, si è provveduto alla stesura della presente relazione geologico-geotecnica e sismica inerente il progetto per la costruzione di strutture scolastiche temporanee, su un'area ubicata in via Rovere, nel comune di Finale Emilia, considerato che le scuole esistenti, in seguito ai recenti sisma del 20 e 29 maggio che hanno colpito tale zona, hanno subito gravi danni e quindi sono inagibili.

Lo studio è stato condotto nel rispetto delle normative vigenti in materia, D.M. 11.03.1988, con riferimento specifico agli aspetti sismici, recentemente introdotti dal D.M. 14/09/2005, come sostituito dal D.M. 14/01/2008, entrato definitivamente in vigore dal 1 luglio 2009.

Per l'adempimento delle specifiche in esso contenute è stato eseguito in data 19/07/2012 un sopralluogo sull'area al fine di verificarne l'idoneità geologica e geomorfologica.

Scopo dello studio, in questa fase progettuale, è stato, oltre quello di definire il quadro geologico generale, soprattutto quello di verificare le caratteristiche litostratigrafiche, geotecniche e sismiche dei terreni che saranno interessati dalle nuove costruzioni, in modo da permettere ai tecnici progettisti, che saranno incaricati, una corretta scelta fondazionale ed un altrettanto corretto dimensionamento delle fondazioni stesse, in relazione soprattutto alle interazioni che saranno indotte dall'intervento edilizio in progetto.

Per la caratterizzazione litostratigrafica e geotecnica dei terreni di sottofondazione, durante il sopralluogo, sono state eseguite tre prove penetrometriche statiche, spinte sino alla profondità massima di 20 m dall'attuale piano di campagna; le prove effettuate sono state poi confrontate con altre prove eseguite in zona, in occasione di precedenti interventi edilizi, rilevando una sostanziale omogeneità della situazione.

Al fine poi di classificare da un punto di vista sismico i terreni presenti, durante il sopralluogo, si è effettuata un'apposita indagine geofisica, consistita nella esecuzione di una linea sismica MASW, la quale ha permesso di determinare la V_{s30} , velocità delle onde di taglio nei primi 30 m di profondità, e quindi la categoria di suolo di fondazione interessato dai futuri interventi edilizi, mediante la quale si sono ricavati i relativi fattori di amplificazione stratigrafica.

La relazione si articola nel seguente modo:

- A) INQUADRAMENTO GEOGRAFICO E AMBIENTALE

- A1) INQUADRAMENTO GEOGRAFICO
- A2) INQUADRAMENTO GEOLOGICO

- B) CARATTERIZZAZIONE AREA D'INTERVENTO

- B1) DESCRIZIONE DEL PROGETTO
- B2) INDAGINE GEOGNOSTICA E MODELLO GEOLOGICO
- B3) CLASSIFICAZIONE SISMICA
- B4) CARATTERIZZAZIONE GEOTECNICA

- C) CONCLUSIONI

ALLEGATI

A) INQUADRAMENTO GEOGRAFICO E AMBIENTALE

. A1) INQUADRAMENTO GEOGRAFICO

L'area esaminata, sulla quale è in progetto la realizzazione degli edifici temporanei ad uso scolastico, si colloca nella zona nord del centro abitato di Finale Emilia, più precisamente ubicata lungo la via comunale Rovere; siamo nella fascia di bassa pianura modenese ad una quota media di circa 11-12 metri sul livello del mare.

Cartograficamente l'area è compresa nella Tavola in scala 1:25.000 della C.T.R. n. 184SE denominata "Finale Emilia" (Allegato 1) e nell'Elemento sempre della C.T.R. in scala 1:5.000 n.184161 denominato "Finale Emilia est" (Allegato 2).

Catastralmente l'area è identificata nel Foglio 67, mappale 32 (Allegato 6) del catasto urbano del Comune di Finale Emilia (Mo).

.A2) INQUADRAMENTO GEOLOGICO

L'area in studio appartiene alla bassa pianura modenese, collocandosi da un punto di vista geologico nella parte centro-meridionale del grande bacino subsidente plio-quadernario Padano.

In particolare si colloca in quella zona caratterizzata dalla presenza di depositi alluvionali riferibili sia al fiume Panaro, che scorre poco a est dell'area in esame, sia al fiume Po, che in epoche passate scorreva da queste parti (Figura 1).

Litologicamente i terreni presenti sono rappresentati prevalentemente da sequenze superficiali di limi e argille, e relativi termini intermedi, che sormontano, con variabili spessori strati più grossolani, costituiti da sabbie e sabbie limose, sedi di acquiferi importanti sia verticalmente che arealmente.

Nell'area in esame risultano presenti superficialmente terreni sabbiosi ed argillosi della Piana alluvionale, come indicato nella Carta geologica della RER riportata in allegato 3, come confermato dalle prove penetrometriche eseguite, che evidenziano una copertura fine, argillosa e limosa, variabile di spessore tra i 10 e i 13 metri, per poi rilevare, in profondità e fino ai 20 m indagati, terreni grossolani, rappresentati da sabbie e sabbie limose.

In generale vi è da notare che i terreni più grossolani, prevalentemente sabbiosi, corrispondono in generale alle zone topograficamente più rilevate e rappresentano paleoalvei dei fiumi principali Po, Panaro, o di altri corsi minori mentre quelli argillosi sono riferibili a zone di valle.

Lo spessore dei materiali alluvionali è di diverse centinaia di metri, tendente ad aumentare man mano che si procede verso nord.

Tali terreni, di età compresa tra il Pleistocene medio e superiore e l'Olocene, appoggiano su di un substrato, affiorante a Sud verso il margine collinare, costituito da formazioni marine impermeabili di natura argillosa di età plio-pleistocenica media, le quali per motivi strutturali vengono rapidamente ribassate a Nord dell'allineamento Sassuolo-Maranello-Vignola e ricoperte appunto dalle alluvioni della conoide fluviale.

La fase continentale di riempimento è stata infatti preceduta da una fase marina nel pliocene superiore-pleistocene inferiore, quando l'intera Pianura Padana era ancora sommersa e costituiva un grande golfo del mare Adriatico, nel quale si raccoglievano e si depositavano i sedimenti provenienti dall'erosione delle catene alpina e appenninica.

La copertura alluvionale di spessore pari ad alcune centinaia di metri, di età pleistocenica ed olocenica, poggia su un substrato marino costituito da terreni argillosi, argillo-sabbiosi e marnosi di età miocenica e plio-pleistocenica.

La conoscenza dei terreni presenti e delle strutture che l'interessano, è nota dalle prospezioni effettuate dopo gli anni '50 per la ricerca di idrocarburi e dai pozzi per lo sfruttamento di questi ultimi (AGIP 1959, ENI 1969).

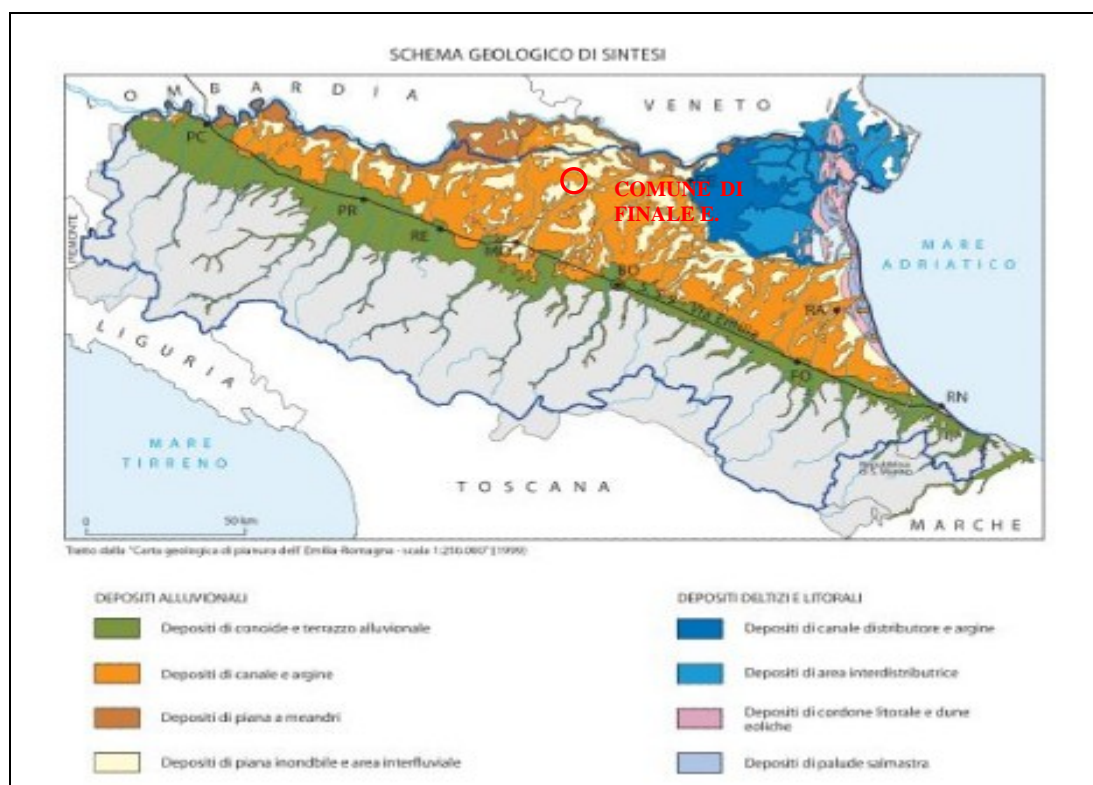


Figura 1: Schema geologico di sintesi della pianura emiliano-romagnola.

Il substrato, costituito da terreni marini, forma immediatamente a nord del territorio una particolare struttura positiva (anticlinale) che determina un inarcamento dei terreni (per piegamento) del substrato stesso verso l'alto, formando pertanto una specie di "collina sepolta". Questa struttura, nota con il nome di "Dorsale Ferrarese", continua verso W a Novi e Reggiolo, verso E a Ferrara e le Valli di Comacchio.

Tale struttura tettonica condiziona fortemente la copertura alluvionale di questo settore della pianura padana in cui si registrano spessori dei depositi variabili da meno di 100 metri in corrispondenza della dorsale, a oltre 300 metri presso il limite territoriale Sud, con dislocazioni (faglie) che anche attualmente hanno interessato la copertura alluvionale stessa (Gasperi e Pellegrini, 1968). Anche lo spessore della successione plio-pleistocenica, cioè dei sedimenti che si sono depositati negli ultimi 5 milioni di anni, risulta abbastanza variabile: da oltre 5.000 m nella zona più meridionale esso si riduce in corrispondenza della cerniera della dorsale ferrarese, fino a meno di 1.000 metri.

I movimenti ad essa connessi e tuttora attivi, che hanno originato i recenti sisma del 20 e 29 maggio, hanno condizionato in epoche passate la configurazione della rete idrografica naturale: ad esempio il Fiume Po passava sino ad epoche geologiche molto recenti (e forse storiche o preistoriche) nella bassa modenese fino anche a Soliera, tanto che alcuni percorsi sono ancora riconoscibili sulle fotografie aeree.

Nello specifico il territorio del comune di Finale Emilia appartiene alla regione delle Pieghe Padane contraddistinte da una successione di sinclinali ed anticlinali con vergenza appenninica fagliate e sovrascorse sul fianco nord. Queste strutture tettoniche sono ulteriormente suddivise nelle sottoregioni delle Pieghe Romagnole, Emiliane, e Ferraresi; quest'ultime rappresentano

l'elemento strutturale più complesso, con andamento circa EW dal ferrarese a Camurana – Novi e direzione SW-NE da Novi a Bagnolo in Piano, per poi approfondirsi gradualmente verso NO. Nel sottosuolo dell'area di Finale Emilia – S.Felice sul Panaro si rinviene l'ala settentrionale dell'anticlinale Ferrarese, che poco a ovest raggiunge una delle massime culminazioni assiali con quote del tetto del quaternario marino a -100 /-200 m dal piano campagna.

I movimenti tettonici che hanno interessato la regione delle pieghe pedeappenniniche risultano essersi verificati anche in tempi recenti, denunciando un'attività neotettonica confermata anche dalle migrazioni verso ovest dei fiumi che hanno attraversato l'area.

Morfologicamente l'area d'intervento si presenta pianeggiante, tale da permettere uno sviluppo edilizio del progetto proposto senza particolari problemi; l'area, attualmente agricola, si colloca in una zona piana, a nord del centro abitato, caratterizzata da bassissime differenze di quota, per la quale non si ravvisano particolari problematiche.

La morfologia dell'area, tipica della fascia di bassa pianura modenese risulta interessata solo localmente, a larga scala, da dossi e avvallamenti, che testimoniano le antiche divagazioni dei corsi d'acqua; l'andamento risulta quasi perfettamente pianeggiante con pendenze molto basse verso N-NE, nell'ordine del 1-2 per mille con quote medie di 11-12 m s.l.m.

Da un punto di vista idrogeologico è presente una falda freatica superficiale, contenuta nei livelli granulometricamente più grossolani, come rilevato durante l'esecuzione dei sondaggi penetrometrici. Nello specifico dei terreni indagati si rileva la presenza di strati più grossolani, sabbiosi e sabbio-limosi, che contengono una falda in pressione, modesta con bassi valori di trasmissività e comunque non intercomunicanti con le falde più profonde.

Tale falda presenta livelli statici che mediamente si attestano a modesta profondità dal piano campagna mediamente compresi tra 2-4 metri.

Nello specifico si è misurato il livello all'interno dei fori di prova rilevando una profondità di 2,20 m dal piano campagna.

In relazioni alle probabili escursioni di tale livello, alimentato direttamente per infiltrazione superficiale, non si esclude, che esso possa interagire, in modo discontinuo, con le fondazioni degli edifici in progetto.

In ogni caso, dato le caratteristiche litologiche-stratigrafiche prima descritte, si esclude che detta falda freatica possa risultare in comunicazione diretta con le sottostanti falde acquifere profonde; tale falda trova oggi scarsa utilizzazione in relazione alla sua pessima qualità, sia dal punto di vista biologico che chimico, venendo usata più che altro per innaffiare e comunque in nessun caso si fa uso idropotabile.

Nell'area in esame il drenaggio superficiale è assicurato dalla capillare presenza della rete fognaria urbana e più in generale, fuori dal centro abitato, dalla rete di fossi di campagna, che, con andamento SW-NE, creano complessivamente buone condizioni di deflusso delle acque.

In zona si rileva la presenza immediatamente a est dell'area del fiume Panaro e più in generale di altri fossi cavi minori anonimi.

Nello specifico del lotto in esame, pur presentandosi ribassato rispetto al piano stradale, non si sono riscontrati problemi di ristagno idrico delle acque di precipitazione, non rilevando forme depresse o chiuse che rendono difficoltoso il drenaggio superficiale, che potrebbero provocare un peggioramento delle caratteristiche meccaniche dei terreni presenti.

In relazione alle quote altimetriche dell'area con quelle idrometriche del fiume Panaro, la zona sarebbe da ritenere, in prima analisi, esondabile; si ritiene però tale evento molto improbabile sia per i lavori di sistemazione e potenziamento degli argini effettuati negli ultimi anni, sia per la presenza a monte, in località S.Anna, delle casse di espansione.

. B) CARATTERIZZAZIONE AREA D'INTERVENTO

.B1) DESCRIZIONE DEL PROGETTO

L'intervento in progetto consiste nella costruzione di edifici temporanei ad uso scolastico, da posizionare all'interno dell'area individuata dall'Amministrazione, lungo via Rovere, nella zona nord del centro abitato di Finale Emilia, tenuto conto che in seguito ai sisma del 20 e 29 maggio, che hanno colpito tale zona, le scuole esistenti non sono più agibili, a causa degli ingenti danni subiti.

L'area individuata si colloca in una zona agricola, a ridosso dell'area urbana già ampiamente edificata, per la quale non si riscontrano problematiche particolari; le strutture per le nuove scuole, saranno posizionate su fondazioni in cemento armato.

In allegato 6 è riportata la planimetria catastale dell'area d'intervento con relativa ubicazione delle tre prove penetrometriche eseguite e della linea sismica.

. B2) INDAGINE GEOGNOSTICA E MODELLO GEOLOGICO

Prove Penetrometriche

In data 19/07/2012 si è provveduto ad eseguire un'indagine geognostica sull'area in oggetto, al fine di valutare le caratteristiche litostratigrafiche e geotecniche dei terreni che saranno interessati dall'intervento in progetto.

L'indagine è stata sviluppata mediante l'esecuzione di tre prove penetrometriche, che in relazione alle presumibili caratteristiche granulometriche dei terreni del primo sottosuolo, sono state effettuate con infissione statica; i dati delle prove sono stati successivamente confrontati con quelli di altre prove, eseguite in zone adiacenti a quella in esame, in occasione di altri e precedenti interventi edilizi, rilevando una sostanziale omogeneità.

L'ubicazione delle prove eseguite compare nella planimetria riportata in allegato 6, mentre i diagrammi penetrometrici, unitamente ai tabulati di campagna sono riportati in allegato 7.

Le prove che hanno raggiunto una profondità massima di 20 m dal p.d.c., sono state eseguite in campagna utilizzando un penetrometro statico olandese Gouda da 10 tonnellate, automontato, impiegando per la perforazione una punta "Friction Jacket Cone" avente un'area di 10 cmq e un angolo alla punta di 60 gradi.

I dati acquisiti attraverso una cella estensimetrica di carico hanno permesso di determinare ogni 20 cm d'avanzamento della punta, i valori, calcolati mediante elaborazione automatica, della resistenza penetrometrica alla punta (R_p), espressi in Kg/cm^2 , i valori della resistenza laterale locale (R_l), sempre espressi in Kg/cm^2 , nonché i valori della resistenza laterale totale (punta + manicotto), sempre in Kg/cm^2 .

Nei diagrammi penetrometrici, sempre in allegato al presente studio, sono state riportate, per semplicità di lettura, mediante plotter interfacciato con l'elaboratore, solamente due curve e precisamente:

- a sinistra, la curva della resistenza penetrometrica alla punta (R_p : pressione di rottura del terreno), espressa in Kg/cm^2 ;
- a destra, la curva del rapporto tra la resistenza alla punta e la resistenza laterale (R_l espressa in Kg/cm^2).

Le prove sono state spinte sino alla profondità di 20 m dal piano campagna, ritenuta più che sufficiente per gli edifici in progetto, anche in riferimento alla individuazione di eventuali strati liquefacibili.

L'elaborazione dei valori di resistenza all'infissione caratteristici dei vari livelli del sottosuolo, fornisce utili informazioni per il riconoscimento di massima della litologia dei terreni attraversati, sulla base del rapporto R_p/R_l (qc/fs) fra la resistenza alla punta e la resistenza laterale (Rapporto di Begemann 1965 – Raccomandazioni AGI) ovvero sulla base dei valori di R_p e del rapporto $F_r=R_l/R_p\%$ (Schemertmann 1878).

Analogamente i dati geognostici raccolti sono stati elaborati suddividendo il terreno in strati omogenei per caratteristiche litologiche e geotecniche, determinando per ognuno i valori minimi, medi e massimi dei principali parametri geotecnici, ottenuti mediante ormai note correlazioni empiriche, il tutto come riportato di seguito.

Successione stratigrafica

L'elaborazione delle prove penetrometriche eseguite e la correlazione delle stesse con altre indagini eseguite in zone circostanti, ha permesso di ricostruire il modello geologico del primo sottosuolo dell'area in esame. In generale si rileva una copertura fine, argillosa e limosa, variabile di spessore tra gli 10 e 13 metri, per poi rilevare, in profondità e fino ai 20 m indagati, terreni più grossolani, rappresentati da sabbie e sabbie limose.

Nello specifico dei terreni indagati si evidenzia la presenza delle seguenti unità litotecniche:

Unità A da 0 m a 1,60/2,2 m

La prima unità è costituita da litologie fini **argillose e argillose limose**, a elevata consistenza e compattezza, tendente a diminuire con la profondità.

Unità B da 1,6/2,2 m a 8,6/9,2 m

La seconda unità è costituita sempre da terreni fini, formati da **argille**, a scarsa compattezza e consistenza, caratterizzati da bassa umidità.

Unità C da 8,6/9,2 m a 10,2/13,6 m

La terza unità è costituita da terreni sempre fini, formati da **argille limose e argille**, mediamente compatti e a buona consistenza, molto umidi.

Unità D da 10,2/13,6 m a 20 m

La quarta unità è costituita da terreni grossolani, formati da **sabbie e sabbie limose**, da mediamente a molto addensate, sature d'acqua.

Situazione idrogeologica locale

I terreni riscontrati all'interno dell'area in esame, dal punto di vista idrogeologico, sono classificabili come depositi alluvionali di origine fluviale, da poco permeabili a mediamente permeabili. Nell'area in esame si riscontra una falda freatica superficiale, la cui profondità, misurata alla fine dell'esecuzione delle prove penetrometriche, risultava pari a 2,20 m dal piano campagna. Tale falda è in pressione ed è riferibile all'acquifero sabbioso che si ritrova a circa 10/13 m di profondità.

Linea sismica

In data 19/07/2012 si è provveduto ad eseguire un'indagine geofisica, tramite uno stendimento MASW, sull'area in oggetto (Allegato 6), al fine di valutare le caratteristiche sismiche dei terreni che saranno interessati dall'intervento in progetto.

La MASW (Multichannel Analysis of Seismic Waves) è una metodologia di indagine geofisica che consente l'individuazione di frequenza, ampiezza, lunghezza d'onda e velocità di propagazione delle onde sismiche superficiali (principalmente onde di Rayleigh) generate artificialmente. L'analisi delle onde superficiali permette la determinazione delle velocità delle onde di taglio verticali (V_s) nei terreni al di sotto dello stendimento sismico.

L'indagine è realizzata disponendo lungo una linea retta, a intervalli regolari, una serie di geofoni collegati ad un sismografo. Una fonte puntuale di energia, quale mazza battente su piastra metallica o cannoncino sismico, produce treni d'onda che attraversano il terreno con percorsi, velocità e frequenze variabili. Il passaggio del treno d'onda sollecita la massa inerziale presente nel geofono, l'impulso così prodotto viene convertito in segnale elettrico e acquisito dal sismografo. Il risultato è un sismogramma che contiene molteplici informazioni quali tempo di arrivo ai geofoni rispetto all'istante di energizzazione, frequenze e relative ampiezze dei treni d'onda.

La successiva elaborazione consente di ottenere un diagramma 1D (profondità/velocità onde di taglio) tramite modellizzazione ed elaborazione matematica con algoritmi capaci di minimizzare le differenze tra i modelli elaborati e i dati di partenza.

Il diagramma, riferibile al centro della linea sismica, rappresenta un valor medio della sezione di terreno interessata all'indagine di lunghezza circa corrispondente a quella della linea sismica e profondità variabile principalmente in funzione delle caratteristiche dei materiali attraversati e della geometria dello stendimento. Il metodo MASW sfrutta le caratteristiche di propagazione delle onde di Rayleigh per ricavare le equivalenti velocità delle onde di taglio (V_s), essendo le onde di Rayleigh prodotte dall'interazione delle onde di taglio verticali e delle onde di volume (V_p). Le onde di Rayleigh (Fig. 2) si propagano secondo fronti d'onda cilindrici, producendo un movimento ellittico delle particelle durante il transito.

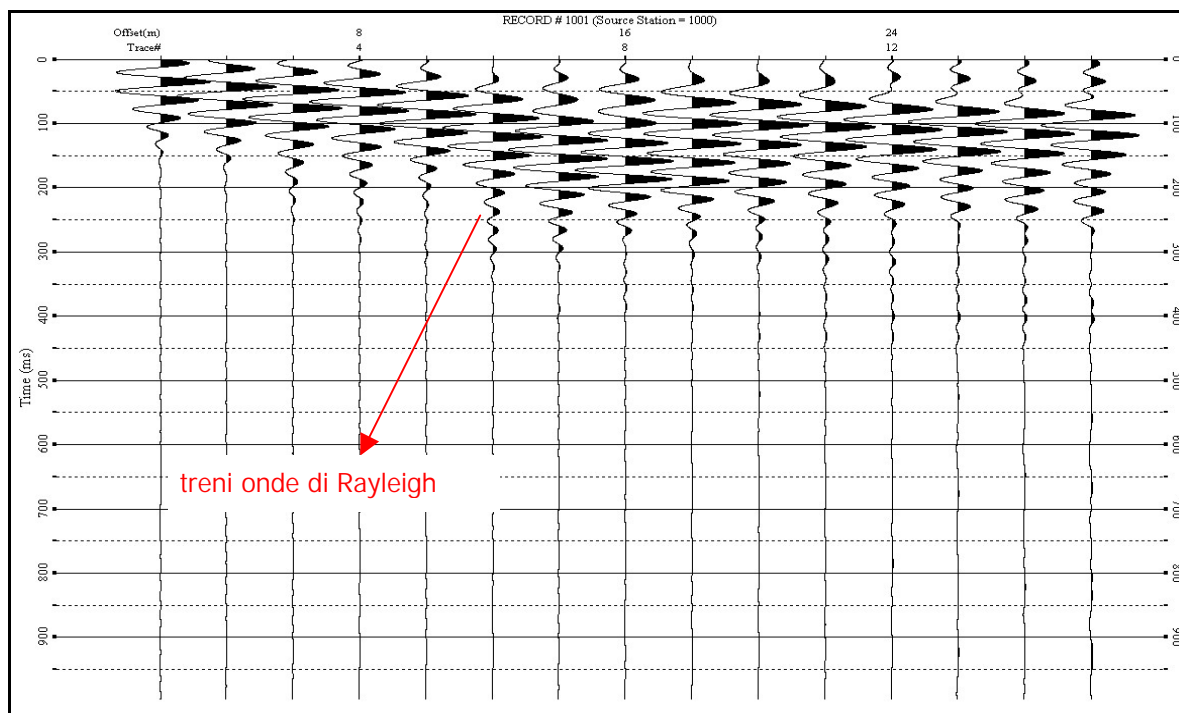


Figura 2: Sismogramma.

Con i metodi di energizzazione usuali i due terzi dell'energia prodotta viene trasportata dalle onde di Rayleigh a fronte di meno di un terzo suddiviso tra le rimanenti tipologie di onde. Inoltre le onde di Rayleigh sono meno sensibili delle onde P e S alla dispersione in funzione della distanza e con un'attenuazione geometrica inferiore.

Onde di Rayleigh ad alte frequenze e piccole lunghezze d'onda trasportano informazioni relative agli strati più superficiali mentre quelle a basse frequenze e lunghezze d'onda maggiori interessano anche gli strati più profondi.

In pratica il metodo MASW di tipo attivo opera in intervalli di frequenze comprese tra 5 e 70 Hz circa, permettendo di indagare una profondità massima variabile, in funzione delle caratteristiche dei terreni interessati, tra 30 e 50 metri.

La geometria della linea sismica ha influenza sui dati e quindi sul risultato finale, infatti la massima lunghezza d'onda acquisibile è circa corrispondente alla lunghezza dello stendimento; mentre la distanza tra i geofoni, solitamente compresa tra 1 e 3 metri, definisce la minima lunghezza d'onda individuabile evitando fenomeni di aliasing.

Nella campagna di indagine del lavoro in oggetto è stato eseguito uno stendimento di 24 geofoni, con spaziatura tra i geofoni di 1,5 metri per una lunghezza della linea sismica di 34,5 metri. L'energizzazione è stata eseguita a 1,5 metri dal primo e dall'ultimo geofono. Per ridurre il rumore di fondo e migliorare la qualità complessiva dei sismogrammi sono stati sommati più tiri. Gli stendimenti sono stati ubicati in base alle indicazioni della committenza e all'obiettivo dell'indagine.

Il sito di indagine è collocato in area agricola scarsamente urbanizzata, non caratterizzata da particolari fonti di rumore antropico in grado di interferire con il segnale sismico.

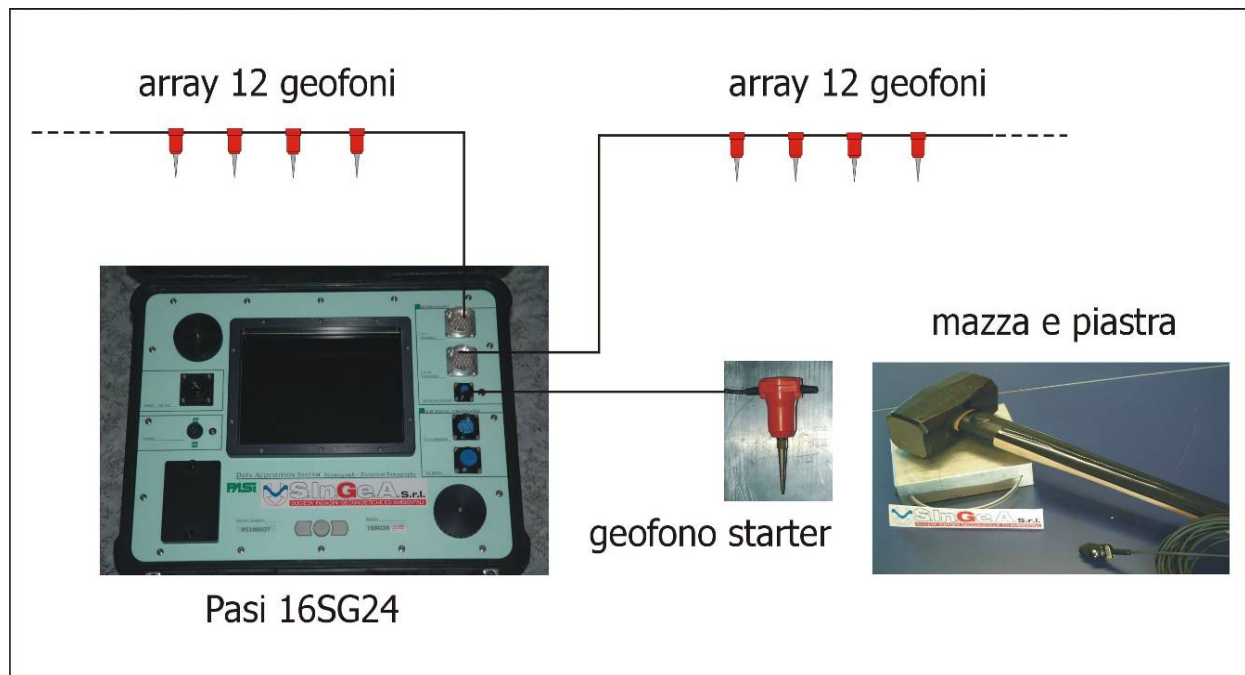


Figura 3: "PASI 16SG24" con due stringhe da 12 geofoni.

Strumentazione

Per l'acquisizione dei dati è stato utilizzato un simografo multicanale "PASI 16SG24", dotato di 24 geofoni verticali Oyo Geospace con frequenza propria di 4,5 Hz, collegati allo strumento tramite cavi elettrici schermati (Figura 3).

Lo strumento è in grado di gestire l'acquisizione simultanea su 24 canali e di rilevare l'istante di energizzazione (tempo zero) tramite geofono starter. È inoltre equipaggiato di software proprietario in grado di gestire tutte le operazioni di campagna attraverso le seguenti fasi:

- impostazione numero di canali e metodologia di indagine;
- impostazione frequenza e lunghezza di campionamento;
- selezione entità dell'amplificazione del segnale per ogni canale;
- impostazione filtraggi delle frequenze indesiderate;
- visualizzazione sismogramma con misura dei tempi di arrivo;
- esecuzione operazioni di somma e sottrazione di ulteriori sismogrammi;
- memorizzazione di tutti i dati relativi all'acquisizione.

Per l'energizzazione è stata utilizzata una mazza del peso di 8 kg e una piastra di battuta di alluminio.

Elaborazione

L'elaborazione è stata effettuata con un software dedicato (*SurfSeis 2 – Kansas Geological Survey*) in grado di gestire le fasi di preparazione, analisi, modellizzazione e restituzione finale.

La fase iniziale consiste nel filtraggio del segnale sismico per eliminare il “rumore” ed eventuali frequenze indesiderate. Il software permette di visualizzare il sismogramma nel dominio spazio-tempo e visualizzando i grafici frequenza-ampiezza anche per le singole tracce. Sono disponibili varie modalità di gestione del segnale, le cui principali sono i filtraggi “passa basso”, “passa alto”, “passa banda”, “taglia banda”, il “muting”, l'ACG e i filtraggi tipo F-K (“fan cut”, “fun pass”, “horizontal e vertical cut”).

La fase successiva consiste nel calcolo della curva di dispersione (Fig. 4), visualizzata tramite diagramma frequenza-numero d'onda con appropriata scala cromatica dell'ampiezza.

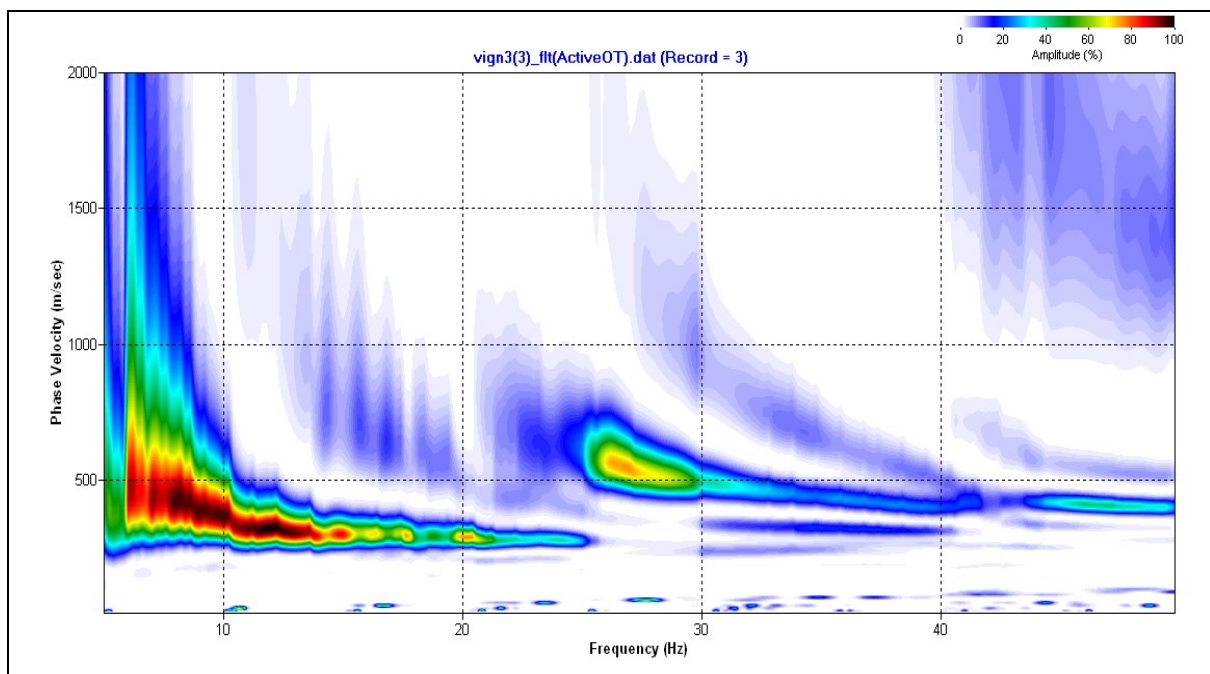


Figura 4: Diagramma della curva di dispersione.

Il diagramma permette di visualizzare anche l'intervallo di lunghezza d'onda acquisito e il rapporto segnale-disturbo, utile per valutare la qualità dei dati. Utilizzando la curva di dispersione si procede ad individuare la curva della velocità di fase apparente tramite metodo manuale o semi-automatico.

La fase di inversione prevede una modellizzazione monodimensionale che consente di determinare un profilo di velocità delle onde di taglio V_s in funzione della profondità. L'elaborazione avviene tramite l'applicazione di un procedimento calcolo e un algoritmo di inversione (Xia et al. 1999a), che gestisce i parametri velocità di taglio (V_s) e spessore degli strati. Altri parametri previsti dal modello sono il coefficiente di poisson e la velocità delle onde di volume (V_p) che, assieme a spessore degli sismostrati e relative V_s , possono venire modificati anche manualmente. Tramite interazioni successive si ottiene un modello geofisico in grado di far coincidere con la migliore approssimazione possibile (errore quadratico medio inferiore al 5-10%) la curva di dispersione elaborata nella fase precedente e quella modellizzata.

In conclusione viene restituito un diagramma (1D) delle velocità delle onde di taglio (V_s) in funzione della profondità, con relativa tabella, calcolo delle V_{s30} e correlazione al tipo di terreno, come da normativa.

Va ricordato che il diagramma 1D mostra una suddivisione sismostratigrafica ricostruita sul differente comportamento sismico dei materiali investigati. È quindi possibile che variazioni di velocità non corrispondano necessariamente a passaggi litologici netti.

Determinazione delle categoria del suolo di fondazione

L'analisi delle onde di taglio (V_s) tramite metodo MASW, ha consentito di determinare gli spessori dei sismostrati e le relative velocità di taglio, come riportato in tabella e relativo diagramma (All. 8), permettendo di calcolare il valore V_{s30} per la sezione indagata.

Profondità da p.c. (m)	Spessore (m)	Velocità onde S (m/sec)
-3,0	3,0	122
-6,8	3,8	111
-11,8	5,0	164
-30.0	18,2	243

L'equazione utilizzata per la determinazione della velocità mediata V_{s30} , secondo normativa vigente, è la seguente:

$$V_{s30} = \frac{30}{\sum_{i=1,n} \frac{h_i}{v_i}}$$

dove h_i è lo spessore dello strato esimo, espresso in metri; v_i è la velocità delle onde s per lo strato esimo, espressa in metri al secondo. Il valore V_{s30} è 183 m/sec.

Secondo normativa **la categoria di appartenenza del litotipo equivalente è la C:**

Depositi di terreni a grana grossa mediamente addensate, o terreni a grana fine mediamente consistenti, con spessori superiori a 30 m, caratterizzati da un graduale miglioramento delle proprietà meccaniche con la profondità e da valori di V_{s30} compresi tra 180 e 360 m/s (ovvero $15 < N_{SPT} < 50$ nei terreni a grana grossa, $70 < c_u < 250$ kPa nei terreni a grana fine).

. B3) CLASSIFICAZIONE SISMICA

L'Emilia-Romagna è interessata da una sismicità che può essere definita media relativamente alla sismicità nazionale, con terremoti storici di magnitudo massima compresa tra 5,5 e 6 della scala Richter e intensità del IX-X grado della scala Mercalli-Cancani-Sieberg (MCS), con ipocentri dei terremoti localizzati non solo nella crosta superiore, ma anche nel mantello. Il confronto tra dati geologici, morfologici e sismologici ha permesso l'individuazione delle principali strutture attive in Emilia-Romagna la cui sintesi è riportata in figura 5.

La porzione della bassa pianura modenese in cui ricade l'area in esame risulta caratterizzata da un'attività tettonica attiva, dovuta alla presenza nel sottosuolo di strutture geodinamiche note in bibliografia con il nome di dorsale ferrarese, come già spiegato nel capitolo dell'inquadramento geologico; tali strutture attive, sono caratterizzate da tutta una serie di pieghe e faglie, che hanno determinato il notevole innalzamento dei depositi marini e che interessano tutta la zona della bassa modenese, responsabili dei recenti terremoti del 20 e 29 maggio, che hanno interessato proprio tale zona, tra cui anche quella in oggetto, tanto da rendere inagibili le esistenti strutture scolastiche; vi sono poi altre zone attive dal punto di vista tettonico, basti pensare alle località prossime all'area in esame, quali quelle che si collocano a sud a ridosso del margine appenninico, nella zona pedemontana, nella quale si riconoscono faglie attive, con blocchi in movimento relativo tra di loro, la catena appenninica in sollevamento e l'alta pianura in abbassamento, che hanno provocato lesioni allineate secondo l'andamento delle fratture.

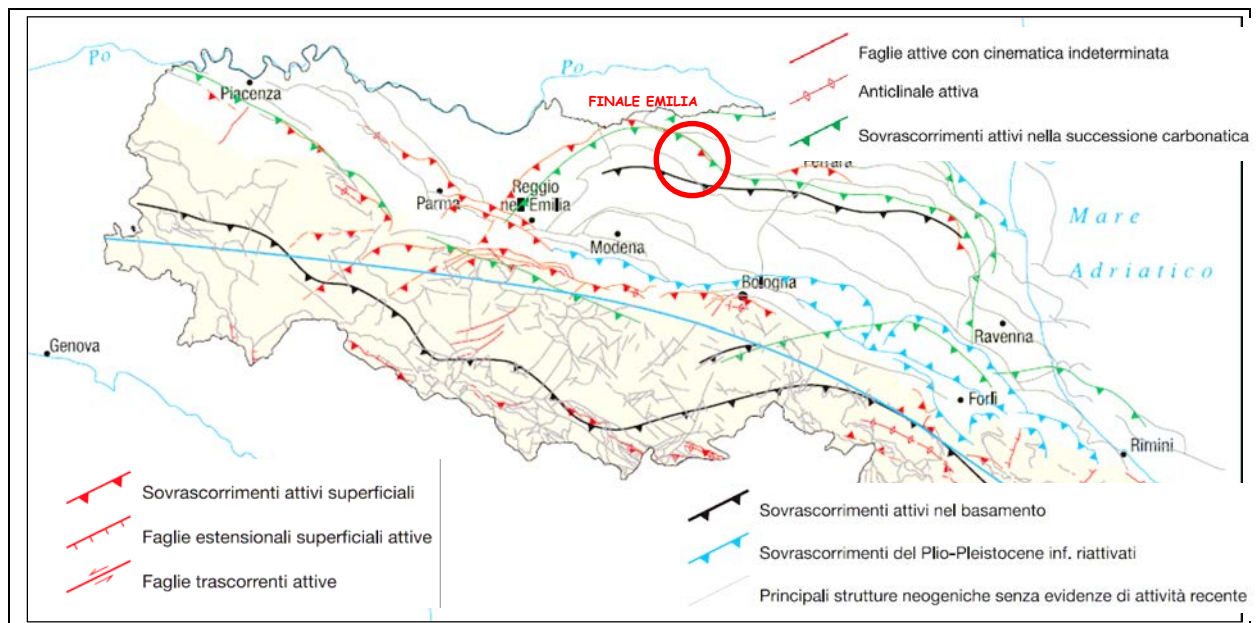


Figura 5 - Principali strutture tettoniche attive in Emilia-Romagna - tratto dalle Note Illustrative alla Carta Sismotettonica a scala 1:250.000 della Regione Emilia-Romagna.

Le strutture attive più prossime all'area di studio coincidono con l'alto delle Pieghe Ferraresi e delle Pieghe Emiliane per il quale le principali evidenze di attività derivano dai profili sismici; dagli stessi emerge anche che le strutture attive e recenti si collegano in profondità con strutture compressive profonde che interessano la successione carbonatica e il basamento (si vedano le linee rosse di figura 6, rappresentanti sovrascorrimenti attivi nel post Pleistocene Medio).

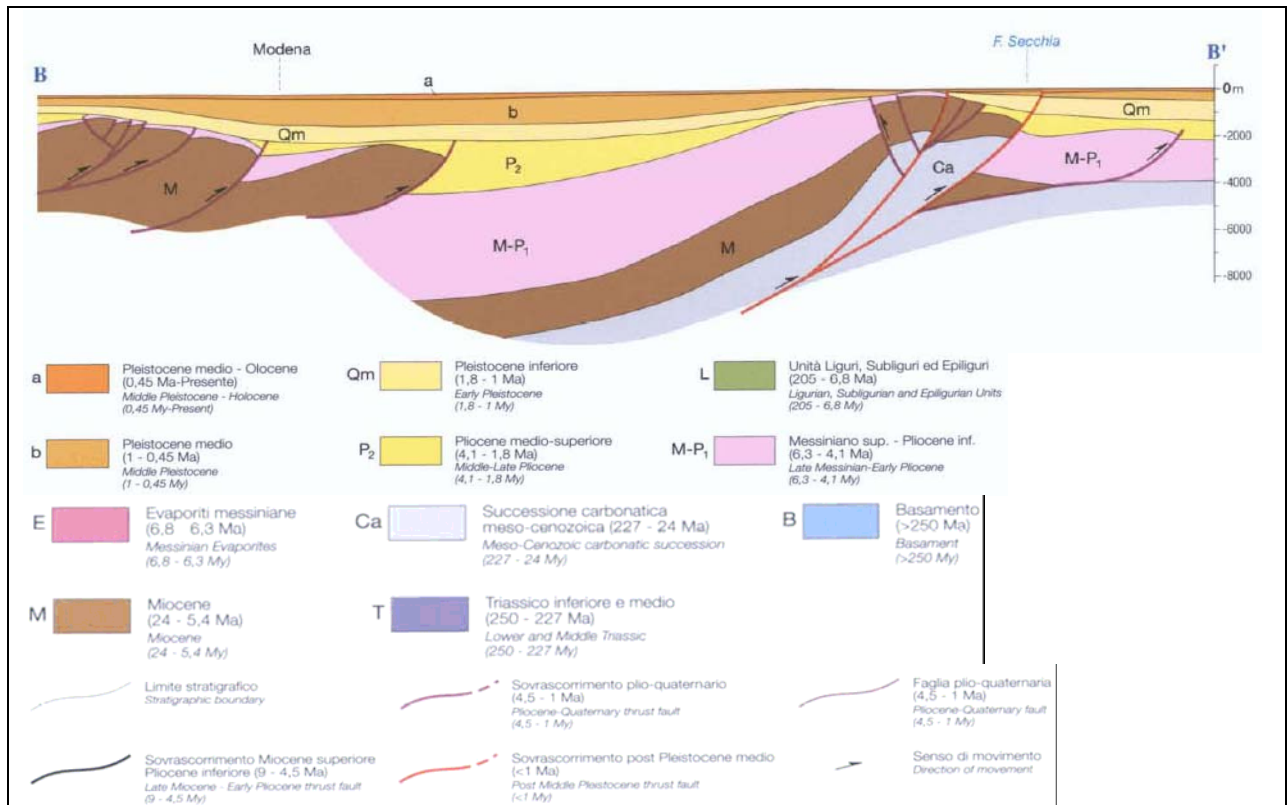


Figura 6 - Interpretazione geologica del profilo sismico del sistema anticlinale-sinclinale esistente tra Modena e Carpi (da: Note Illustrative alla Carta Sismotettonica a scala 1:250.000 della Regione Emilia-Romagna)

È proprio in corrispondenza di tali strutture attive riportate in figura 6 che si sono sviluppati i recenti eventi sismici che hanno interessato il territorio della bassa pianura emiliana nell'ultima decade di maggio 2012: come si vede in figura 7, gli ipocentri dei terremoti del 20 (max. $M_L = 5.9$) e 29 (max. $M_L = 5.8$) maggio 2012 si concentrano proprio in corrispondenza delle suddette strutture attive, a profondità di 6,3 e 10,2 km.

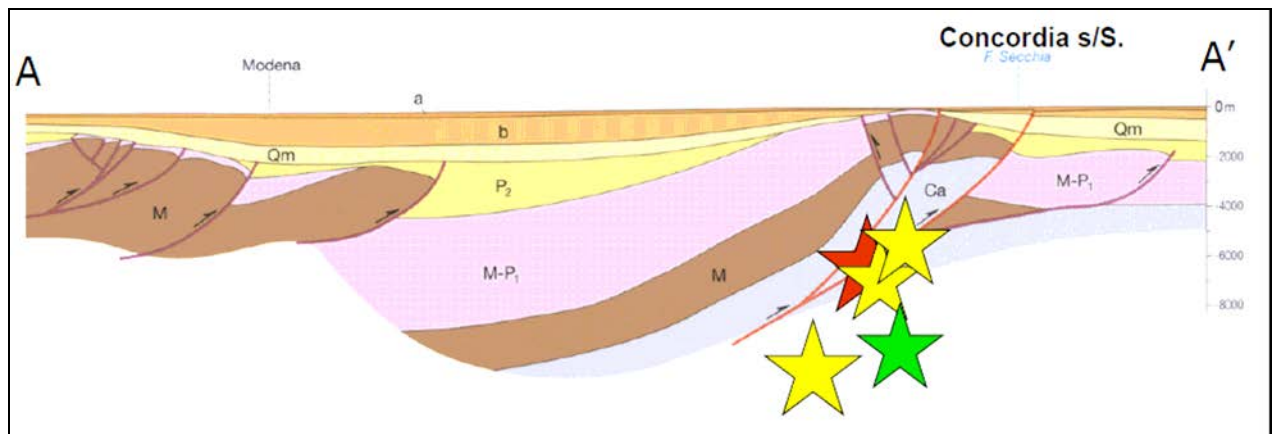


Figura 7 – Sezione geologica di Figura 6, con proiezione degli ipocentri di $M_L > 5$. La dimensione delle stelle è proporzionale alla magnitudo. Stella rossa: terremoti del 20 maggio 2012; stelle gialle: terremoti del 29 maggio 2012; stelle verdi: terremoti del 3 giugno 2012.(Fonte: L. Martelli (2012) – “The 2012 May 20 earthquake in the Emilia Plain. The geologic point of view – presentazione).

Chiaramente, il quadro della sismicità storica, alla luce dei recenti eventi sismici che hanno interessato il territorio della bassa pianura modenese, viene sostanzialmente modificato, come si vede in figura 8: compaiono epicentri di magnitudo compresa tra 4 e 6 che si allineano su di una linea con direzione O-E, interessando due Sorgenti Sismogenetiche Composite (CSS) individuate dal Database of Individual Seismogenetic Sources (DISS) dell'INGV¹: la ITCS051 “Novi-Poggio Renatico” e la ITCS050 “Poggio Rusco-Migliarino”.

In particolare, l'epicentro del sisma più intenso del 20 maggio 2012 ricade all'interno della Sorgente Sismogenetica Individuale (ISS) “ITIS 107 – Mirandola”, circa 5 km ad ovest del centro di San Felice s/P: lo strike della sorgente (direzione geografica del lato maggiore) corrisponde molto bene con lo strike del piano di thrust che ha generato il sisma di magnitudo 5.9 del 20 maggio 2012, confermando le interpretazioni geometriche del database dell'INGV.

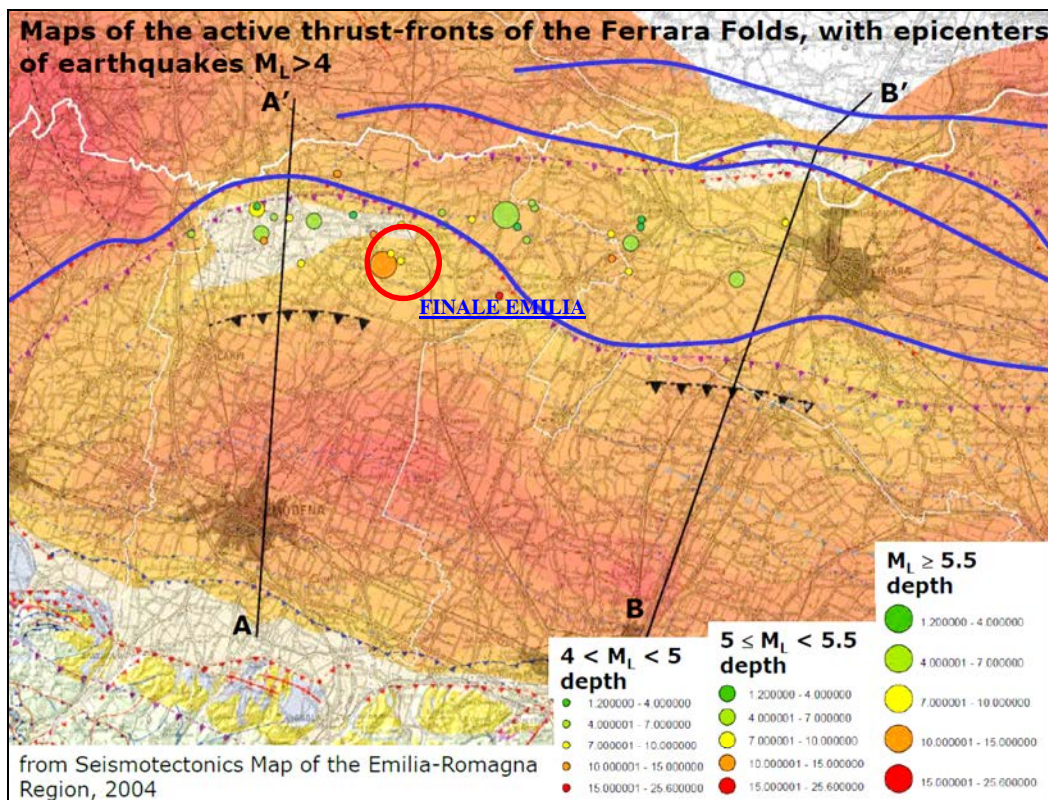


Figura 8 – Ubicazione degli epicentri dei recenti eventi sismici del maggio 2012.

(Fonte: L. Martelli (2012) – “The 2012 May 20 earthquake in the Emilia Plain. The geologic point of view – presentazione). (Il cerchio rosso individua, a grandi linee, l'ubicazione del territorio comunale di Finale Emilia.

Tutto ciò a dimostrare come la zona in esame sia caratterizzata da movimenti tettonici marcati, che scaricano gradualmente l'energia accumulata nel terreno, che possono originare fenomeni sismici frequenti ancorché di modesta entità.

A tale proposito l'Ordinanza del P.C.M. n. 3274 del 20/03/2003 e s.m.i., “Primi elementi in materia di criteri generali per la classificazione sismica del territorio nazionale e di normative tecniche per le costruzioni in zona sismica”, ha stabilito la nuova classificazione sismica di tutto il territorio nazionale, e disciplinato la progettazione e la costruzione di nuovi edifici soggetti ad

¹ DISS Working Group (2010). Database of Individual Seismogenetic Sources (DISS), Version 3.1.1: A compilation of potential sources for earthquakes larger than M 5.5 in Italy and surrounding areas. <http://diss.rm.ingv.it/diss/>, © INGV 2010 - Istituto Nazionale di Geofisica e Vulcanologia - All rights reserved.

azioni sismiche, nonché la valutazione della sicurezza e gli interventi di adeguamento e miglioramento su edifici esistenti soggetti al medesimo tipo di azioni.

Il sito di costruzione ed i terreni in esso presenti dovranno in generale essere esenti da rischi di instabilità di pendii e di cedimenti permanenti causati da fenomeni di liquefazione o eccessivo addensamento in caso di terremoto.

Con l'entrata in vigore, il 23 ottobre 2005, delle Norme Tecniche per le Costruzioni di cui al D.M. 14.09.2005, le cui norme tecniche includono tra le referenze tecniche essenziali anche l'Ordinanza n. 3274/2003 e s.m.i., è diventata obbligatoria la progettazione antisismica per tutto il territorio nazionale, facendo riferimento alle zone sismiche di cui alla OPCM 3274/2003.

Ai fini dell'applicazione di queste norme, il territorio nazionale è stato suddiviso in quattro zone sismiche, a ciascuna delle quali è assegnato un intervallo di valori dell'accelerazione di picco orizzontale del suolo (a_g), con probabilità di superamento del 10% in 50 anni; in particolare, per la determinazione delle azioni sismiche, risulta assegnato un valore (a_g / g), di ancoraggio dello spettro di risposta elastico, diverso per ogni zona sismica; il Comune di Finale Emilia ricade nella zona 3 (Allegato 5) a sismicità bassa, a cui è associato un valore della massima accelerazione orizzontale di ancoraggio dello spettro di risposta elastico pari a $a_g = 0,15g$.

I valori di a_g , espressi come frazione dell'accelerazione di gravità g , da adottare in ciascuna delle zone sismiche del territorio nazionale sono:

Zona	Valore di a_g
1	0,35g
2	0,25g
3	0,15g
4	0,05g

Con l'entrata in vigore del D.M. 14 gennaio 2008 la stima della pericolosità sismica, intesa come accelerazione massima orizzontale su suolo rigido ($V_{s30} > 800$ m/s), viene definita mediante un approccio "sito dipendente" e non più tramite un criterio "zona dipendente". Secondo l'approccio "zona dipendente", adottato dalla precedenti normative nazionali in campo antisismico, l'accelerazione di base a_g , senza considerare l'incremento dovuto ad effetti locali dei terreni, era direttamente derivante dalla Zona sismica di appartenenza del comune nel cui territorio è localizzato il sito di progetto.

Nel normativa nuova, di cui al D.M. 14 gennaio 2008, la classificazione sismica del territorio è scollegata dalla determinazione dell'azione sismica di progetto, mentre rimane il riferimento per la trattazione di problematiche tecnico-amministrative connesse con la stima della pericolosità sismica. Pertanto, secondo quanto riportato nell'allegato A del D.M. 14 gennaio 2008, la stima dei parametri spettrali necessari per la definizione dell'azione sismica di progetto viene effettuata calcolandoli direttamente per il sito in esame, utilizzando come riferimento le informazioni disponibili nel reticolo di riferimento, riportato nella tabella 1 nell'allegato B del D.M. del 2008.

Tale griglia è costituita da 10.751 nodi (distanziati di non più di 10 km) e copre l'intero territorio nazionale ad esclusione delle isole (tranne Sicilia, Ischia, Procida e Capri) dove, con metodologia e convenzioni analoghe vengono forniti parametri spettrali costanti per tutto il territorio (tabella 2 nell'allegato B del D.M. 14 gennaio 2008).

Per ciascuno dei nodi della griglia vengono forniti, per 9 valori del periodo di ritorno (da 30 anni a 2.475 anni), i valori dei parametri di pericolosità sismica di base, utili per la progettazione e cioè i valori di a_g (accelerazione orizzontale massima del terreno espressa in $g/10$), F_0 (valore massimo del fattore di amplificazione dello spettro in accelerazione orizzontale adimensionale) e T^*c (periodo di inizio del tratto a velocità costante dello spettro di accelerazione orizzontale espresso in secondi) necessari per la definizione dell'azione sismica, una volta definito per

l'intervento in progetto, ai sensi sempre delle NTC2008, il tipo e la classe (ad esempio, per gli edifici in progetto, tipo 2 e classe III).

Secondo quanto riportato nell'allegato A del D.M. 2008, definite le coordinate del sito interessato dal progetto, è possibile il calcolo dei suddetti parametri spettrali (per uno dei tempi di ritorno forniti) tramite media pesata con i 4 punti della griglia di accelerazioni (Tabella 1 in Allegato B) che comprendono il sito in esame, per i quattro stati limite previsti dalle norme *S.L.O.*, *S.L.D.*, *S.L.V.* e *S.L.C.*.

Inoltre allo scopo di valutare l'amplificazione lito-stratigrafica dell'azione sismica di progetto, intesa come l'azione generata dal moto non uniforme del terreno di sedime per effetto della propagazione delle onde sismiche, deve essere classificato il terreno di fondazione, nelle seguenti categorie individuate dalle NTC 2008.

Il sito viene classificato sulla base di V_{s30} se disponibile, altrimenti sulla base del valore di N_{spt} , per terreni prevalentemente granulari, ovvero sulla base della c_u , per i terreni prevalentemente coesivi, nelle seguenti categorie di suolo:

A -	<i>Ammassi rocciosi affioranti o terreni molto rigidi</i> caratterizzati da valori di $V_{s30} > 800$ m/s, eventualmente comprendenti in superficie uno strato di alterazione, con spessore massimo pari a 3 m.
B -	<i>Rocce tenere e depositi di terreni a grana grossa molto addensati o terreni a grana fine molto consistenti</i> , con spessori superiori a 30 m, caratterizzati da un graduale miglioramento delle proprietà meccaniche con la profondità e da valori di V_{s30} compresi tra 360 m/s e 800 m/s (ovvero resistenza penetrometrica $N_{SPT} > 50$ nei terreni a grana grossa, o coesione non drenata $c_u > 250$ kPa nei terreni a grana fine).
C -	<i>Depositi di terreni a grana grossa mediamente addensate, o terreni a grana fine mediamente consistenti</i> , con spessori superiori a 30 m, caratterizzati da un graduale miglioramento delle proprietà meccaniche con la profondità e da valori di V_{s30} compresi tra 180 e 360 m/s (ovvero $15 < N_{SPT} < 50$ nei terreni a grana grossa, $70 < c_u < 250$ kPa nei terreni a grana fine).
D -	<i>Depositi di terreni a grana grossa scarsamente addensati o di terreni a grana fine scarsamente consistenti</i> , con spessori superiori ai 30 m, caratterizzati da un graduale miglioramento delle proprietà meccaniche con la profondità e da valori di $V_{s30} < 180$ m/s (ovvero $N_{SPT} < 15$ nei terreni a grana grossa, $c_u < 70$ kPa nei terreni a grana fine).
E -	<i>Profili di terreno costituiti da strati superficiali alluvionali</i> , con valori di V_{s30} simili a quelli dei tipi C o D e spessore compreso tra 5 e 20 m, giacenti su di un substrato di materiale più rigido con $V_{s30} > 800$ m/s.

Esistono poi due categorie speciali che sono individuate con le lettere S1 e S2 per le quali le NTC2008 richiedono per la definizione dell'azione sismica il ricorso a studi specifici.

S1 -	Depositi di terreni caratterizzati da valori $V_{s30} < 100$ m/s (ovvero $10 < c_u < 70$ kPa), che includono uno strato di almeno 8 m di terreni a grana fine di bassa consistenza, oppure che includono almeno 3 m di torba o di argille altamente organiche.
S2 -	Depositi di terreni suscettibili di liquefazione, di argille sensitive, o qualsiasi altra categoria di terreno non classificabile nei tipi precedenti.

Nelle definizioni precedenti V_{s30} è la velocità media di propagazione entro i primi 30 m di profondità delle onde di taglio e viene calcolata con la seguente espressione:

$$V_{s30} = \frac{30}{\sum_{i=1,N} \frac{h_i}{V_i}}$$

dove h_i e V_i indicano lo spessore (in metri) e la velocità delle onde di taglio dello strato i -esimo, per un totale di N strati presenti nei 30 m superiori.

Per i terreni in oggetto, nell'area sulla quale è previsto l'intervento in progetto, tenuto conto dell'indagine effettuata, si definisce una categoria di suolo di fondazione di tipo C, con una velocità V_s pari a 183 m/sec.

Sulla base della categoria di suolo di appartenenza del terreno, le NTC2008 associano un coefficiente di amplificazione stratigrafica S_s , da applicare alle componenti orizzontali dell'azione sismica; viene inoltre definito un coefficiente C_c che serve per il calcolo del periodo di controllo T_c corrispondente all'inizio del tratto a velocità costante dello spettro di risposta elastico in accelerazione.

Poiché tale valore è riferito al bedrock, per definire il valore di ag in superficie si calcola quindi il fattore S_s , caratteristico dell'area, che dipende dalla categoria di suolo di fondazione; essendo i terreni dell'area in esame in categoria C, avremo:

- $S_s = 1.70 - (0.6 \times F_o \times a_g/g)$

Viene inoltre definito un coefficiente C_c , che serve per il calcolo del periodo di controllo T_c , corrispondente all'inizio del tratto a velocità costante dello spettro di risposta elastico in accelerazione; in particolare T_c è calcolato come prodotto di C_c per il periodo T^*c , ottenuto dallo studio di pericolosità sismici del sito specifico, come riportato nella tabella precedente.

Per suoli in categoria C il coefficiente C_c risulta pari a.

- $C_c = 1.05 \times (T^*c)^{-0.33}$.

Le NTC 2008 di cui al DM 14/01/2008 prevedono anche un coefficiente di amplificazione topografica che tiene conto della particolare ubicazione del sito, in relazione alla sua configurazione morfologica.

Vengono previste 4 categorie topografiche, a secondo della configurazione geometrica del sito, alle quali è associato un coefficiente di amplificazione S_T che varia da 1 a 1.4, come riportato nella tabella seguente.

Categoria	Caratteristiche della superficie topografica	Fattore di amplificazione S_T
T1	Superficie pianeggiante, pendii e rilievi isolati con inclinazione media $i \leq 15^\circ$	1
T2	Pendii con inclinazione media $i > 15^\circ$	1.2
T3	Rilievi con larghezza in cresta molto minore che alla base e inclinazione media $15^\circ \leq i \leq 30^\circ$	1.2
T4	Rilievi con larghezza in cresta molto minore che alla base e inclinazione media $i > 30^\circ$	1.4

Per quanto concerne la topografia del sito, siamo nella categoria T1, caratterizzata da una superficie pianeggiante con inclinazione media inferiore o uguale a 15° , alla quale è associata un valore del coefficiente di amplificazione topografica S_T pari a 1.

Ciò detto, sulla base della collocazione del sito in oggetto, corrispondente al punto sul quale sono in progetto le opere previste, si ottengono i relativi parametri di pericolosità sismica, come riportato di seguito.

Sito in esame

latitudine: 44,841054
longitudine: 11,296704
Classe: 3
Vita nominale: 50

Siti di riferimento

Sito 1ID: 15175	Lat: 44,8636	Lon: 11,2343	Distanza: 5519,023
Sito 2ID: 15176	Lat: 44,8649	Lon: 11,3048	Distanza: 2724,929
Sito 3ID: 15398	Lat: 44,8149	Lon: 11,3066	Distanza: 3010,270
Sito 4ID: 15397	Lat: 44,8136	Lon: 11,2362	Distanza: 5666,457

Parametri sismici

Categoria sottosuolo: C
Categoria topografica: T1
Periodo di riferimento: 75 anni
Coefficiente cu: 1,5

Operatività (SLO):

Probabilità di superamento: 81 %
Tr: 45 [anni]
ag: 0,048 g
Fo: 2,494
Tc*: 0,265 [s]

Danno (SLD):

Probabilità di superamento: 63 %
Tr: 75 [anni]
ag: 0,061 g
Fo: 2,501
Tc*: 0,275 [s]

Salvaguardia della vita (SLV):

Probabilità di superamento: 10 %
Tr: 712 [anni]
ag: 0,175 g
Fo: 2,559
Tc*: 0,274 [s]

Prevenzione dal collasso (SLC):

Probabilità di superamento: 5 %
Tr: 1462 [anni]
ag: 0,234 g
Fo: 2,494
Tc*: 0,283 [s]

Coefficienti Sismici**SLO:**

Ss: 1,500
Cc: 1,630
St: 1,000
Kh: 0,014
Kv: 0,007
Amax: 0,703
Beta: 0,200

SLD:

Ss: 1,500
Cc: 1,610
St: 1,000
Kh: 0,018
Kv: 0,009
Amax: 0,904
Beta: 0,200

SLV:

Ss: 1,430
Cc: 1,610
St: 1,000
Kh: 0,060
Kv: 0,030
Amax: 2,459
Beta: 0,240

SLC:

Ss: 1,350
Cc: 1,590
St: 1,000
Kh: 0,088
Kv: 0,044
Amax: 3,093
Beta: 0,280

Dove Kh e Kv sono i coefficienti sismici, orizzontale e verticale, per il sito in esame, calcolati, nei diversi stati limite, mediante il coefficiente di riduzione sismica Beta (funzione della categoria di suolo).

Noti i parametri di pericolosità sismica si possono calcolare gli spettri di risposta rappresentativi delle componenti (orizzontali e verticali) delle azioni sismiche di progetto per il sito in esame, ai sensi del D.M. 14/01/2008.

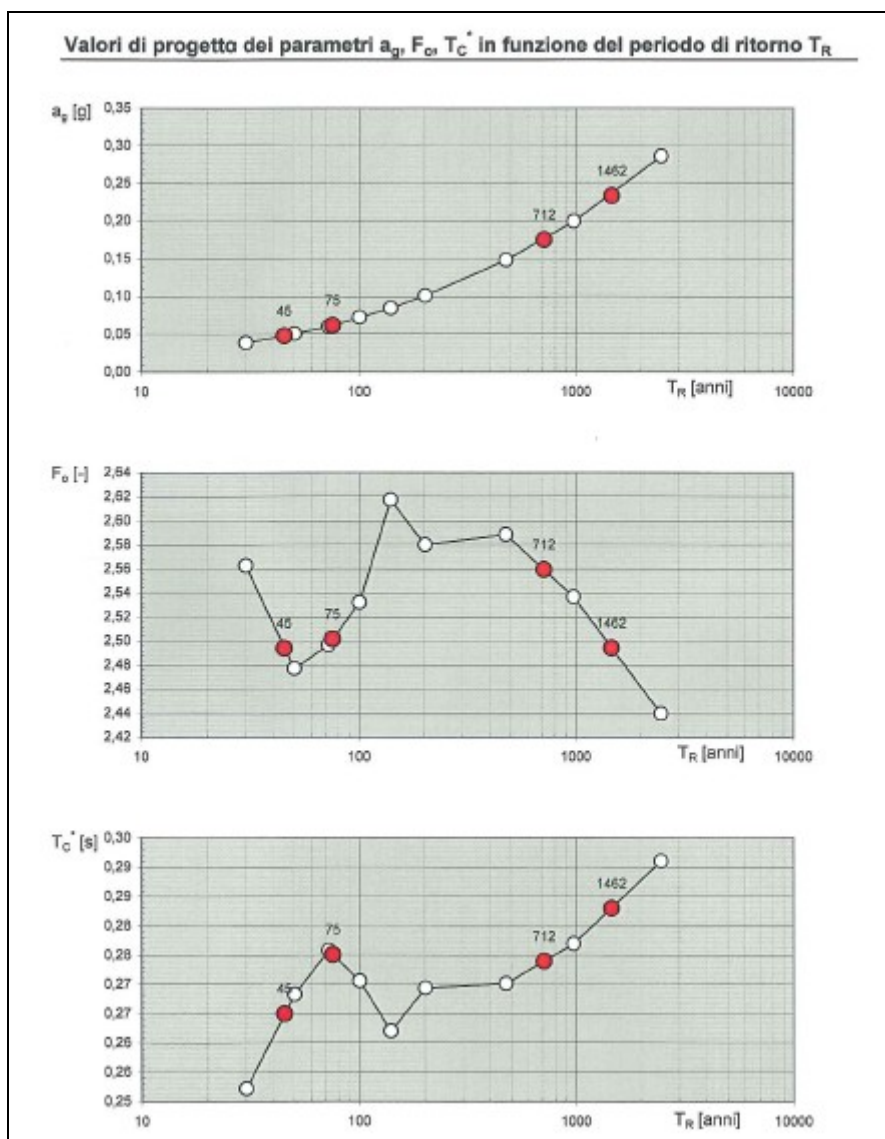


Figura 9 – Valori di progetto dei parametri sismici in funzione del tempo di ritorno.

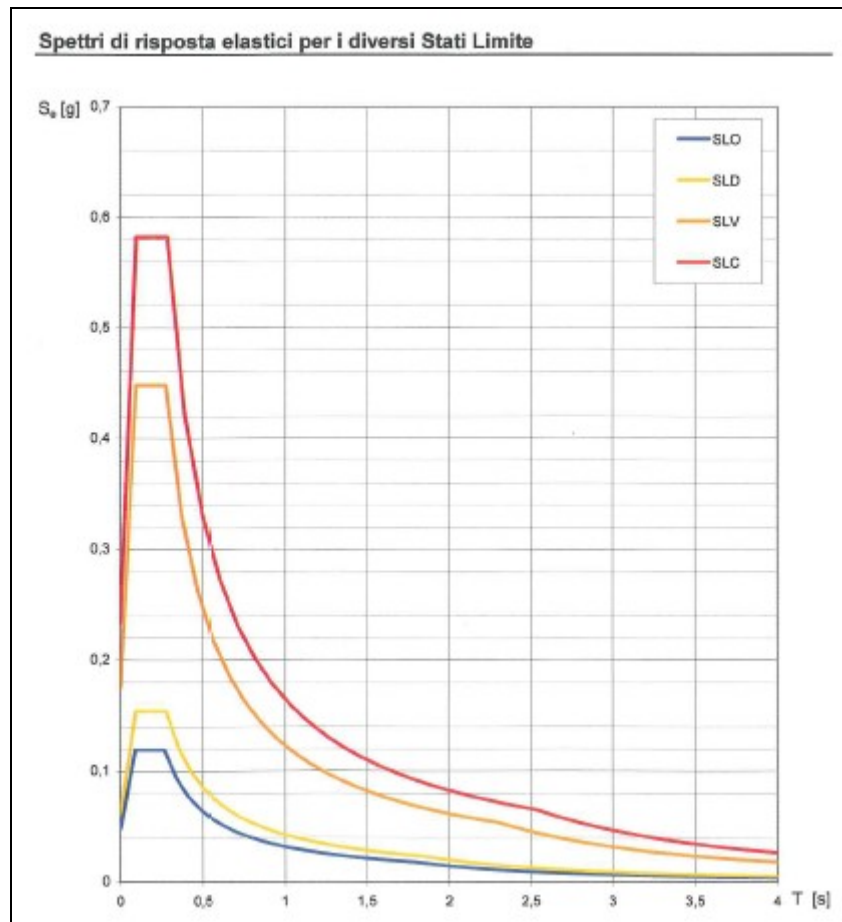


Figura 10 – Spettri di risposta elastici per i diversi stati limite.

Verifica della suscettibilità alla liquefazione

Nella nuova normativa, inerente gli aspetti sismici, di cui al D.M. 14/01/2008, è richiesto di effettuare la verifica a liquefazione nel caso in cui siano presenti, nei primi 20 m di profondità del sottosuolo indagato, terreni granulari saturi (sabbie e sabbie limose) predisposti al fenomeno della liquefazione in caso di sisma.

Per liquefazione si intende un processo di accumulazione della pressione del fluido interstiziale che causa in un terreno incoerente (sabbie e sabbie limose) saturo (sotto falda) una diminuzione della resistenza al taglio a seguito dello scuotimento sismico, potendo dar luogo a delle deformazioni permanenti significative.

Il meccanismo della liquefazione dipende sia dalle caratteristiche del sisma (magnitudo, durata, distanza epicentrale ecc.) che da quelle locali del terreno (granulometria, saturazione, densità relativa, stato tensionale, ecc).

Nello specifico dell'area in esame, tenuto conto della presenza di strati sabbiosi saturi nei primi 20 m di profondità, come rilevato nelle prove eseguite, è stata valutata la suscettività alla liquefazione da prove CPT, mediante un programma di calcolo automatico che applica la correlazione di Robertson Wride (1997).

L'area in esame appartiene alla Zona Sismogenetica n° 912 denominata "Dorsale Ferrarese" che rappresenta la zona più esterna della fascia in compressione dell'arco appenninico settentrionale, come riportato nella figura 11 seguente.

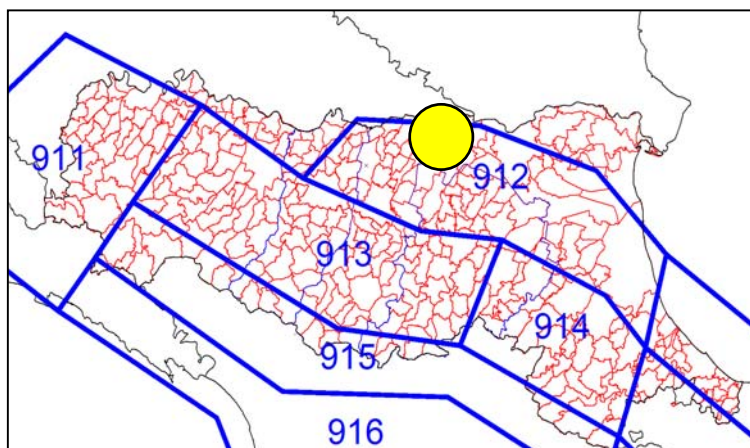


Figura 11 – Zone sismogenetiche Emilia Romagna.

Tale zona, come dalle rilevazioni dell’INGV (marzo 2004), almeno fino ai recenti eventi del maggio 2012, era caratterizzata da una magnitudo massima registrata di 4.6 Md, con una profondità efficace di 7 km, come riportato nella tabella seguente che evidenzia come sia elevato il numero di eventi con basse magnitudo che contribuiscono alla dissipazione delle energie tettoniche che si accumulano nelle strutture compressive della dorsale.

Zona	Numero eventi Md>2	Numero eventi Md>2.5	Numero eventi Md>3.0	Magnitudo massima Md	Classe di profondità (km)	Profondità efficace (km)
912	180	141	54	4.6	5-8	7

- Dettagli eventi nella zona simogenetica 912-

Il Catalogo parametrico dei terremoti italiani Edizione 2004 denominato CPTI04 registra valori massimi di magnitudo momento Mw per la zona sismogenetica n° 912 pari a 6.14.

In considerazione degli eventi sismici che hanno colpito l’area in esame nel maggio/giugno 2012 e delle prime indicazioni fornite dall’INGV, per le verifiche alla liquefazione si è fatto cautelativamente riferimento ad un valore di magnitudo massima attesa pari a 6.20.

Litologicamente i terreni del primo sottosuolo in tutta l’area di interesse risultano caratterizzati da una certa omogeneità e tipica di un ambiente di pianura alluvionale nel quale si alternano sia spazialmente che temporalmente ambienti deposizionali tra loro collegati.

Sostanzialmente si evidenzia una componente limo-argillosa predominante sino a profondità variabili da circa 10 m (Prova P2) a circa 14 m (Prova P1), seguita da livelli prevalentemente sabbiosi rilevati fino alla profondità di 20 m dal p.d.c..

La verifica della suscettibilità alla liquefazione è stata eseguita pertanto considerando i risultati, sino alla profondità di 20 m dal p.d.c. delle indagini penetrometriche eseguite (P1, P2 e P3).

I livelli sabbiosi e limo-sabbiosi individuati risultano essere in falda e pertanto potenzialmente liquefacibili.

La falda è stata considerata alla profondità di 2.2 m dal p.d.c. come direttamente verificato nei fori dei sondaggi penetrometrici effettuati.

Di conseguenza è stata effettuata un’analisi per verificare la possibilità di occorrenza di fenomeni di liquefazione attraverso un’analisi semplificata in condizioni di free-field valutando, ad ogni quota z del deposito compresa nei primi 20 m, la suscettibilità alla liquefazione attraverso un coefficiente di sicurezza F_L dato dal rapporto tra la resistenza disponibile alla liquefazione (CRR) e sollecitazione indotta dall’azione sismica (rapporto di tensione ciclica

CSR) mediante i metodi riportati di seguito ed indicati dalle “Linee Guida AGI – Aspetti geotecnici della progettazione in zona sismica”.

Per quanto concerne la magnitudo, come riportato nei capitoli precedenti, si è fatto riferimento ad un valore massimo pari a 6.20.

Per quel che concerne invece l’accelerazione massima attesa in superficie nell’area in esame, le analisi effettuate secondo quanto stabilito dalle NTC 2008 e dalla Circolare n°617 del Ministero delle Infrastrutture e dei Trasporti del 2 febbraio 2009 hanno portato ad un valore pari a 0.245 g. Il coefficiente di sicurezza F_L è stato calcolato a partire dalla seguente formula:

$$F_L = \frac{CRR}{CSR} MSF$$

Il rapporto di tensione ciclica CSR, ad una determinata profondità, può essere valutato attraverso l’espressione di Seed e Idriss, 1971 riportata di seguito:

$$CSR = 0.65 \frac{a_{\max}}{g} \frac{\sigma_{v0}}{\sigma'_{v0}} R_d$$

Dove:

a_{\max} : accelerazione di picco al piano campagna del terremoto di progetto;

g : accelerazione di gravità;

σ_{v0} : tensione totale verticale alla profondità considerata;

σ'_{v0} : tensione efficace verticale alla profondità considerata;

R_d : coefficiente riduttivo dell’azione sismica per valutare la deformabilità del sottosuolo;

Il coefficiente riduttivo dell’azione sismica R_d si può ricavare, per profondità del piano campagna inferiori a 20 m, mediante la seguente espressione (Idriss e Boulanger, 2004):

$$R_d = \exp \left[\left(-1.012 - 1.126 \sin \left(\frac{z}{11.73} + 5.133 \right) \right) + \left(0.106 + 0.118 \sin \left(\frac{z}{11.28} + 5.142 \right) \right) M \right]$$

Essendo z la profondità dal piano campagna espressa in metri ed M la magnitudo di momento dell’evento sismico atteso.

Poiché le procedure semplificate sono state elaborate sulla base di osservazioni sul comportamento dei depositi durante eventi sismici con magnitudo di momento M pari a 7.5, per eventi di magnitudo diversa occorre ridurre il carico sismico a quello equivalente di un terremoto di magnitudo 7.5 ($CSR_{M=7.5}$) attraverso la seguente relazione:

$$CSR_{M=7.5} = \frac{CSR}{MSF}$$

In cui MSF è un fattore di scala per la magnitudo che si può ricavare dall’espressione riportata di seguito (Idriss e Boulanger, 2004):

$$MSF = 6.9 \exp \left(\frac{-M}{4} \right) - 0.058$$

Per quel che concerne invece la valutazione del rapporto di resistenza ciclica CRR, la resistenza penetrometrica, q_c , ricavata dalle indagine penetrometriche statiche CPT, deve essere ricondotta ad un valore normalizzato, q_{c1N} , attraverso la seguente espressione:

$$q_{c1N} = C_Q \frac{q_c}{p_a}$$

Dove p_a (pressione atmosferica pari a 100kPa) e q_c espressa nella stessa unità di misura.

Il coefficiente C_Q (fattore correttivo per tener conto dell'influenza della pressione verticale efficace) può essere ricavato per via iterativa dalla seguente espressione (Boulanger e Idriss, 2004):

$$C_Q = \left(\frac{p_a}{\sigma'_v} \right)^{1.338 - 0.294(q_{c1N})^{0.264}}$$

Tale coefficiente non deve superare il valore di 1.7.

Dal valore di (q_{c1N}) è possibile ottenere la resistenza alla liquefazione, per eventi sismici di magnitudo di momento pari a $M=7.5$, mediante la seguente espressione valida per sabbie pulite (Idriss e Boulanger, 2004).

$$CRR = \exp \left[\frac{q_{c1N}}{540} + \left(\frac{q_{c1N}}{67} \right)^2 - \left(\frac{q_{c1N}}{80} \right)^3 + \left(\frac{q_{c1N}}{114} \right)^4 - 3 \right]$$

Per materiali con frazione fine non trascurabile invece, per ottenere la resistenza alla liquefazione CRR è stata utilizzata la seguente equazione (Robertson e Wride, 1997):

$$CRR = 0.883 \left[\frac{(q_{c1N})_{cs}}{1000} \right] + 0.05 \quad \text{se } (q_{c1N})_{cs} < 50$$

$$CRR = 93 \left[\frac{(q_{c1N})_{cs}}{1000} \right]^3 + 0.08 \quad \text{se } (q_{c1N})_{cs} > 50$$

Nelle equazioni sopra riportate appare il valore $(q_{c1N})_{cs}$.

Infatti, nel caso di materiali con frazione fine non trascurabile la resistenza penetrometrica normalizzata q_{c1N} deve essere ricondotta ad un valore per sabbie pulite $(q_{c1N})_{cs}$ mediante la seguente espressione (Robertson e Wride, 1998):

$$(q_{c1N})_{cs} = K_c * q_{c1N}$$

Il fattore correttivo K_c è dato da:

$$K_c = 1.0 \quad \text{per } I_c \leq 1.64$$

$$K_c = -17.88 + 33.75I_c - 21.63I_c^2 + 5.581I_c^3 - 0.4031I_c^4 \quad \text{per } I_c > 1.64$$

Il parametro di comportamento del terreno I_c da inserire nelle equazioni sopra riportate è una funzione della resistenza alla punta q_c e della resistenza laterale del manicotto f_s misurate dalle prove penetrometriche CPT.

In particolare:

$$I_c = \left[(3.47 - \log Q)^2 + (1.22 + \log F)^2 \right]^{0.5}$$

con:

$$Q = \left[\left(\frac{q_c - \sigma_{vo}}{P_a} \right) \right] \left[\left(\frac{P_a}{\sigma'_{v0}} \right)^n \right] \quad \text{resistenza penetrometrica normalizzata}$$

$$F = \left[\frac{f_s}{(q_c - \sigma_{vo})} \right] * 100\% \quad \text{resistenza laterale normalizzata}$$

Da quanto sopra, il 1° dato da ottenere è l'Indice I_C e relativo esponente di sforzo (n), che si ottengono procedendo per steps successivi:

- 1) se $I_C > 2,6$ ed $n=1$ allora il terreno è classificabile coesivo quindi non liquefacibile ed il calcolo è terminato;
- 2) se $I_C < 2,6$ il suolo può essere di natura granulare e si ripete il calcolo con $n= 0,5$;
- 3) se dal ricalcolo del punto 2 $I_C > 2,6$ il suolo è classificabile come non coesivo ed il valore di I_C sarà utilizzato nel calcolo di q_{cIN}
- 4) se dal ricalcolo del punto 3 $I_C > 2,6$ il suolo è classificabile come limoso ed eventualmente coesivo e si dovrà ripetere il calcolo con $n= 0,7$ ed il valore del nuovo IC sarà utilizzato nel calcolo di q_{cIN}
- 5) se dal ricalcolo del punto 4 $I_C > 2,6$ si utilizzerà come q_{cIN} il valore di $2q_c$.

Nel caso in esame sono stati considerati, come sabbie pulite, i depositi sabbiosi rilevati a partire dalla profondità di circa 16.5 m.

In ottemperanza a quanto previsto dalla Del. Ass. Reg. n° 112 (All. A3, cap. 2), ottenuti i valori di CSR e di CRR è possibile valutare il coefficiente di sicurezza F_L .

Come previsto da tale normativa se $F_L > 1$ si possono escludere fenomeni di liquefazione mentre se $F_L < 1$ è possibile che avvengano fenomeni di liquefazione.

Ottenuto il parametro F_L è possibile operare una stima probabilistica della possibilità che avvenga la liquefazione, utilizzando la seguente relazione proposta dalla normativa:

$$I_L = \int_0^{20} F(z)w(z)dz$$

In cui z è la profondità dal piano campagna in metri e $w(z) = 10 - 0.5z$.

Ad una data quota z il fattore $F(z)$ vale:

$$F = 1 - F_L \quad \text{se } F_L \leq 1$$

$$F = 0 \quad \text{se } F_L > 1$$

In particolare, come previsto dalla normativa suddetta, il valore dell'indice del potenziale di liquefazione I_L valutato porta alla definizione del rischio di liquefazione che è: basso se $0 < I_L \leq 5$; elevato se $5 < I_L \leq 15$; estremamente elevato se $I_L > 15$.

Come riportato in allegato 9, e riassunto nella tabella seguente si sono ottenuti valori bassi dell'indice di potenziale di liquefazione I_L con il rischio di liquefazione che può essere considerato da basso a molto basso e quindi accettabile.

Prova	Indice di potenziale liquefazione I_L	Rischio di liquefazione
P1	0.02	molto basso
P2	1.16	basso
P3	2.72	basso

. B4) CARATTERIZZAZIONE GEOTECNICA

La caratterizzazione geotecnica dei terreni del primo sottosuolo è stata eseguita mediante l'elaborazione delle tre prove penetrometriche statiche eseguite sull'area, sulla quale è prevista la costruzione delle nuove strutture ad uso scolastico, spinte sino alla profondità massima di 20 metri dal piano campagna e ubicate come da allegato 6.

Le prove sono poi state confrontate con altre prove effettuate nelle vicinanze dell'area in esame in occasione di altri e precedenti interventi edilizi.

La parametrizzazione delle unità litotecniche del sottosuolo è stata realizzata attraverso le correlazioni proposte in letteratura, con riferimento alle unità litostratigrafiche prima descritte.

Complessivamente l'indagine eseguita ha evidenziato la presenza di terreni con caratteristiche favorevoli per la progettazione dell'intervento previsto.

I terreni interessati dalle strutture di fondazione in progetto, ovvero i più interessati dall'interazione struttura-terreno, sono quelli dell'unità A e B, sufficientemente consistenti da affrontare le normali problematiche fondazionali.

Complessivamente, da un punto di vista geotecnico, le prove effettuate hanno evidenziato la presenza di terreni con buone caratteristiche di resistenza.

Da un punto di vista geotecnico, si conferma la grossa differenziazione tra i primi strati di terreni fini rispetto ai valori espressi dallo strato più grossolano sottostante, che si rinviene a partire dai 10/13 m di profondità; in sintesi si rileva un primo strato prevalentemente fine, costituito da argille limose, fino a circa 1,6/2,2 m di profondità, sovransolidato per essiccamento superficiale, con valori di R_p medi, resistenza alla punta in termini statici compresi tra 40-42 Kg/cmq. Procedendo in profondità e fino a circa 8,6/9,2 m, si ritrovano terreni leggermente più fini, costituiti da argille e argille limose, in corrispondenza dei quali si rileva un netto ribasso dei valori di resistenza, con medie di 10-12 Kg/cmq, del tutto tipici di queste zone.

Quindi da qui fino ai 10,2/13,6 m si rilevano terreni sempre fini argillosi limosi, in corrispondenza dei quali si assiste ad un rialzo dei valori di R_p , con medie che si attestano sui 16-21 Kg/cmq. Procedendo in profondità e fino ai 20 m indagati si ritrovano terreni più grossolani, costituiti da sabbie e sabbie limose, caratterizzate da un generale aumento dei valori di R_p con valori di resistenza che si innalzano a medie elevate, comprese tra 90 Kg/cmq della prova P3, ove si rilevano i minori addensamenti, e i 148 Kg/cmq della prova P1.

Sulla base dei dati ottenuti dalle indagini geognostiche, si ritiene idonea per le strutture in progetto l'adozione di fondazioni superficiali (platea), il cui piano di posa dovrà essere collocato ad una profondità non inferiore a 0,8 m dal p.d.c. attuale in modo tale da consentire di fatto il superamento del terreno superficiale più alterato e in parte di riporto, compreso direttamente nella zona soggetta alle variazioni di umidità e temperatura.

A titolo indicativo, sulla base delle prove eseguite, si è stimata per i terreni di sottofondazione in esame una portanza massima, in termini di tensioni ammissibili, pari a 1 Kg/cmq; una volta noti i carichi agenti ai sensi delle norme vigenti si dovranno comunque eseguire le verifiche agli stati limite (NTC2008).

Utilizzare una portanza maggiore, che risulterebbe, a prima vista, essere giustificata dalla bontà dello strato più superficiale, potrebbe portare all'insorgere di cedimenti notevoli negli strati più compressibili sottostanti, con problemi alle strutture.

Nelle tabelle seguenti è riportata per le tre prove eseguite la caratterizzazione litostratigrafica e geotecnica media, con i parametri principali utili alle successive verifiche.

Parametri geotecnici

Prova P1

Strato	Prof.	Rpm	Cu	C'	ϕ	Mo	γ	Dr	v	w	Tipo
1	0 – 2,20	40	1,33	0,45	/	120	1,9	/	0,4	2,5	Argille limose
2	2,20 – 9,20	12	0,59	0,2	/	51	1,9	/	0,45	1,5	Argille
3	9,20 – 13,60	21	0,83	0,33	/	73	1,9	/	0,45	1,5	Argille limose
4	13,60 - 20	148	/	/	37	390	2,1	65	0,3	10	Sabbie limose

Prova P2

Strato	Prof.	Rpm	Cu	C'	ϕ	Mo	γ	Dr	v	w	Tipo
1	0 – 2,00	42	1,43	0,46	/	127	1,9	/	0,4	2,5	Argille limose
2	2,00 – 8,60	10	0,52	0,18	/	47	1,9	/	0,45	1,5	Limi argillosi
3	8,60 – 10,20	17	0,73	0,3	/	63	1,9	/	0,45	1,5	Argille limose
4	10,20 - 20	105	/	/	35	284	2,1	65	0,3	8	Sabbie limose

Prova P3

Strato	Prof.	Rpm	Cu	C'	ϕ	Mo	γ	Dr	v	w	Tipo
1	0 – 1,60	41	1,36	0,42	/	122	1,9	/	0,4	2,5	Argille limose
2	1,60 – 9,00	11	0,55	0,19	/	49	1,9	/	0,45	1,5	Limi argillosi
3	9,00 – 11,00	16	0,71	0,29	/	62	1,9	/	0,45	1,5	Argille limose
4	10,80 - 20	90	/	/	31	152	2,1	48	0,35	5	Sabbie limose

Dove:

Strato: Numero progressivo strato
 Prof: Profondità base strato (m)
 Rpm: Resistenza alla punta media (Kg/cm²)
 Cu: Coesione non drenata (Kg/cm²)
 C': Coesione efficace (Kg/cm²)
 w: Coefficiente di Winkler (Kg/cm³)

Mo: Modulo Edometrico (Kg/cm²)
 γ : Peso unità di volume (t/m³)
 Dr: Densità relativa (%)
 ϕ : Angolo di resistenza al taglio (°)
 v: Coefficiente di Poisson
 Tipo: Litologia strato

.C) CONCLUSIONI

La presente relazione tratta dei caratteri geologici, geomorfologici, sismici e geotecnici di un'area posta in via Rovere, nella zona nord del centro abitato di Finale Emilia, sulla quale è in progetto la realizzazione di edifici temporanei ad uso scolastico, tenuto conto che con gli ultimi eventi sismici del 20 e 29 maggio, che hanno colpito tale zona, le scuole esistenti sono inagibili, causa gli ingenti danni subiti.

Sulla base delle indagini eseguite, considerazioni ed ipotesi svolte si dichiara **la fattibilità dell'intervento in progetto ritenendo del tutto idonea l'area in esame.**

Si è infatti verificata la mancanza di controindicazioni da un punto di vista geologico, geotecnico, idrologico, idrogeologico e sismico.

Dallo studio eseguito è emerso che l'area si colloca in una zona pianeggiante che permette uno sviluppo edilizio senza particolari problemi, con presenza di terreni alluvionali caratterizzati da buone caratteristiche geomeccaniche.

La caratterizzazione geologica e geotecnica del terreno di sottofondazione è stata ottenuta attraverso l'esecuzione di tre prove penetrometriche statiche spinte sino alla profondità massima di 20 m dal piano campagna attuale.

Tali dati hanno consentito di definire il modello geologico e geotecnico del terreno del primo sottosuolo, sulla base del quale eseguire le successive verifiche.

Si ritiene idoneo l'utilizzo di fondazioni superficiali, che dovranno attestarsi ad almeno 0,8 m di profondità dall'attuale piano campagna. A titolo indicativo, sulla base delle prove eseguite, si è stimata per i terreni in esame una portanza massima, in termini di tensioni ammissibili, pari a 1 Kg/cmq; una volta noti i carichi agenti ai sensi delle norme vigenti si dovranno comunque eseguire le verifiche agli stati limite (NTC2008).

L'area presenta un livello di falda freatica alla profondità di circa 2,2 m dal piano campagna, che può interagire con la strutture in progetto.

Dal punto di vista sismico si dovrà fare riferimento come zonizzazione per il comune di Finale Emilia, alla zona 3: Si è classificata l'area in esame definendo i parametri di pericolosità sismica di base; quindi mediante apposita indagine geofisica si è determinata la categoria di suolo di fondazione dei terreni presenti, risultata essere la categoria C, mediante la quale si sono inoltre determinati per l'area specifica i parametri di pericolosità sismica locale ai sensi delle norme vigenti, attraverso i relativi fattori di amplificazione stratigrafica e topografica.

In ogni modo, in fase esecutiva, occorrerà durante le operazioni di cantiere, l'assistenza dello scrivente per la verifica in corso d'opera delle condizioni geotecniche assunte in questa sede (punto b3 delle N.T. del D.M. 11/03/1988).

Modena, 31/07/2012

Il Tecnico

Dott. Geol. Alessandro Maccaferri



ALLEGATI

Allegato 1 – Inquadramento geografico

Allegato 2 – Ubicazione area d'interesse

Allegato 3 – Carta geologica RER

Allegato 4 – Carta geomorfologica Università

Allegato 5 – Carta della zonizzazione sismica

Allegato 6 – Ubicazione prove penetrometriche

Allegato 7 – Prove penetrometriche statiche

Allegato 8 – Elaborazione linea sismica

Allegato 9 – Verifiche alla liquefazione

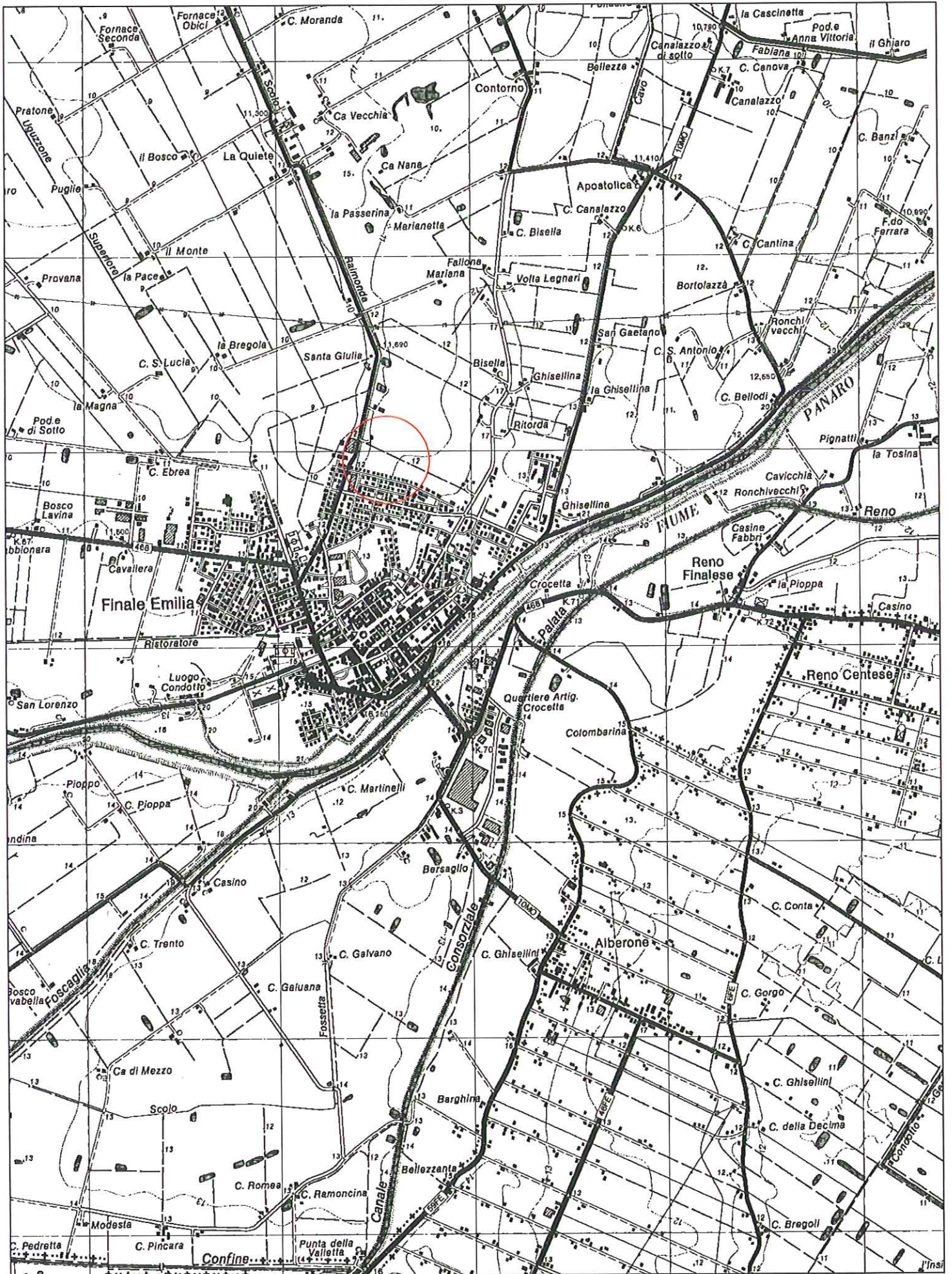
Inquadramento Geografico

**C.T.R. scala 1 : 25.000
Estratto Tavola 184SE "Finale Emilia"**



Ubicazione area in oggetto

ALLEGATO N. 1



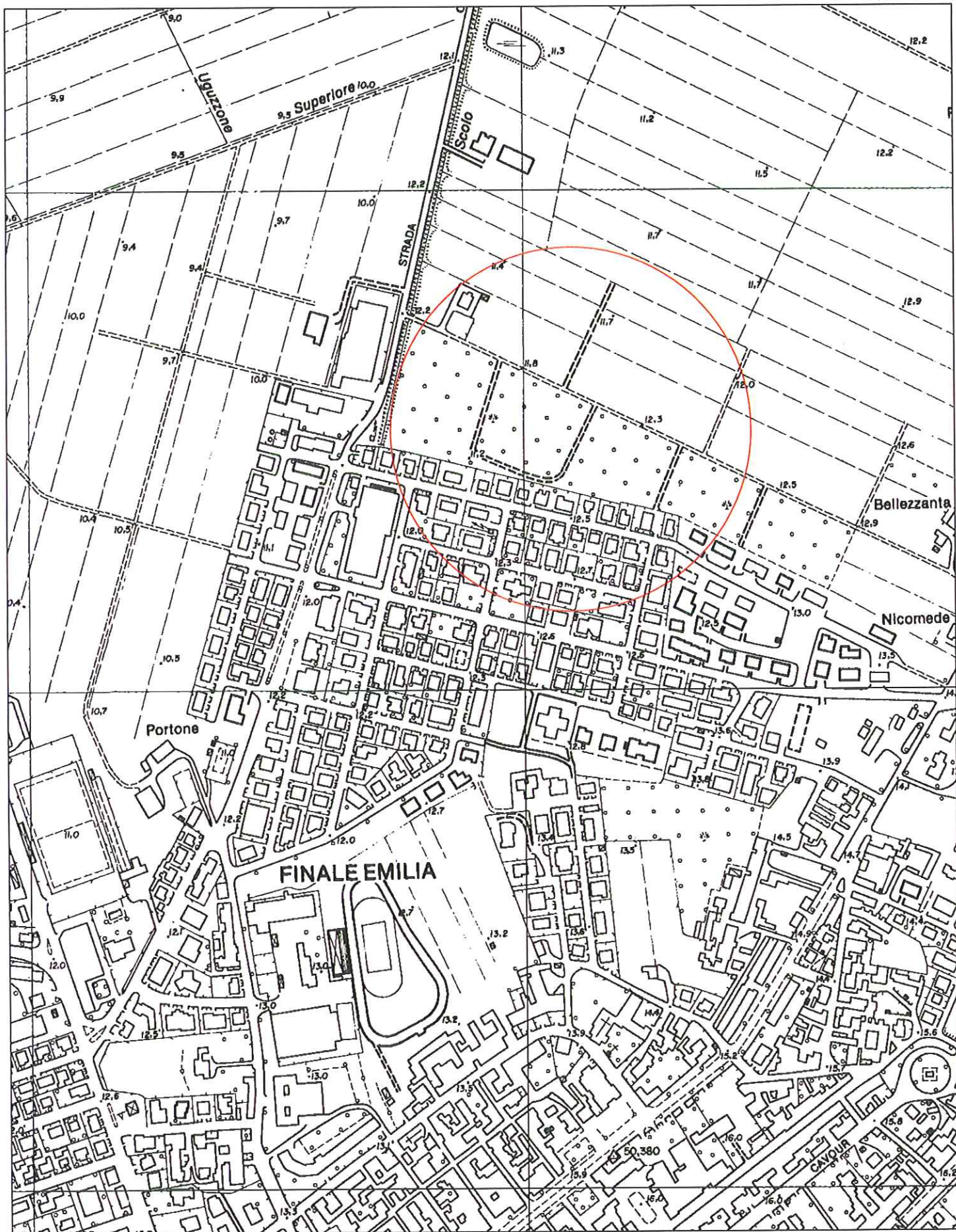
Ubicazione area in studio

**C.T.R. scala 1 : 5.000
Estratto Elemento 184161 "Finale Emilia est"**



Ubicazione area in oggetto

ALLEGATO N. 2

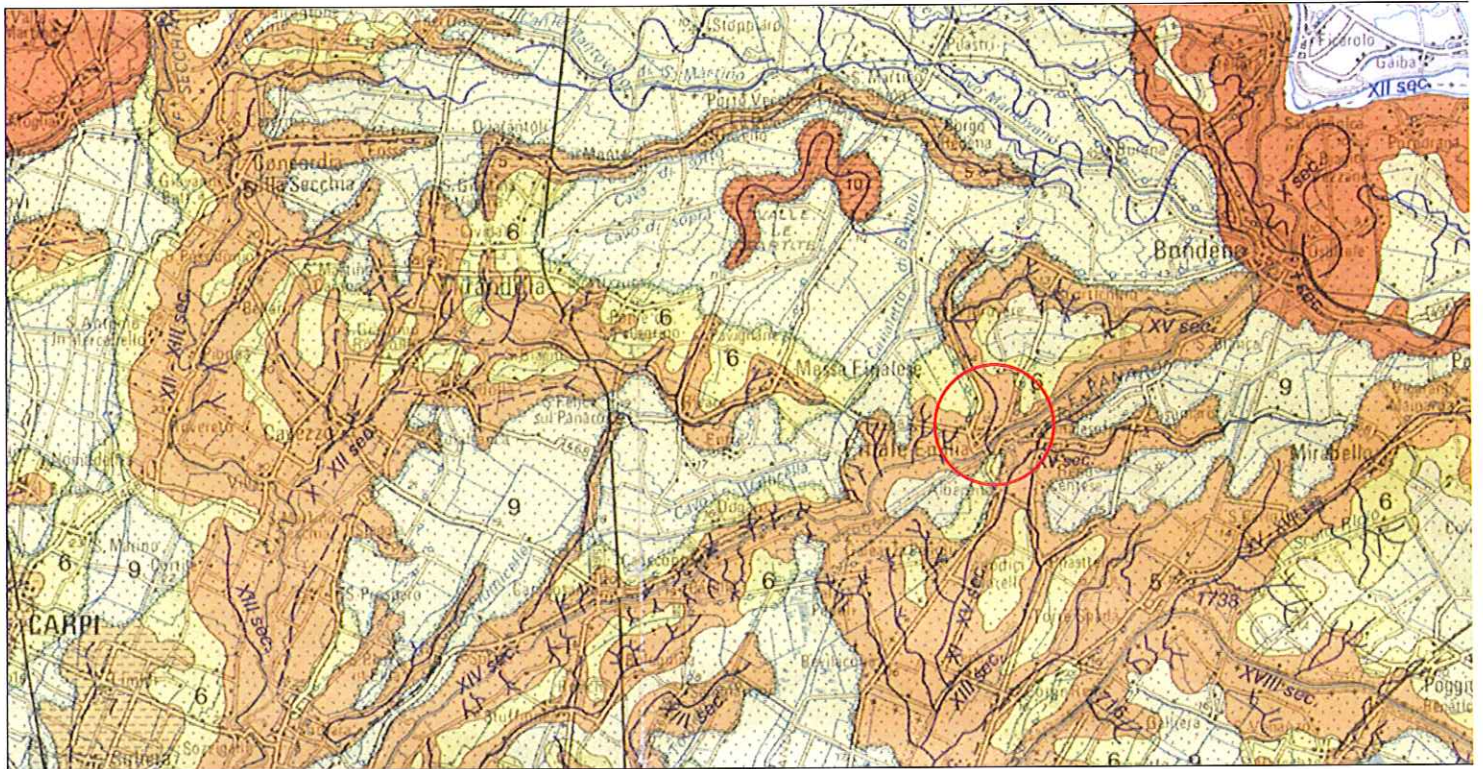


Carta geologica di pianura dell'Emilia Romagna
Scala 1 : 250.000



Ubicazione area in oggetto

ALLEGATO N. 3



Legenda:

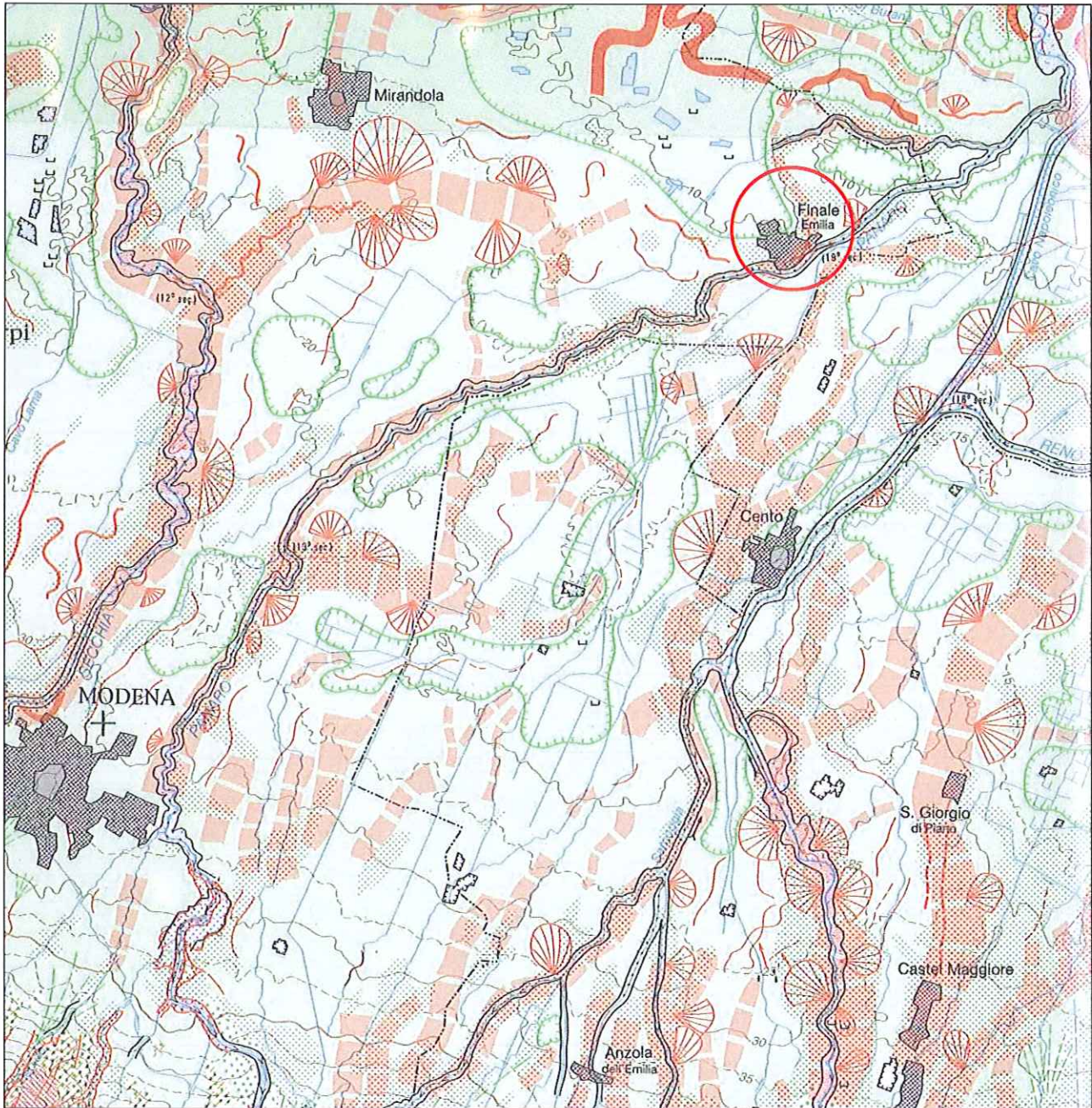
PIANA ALLUVIONALE ALLUVIAL PLAIN	
5	<p>Sabbie medie e fini in strati di spessore decimetrico passanti lateralmente ed intercalate a sabbie fini e finissime limose, subordinatamente limi argillosi; localmente sabbie medie e grossolane in corpi lenticolari e nastriformi. Depositi di canale e argine prossimale. Al tetto suoli a diverso grado di evoluzione. <i>Medium and fine sand in beds tens of centimetres thick, changing laterally and/or intercalated to fine and very fine silty sand, smaller amounts of clayey silt, locally medium and coarse sand in lenticular, ribbon shaped bodies. Channel and proximal levee deposits. Channel and proximal levee deposits.</i> <i>At the top, soils with various degree of evolution.</i></p>
6	<p>Limi sabbiosi, sabbie fini e finissime, argille limose e subordinatamente sabbie limoso-argillose intercalate in strati di spessore decimetrico. Depositi di argine distale. Al tetto suoli a diverso grado di evoluzione. <i>Sandy silt, fine and very fine sand, silty clay and smaller amounts of silty clayey sand intercalated in beds tens of centimetres thick. Distal levee deposits.</i> <i>At the top, soils with various degree of evolution.</i></p>
7	<p>Sabbie medie e fini, limi e argille limose intercalati in strati di spessore decimetrico; localmente sabbie medie e grossolane in corpi lenticolari e nastriformi. Depositi di canale e argine indifferenziati. Al tetto suoli a diverso grado di evoluzione. <i>Medium and fine sand, silt and silty clay intercalated in beds tens of centimetres thick; locally medium and coarse sand in lenticular and ribbon shaped bodies. Channel and undifferentiated levee deposits.</i> <i>At the top soils with various degree of evolution.</i></p>
8	<p>Limi argillosi e limi sabbiosi, subordinatamente sabbie fini e finissime, in strati di spessore decimetrico; localmente sabbie in corpi lenticolari e nastriformi. Depositi di canale e argine indifferenziati. Al tetto suoli a diverso grado di evoluzione. <i>Clayey silt and sandy silt, smaller amounts of fine and very fine sand, in beds tens of centimetres thick; locally sand in lenticular and ribbon-shaped bodies. Channel and undifferentiated levee deposits.</i> <i>At the top soils of various degree of evolution.</i></p>
9	<p>Argille limose, argille e limi argillosi laminati, localmente concentrazioni di materiali organici parzialmente decomposti. Area interfiuminale e depositi di palude. <i>Silty clay, clay and laminated clayey silt, locally concentrations of partially decomposed organic matter. Back-swamp deposits.</i></p>
10	<p>Sabbie medie e grossolane subordinatamente ghiaie e ghiaie sabbiose, limi e limi sabbiosi in strati di spessore decimetrico. Depositi di piana a meandri. Al tetto suoli a diverso grado di evoluzione. <i>Medium and coarse sand, to a lesser extent gravel and sandy gravel, smaller amounts of silt and sandy silt in bed tens of centimetres thick. Meander belt deposits.</i> <i>At the top, soils of various degree of evolution.</i></p>

**Carta geomorfologica
-Università di geologia di Modena-
Scala 1 : 250.000**



Ubicazione area in oggetto

ALLEGATO N. 4



Legenda:

**FORME E DEPOSITI FLUVIALI, FLUVIOGLACIALI, FLUVIOLACUSTRI
FLUVIAL, GLACIOFLUVIAL AND FLUVIOLACUSTRINE FORMS AND DEPOSITS**

Tratti di pianura alluvionale distinti secondo la natura dei sedimenti superficiali prevalentemente:
Alluvial plain, according to nature of prevailing surface lithology mainly:



a - ghiaiosi;
gravel;



b - sabbiosi;
sand;



c - limosi ed argillosi.
silt and clay.



Torba.
Peat.



Conglomerati.
Conglomerates.



Blocchi di grandi dimensioni, fuori dell'ambito delle colline moreniche.
Large boulders outside moraine complexes.



Coltre di alterazione superficiale (suoli con orizzonte B rubefatto, suoli antichi e poligenetici):

Weathering mantle (soils with rubified B horizon, old and polygenetic soils):

a - fino a 1 m di profondità;
up to 1 m thick;



b - oltre 1 m di profondità.
more than 1 m thick.



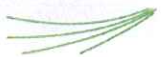
Superficie di spianamento, glacis d'erosione e glacis coperti, glacis dissecati.
Planation surface, erosional glacis, covered glacis, dissected glacis.



Conoide alluvionale o fluvioglaciale:

Alluvial or fluvioglacial fan:

a - pendenza > 20‰;
> 20‰ slope;



b - pendenza 10-20‰;
20-10‰ slope;



c - pendenza < 10‰.
< 10‰ slope.



Traccia di antico scaricatore fluvioglaciale.
Trace of ancient meltwater channel.



Scarpata o pendio delimitante un terrazzo:

Terrace scarp or slope:

a - altezza < 5 m;
< 5 m high;



b - altezza 5-20 m;
5-20 m high;



c - altezza > 20 m.
> 20 m high.



Incisione di un corso d'acqua in generale.
Stream incision.



Forra d'incisione fluviale (in roccia o in conglomerato).
Fluvial gorge (in bedrock or conglomerate).



Insieme di vallecole più o meno ramificate:
Small valley system:

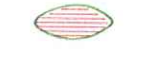
a - vallecole a V o a fondo piatto, profonde;
deep, V-shaped or flat-bottomed;



b - larghe, svasate, poco profonde.
shallow, wide, round-bottomed.



Testata di un'incisione di risorgiva.
Spring incision.



Depressione palustre di risorgiva.
Spring marsh depression.



Traccia di corso fluviale estinto, a livello della pianura o leggermente incassato:
Trace of abandoned river bed at plain level or slightly below:

a - ben conservata;
well preserved;



b - mal conservata.
poorly preserved.



Tracce diffuse di corsi d'acqua a canali intrecciati, estinti.
Widespread traces of abandoned braided streams.



Sito di importante deviazione fluviale (età, eventualmente anno).
Site of known river diversion (age and year, when known).



Dosso fluviale particolarmente pronunciato (altezza > 2 m, pendenza longitudinale < 1‰).
Well defined levée ridge (height > 2 m, longitudinal slope < 1‰).



Altri dossi fluviali (meno pronunciati, o a forte pendenza longitudinale).
Other fluvial ridges (less well-defined, or with higher longitudinal slope).



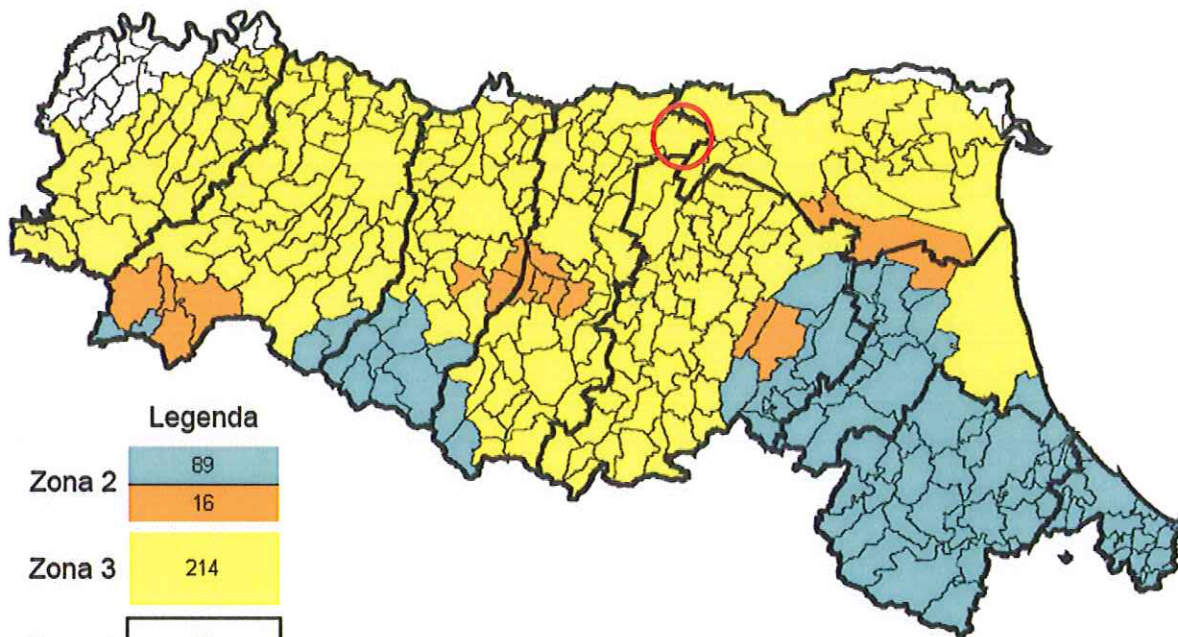
Canale di esondazione.
Crevasse channel.

Carta della zonizzazione sismica



Comune di Finale Emilia

ALLEGATO N. 5



Legenda

Zona 2	89
Zona 3	214
Zona 4	22

n° comuni coinvolti

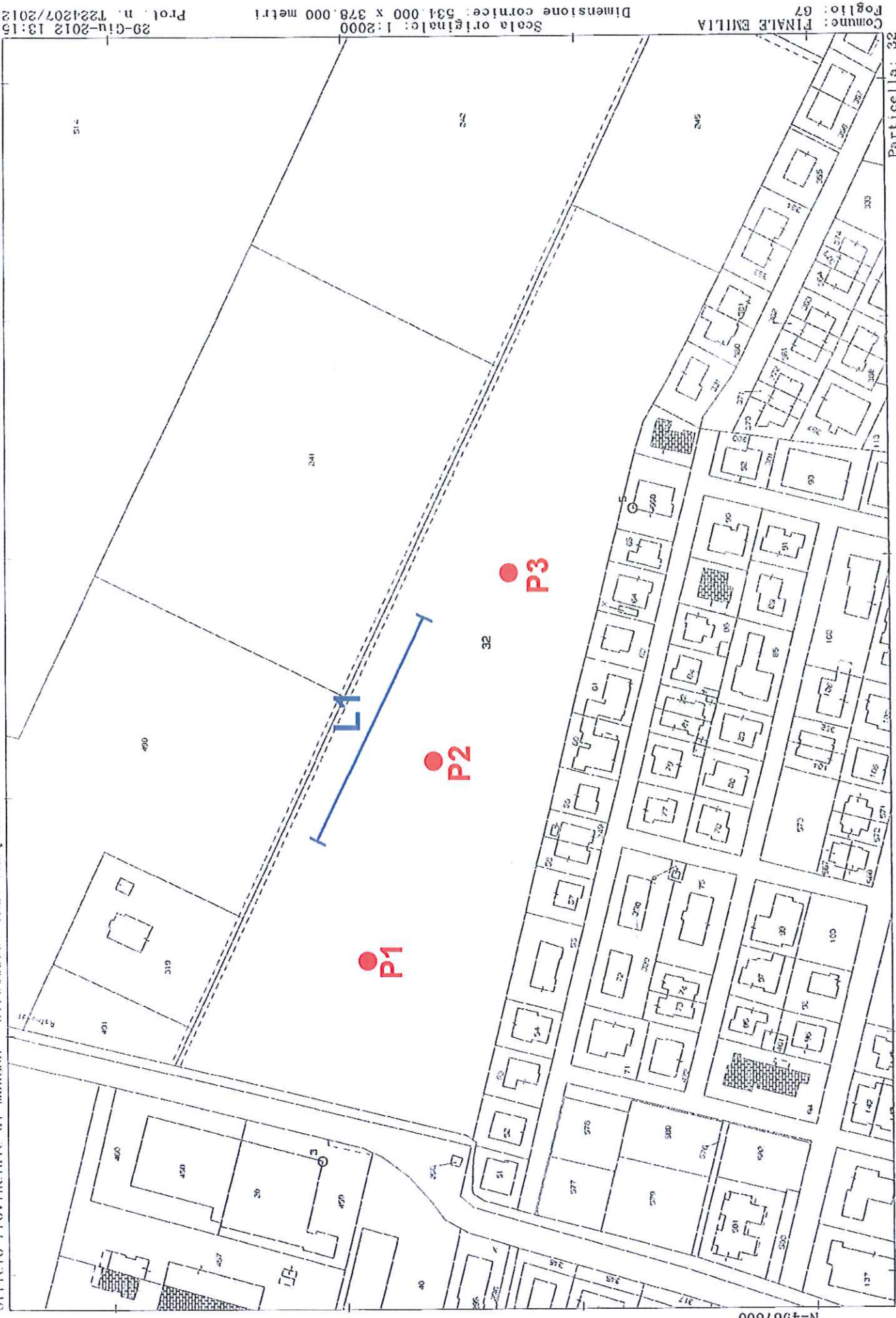
**Planimetria catastale con ubicazione prove
penetrometriche**

Scala 1 : 2.000

Foglio 67 mappale 32

● **P1** Prova penetrometrica
— **L1** Stendimento sismico

ALLEGATO N. 6



N=4967600

E=1681300

Particella: 32

Comune: FINALE EMILIA
Foglio: 67

Scala originale: 1:2000
Dimensione cornice: 534.000 x 378.000 metri

29-giu-2012 13:15
Prot. n. 1224207/2012

Prove penetrometriche

ALLEGATO N. 7



Via AUSTRIA, 24 - 41100 MODENA

Telefono 059/313999

Telefax 059/454827



PROVA PENETROMETRICA STATICA

Penetrometro Gouda

Certificato n. : **445/12** Data emissione: 20/07/12

Committente : C/O DOTT. MACCAFERRI ALESSANDRO

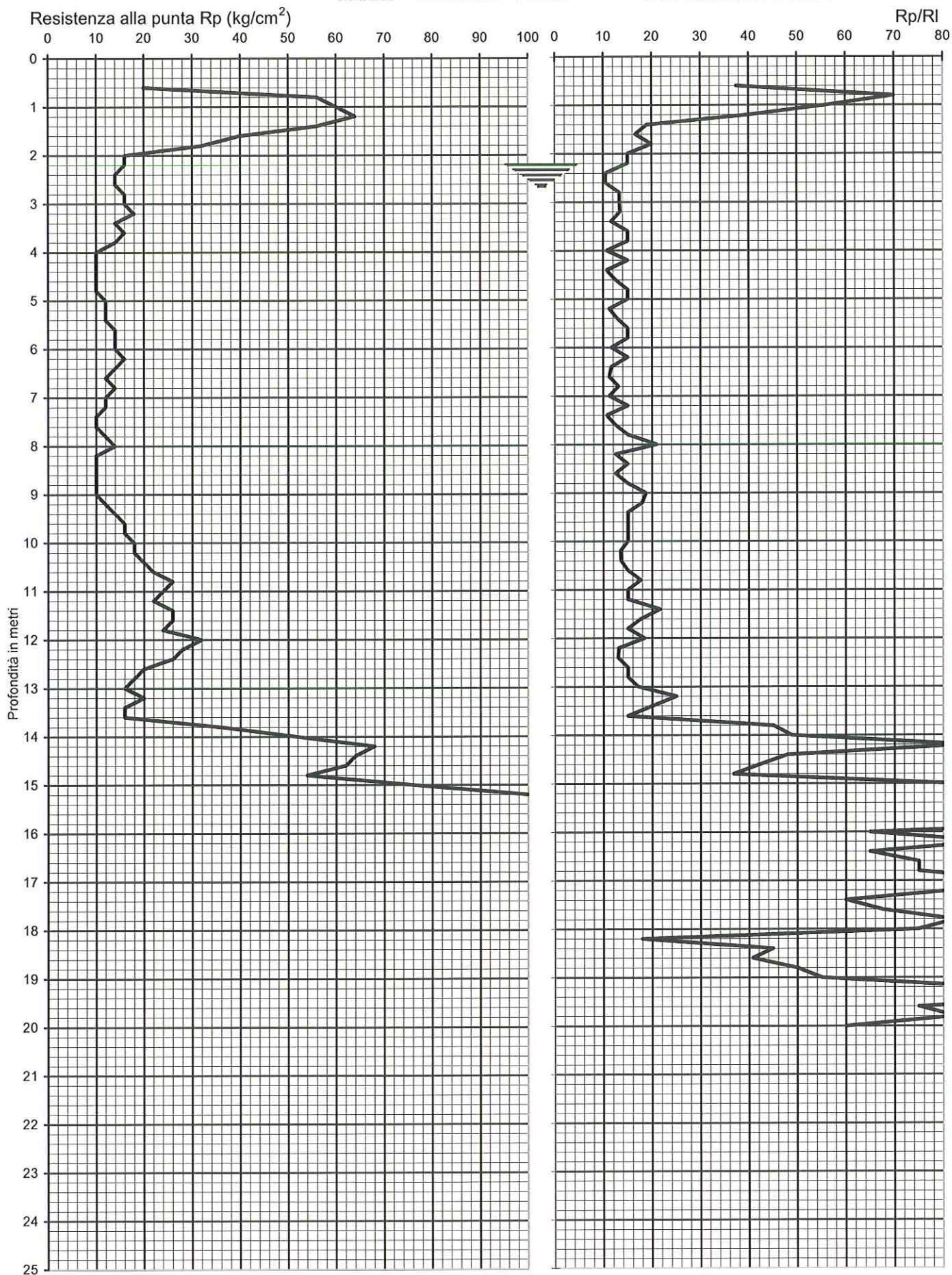
Località : VIA ROVERE-FINALE EMILIA

Prova numero : 1

Data : 19/07/2012

Operatore : DR. REBECCHI

Quota : P.C.



Prof. (m)	P (kg/cm ²)	P + L (kg/cm ²)	Rp (kg/cm ²)	RI (kg/cm ²)	Rp/RI [-]
0,20					
0,40					
0,60	20	28	20	0,53	37,50
0,80	56	68	56	0,80	70,00
1,00	60	76	60	1,07	56,25
1,20	64	88	64	1,60	40,00
1,40	56	100	56	2,93	19,09
1,60	40	76	40	2,40	16,67
1,80	32	56	32	1,60	20,00
2,00	16	32	16	1,07	15,00
2,20	16	32	16	1,07	15,00
2,40	14	34	14	1,33	10,50
2,60	14	34	14	1,33	10,50
2,80	16	34	16	1,20	13,33
3,00	16	34	16	1,20	13,33
3,20	18	38	18	1,33	13,50
3,40	14	32	14	1,20	11,67
3,60	16	32	16	1,07	15,00
3,80	14	28	14	0,93	15,00
4,00	10	24	10	0,93	10,71
4,20	10	20	10	0,67	15,00
4,40	10	24	10	0,93	10,71
4,60	10	22	10	0,80	12,50
4,80	10	20	10	0,67	15,00
5,00	12	24	12	0,80	15,00
5,20	12	28	12	1,07	11,25
5,40	12	26	12	0,93	12,86
5,60	14	28	14	0,93	15,00
5,80	14	28	14	0,93	15,00
6,00	14	32	14	1,20	11,67
6,20	16	32	16	1,07	15,00
6,40	14	32	14	1,20	11,67
6,60	12	28	12	1,07	11,25
6,80	14	30	14	1,07	13,13
7,00	12	28	12	1,07	11,25
7,20	12	24	12	0,80	15,00
7,40	10	24	10	0,93	10,71
7,60	10	22	10	0,80	12,50
7,80	12	24	12	0,80	15,00
8,00	14	24	14	0,67	21,00
8,20	10	22	10	0,80	12,50
8,40	10	20	10	0,67	15,00
8,60	10	22	10	0,80	12,50
8,80	10	20	10	0,67	15,00
9,00	10	18	10	0,53	18,75
9,20	12	22	12	0,67	18,00
9,40	14	28	14	0,93	15,00
9,60	16	32	16	1,07	15,00
9,80	16	32	16	1,07	15,00
10,00	18	36	18	1,20	15,00
10,20	18	38	18	1,33	13,50
10,40	20	42	20	1,47	13,64
10,60	22	44	22	1,47	15,00
10,80	26	48	26	1,47	17,73
11,00	24	48	24	1,60	15,00
11,20	22	44	22	1,47	15,00
11,40	26	44	26	1,20	21,67
11,60	26	48	26	1,47	17,73
11,80	24	48	24	1,60	15,00
12,00	32	58	32	1,73	18,46
12,20	28	60	28	2,13	13,13
12,40	26	56	26	2,00	13,00
12,60	20	40	20	1,33	15,00
12,80	18	36	18	1,20	15,00
13,00	16	30	16	0,93	17,14
13,20	20	32	20	0,80	25,00
13,40	16	28	16	0,80	20,00
13,60	16	32	16	1,07	15,00
13,80	36	48	36	0,80	45,00
14,00	52	68	52	1,07	48,75
14,20	68	80	68	0,80	85,00
14,40	64	84	64	1,33	48,00
14,60	62	84	62	1,47	42,27
14,80	54	76	54	1,47	36,82
15,00	76	90	76	0,93	81,43

Prof. (m)	P (kg/cm ²)	P + L (kg/cm ²)	Rp (kg/cm ²)	RI (kg/cm ²)	Rp/RI [-]
15,20	100	110	100	0,67	150,00
15,40	120	140	120	1,33	90,00
15,60	120	140	120	1,33	90,00
15,80	160	180	160	1,33	120,00
16,00	130	160	130	2,00	65,00
16,20	120	140	120	1,33	90,00
16,40	130	160	130	2,00	65,00
16,60	150	180	150	2,00	75,00
16,80	150	180	150	2,00	75,00
17,00	190	220	190	2,00	95,00
17,20	220	260	220	2,67	82,50
17,40	160	200	160	2,67	60,00
17,60	180	220	180	2,67	67,50
17,80	220	260	220	2,67	82,50
18,00	200	240	200	2,67	75,00
18,20	120	220	120	6,67	18,00
18,40	180	240	180	4,00	45,00
18,60	190	260	190	4,67	40,71
18,80	200	260	200	4,00	50,00
19,00	220	280	220	4,00	55,00
19,20	240	280	240	2,67	90,00
19,40	220	250	220	2,00	110,00
19,60	200	240	200	2,67	75,00
19,80	220	260	220	2,67	82,50
20,00	200	250	200	3,33	60,00
20,20					
20,40					
20,60					
20,80					
21,00					
21,20					
21,40					
21,60					
21,80					
22,00					
22,20					
22,40					
22,60					
22,80					
23,00					
23,20					
23,40					
23,60					
23,80					
24,00					
24,20					
24,40					
24,60					
24,80					
25,00					
25,20					
25,40					
25,60					
25,80					
26,00					
26,20					
26,40					
26,60					
26,80					
27,00					
27,20					
27,40					
27,60					
27,80					
28,00					
28,20					
28,40					
28,60					
28,80					
29,00					
29,20					
29,40					
29,60					
29,80					
30,00					



Via AUSTRIA, 24 - 41100 MODENA

Telefono 059/313999

Telefax 059/454827



PROVA PENETROMETRICA STATICA

Penetrometro Gouda

Certificato n. : **446/12** Data emissione: 20/07/12

Committente : C/O DOTT. MACCAFERRI ALESSANDRO

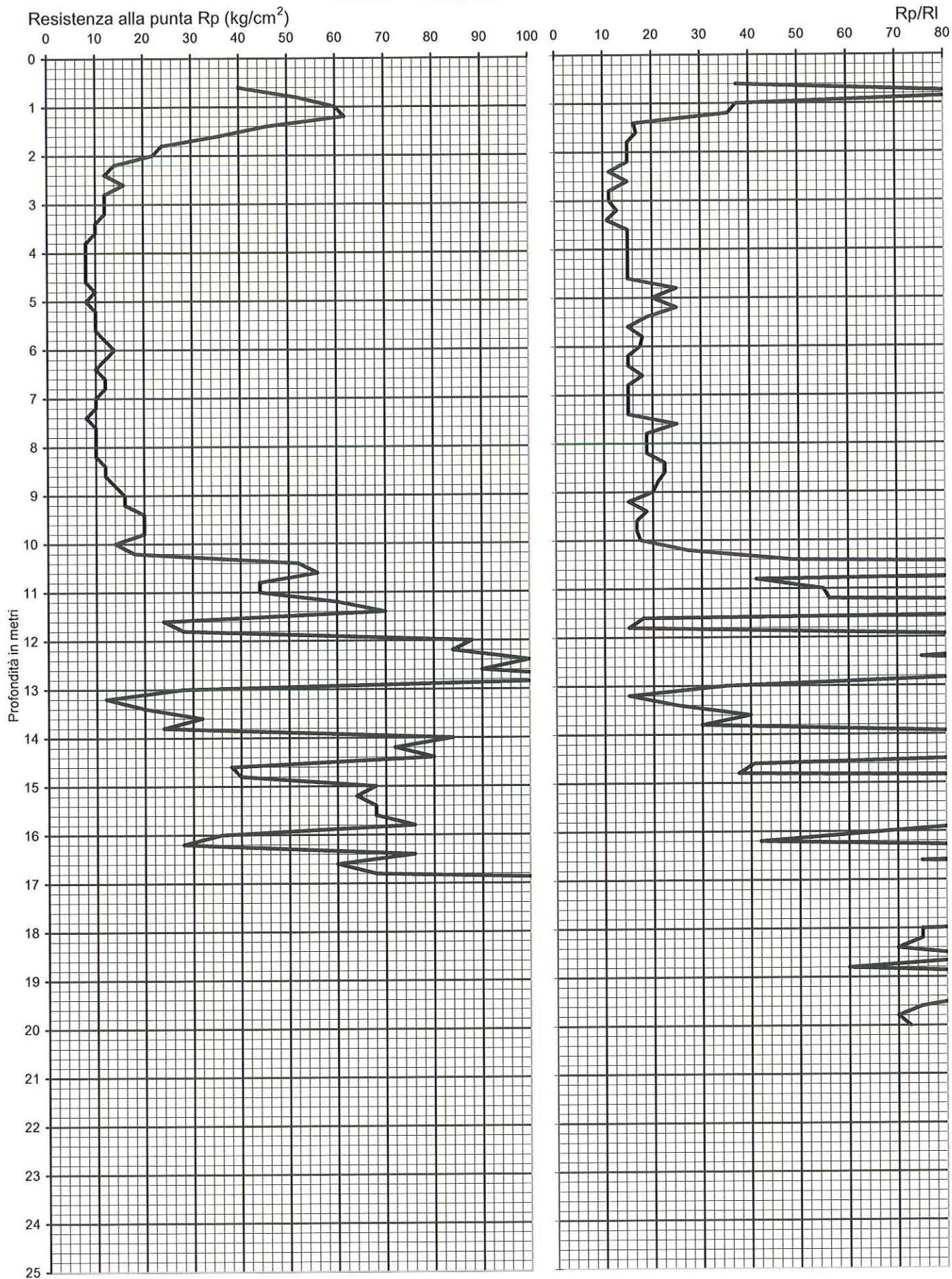
Località : VIA ROVERE-FINALE EMILIA

Prova numero : 2

Data : 19/07/2012

Operatore : DR. REBECCHI

Quota : P.C.



Prof. (m)	P (kg/cm ²)	P + L (kg/cm ²)	Rp (kg/cm ²)	RI (kg/cm ²)	Rp/RI [-]
0,20					
0,40					
0,60	40	56	40	1,07	37,50
0,80	52	60	52	0,53	97,50
1,00	60	84	60	1,60	37,50
1,20	62	88	62	1,73	35,77
1,40	46	88	46	2,80	16,43
1,60	36	68	36	2,13	16,88
1,80	24	48	24	1,60	15,00
2,00	22	44	22	1,47	15,00
2,20	14	28	14	0,93	15,00
2,40	12	28	12	1,07	11,25
2,60	16	32	16	1,07	15,00
2,80	12	28	12	1,07	11,25
3,00	12	28	12	1,07	11,25
3,20	12	26	12	0,93	12,86
3,40	10	24	10	0,93	10,71
3,60	10	20	10	0,67	15,00
3,80	8	16	8	0,53	15,00
4,00	8	16	8	0,53	15,00
4,20	8	16	8	0,53	15,00
4,40	8	16	8	0,53	15,00
4,60	8	16	8	0,53	15,00
4,80	10	16	10	0,40	25,00
5,00	8	14	8	0,40	20,00
5,20	10	16	10	0,40	25,00
5,40	10	18	10	0,53	18,75
5,60	10	20	10	0,67	15,00
5,80	12	22	12	0,67	18,00
6,00	14	26	14	0,80	17,50
6,20	12	24	12	0,80	15,00
6,40	10	20	10	0,67	15,00
6,60	12	22	12	0,67	18,00
6,80	12	24	12	0,80	15,00
7,00	10	20	10	0,67	15,00
7,20	10	20	10	0,67	15,00
7,40	8	16	8	0,53	15,00
7,60	10	16	10	0,40	25,00
7,80	10	18	10	0,53	18,75
8,00	10	18	10	0,53	18,75
8,20	10	18	10	0,53	18,75
8,40	12	20	12	0,53	22,50
8,60	12	20	12	0,53	22,50
8,80	14	24	14	0,67	21,00
9,00	16	28	16	0,80	20,00
9,20	16	32	16	1,07	15,00
9,40	20	36	20	1,07	18,75
9,60	20	38	20	1,20	16,67
9,80	20	38	20	1,20	16,67
10,00	14	26	14	0,80	17,50
10,20	18	28	18	0,67	27,00
10,40	52	68	52	1,07	48,75
10,60	56	60	56	0,27	210,00
10,80	44	60	44	1,07	41,25
11,00	44	56	44	0,80	55,00
11,20	60	76	60	1,07	56,25
11,40	70	74	70	0,27	262,50
11,60	24	44	24	1,33	18,00
11,80	28	56	28	1,87	15,00
12,00	88	100	88	0,80	110,00
12,20	84	96	84	0,80	105,00
12,40	100	120	100	1,33	75,00
12,60	90	100	90	0,67	135,00
12,80	120	140	120	1,33	90,00
13,00	28	40	28	0,80	35,00
13,20	12	24	12	0,80	15,00
13,40	20	32	20	0,80	25,00
13,60	32	44	32	0,80	40,00
13,80	24	36	24	0,80	30,00
14,00	84	96	84	0,80	105,00
14,20	72	82	72	0,67	108,00
14,40	80	90	80	0,67	120,00
14,60	38	52	38	0,93	40,71
14,80	40	56	40	1,07	37,50
15,00	68	72	68	0,27	255,00

Prof. (m)	P (kg/cm ²)	P + L (kg/cm ²)	Rp (kg/cm ²)	RI (kg/cm ²)	Rp/RI [-]
15,20	64	72	64	0,53	120,00
15,40	68	80	68	0,80	85,00
15,60	68	74	68	0,40	170,00
15,80	76	88	76	0,80	95,00
16,00	36	44	36	0,53	67,50
16,20	28	38	28	0,67	42,00
16,40	76	84	76	0,53	142,50
16,60	60	72	60	0,80	75,00
16,80	68	72	68	0,27	255,00
17,00	160	180	160	1,33	120,00
17,20	140	160	140	1,33	105,00
17,40	160	180	160	1,33	120,00
17,60	170	200	170	2,00	85,00
17,80	200	220	200	1,33	150,00
18,00	200	240	200	2,67	75,00
18,20	150	180	150	2,00	75,00
18,40	140	170	140	2,00	70,00
18,60	120	140	120	1,33	90,00
18,80	160	200	160	2,67	60,00
19,00	240	270	240	2,00	120,00
19,20	260	300	260	2,67	97,50
19,40	290	340	290	3,33	87,00
19,60	300	360	300	4,00	75,00
19,80	280	340	280	4,00	70,00
20,00	290	350	290	4,00	72,50
20,20					
20,40					
20,60					
20,80					
21,00					
21,20					
21,40					
21,60					
21,80					
22,00					
22,20					
22,40					
22,60					
22,80					
23,00					
23,20					
23,40					
23,60					
23,80					
24,00					
24,20					
24,40					
24,60					
24,80					
25,00					
25,20					
25,40					
25,60					
25,80					
26,00					
26,20					
26,40					
26,60					
26,80					
27,00					
27,20					
27,40					
27,60					
27,80					
28,00					
28,20					
28,40					
28,60					
28,80					
29,00					
29,20					
29,40					
29,60					
29,80					
30,00					



Via AUSTRIA, 24 - 41100 MODENA

Telefono 059/313999

Telefax 059/454827



PROVA PENETROMETRICA STATICA

Penetrometro Gouda

Certificato n. : **447/12** Data emissione: 20/07/12

Committente : C/O DOTT. MACCAFERRI ALESSANDRO

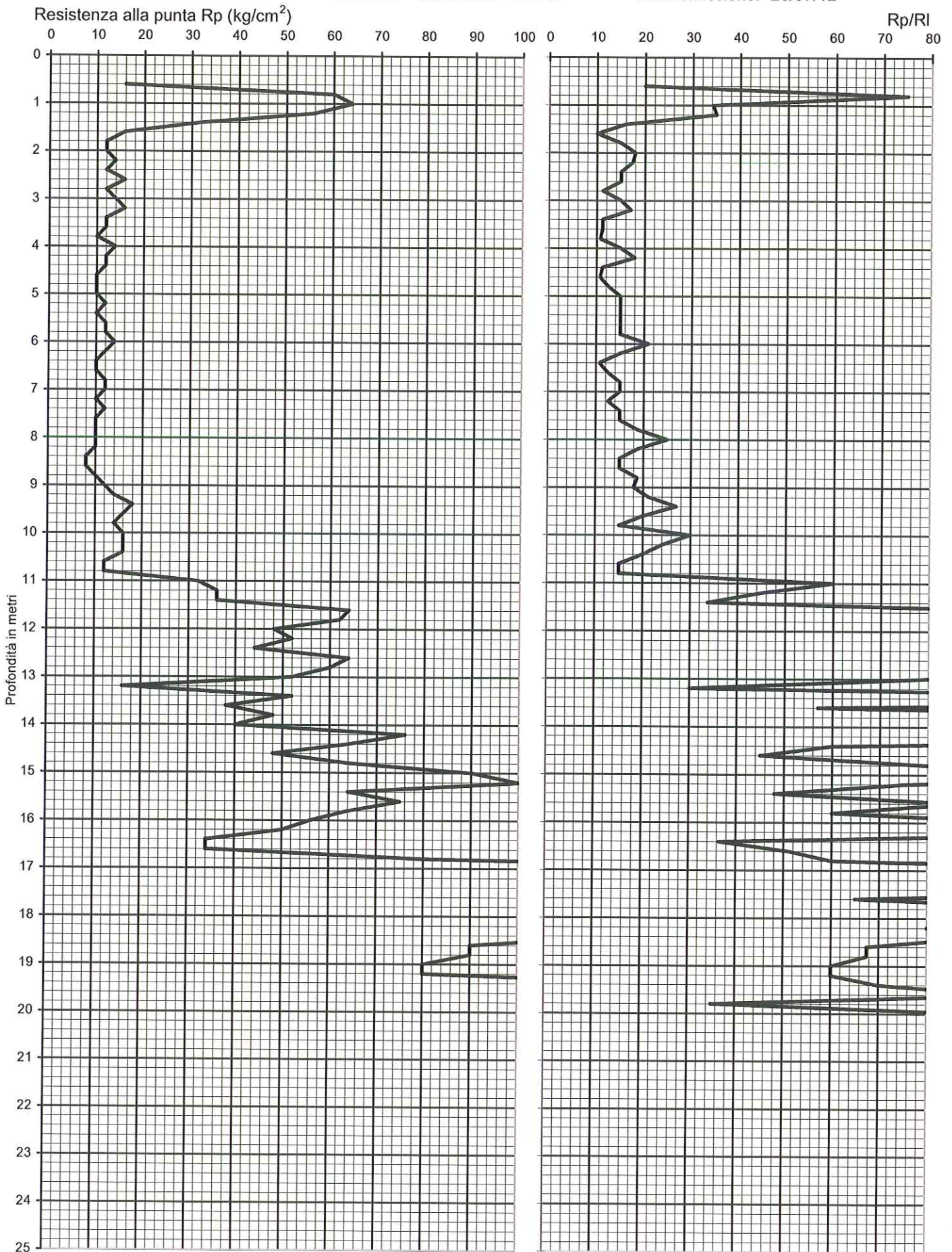
Località : VIA ROVERE-FINALE EMILIA

Prova numero : 3

Data : 19/07/2012

Operatore : DR. REBECCHI

Quota : P.C.



Prof. (m)	P (kg/cm ²)	P + L (kg/cm ²)	Rp (kg/cm ²)	RI (kg/cm ²)	Rp/RI [-]
0,20					
0,40					
0,60	16	28	16	0,80	20,00
0,80	60	72	60	0,80	75,00
1,00	64	92	64	1,87	34,29
1,20	56	80	56	1,60	35,00
1,40	32	62	32	2,00	16,00
1,60	16	40	16	1,60	10,00
1,80	12	24	12	0,80	15,00
2,00	12	22	12	0,67	18,00
2,20	14	26	14	0,80	17,50
2,40	12	24	12	0,80	15,00
2,60	16	32	16	1,07	15,00
2,80	12	28	12	1,07	11,25
3,00	14	28	14	0,93	15,00
3,20	16	30	16	0,93	17,14
3,40	12	28	12	1,07	11,25
3,60	12	28	12	1,07	11,25
3,80	10	24	10	0,93	10,71
4,00	14	28	14	0,93	15,00
4,20	12	22	12	0,67	18,00
4,40	12	28	12	1,07	11,25
4,60	10	24	10	0,93	10,71
4,80	10	22	10	0,80	12,50
5,00	10	20	10	0,67	15,00
5,20	12	24	12	0,80	15,00
5,40	10	20	10	0,67	15,00
5,60	12	24	12	0,80	15,00
5,80	12	24	12	0,80	15,00
6,00	14	24	14	0,67	21,00
6,20	12	24	12	0,80	15,00
6,40	10	24	10	0,93	10,71
6,60	10	22	10	0,80	12,50
6,80	12	24	12	0,80	15,00
7,00	12	24	12	0,80	15,00
7,20	10	22	10	0,80	12,50
7,40	12	24	12	0,80	15,00
7,60	10	20	10	0,67	15,00
7,80	10	18	10	0,53	18,75
8,00	10	16	10	0,40	25,00
8,20	10	18	10	0,53	18,75
8,40	8	16	8	0,53	15,00
8,60	8	16	8	0,53	15,00
8,80	10	18	10	0,53	18,75
9,00	12	22	12	0,67	18,00
9,20	14	24	14	0,67	21,00
9,40	18	28	18	0,67	27,00
9,60	16	28	16	0,80	20,00
9,80	14	28	14	0,93	15,00
10,00	16	24	16	0,53	30,00
10,20	16	26	16	0,67	24,00
10,40	16	28	16	0,80	20,00
10,60	12	24	12	0,80	15,00
10,80	12	24	12	0,80	15,00
11,00	32	40	32	0,53	60,00
11,20	36	48	36	0,80	45,00
11,40	36	52	36	1,07	33,75
11,60	64	72	64	0,53	120,00
11,80	62	72	62	0,67	93,00
12,00	48	56	48	0,53	90,00
12,20	52	56	52	0,27	195,00
12,40	44	52	44	0,53	82,50
12,60	64	72	64	0,53	120,00
12,80	60	68	60	0,53	112,50
13,00	52	62	52	0,67	78,00
13,20	16	24	16	0,53	30,00
13,40	52	56	52	0,27	195,00
13,60	38	48	38	0,67	57,00
13,80	48	52	48	0,27	180,00
14,00	40	44	40	0,27	150,00
14,20	76	82	76	0,40	190,00
14,40	64	80	64	1,07	60,00
14,60	48	64	48	1,07	45,00
14,80	64	76	64	0,80	80,00
15,00	90	100	90	0,67	135,00

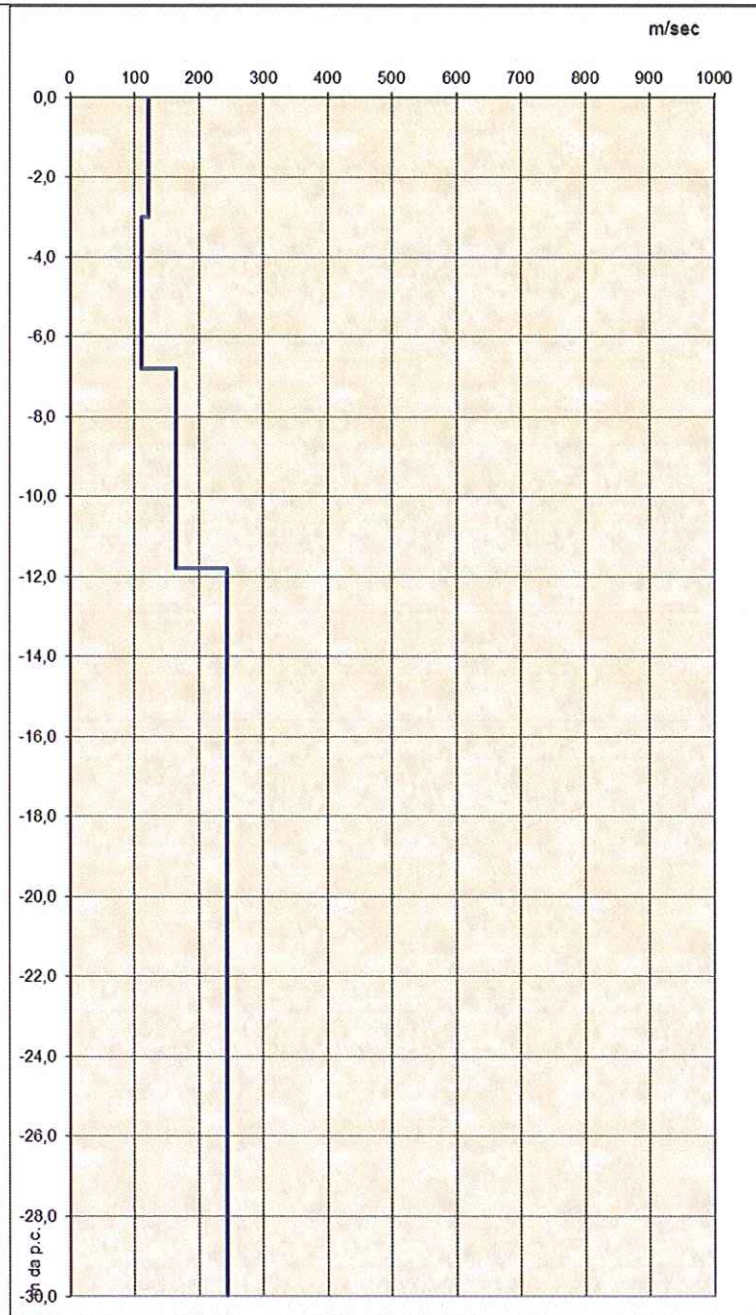
Prof. (m)	P (kg/cm ²)	P + L (kg/cm ²)	Rp (kg/cm ²)	RI (kg/cm ²)	Rp/RI [-]
15,20	100	120	100	1,33	75,00
15,40	64	84	64	1,33	48,00
15,60	75	88	75	0,87	86,54
15,80	64	80	64	1,07	60,00
16,00	56	64	56	0,53	105,00
16,20	50	56	50	0,40	125,00
16,40	34	48	34	0,93	36,43
16,60	34	44	34	0,67	51,00
16,80	80	100	80	1,33	60,00
17,00	200	220	200	1,33	150,00
17,20	180	210	180	2,00	90,00
17,40	180	200	180	1,33	135,00
17,60	130	160	130	2,00	65,00
17,80	160	180	160	1,33	120,00
18,00	180	210	180	2,00	90,00
18,20	160	190	160	2,00	80,00
18,40	120	140	120	1,33	90,00
18,60	90	110	90	1,33	67,50
18,80	90	110	90	1,33	67,50
19,00	80	100	80	1,33	60,00
19,20	80	100	80	1,33	60,00
19,40	140	170	140	2,00	70,00
19,60	260	300	260	2,67	97,50
19,80	210	300	210	6,00	35,00
20,00	250	290	250	2,67	93,75
20,20					
20,40					
20,60					
20,80					
21,00					
21,20					
21,40					
21,60					
21,80					
22,00					
22,20					
22,40					
22,60					
22,80					
23,00					
23,20					
23,40					
23,60					
23,80					
24,00					
24,20					
24,40					
24,60					
24,80					
25,00					
25,20					
25,40					
25,60					
25,80					
26,00					
26,20					
26,40					
26,60					
26,80					
27,00					
27,20					
27,40					
27,60					
27,80					
28,00					
28,20					
28,40					
28,60					
28,80					
29,00					
29,20					
29,40					
29,60					
29,80					
30,00					

Elaborazione linea sismica

ALLEGATO N. 8

ELABORAZIONE LINEA SISMICA MASW

Profondità da p.c. (m)	Spessore (m)	Velocità onde S (m/sec)
-3,0	3,0	122
-6,8	3,8	111
-11,8	5,0	164
-30,0	18,2	243



- Diagramma velocità Vs/profondità -

- $V_{s30} = 183$ m/sec - categoria di appartenenza del litotipo equivalente è la C.

C - Depositi di terreni a grana grossa mediamente addensati o terreni a grana fine mediamente consistenti, con spessori superiori a 30 m caratterizzati da graduale miglioramento delle proprietà meccaniche con la profondità e valori del VS30 compresi tra 180 m/s e 360 m/s (ovvero $15 < NSPT30 < 50$ nei terreni a grana grossa e $70 < cu30 < 250$ kPa nei terreni a grana fina).

Verifiche alla liquefazione

ALLEGATO N. 9

Informazioni generali

Località Via Rovere - Finale Emilia (M)
 Coord GB 0
 Prova Prova nr. P1
 data 19/07/2012

Informazioni falda

Profondità falda da pdc (m) = 2.20

Informazioni terremoto

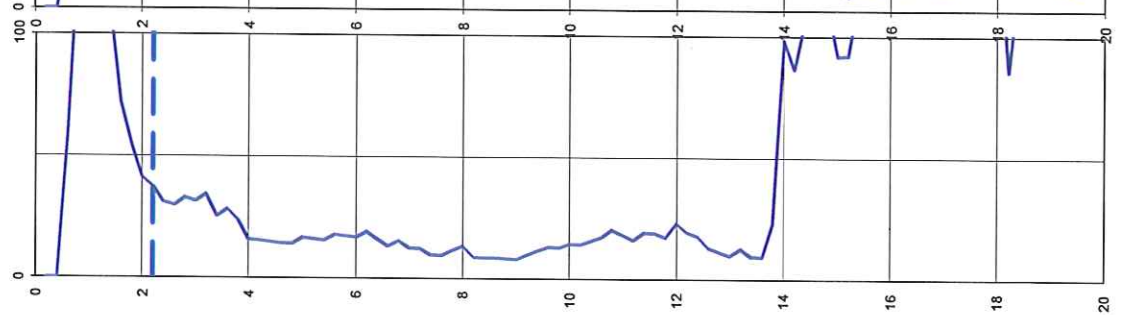
M_w : 6.20
 $a_{max}(g)$: 0.245

CRR > Formule di Robertson e Wride (1997) - sabbie con fine
 CSR = $0.65(\sigma_{vm}/g)(\sigma'_{vm}/\sigma'_{vm})_c$ con rd Idriss e Boulanger, 2004
 $F_{Liq} = (CRR/CSR) * MSF$ con MSF di Idriss e Boulanger, 2004

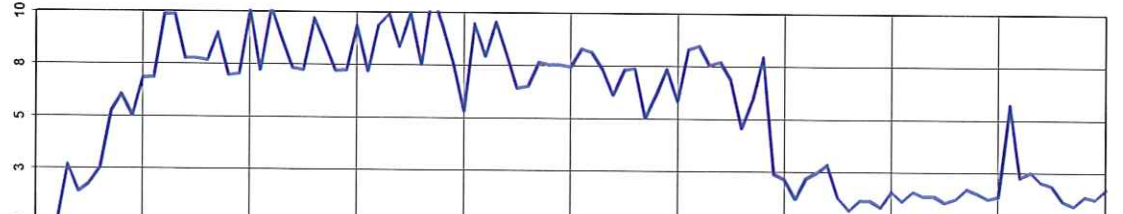
Informazioni e Risultati analisi

I_L (indice del potenziale liquefazione) = 0.02 Rischio di liquefazione = molto basso

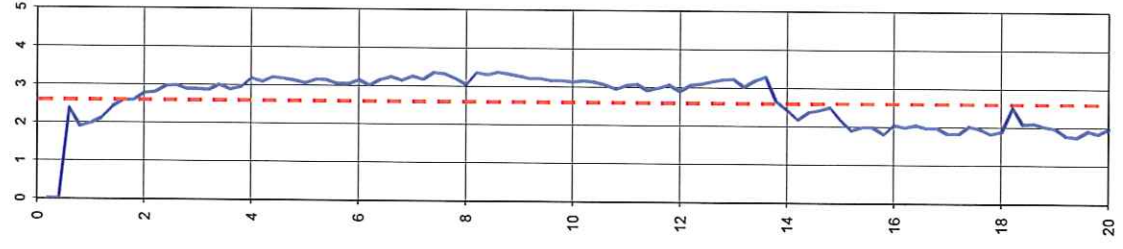
Qc(N)



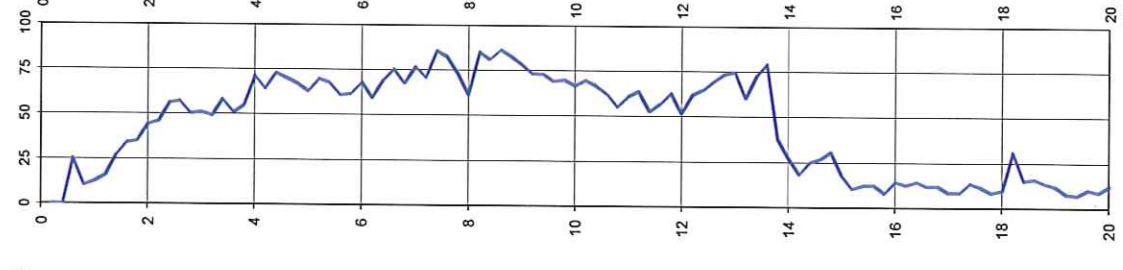
FR(%)



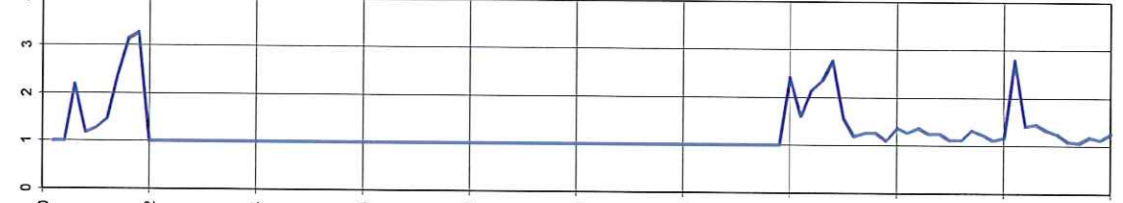
Ic



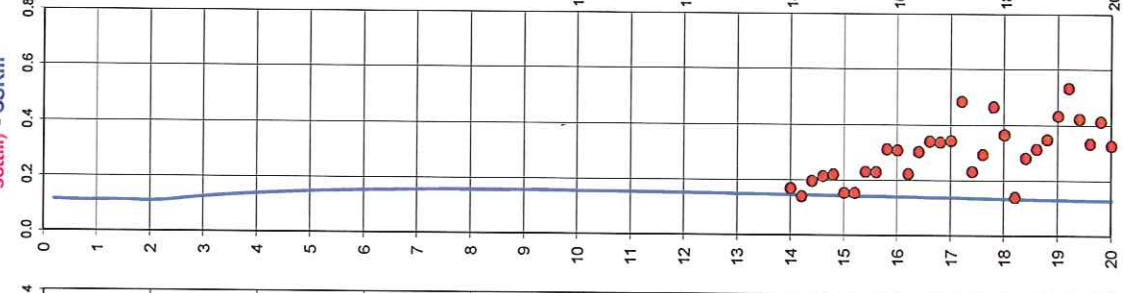
Apparent FC (%)



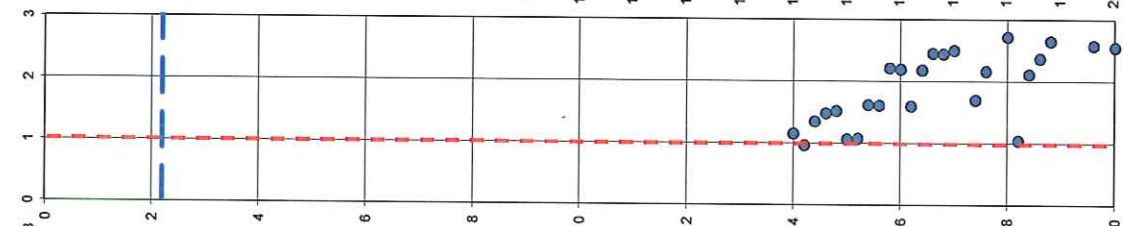
Kc



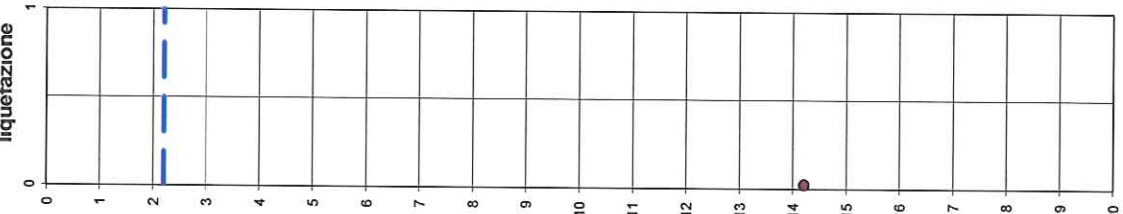
CRR - CRR (strati sottili) - CSRm



FS LIQ



I_L Indice Pot. liquefazione



PROVA

Prova nr. P1

Data

19/07/2012

Località

Via Rovere - Finale Emilia (MO)

Coord G.B:

Profondità falda (cm)

220

Magnitudo

6.20

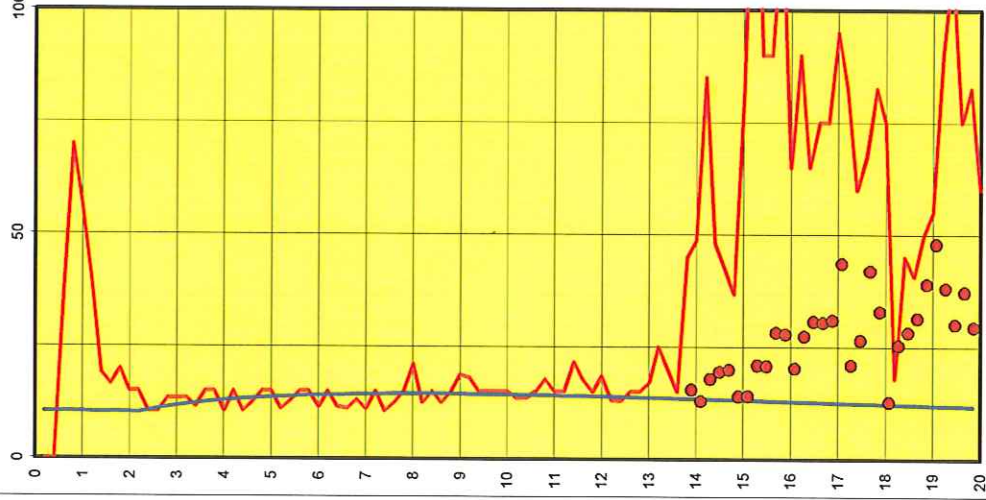
a_{max} (g)

0.245

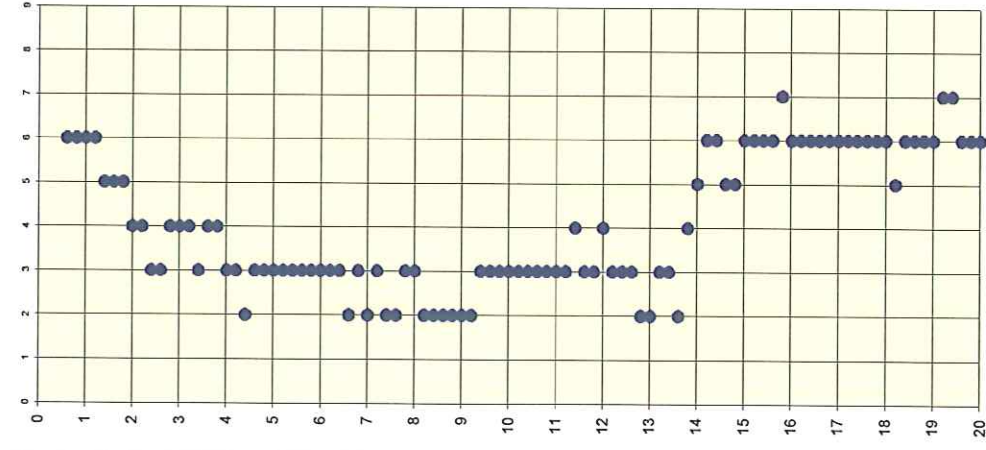
qc Resistenza alla punta



Rp/RI



USCS Classification



- 1 = Organic soil : peats
- 2 = Clay
- 3 = Silty clay
- 4 = Clayey silt to silt clay
- 5 = Sandy silt
- 6 = Silty sand
- 7 = Sandy with silt
- 8 = Clean sand
- 9 = Gravely sand to dense sand

Informazioni generali

Località Via Rovere - Finale Emilia (M)
 Coord GB 0
 Prova Prova nr. P2
 data 19/07/2012

Informazioni falda

Profondità falda da pdc (m) = 2.20

Informazioni terremoto

M_w : 6.20
 $a_{max}(g)$: 0.245

Informazioni e Risultati analisi

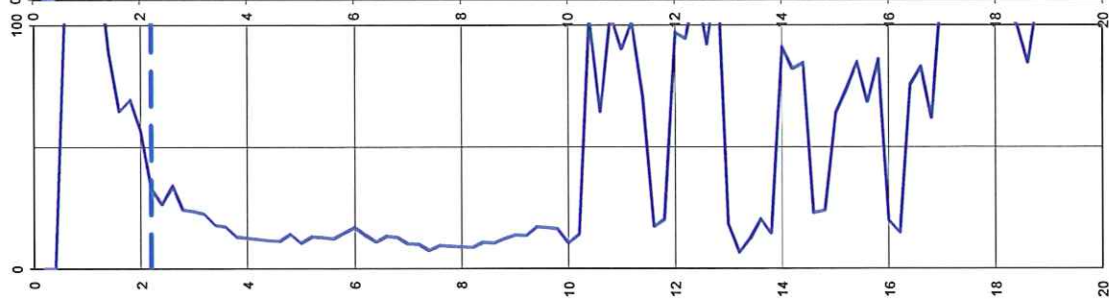
CRR > Formule di Robertson e Wride (1997) - sabbie con fine
 CSR = $0.65(\sigma_{vm}/g)(\sigma'_{vo}/\sigma'_{vo})_{10}$ con rd Idriss e Boulanger, 2004
 $F_{Liq} = (CRR/CSR) * MSF$ con MSF di Idriss e Boulanger, 2004

I_L (indice dei potenziale liquefazione) = 1.16

Rischio di liquefazione =

Basso

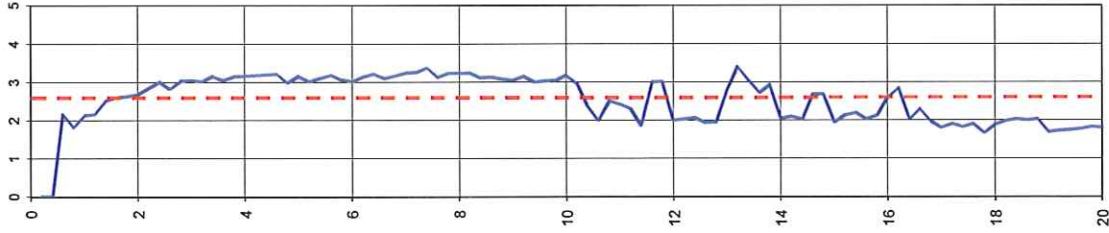
Qc1N



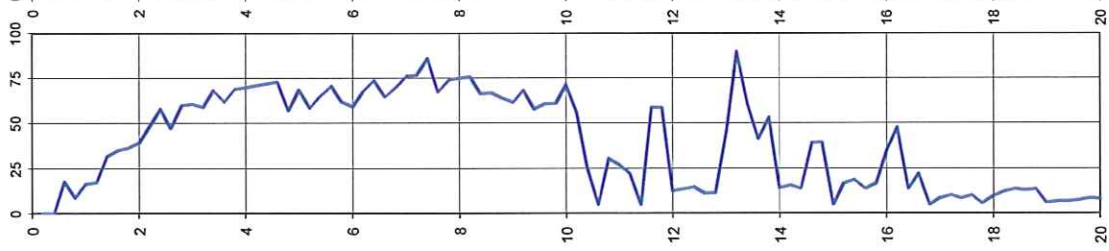
FR (%)



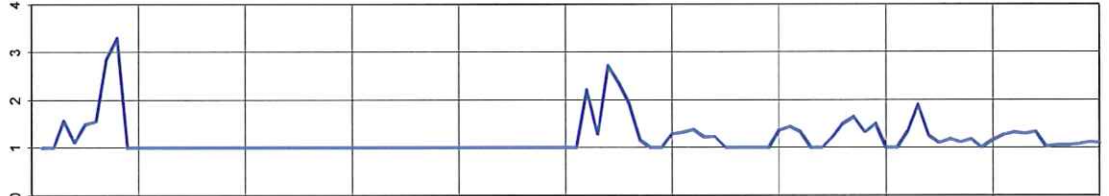
Ic



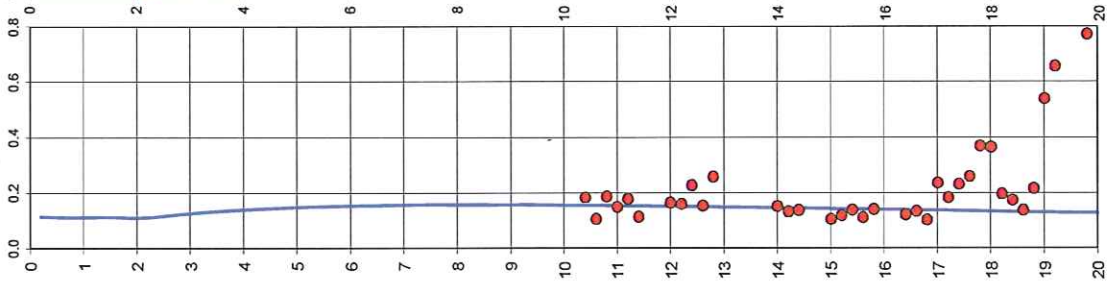
Apparent FC (%)



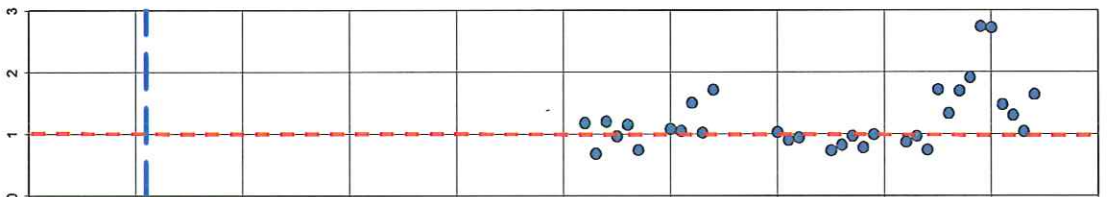
Kc



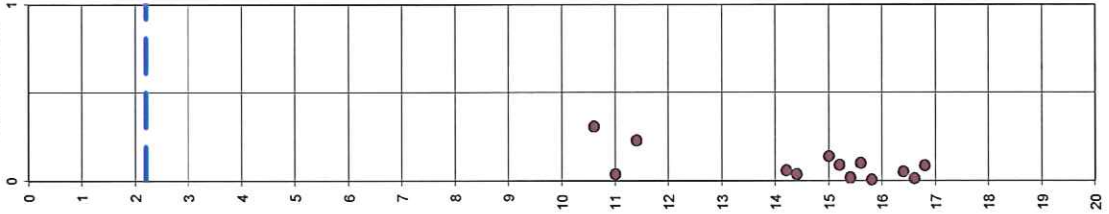
**CRR - CRR (strati
sottili) - CSRm**



FS LIQ



**I_L Indice Pot.
liquefazione**



PROVA

Prova nr. P2

Data

19/07/2012

Località

Via Rovere - Finale Emilia (MO)

Coord G.B.:

Profondità falda (cm)

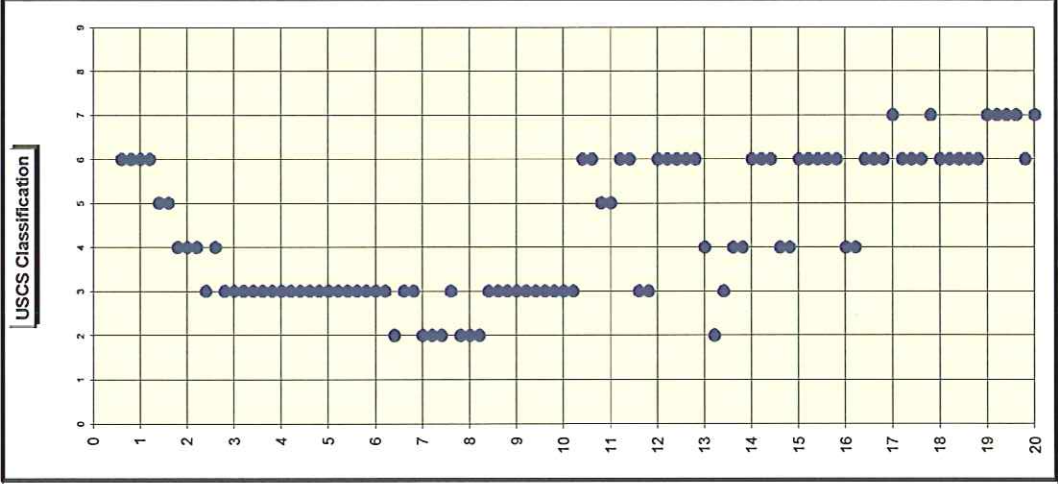
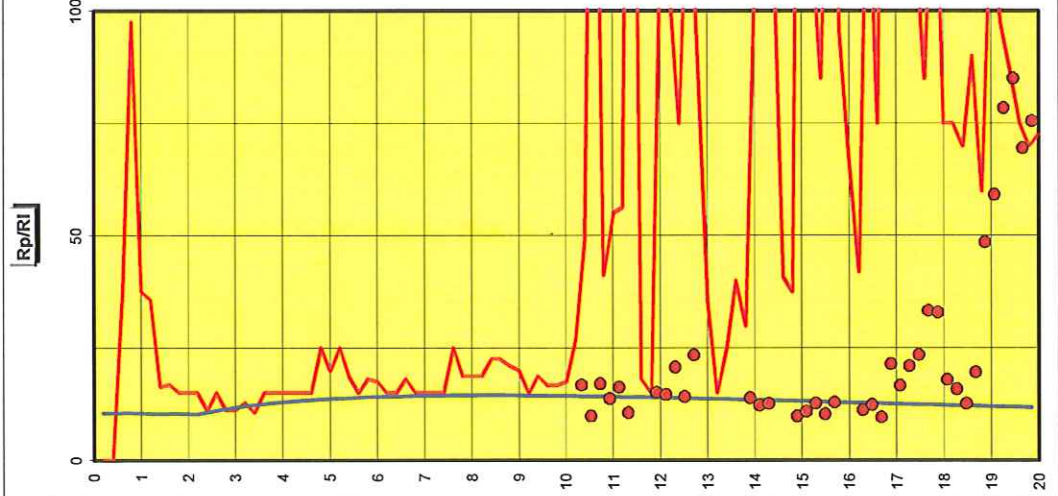
220

Magnitudo

6.20

a_{max} (g)

0.245



- 1 = Organic soil : peats
- 2 = Clay
- 3 = Silty clay
- 4 = Clayey silt to silt clay
- 5 = Sandy silt
- 6 = Silty sand
- 7 = Sandy with silt
- 8 = Clean sand
- 9 = Gravelly sand to dense sand

Informazioni generali

Informazioni falda

Informazioni terremoto

Informazioni e Risultati analisi

Località Via Rovere - Finale Emilia (M)
 Coord GB 0
 Prova Prova nr. P3
 data 19/07/2012

Profondità falda da pdc (m) = 2.20

M_w : 6.20
 $a_{max}(g)$: 0.245

CRR > Formule di Robertson e Wride (1997) - sabbie con fine
 CSR = $0.65(\sigma_{vm}^g)(\sigma_{vm}^g)^{1/4}$ con rd Idriss e Boulanger, 2004
 $F_{Liq} = (CRR/CSR) * MSF$ con MSF di Idriss e Boulanger, 2004

Basso

Rischio di liquefazione =

2.72

Kc

Apparent FC (%)

Ic

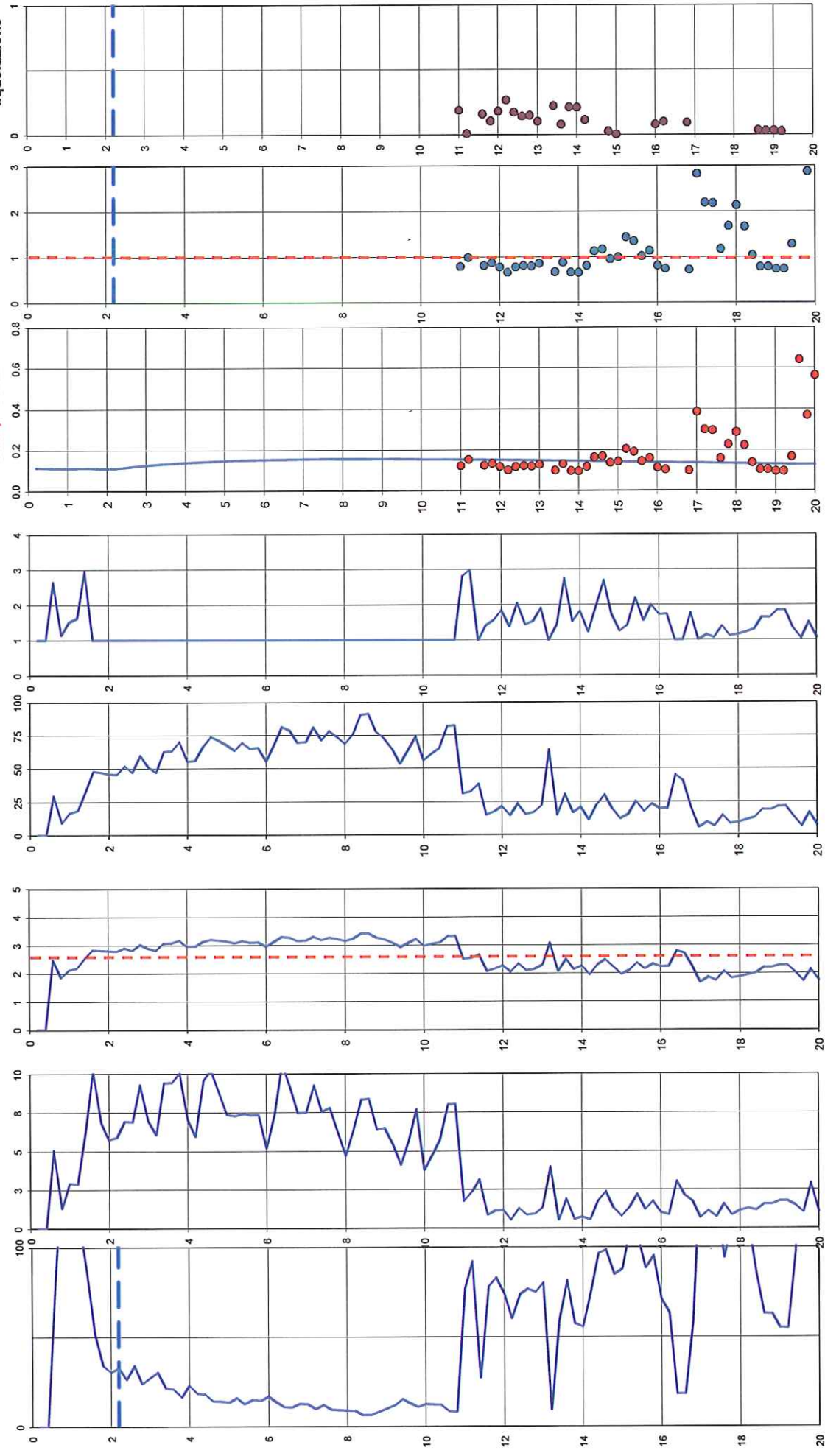
FR (%)

Qc1N

**CRR - CRR (strati
 sottili) - CSRm**

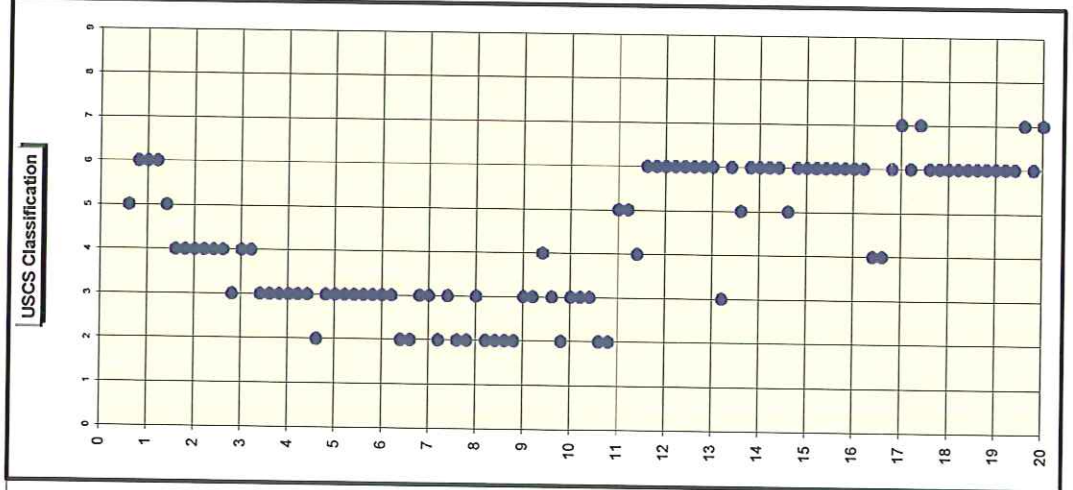
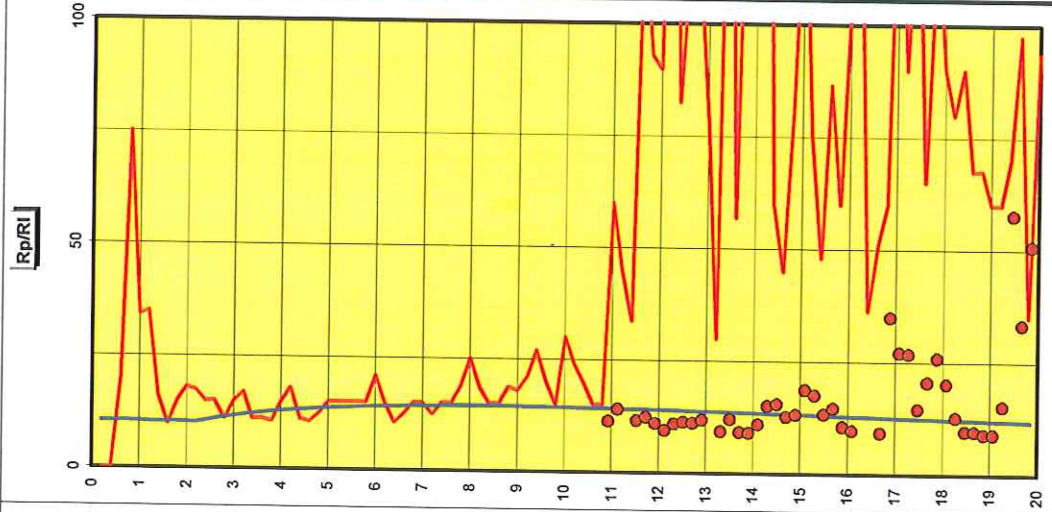
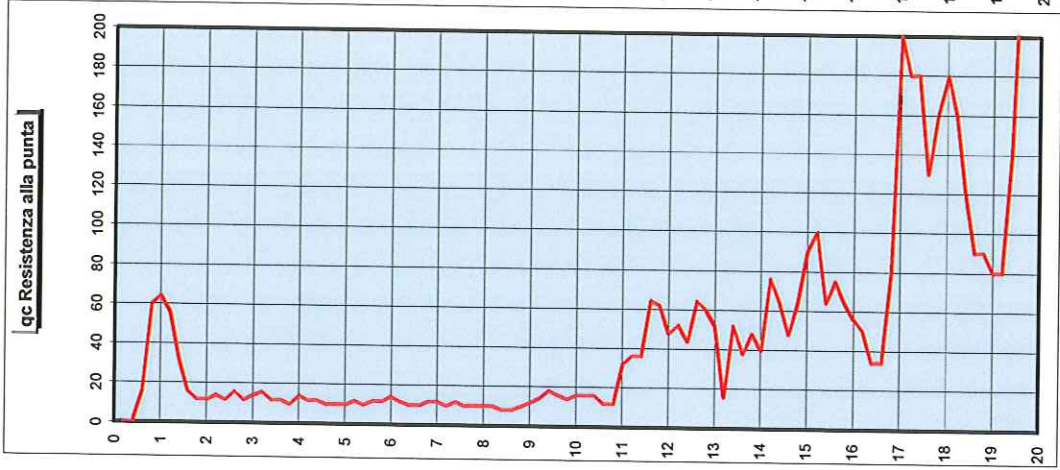
FS LIQ

**I_L Indice Pot
 liquefazione**



PROVA	Prova nr. P3
Data	19/07/2012
Località	Via Rovere - Finale Emilia (MO)
Coord G.B.:	

Profondità falda (cm)	220
Magnitudo	6.20
a_{max} (g)	0.245



- 1 = Organic soil : peats
- 2 = Clay
- 3 = Silty clay
- 4 = Clayey silt to silt clay
- 5 = Sandy silt
- 6 = Silty sand
- 7 = Sandy with silt
- 8 = Clean sand
- 9 = Gravelly sand to dense sand

PROGETTO ESECUTIVO LAVORI COMPLEMENTARI

COMUNE DI FINALE EMILIA

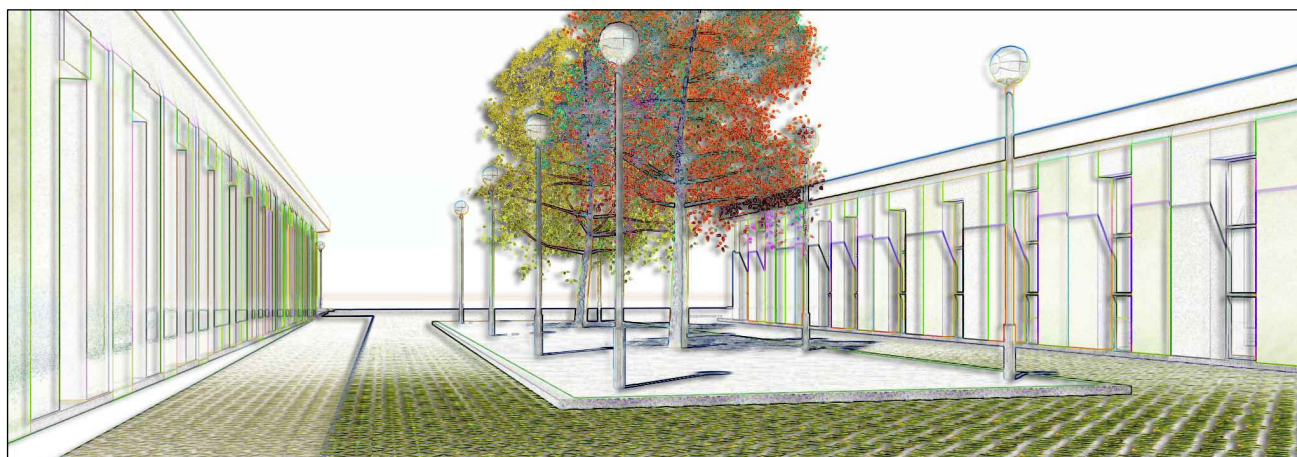
Provincia di Modena

LOTTO N°.

16

D.C.R. n. 1741 DEL 23 SETTEMBRE 2014

LAVORI COMPLEMENTARI SCUOLA PRIMARIA "CASTELFRANCHI" E SCUOLA SECONDARIA I GRADO "FRASSONI"
MEDIANTE PROCEDURA NEGOZIATA AI SENSI DELL'ART. 57 II, comma 5 lett. a) del D.Lgs. n. 163/2006



Impresa Esecutrice: ATI

Capogruppo Mandataria:



C.M.C. - Cooperativa muratori
cementisti Ravenna
Via Trieste 76 48122 Ravenna
tel. +39 0544 428111
fax +39 0544 428554
cmc.cmc@cmcra.com

timbro e firma

Mandanti:



AR.CO. LAVORI s.c.c.
Via Negrini, 1 4123 Ravenna
Tel. 0544/453853 Fax. 0544/450337
Mail: arcolavori@arcolavori.com

timbro e firma

Progettazione Interna:



C.M.C. - Cooperativa muratori
cementisti Ravenna
Via Trieste 76 48122 Ravenna
tel. +39 0544 428111
fax +39 0544 428554
cmc.cmc@cmcra.com

Progettista e responsabile delle varie specializzazioni nonché
responsabile coordinamento e integrazione tra le varie prestazioni
specialistiche

Ing. Gian Luca Menchini

timbro e firma

Elaborato: RELAZIONE GEOTECNICA

RESPONSABILE DEL PROCEDIMENTO:

Ing. MANUELA MANENTI

timbro e firma

C.S.E.:

timbro e firma

Consulenza alla Progettazione:

EU.LE.RO. ENG

VIA DEI BERIO 88 - ROMA (RM)

DIREZIONE LAVORI:

Ing. ANTONIO LIGORI

timbro e firma

INDICE

1. PREMESSA.....	2
1.1 Descrizione delle strutture del nuovo edificio	2
2. NORMATIVA DI RIFERIMENTO	5
3. INQUADRAMENTO GEOLOGICO E CONSIDERAZIONI SUI PARAMETRI GEOTECNICI	5
4. MODELLAZIONE DEL TERRENO DI FONDAZIONE	10
5. OPERE DI FONDAZIONE	10
5.1 Verifiche geotecniche struttura.....	11
6. TABULATO DI CALCOLO VERIFICHE GEOTECNICHE CORPO AGGIUNTO.....	13
PARAMETRI DI CALCOLO :.....	13
ARCHIVIO STRATIGRAFIE :.....	14
ARCHIVIO TERRENI :.....	14
DATI GEOMETRICI DEGLI ELEMENTI COSTITUENTI LE FONDAZIONI SUPERFICIALI : .	14
VALORI DI CALCOLO DELLA PORTANZA PER FONDAZIONI SUPERFICIALI :.....	17
VALORI DI CALCOLO DEI CEDIMENTI PER FONDAZIONI SUPERFICIALI :.....	18

1. PREMESSA

La presente relazione riporta i calcoli e le verifiche geotecniche effettuate nell'ambito del **progetto esecutivo per la realizzazione dei lavori di completamento della nuova scuola Primaria "Castelfranchi" e della scuola secondaria I° grado "Frassoni"**.

Il lotto in cui sorge il complesso scolastico costituito da una scuola primaria e da una scuola secondaria di I° Grado, è distinto in catasto al Foglio 67 mappale 32 (parte).

Si tratta di un insieme di aree agricole o di aree marginali addossate o intercluse tra zone residenziali, nuclei abitati e case sparse.

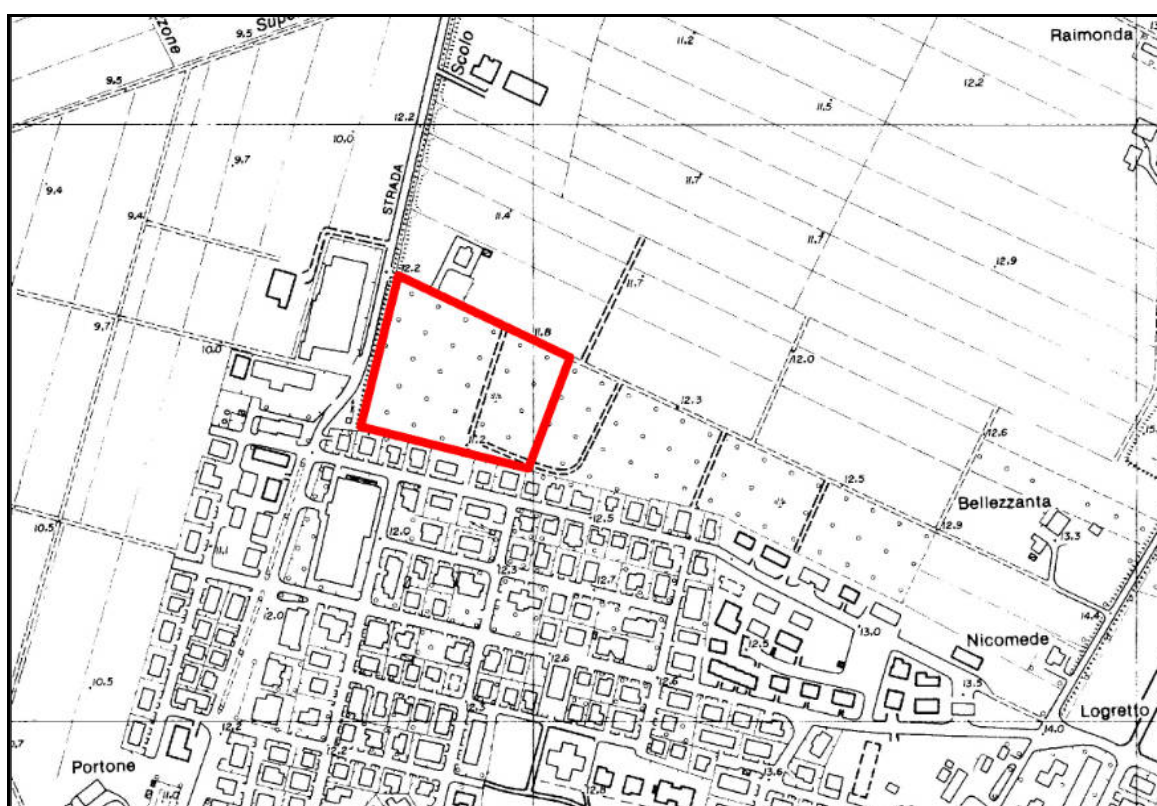


Fig.1 - Vista dell'area di intervento

1.1 Descrizione delle strutture del nuovo edificio

L'edificio scolastico è costituito da una struttura su di un unico livello, con pianta a forma irregolare ad U di lati con dimensioni attualmente pari a circa 76x51 ml.

Il nuovo corpo in ampliamento verrà realizzato in adiacenza all'ala sud e strutturalmente indipendente dall'edificio esistente mediante un giunto sismico di 10cm.

Le strutture del nuovo corpo in ampliamento risultano ancorate al piede ad una platea di fondazione di spessore pari a 28 cm e armata con maglia incrociata superiore ed inferiore $\phi 12$ passo 20cm. Con

tale assunto sono stati rispettati appieno tutte le prescrizioni geometriche previste nelle NTC con una percentuale minima di armatura pari al 0.4% (vedi § 7.2.5 delle NTC).

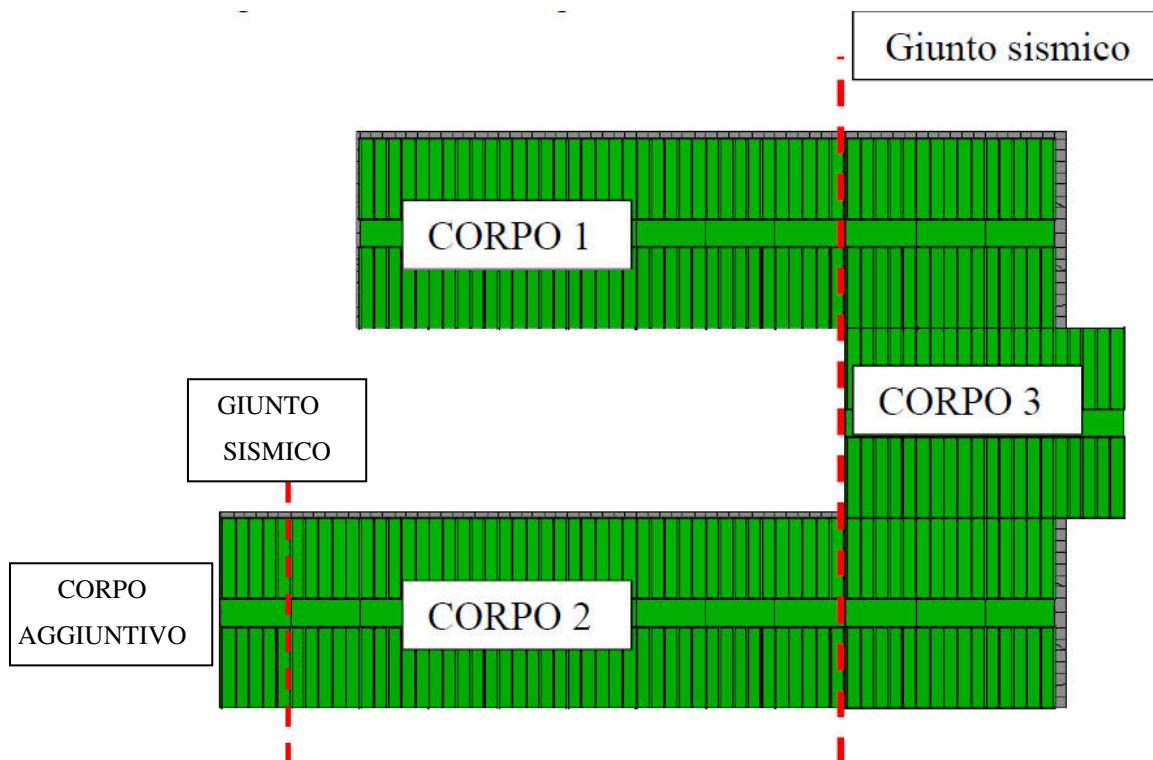


Fig. 2- pianta edificio con giunti strutturali

Le strutture in elevazione sono composte essenzialmente da elementi molto semplici ma molto performanti sotto il punto di vista del controventamento alle forze orizzontali.

Sono stati previsti pilastri in acciaio HEA 200 a formare una maglia modulare regolare di interasse trasversale e longitudinale rispettivamente pari a 7.2 m e 6.20 m. La copertura anch'essa realizzata modularmente è composta da travi longitudinali in legno lamellare di sezione pari a 16x40 e 16x52 mentre le travi secondarie trasversali hanno tutte sezione costante pari a 16x32. Su di esse poggia una membrana lignea continua, (pannello multistrato in legno) di spessore variabile da 2 a 6 cm, il quale funge da controventamento di falda e forma un elemento piano rigido per la ripartizione delle spinte sismiche e del vento.

Le strutture di controventamento sono composte da profili L60x8 ancorati inferiormente alla platea (vedi particolare in Fig. 6) e superiormente alla testa del pilastro in acciaio.

Come si evince dai disegni i profili sono stati collegati in maniera da minimizzare qualsiasi tensione parassita (bullonature sugli assi di truschino).

La disposizione dei controventi in pianta sia in senso longitudinale che trasversale è stata studiata e ottimizzata per tentativi al fine di scongiurare qualsiasi fenomeno torcente e rendere massima la duttilità globale del fabbricato e dunque la sua resistenza alle azioni orizzontali.

La sezione trasversale presenta è composta da due parti con larghezza 7.20 m e da un corridoio centrale con dimensione pari a 2.60 m (interasse tra pilastri). I due corpi laterali presentano una copertura inclinata di circa 5 gradi (9%), poggiata su piastri interni di altezza pari a 3.37 m e pilastri esterni di altezza pari a 3.99 m.

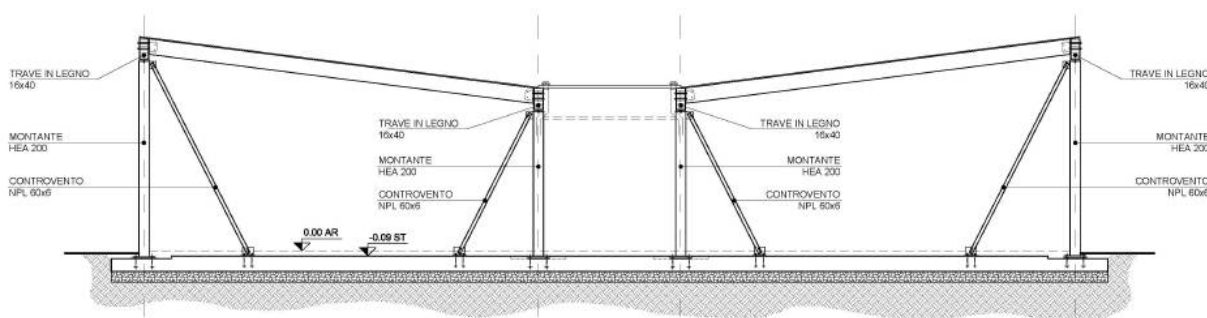


Fig.4- sezione trasversale- schema di controventamento

Si riportano nelle figure gli schemi delle principali strutture descritte e si precisa che gli schemi, i modelli ed i calcoli di progetto e verifica riportati nella presente relazione, sono stati redatti secondo quanto prescritto dalle Nuove Norme Tecniche 2008 sulle Costruzioni ed in particolare al capitolo 7. “Progettazione per azioni sismiche”.

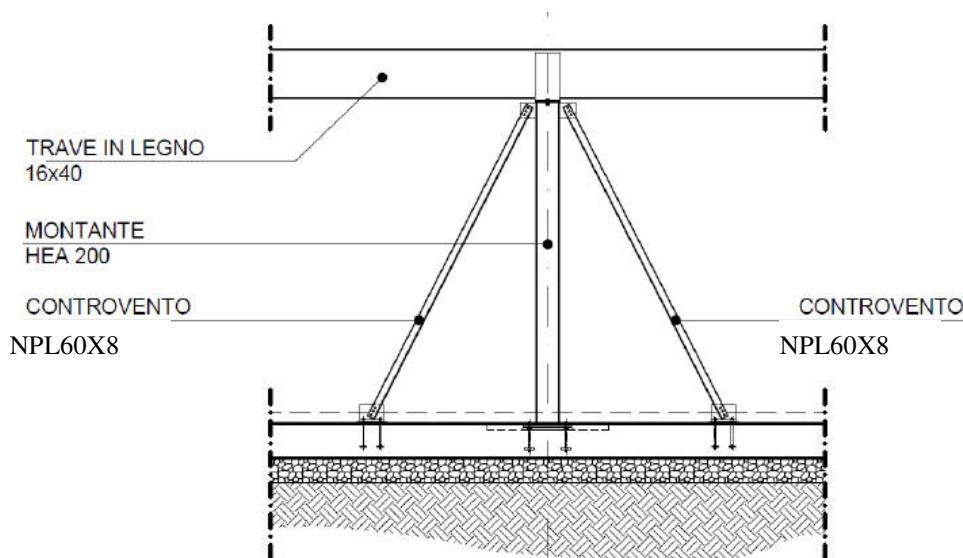


Fig.5- schema di controventamento longitudinale

Per i controventi sono stati redatti appositi schemi di calcolo in cui le sollecitazioni derivanti dai modelli globali tridimensionali, per ognuna combinazione di ogni stato limite considerato (SLV, SLO, SLD), sono state considerate per le verifiche.

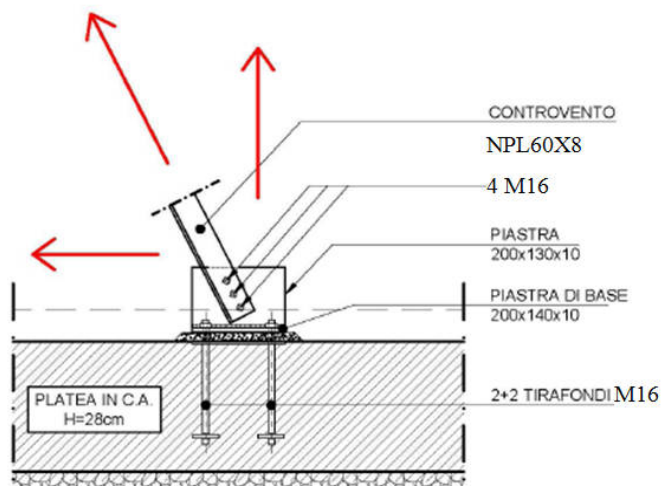


Fig.6- schema di verifica controvento

Per i collegamenti quali i giunti di base sua della colonna alla platea di fondazione sia dei controventi, sono stati redatti modelli di calcolo e verifica (vedi Fig. 6) in cui le forze di plasticizzazione del profilo di controvento (NPL 60x8) sono state usate per le verifiche tipiche delle connessioni quali quelle dei bulloni di base, dei bulloni di connessione, della sezione indebolita dai fori, della piastra a flessione e a rifollamento.

2. NORMATIVA DI RIFERIMENTO

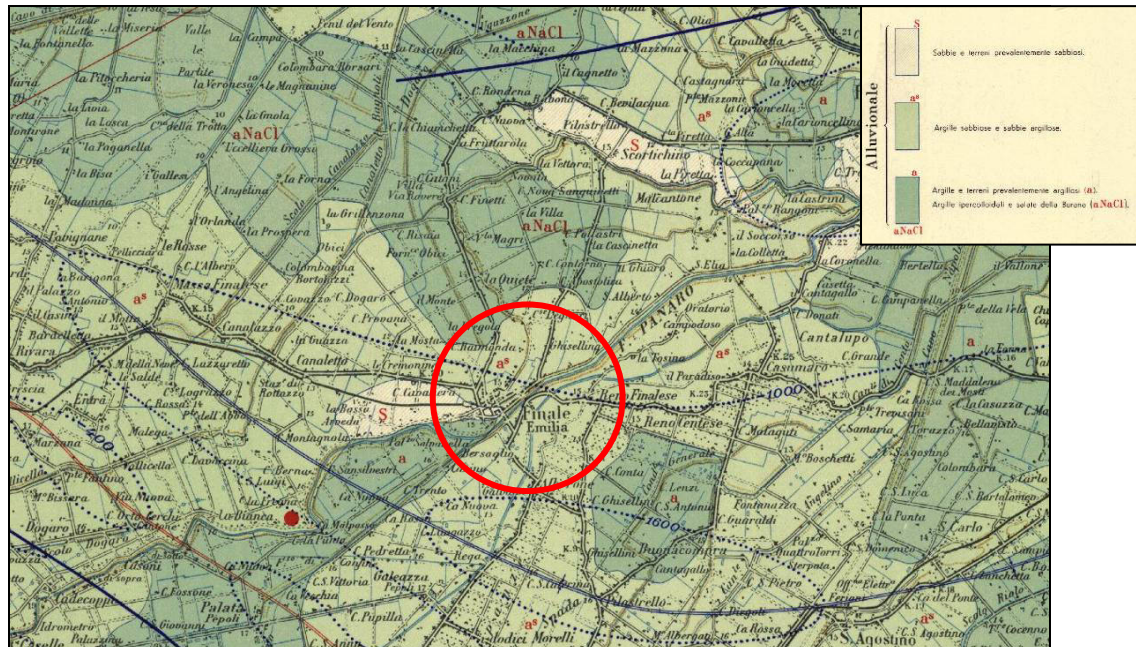
- **D.M. delle Infrastrutture 14 gennaio 2008** “Approvazione delle nuove norme tecniche”
- **Circolare Consiglio Superiore LL.PP. 2 Febbraio 2009 n°617** “Nuova Circolare delle Norme Tecniche per le Costruzioni” di cui al D.M. delle Infrastrutture 14 gennaio 2008.

3. INQUADRAMENTO GEOLOGICO E CONSIDERAZIONI SUI PARAMETRI GEOTECNICI

L’area in esame è caratterizzata dalla presenza dei sedimenti alluvionali del Fiume Po e dei suoi affluenti, quali il Panaro ed il Secchia.

I depositi sono costituiti prevalentemente da terreni a granulometria medio-fine, con prevalenza di litologie generalmente sabbiose. Per quanto concerne i depositi del Po, si rileva la presenza di

terreni prevalentemente sabbiosi che evidenziano un generale decremento dello spessore in direzione Sud, mentre in riferimento alle alluvioni legate agli affluenti, si riscontra la presenza di depositi tendenzialmente limoso-argillosi, con intercalazioni di livelli e lenti sabbiose discontinue. Lo spessore della coltre alluvionale è variabile ma comunque non superiore ai 200 m.



L'elaborazione delle prove penetrometriche eseguite e la correlazione delle stesse con altre indagini eseguite in zone circostanti, ha permesso di ricostruire il modello geologico del primo sottosuolo dell'area in esame. In generale si rileva una copertura fine, argillosa e limosa, variabile di spessore tra gli 10 e 13 metri, per poi rilevare, in profondità e fino ai 20 m indagati, terreni più grossolani, rappresentati da sabbie e sabbie limose.

Nello specifico dei terreni indagati si evidenzia la presenza delle seguenti unità litotecniche:

Unità A da 0 m a 1,60/2,2 m

La prima unità è costituita da litologie fini **argillose e argillose limose**, a elevata consistenza e compattezza, tendente a diminuire con la profondità.

Unità B da 1,6/2,2 m a 8,6/9,2 m

La seconda unità è costituita sempre da terreni fini, formati da **argille**, a scarsa compattezza e consistenza, caratterizzati da bassa umidità.

Unità C da 8,6/9,2 m a 10,2/13,6 m

La terza unità è costituita da terreni sempre fini, formati da **argille limose e argille**, mediamente compatti e a buona consistenza, molto umidi.

Unità D da 10,2/13,6 m a 20 m

La quarta unità è costituita da terreni grossolani, formati da **sabbie e sabbie limose**, da mediamente a molto addensate, sature d'acqua.

Situazione idrogeologica locale

I terreni riscontrati all'interno dell'area in esame, dal punto di vista idrogeologico, sono classificabili come depositi alluvionali di origine fluviale, da poco permeabili a mediamente permeabili. Nell'area in esame si riscontra una falda freatica superficiale, la cui profondità, misurata alla fine dell'esecuzione delle prove penetrometriche, risultava pari a 2,20 m dal piano campagna. Tale falda è in pressione ed è riferibile all'acquifero sabbioso che si ritrova a circa 10/13 m di profondità.

MODELLIZZAZIONE SISMICA

In una ricognizione storica degli eventi sismici che hanno fatto risentire i loro effetti nella zona in studio, si è fatto riferimento ai dati sulla distribuzione delle massime intensità macrosismiche nei Comuni italiani, reperibili al sito <http://emidius.mi.ingv.it/DBMI04>.

Storia sismica di Finale Emilia. Eventi sismici avvenuti in Italia che hanno avuto effetti nell'area in esame.

Seismic history of Finale Emilia								
[44.833, 11.294]								
Total number of earthquakes: 22								
Effects	Earthquake occurred:							
Is	Anno Me Gi Or	Area epicentrale			Studio	nMDP	Io	Mw
4	1505 01 03 02	BOLOGNA	CFTI	31	7		5.47	
6	1570 11 17 19 10	FERRARA	CFTI	60	7-8		5.48	
7	1574 03 17 03 40	FINALE EMILIA	DOM	4	7		5.12	
3	1873 03 12 20 04	MARCHE MERIDIONALI	CFTI	196	8		5.88	
4	1873 06 29 03 58	BELLUNESE	CFTI	199	9-10		6.33	
4-5	1875 03 17 23 51	ROMAGNA SUD-ORIENT.	CFTI	143	8		5.74	
3	1879 04 27 04 06	VALLE DEL SENIO	CFTI	20	7		5.18	
3	1887 02 23 05 21 50	LIGURIA OCCIDENTALE	CFTI	1515	9		6.29	
3	1898 03 04	CALESTANO	DOM	260	6-7		5.07	
NF	1904 11 17 05 02	PISTOIESE	DOM	204	7		5.18	
6	1914 10 27 09 22	GARFAGNANA	DOM	618	7		5.79	
2	1916 08 16 07 06 14	ALTO ADRIATICO	CFTI	256	8		5.92	
4	1919 06 29 15 06 13	MUGELLO	CFTI	267	9		6.18	
4-5	1920 09 07 05 55 40	GARFAGNANA	CFTI	638	9-10		6.48	
3	1922 05 24 21 17	CENTO	DOM	6	3-4		4.50	
3	1926 01 01 18 04 03	SLOVENIA	CFTI	63	7-8		5.71	
NF	1957 08 27 11 54	ZOCCA	DOM	58	6		5.06	
NF	1965 11 09 15 35	ALTA V. SECCHIA	DOM	32	5		5.01	
4-5	1983 11 09 16 29 52	PARMENSE	CFTI	835	6-7		5.10	
6	1986 12 06 17 07 19	BONDENO	DOM	604	6		4.56	
5	1987 05 02 20 43 53	REGGIANO	DOM	802	6		5.05	
4-5	1996 10 15 09 55 60	CORREGGIO	INGVAM	135	7		5.44	

I_s = Intensità al sito

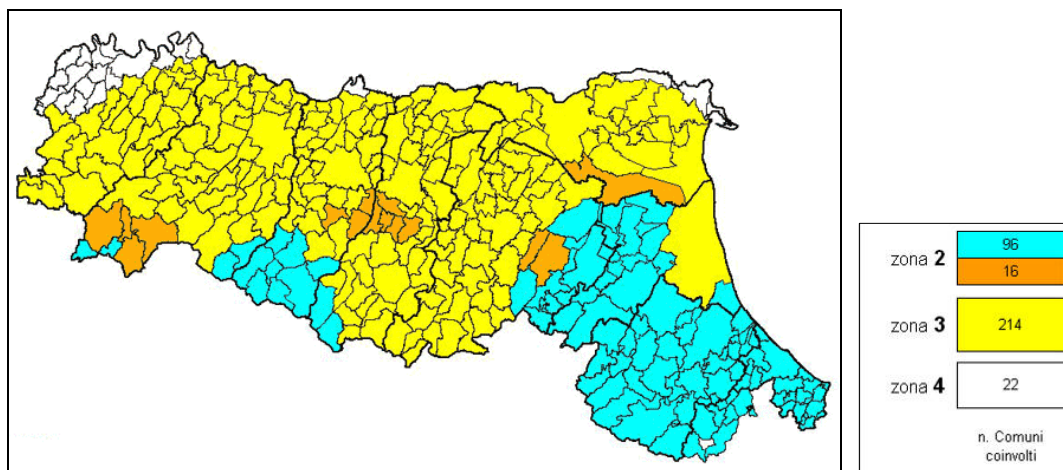
A_e = Denominazione dell'area epicentrale

M_w = Magnitudo momento

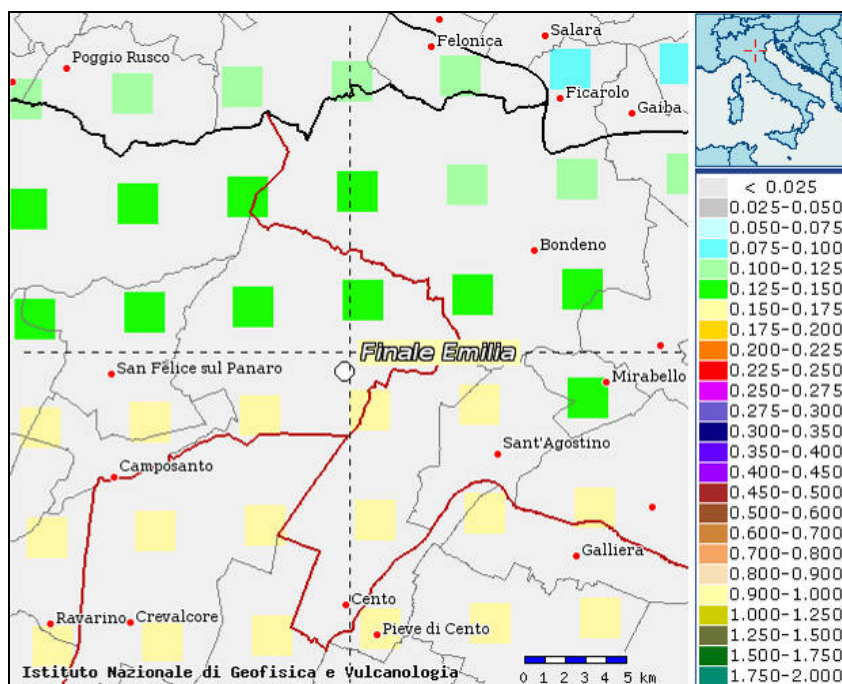
I_0 = Intensità epicentrale (Scala MCS)

Il quadro complessivo mostra che gli eventi considerati hanno prodotto nel sito intensità macrosismiche (MCS) comprese fra 2 e 7, con una larga prevalenza di valori fra 4 e 5, anche se il database non risulta essere aggiornato rispetto ai recenti eventi che interessato l'area nel Maggio c.a. Nel complesso il Rischio sismico, inteso come il prodotto della Vulnerabilità x il Valore esposto x la Pericolosità del sito, può essere considerato medio-alto.

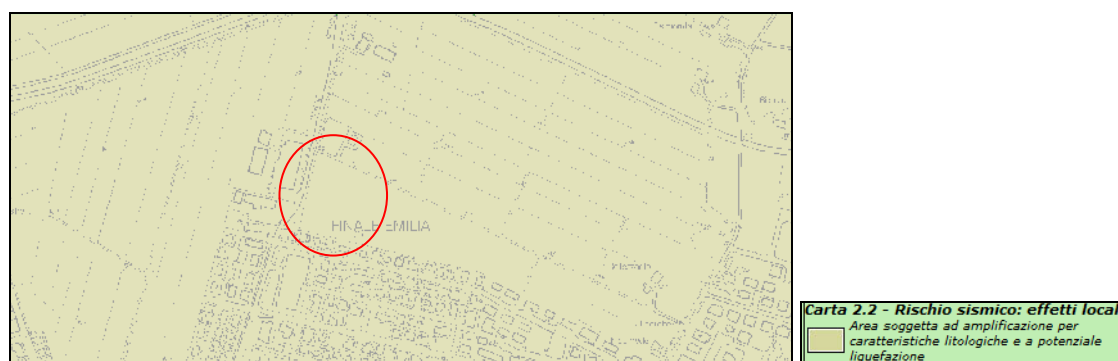
L'area risulta classificata secondo la deliberazione della giunta regionale n. 1435 del 21/07/2003 alla classe 3.



A livello, poi, di Pericolosità sismica, con riferimento al DM 14/01/2008, la consultazione del sito dell'INGV <http://esse1-gis.mi.ingv.it/> porta ad individuare, intorno all'abitato di Finale Emilia, tale pericolosità in termini di accelerazione massima orizzontale (a_g) con probabilità di eccedenza del 10% in 50 anni, riferita ai suoli rigidi e topografia pianeggiante, nell'intervallo 0,125 – 0,175 g. Si specifica che anche in questo caso si fa riferimento ai dati disponibili ad oggi presso i siti istituzionali dell'I.N.G.V.



Si è fatto riferimento al database consultabile al sito <http://www.sistemonet.it/map> nel quale sono illustrati i principali elementi e caratteristiche del territorio che concorrono a definire la pericolosità sismica locale nel Finale Emilia.



Nello stralcio si evince come l'area sia omogeneamente classificata come zone interessate da amplificazione sismica per caratteristiche litologiche, nonché a potenziale liquefazione dei depositi presenti.

Per i terreni in oggetto, nell'area sulla quale è previsto l'intervento in progetto, tenuto conto dell'indagine effettuata, si definisce una categoria di suolo di fondazione di tipo C, con una velocità V_s pari a 183 m/sec.

Sulla base del valore di V_{s30} è possibile classificare i terreni in esame nella Categoria di suolo C:

Tabella 3.2.II – *Categorie di sottosuolo*

Categoria	Descrizione
A	<i>Ammassi rocciosi affioranti o terreni molto rigidi</i> caratterizzati da valori di $V_{s,30}$ superiori a 800 m/s, eventualmente comprendenti in superficie uno strato di alterazione, con spessore massimo pari a 3 m.
B	<i>Rocce tenere e depositi di terreni a grana grossa molto addensati o terreni a grana fina molto consistenti</i> con spessori superiori a 30 m, caratterizzati da un graduale miglioramento delle proprietà meccaniche con la profondità e da valori di $V_{s,30}$ compresi tra 360 m/s e 800 m/s (ovvero $N_{SPT,30} > 50$ nei terreni a grana grossa e $c_{u,30} > 250$ kPa nei terreni a grana fina).
C	<i>Depositi di terreni a grana grossa mediamente addensati o terreni a grana fina mediamente consistenti</i> con spessori superiori a 30 m, caratterizzati da un graduale miglioramento delle proprietà meccaniche con la profondità e da valori di $V_{s,30}$ compresi tra 180 m/s e 360 m/s (ovvero $15 < N_{SPT,30} < 50$ nei terreni a grana grossa e $70 < c_{u,30} < 250$ kPa nei terreni a grana fina).
D	<i>Depositi di terreni a grana grossa scarsamente addensati o di terreni a grana fina scarsamente consistenti</i> , con spessori superiori a 30 m, caratterizzati da un graduale miglioramento delle proprietà meccaniche con la profondità e da valori di $V_{s,30}$ inferiori a 180 m/s (ovvero $N_{SPT,30} < 15$ nei terreni a grana grossa e $c_{u,30} < 70$ kPa nei terreni a grana fina).
E	<i>Terreni dei sottosuoli di tipo C o D per spessore non superiore a 20 m</i> , posti sul substrato di riferimento (con $V_s > 800$ m/s).

NTC 2008 - Tabella 3.2.II – *Categorie di sottosuolo*

4. MODELLAZIONE DEL TERRENO DI FONDAZIONE

Per quanto riguarda la **schematizzazione del terreno di fondazione**, nei modelli di calcolo sono stati applicati vincoli elastici (molle elastiche) dette alla “Winkler”.

In tale schematizzazione si ammette che il mezzo in superficie reagisca proporzionalmente ai carichi applicati secondo la relazione:

$$q = kw$$

in cui

q è il carico applicato.

k è il modulo di reazione del terreno (daN/cm³).

w è lo spostamento verticale in un punto.

Per cui la teoria si basa sull’ipotesi di proporzionalità tra sforzi e deformazioni.

Nel modello di calcolo la valutazione del **coefficiente di sottofondo** è stata effettuata contestualmente alla valutazione della capacità portante limite del sistema fondazione/terreno per ogni singolo elemento fondale.

5. OPERE DI FONDAZIONE

Le fondazioni del corpo di fabbrica sono del tipo diretto e superficiale, formate essenzialmente da una platea di spessore pari a 28 cm e armata con doppia maglia incrociata $\phi 12/20$ cm.

La capacità portante è stata valutata in funzione delle sollecitazioni agenti sugli elementi in ciascuna combinazione di carico analizzata secondo la nota formula trinomia di Terzaghi in grado di sommare i diversi contributi di resistenza dell'ammasso, tenendo conto inoltre dei valori dei coefficienti parziali riportati nelle Tab. 6.2.I, 6.2.II e 6.4.I delle N.T.C. seguendo l'approccio:

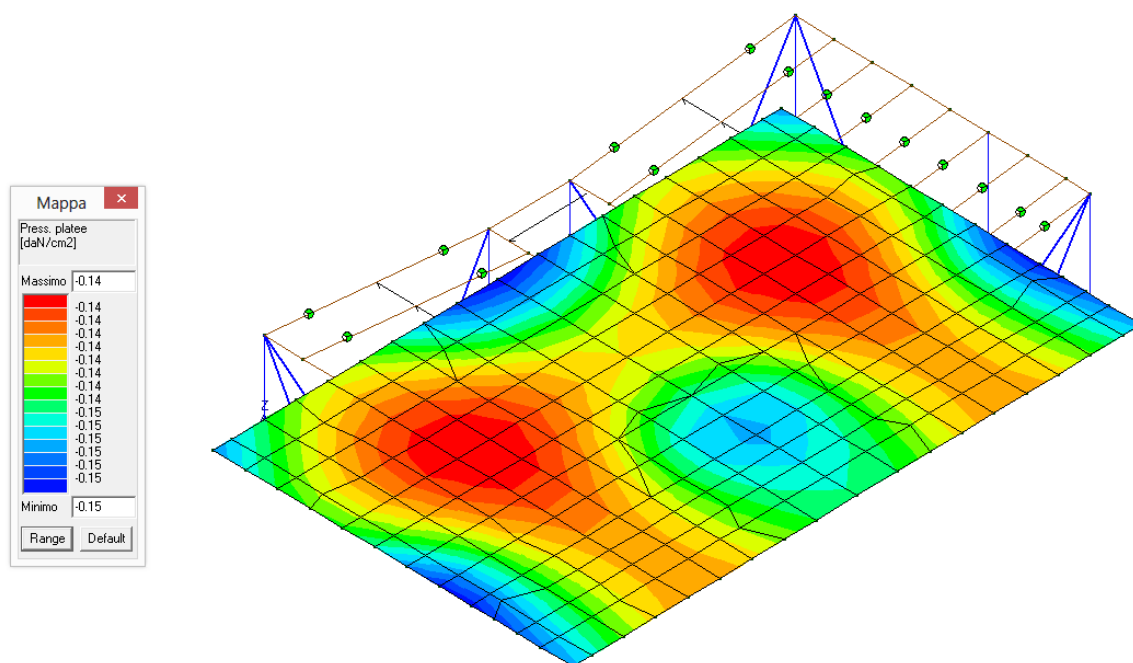
- Approccio 2 (A1+M1+R3).

Al fine di aumentare la portanza sia della zona in cui è posto l'edificio che delle zone carrabili, si è reso necessario un intervento di bonifica globale eseguita tramite la tecnica della stabilizzazione a calce (non previsto in sede di gara). Tale intervento viene compiuto per uno spessore indicativo di circa 50 cm previo scorticamento superficiale di circa 10-15 cm. Esso risulta necessario e propedeutico prima della posa della platea di fondazione (spessore pari a 28 cm). Questa soluzione progettuale ha ovviato ai problemi di scarsa portanza degli strati superficiali composti essenzialmente da litotipi di natura coesiva. Questi terreni si prestano in modo ideale alla stabilizzazione con calce. In alternativa la possibilità di compiere uno sbancamento per tutta l'area d'intervento, visto il ridotto volume interessato, avrebbe portato oltre che ad uno scarso rendimento geotecnico, a numerosi problemi legati alla funzionalità del cantiere, alle tempistiche di realizzazione e all'impatto sul territorio. I parametri meccanici degli strati trattati (stabilizzati con calce) sono di gran lunga superiori a quelli presenti nel terreno naturale presente sino ad una quota di sbancamento di circa 0.8 m.

5.1 Verifiche geotecniche struttura

La capacità portante delle fondazioni della struttura è stata valutata in funzione delle sollecitazioni agenti sugli elementi in ciascuna combinazione di carico analizzata tenendo conto inoltre dei valori dei coefficienti parziali riportati nelle Tab. 6.2.I, 6.2.II e 6.4.I delle N.T.C. 2008 seguendo l'approccio *Approccio 2*.

Nell'immagine sottostante sono rappresentate le pressioni massime sul terreno di fondazione in combinazione SLU 1 ottenute dall'analisi del modello strutturale.



Pressione sul terreno comb. 1 SLU modello corpo ampliamento

Le tensioni massime sulla platea di fondazione ottenute dai calcoli sono dell'ordine di 0.14 – 0.20 daN/mq allo stato limite ultimo e sono dunque perfettamente compatibili con la tipologia e resistenza del terreno riportati nella relazione geologica.

Il calcolo della portanza degli elementi di fondazione viene eseguito attraverso tre verifiche geotecniche di seguito elencate:

- **S.T.B/ TB Verifica a scorrimento 1**

Rapporto tra lo sforzo di taglio e il valore limite della resistenza a scorrimento nella direzione parallela alla sezione trasversale dell'elemento (verifica positiva se il rapporto è < 1.0);

- **S.T.L/ TL Verifica a scorrimento 2**

Rapporto tra lo sforzo di taglio e il valore limite della resistenza a scorrimento nella direzione parallela allo sviluppo longitudinale dell'elemento (verifica positiva se il rapporto è < 1.0);

- **Ver. Sigma max / Q. LIM. Verifica a carico limite**

rapporto tra il massimo valore della distribuzione tensionale di contatto tra terreno ed elemento fondale e il valore della capacità portante (verifica positiva se il rapporto è < 1.0).

Tutti i valori delle verifiche effettuate nelle combinazioni più gravose per ogni plinto di fondazione sono riportati nel paragrafo Tabulato di calcolo e verifiche geotecniche.

6. TABULATO DI CALCOLO VERIFICHE GEOTECNICHE CORPO AGGIUNTO

Si riporta di seguito uno stralcio del tabulato di calcolo relativo alle verifiche geotecniche effettuate sugli elementi di fondazione:

PARAMETRI DI CALCOLO :

Metodi di calcolo della portanza per fondazioni superficiali :

Per terreni sciolti: Vesic
 Per terreni lapidei: Terzaghi

Combinazioni di carico da approccio progettuale TIPO 2

Fattori utilizzati per il calcolo della portanza per fondazioni superficiali :

Riduzione dimensioni per eccentricità : Si
 Fattori di forma della fondazione : Si
 Fattori di profondità del piano di posa : Si
 Fattori di inclinazione del carico : Si
 Fattori di punzonamento (Vesic) : Si
 Fattore riduzione effetto piastra (Bowles) : Si
 Fattore di riduzione dimensione Base equivalente platea : 20,00 %
 Fattore di riduzione dimensione Lunghezza equivalente platea : 20,00 %

Effetti inerziali (Paolucci-Pecker):

Coeff. sismico orizzontale $K_h = 0,067$
 Angolo d'attrito alla quota di fond.= 20,0
 Fattore correttivo $Z_c = 0,979$
 Fattore correttivo $Z_q = 0,932$

Coefficienti parziali di sicurezza per Tensioni Ammissibili, SLE e SLD nel calcolo della portanza per fondazioni superficiali :

Coeff. parziale di sicurezza F_c (statico) : 2,50
 Coeff. parziale di sicurezza F_q (statico) : 2,50
 Coeff. parziale di sicurezza F_g (statico) : 2,50
 Coeff. parziale di sicurezza F_c (sismico) : 3,00
 Coeff. parziale di sicurezza F_q (sismico) : 3,00
 Coeff. parziale di sicurezza F_g (sismico) : 3,00

Coefficienti parziali di sicurezza per SLU nel calcolo della portanza per fondazioni superficiali :

Coeff. parz. di sicurezza Prop. Materiali per $\tan(\phi)$ (statico) : 1,25
 Coeff. parz. di sicurezza Prop. Materiali per c' (statico) : 1,25
 Coeff. parz. di sicurezza Prop. Materiali per C_u (statico) : 1,40
 Coeff. parz. di sicurezza Prop. Materiali per $\tan(\phi)$ (sismico) : 1,00
 Coeff. parz. di sicurezza Prop. Materiali per c' (sismico) : 1,25
 Coeff. parz. di sicurezza Prop. Materiali per C_u (sismico) : 1,40
 Coeff. R1 capacità portante : 1,00
 Coeff. R2 capacità portante : 1,80
 Coeff. R3 capacità portante : 2,30
 Coeff. R1 scorrimento : 1,00
 Coeff. R2 scorrimento : 1,10
 Coeff. R3 scorrimento : 1,10

Parametri per la verifica a scorrimento delle fondazioni superficiali :

Fattore per l'adesione $6 < Ca < 10$: 8
 Fattore per attrito ter.-fond. $5 < \Delta < 10$: 7
 Frazione di spinta passiva f_{Sp} : 30,00 %

Metodi e parametri per il calcolo dei cedimenti delle fondazioni superficiali :

Metodo di calcolo tensioni superficiali : Boussinesq
 Modalità d'interferenza dei bulbi tensionali :
 Metodo di calcolo dei cedimenti del terreno : Cedimenti edometrici

ARCHIVIO STRATIGRAFIE :

Indice / Descrizione : 001 / Nuova stratigrafia n° 1
Numero strati : 2
Profondità falda : Assente.

Strato n°	Quota di riferimento	Spessore	Indice / Descrizione terreno	Effetto Attr. Neg.
1 da 0,0 a -800,0 cm.	800,0 cm.	003 / Argilla media	Assente	
2 da -800,0 a -1800,0 cm.	1000,0 cm.	001 / Sabbia compatta	Assente	

ARCHIVIO TERRENI :

Indice / Descrizione terreno : 003 / Argilla media
Comportamento del terreno : Condizione non drenata

Peso Spec.	Peso Spec. Sat.	Angolo Res.	Coesione	Coes. non Dren.	Mod. Edo.	Mod. Ela.	Poisson	D.R.	RQD	C. Ades.
daN/cm ²	daN/cm ²	Gradi (°)	daN/cm ²	daN/cm ²	daN/cm ²	daN/cm ²		%	%	
1,900 E-3	2,000 E-3	0,000	0,150	0,500	150,000	150,000	0,500	60,0	0,0	0,50

Indice / Descrizione terreno : 001 / Sabbia compatta
Comportamento del terreno : Condizione drenata

Peso Spec.	Peso Spec. Sat.	Angolo Res.	Coesione	Coes. non Dren.	Mod. Edo.	Mod. Ela.	Poisson	D.R.	RQD	C. Ades.
daN/cm ²	daN/cm ²	Gradi (°)	daN/cm ²	daN/cm ²	daN/cm ²	daN/cm ²		%	%	
1,700 E-3	2,000 E-3	28,000	0,000	0,000	200,000	126,243	0,347	60,0	0,0	1,00

DATI GEOMETRICI DEGLI ELEMENTI COSTITUENTI LE FONDAZIONI SUPERFICIALI :

Elemento	Tipologia	Indice Strat.	Prof. Fon.	Dia. Eq.	Spessore	Superficie	Vert. Elem.	Macro
	n°	cm	cm	cm	cm ²	n°	n°	
PLATEA N° 1	Platea	001	15,00	116,33	30,00	10628,57	4	1
PLATEA N° 2	Platea	001	15,00	116,33	30,00	10628,57	4	1
PLATEA N° 3	Platea	001	15,00	116,33	30,00	10628,57	4	1
PLATEA N° 4	Platea	001	15,00	116,33	30,00	10628,57	4	1
PLATEA N° 5	Platea	001	15,00	116,33	30,00	10628,54	4	1
PLATEA N° 6	Platea	001	15,00	104,07	30,00	8505,84	4	1
PLATEA N° 7	Platea	001	15,00	116,33	30,00	10628,57	4	1
PLATEA N° 8	Platea	001	15,00	116,33	30,00	10628,57	4	1
PLATEA N° 9	Platea	001	15,00	120,68	30,00	11438,57	4	1
PLATEA N° 10	Platea	001	15,00	130,78	30,00	13433,36	4	1
PLATEA N° 11	Platea	001	15,00	111,79	30,00	9814,76	4	1
PLATEA N° 12	Platea	001	15,00	116,33	30,00	10628,59	4	1
PLATEA N° 13	Platea	001	15,00	116,33	30,00	10628,55	4	1
PLATEA N° 14	Platea	001	15,00	116,33	30,00	10628,56	4	1
PLATEA N° 15	Platea	001	15,00	116,33	30,00	10628,58	4	1
PLATEA N° 16	Platea	001	15,00	116,33	30,00	10628,58	4	1
PLATEA N° 17	Platea	001	15,00	116,33	30,00	10628,58	4	1
PLATEA N° 18	Platea	001	15,00	51,54	30,00	2086,56	3	1
PLATEA N° 19	Platea	001	15,00	51,54	30,00	2086,56	3	1
PLATEA N° 20	Platea	001	15,00	57,95	30,00	2637,18	3	1
PLATEA N° 21	Platea	001	15,00	57,95	30,00	2637,18	3	1
PLATEA N° 22	Platea	001	15,00	104,09	30,00	8509,65	4	1
PLATEA N° 23	Platea	001	15,00	121,47	30,00	11588,58	4	1
PLATEA N° 24	Platea	001	15,00	116,33	30,00	10628,51	4	1
PLATEA N° 25	Platea	001	15,00	116,33	30,00	10628,53	4	1
PLATEA N° 26	Platea	001	15,00	116,33	30,00	10628,54	4	1
PLATEA N° 27	Platea	001	15,00	116,33	30,00	10628,54	4	1
PLATEA N° 28	Platea	001	15,00	116,33	30,00	10628,54	4	1
PLATEA N° 29	Platea	001	15,00	97,28	30,00	7433,17	4	1
PLATEA N° 30	Platea	001	15,00	116,33	30,00	10628,56	4	1
PLATEA N° 31	Platea	001	15,00	130,78	30,00	13433,26	4	1
PLATEA N° 32	Platea	001	15,00	130,78	30,00	13433,31	4	1
PLATEA N° 33	Platea	001	15,00	116,33	30,00	10628,50	4	1
PLATEA N° 34	Platea	001	15,00	104,07	30,00	8505,82	4	1
PLATEA N° 35	Platea	001	15,00	116,33	30,00	10628,54	4	1
PLATEA N° 36	Platea	001	15,00	116,33	30,00	10628,53	4	1
PLATEA N° 37	Platea	001	15,00	120,68	30,00	11438,54	4	1

PLATEA N° 38	Platea	001	15,00	111,79	30,00	9814,73	4	1
PLATEA N° 39	Platea	001	15,00	116,33	30,00	10628,56	4	1
PLATEA N° 40	Platea	001	15,00	88,48	30,00	6148,29	4	1
PLATEA N° 41	Platea	001	15,00	88,48	30,00	6148,35	4	1
PLATEA N° 42	Platea	001	15,00	51,96	30,00	2120,85	3	1
PLATEA N° 43	Platea	001	15,00	63,77	30,00	3193,48	3	1
PLATEA N° 44	Platea	001	15,00	51,96	30,00	2120,84	3	1
PLATEA N° 45	Platea	001	15,00	116,33	30,00	10628,57	4	1
PLATEA N° 46	Platea	001	15,00	104,30	30,00	8543,87	4	1
PLATEA N° 47	Platea	001	15,00	63,77	30,00	3193,49	3	1
PLATEA N° 48	Platea	001	15,00	116,33	30,00	10628,58	4	1
PLATEA N° 49	Platea	001	15,00	104,09	30,00	8509,65	4	1
PLATEA N° 50	Platea	001	15,00	116,33	30,00	10628,57	4	1
PLATEA N° 51	Platea	001	15,00	116,33	30,00	10628,56	4	1
PLATEA N° 52	Platea	001	15,00	116,33	30,00	10628,58	4	1
PLATEA N° 53	Platea	001	15,00	116,33	30,00	10628,58	4	1
PLATEA N° 54	Platea	001	15,00	116,33	30,00	10628,58	4	1
PLATEA N° 55	Platea	001	15,00	116,33	30,00	10628,56	4	1
PLATEA N° 56	Platea	001	15,00	104,28	30,00	8540,15	4	1
PLATEA N° 57	Platea	001	15,00	116,33	30,00	10628,54	4	1
PLATEA N° 58	Platea	001	15,00	116,33	30,00	10628,56	4	1
PLATEA N° 59	Platea	001	15,00	116,33	30,00	10628,60	4	1
PLATEA N° 60	Platea	001	15,00	116,33	30,00	10628,57	4	1
PLATEA N° 61	Platea	001	15,00	116,33	30,00	10628,58	4	1
PLATEA N° 62	Platea	001	15,00	116,33	30,00	10628,57	4	1
PLATEA N° 63	Platea	001	15,00	63,77	30,00	3193,44	3	1
PLATEA N° 64	Platea	001	15,00	116,33	30,00	10628,61	4	1
PLATEA N° 65	Platea	001	15,00	116,33	30,00	10628,57	4	1
PLATEA N° 66	Platea	001	15,00	88,48	30,00	6148,37	4	1
PLATEA N° 67	Platea	001	15,00	88,48	30,00	6148,31	4	1
PLATEA N° 68	Platea	001	15,00	116,33	30,00	10628,57	4	1
PLATEA N° 69	Platea	001	15,00	116,33	30,00	10628,58	4	1
PLATEA N° 70	Platea	001	15,00	63,77	30,00	3193,44	3	1
PLATEA N° 71	Platea	001	15,00	97,28	30,00	7433,19	4	1
PLATEA N° 72	Platea	001	15,00	116,33	30,00	10628,59	4	1
PLATEA N° 73	Platea	001	15,00	88,48	30,00	6148,37	4	1
PLATEA N° 74	Platea	001	15,00	88,48	30,00	6148,31	4	1
PLATEA N° 75	Platea	001	15,00	84,39	30,00	5592,99	4	1
PLATEA N° 76	Platea	001	15,00	92,39	30,00	6703,68	4	1
PLATEA N° 77	Platea	001	15,00	84,39	30,00	5593,01	4	1
PLATEA N° 78	Platea	001	15,00	88,48	30,00	6148,33	4	1
PLATEA N° 79	Platea	001	15,00	88,48	30,00	6148,33	4	1
PLATEA N° 80	Platea	001	15,00	88,48	30,00	6148,31	4	1
PLATEA N° 81	Platea	001	15,00	92,39	30,00	6703,68	4	1
PLATEA N° 82	Platea	001	15,00	116,33	30,00	10628,58	4	1
PLATEA N° 83	Platea	001	15,00	88,48	30,00	6148,35	4	1
PLATEA N° 84	Platea	001	15,00	88,48	30,00	6148,35	4	1
PLATEA N° 85	Platea	001	15,00	116,33	30,00	10628,57	4	1
PLATEA N° 86	Platea	001	15,00	51,96	30,00	2120,79	3	1
PLATEA N° 87	Platea	001	15,00	116,33	30,00	10628,57	4	1
PLATEA N° 88	Platea	001	15,00	116,33	30,00	10628,56	4	1
PLATEA N° 89	Platea	001	15,00	116,33	30,00	10628,58	4	1
PLATEA N° 90	Platea	001	15,00	116,33	30,00	10628,56	4	1
PLATEA N° 91	Platea	001	15,00	88,48	30,00	6148,37	4	1
PLATEA N° 92	Platea	001	15,00	116,33	30,00	10628,57	4	1
PLATEA N° 93	Platea	001	15,00	116,33	30,00	10628,56	4	1
PLATEA N° 94	Platea	001	15,00	51,96	30,00	2120,79	3	1
PLATEA N° 95	Platea	001	15,00	116,33	30,00	10628,56	4	1
PLATEA N° 96	Platea	001	15,00	130,78	30,00	13433,30	4	1
PLATEA N° 97	Platea	001	15,00	130,78	30,00	13433,35	4	1
PLATEA N° 98	Platea	001	15,00	130,78	30,00	13433,31	4	1
PLATEA N° 99	Platea	001	15,00	117,25	30,00	10798,01	4	1
PLATEA N° 100	Platea	001	15,00	117,23	30,00	10794,29	4	1
PLATEA N° 101	Platea	001	15,00	130,78	30,00	13433,33	4	1
PLATEA N° 102	Platea	001	15,00	130,78	30,00	13433,33	4	1
PLATEA N° 103	Platea	001	15,00	130,78	30,00	13433,33	4	1
PLATEA N° 104	Platea	001	15,00	130,78	30,00	13433,33	4	1
PLATEA N° 105	Platea	001	15,00	130,78	30,00	13433,33	4	1
PLATEA N° 106	Platea	001	15,00	130,78	30,00	13433,33	4	1
PLATEA N° 107	Platea	001	15,00	116,33	30,00	10628,54	4	1
PLATEA N° 108	Platea	001	15,00	97,31	30,00	7437,02	4	1
PLATEA N° 109	Platea	001	15,00	116,33	30,00	10628,57	4	1
PLATEA N° 110	Platea	001	15,00	130,78	30,00	13433,31	4	1
PLATEA N° 111	Platea	001	15,00	116,33	30,00	10628,57	4	1
PLATEA N° 112	Platea	001	15,00	120,70	30,00	11442,38	4	1
PLATEA N° 113	Platea	001	15,00	111,81	30,00	9818,57	4	1

PLATEA N° 114	Platea	001	15,00	116,33	30,00	10628,60	4	1
PLATEA N° 115	Platea	001	15,00	110,95	30,00	9668,57	4	1
PLATEA N° 116	Platea	001	15,00	116,33	30,00	10628,56	4	1
PLATEA N° 117	Platea	001	15,00	116,33	30,00	10628,58	4	1
PLATEA N° 118	Platea	001	15,00	116,33	30,00	10628,58	4	1
PLATEA N° 119	Platea	001	15,00	116,33	30,00	10628,58	4	1
PLATEA N° 120	Platea	001	15,00	116,33	30,00	10628,56	4	1
PLATEA N° 121	Platea	001	15,00	116,33	30,00	10628,58	4	1
PLATEA N° 122	Platea	001	15,00	116,33	30,00	10628,58	4	1
PLATEA N° 123	Platea	001	15,00	116,33	30,00	10628,55	4	1
PLATEA N° 124	Platea	001	15,00	97,31	30,00	7437,02	4	1
PLATEA N° 125	Platea	001	15,00	116,33	30,00	10628,57	4	1
PLATEA N° 126	Platea	001	15,00	116,33	30,00	10628,58	4	1
PLATEA N° 127	Platea	001	15,00	116,33	30,00	10628,57	4	1
PLATEA N° 128	Platea	001	15,00	120,70	30,00	11442,38	4	1
PLATEA N° 129	Platea	001	15,00	111,81	30,00	9818,57	4	1
PLATEA N° 130	Platea	001	15,00	116,33	30,00	10628,60	4	1
PLATEA N° 131	Platea	001	15,00	116,33	30,00	10628,57	4	1
PLATEA N° 132	Platea	001	15,00	116,33	30,00	10628,58	4	1
PLATEA N° 133	Platea	001	15,00	116,33	30,00	10628,57	4	1
PLATEA N° 134	Platea	001	15,00	116,33	30,00	10628,57	4	1
PLATEA N° 135	Platea	001	15,00	116,33	30,00	10628,57	4	1
PLATEA N° 136	Platea	001	15,00	116,33	30,00	10628,57	4	1
PLATEA N° 137	Platea	001	15,00	110,95	30,00	9668,55	4	1
PLATEA N° 138	Platea	001	15,00	116,33	30,00	10628,57	4	1
PLATEA N° 139	Platea	001	15,00	116,33	30,00	10628,57	4	1
PLATEA N° 140	Platea	001	15,00	116,33	30,00	10628,57	4	1
PLATEA N° 141	Platea	001	15,00	116,33	30,00	10628,57	4	1
PLATEA N° 142	Platea	001	15,00	116,33	30,00	10628,57	4	1
PLATEA N° 143	Platea	001	15,00	116,33	30,00	10628,57	4	1
PLATEA N° 144	Platea	001	15,00	121,47	30,00	11588,59	4	1
PLATEA N° 145	Platea	001	15,00	116,33	30,00	10628,57	4	1
PLATEA N° 146	Platea	001	15,00	116,33	30,00	10628,58	4	1
PLATEA N° 147	Platea	001	15,00	116,33	30,00	10628,57	4	1
PLATEA N° 148	Platea	001	15,00	130,78	30,00	13433,36	4	1
PLATEA N° 149	Platea	001	15,00	116,33	30,00	10628,57	4	1
PLATEA N° 150	Platea	001	15,00	116,33	30,00	10628,57	4	1
PLATEA N° 151	Platea	001	15,00	116,33	30,00	10628,55	4	1
PLATEA N° 152	Platea	001	15,00	116,33	30,00	10628,56	4	1
PLATEA N° 153	Platea	001	15,00	116,33	30,00	10628,57	4	1
PLATEA N° 154	Platea	001	15,00	116,33	30,00	10628,57	4	1
PLATEA N° 155	Platea	001	15,00	116,33	30,00	10628,57	4	1
PLATEA N° 156	Platea	001	15,00	116,33	30,00	10628,57	4	1
PLATEA N° 157	Platea	001	15,00	98,37	30,00	7600,01	4	1
PLATEA N° 158	Platea	001	15,00	94,53	30,00	7017,57	4	1
PLATEA N° 159	Platea	001	15,00	102,05	30,00	8178,65	4	1
PLATEA N° 160	Platea	001	15,00	98,37	30,00	7600,01	4	1
PLATEA N° 161	Platea	001	15,00	98,37	30,00	7600,02	4	1
PLATEA N° 162	Platea	001	15,00	88,00	30,00	6081,58	4	1
PLATEA N° 163	Platea	001	15,00	107,73	30,00	9114,62	4	1
PLATEA N° 164	Platea	001	15,00	110,95	30,00	9668,61	4	1
PLATEA N° 165	Platea	001	15,00	98,37	30,00	7600,02	4	1
PLATEA N° 166	Platea	001	15,00	98,37	30,00	7600,02	4	1
PLATEA N° 167	Platea	001	15,00	98,37	30,00	7600,02	4	1
PLATEA N° 168	Platea	001	15,00	98,37	30,00	7600,02	4	1
PLATEA N° 169	Platea	001	15,00	98,37	30,00	7600,02	4	1
PLATEA N° 170	Platea	001	15,00	98,37	30,00	7600,02	4	1
PLATEA N° 171	Platea	001	15,00	83,92	30,00	5531,45	4	1
PLATEA N° 172	Platea	001	15,00	98,37	30,00	7599,98	4	1
PLATEA N° 173	Platea	001	15,00	98,37	30,00	7599,98	4	1
PLATEA N° 174	Platea	001	15,00	98,37	30,00	7599,98	4	1
PLATEA N° 175	Platea	001	15,00	98,37	30,00	7599,98	4	1
PLATEA N° 176	Platea	001	15,00	98,37	30,00	7599,98	4	1
PLATEA N° 177	Platea	001	15,00	98,37	30,00	7599,98	4	1
PLATEA N° 178	Platea	001	15,00	63,83	30,00	3199,74	4	1
PLATEA N° 179	Platea	001	15,00	84,39	30,00	5592,95	4	1
PLATEA N° 180	Platea	001	15,00	74,82	30,00	4396,36	4	1
PLATEA N° 181	Platea	001	15,00	63,83	30,00	3199,78	4	1
PLATEA N° 182	Platea	001	15,00	84,39	30,00	5593,00	4	1
PLATEA N° 183	Platea	001	15,00	74,82	30,00	4396,41	4	1
PLATEA N° 184	Platea	001	15,00	107,73	30,00	9114,62	4	1
PLATEA N° 185	Platea	001	15,00	88,00	30,00	6081,61	4	1
PLATEA N° 186	Platea	001	15,00	98,37	30,00	7600,01	4	1
PLATEA N° 187	Platea	001	15,00	98,37	30,00	7600,01	4	1
PLATEA N° 188	Platea	001	15,00	98,37	30,00	7600,02	4	1
PLATEA N° 189	Platea	001	15,00	98,37	30,00	7599,99	4	1

PLATEA N° 190	Platea	001	15,00	98,37	30,00	7599,99	4	1
PLATEA N° 191	Platea	001	15,00	98,37	30,00	7600,02	4	1
PLATEA N° 192	Platea	001	15,00	98,37	30,00	7600,01	4	1
PLATEA N° 193	Platea	001	15,00	98,37	30,00	7600,02	4	1
PLATEA N° 194	Platea	001	15,00	98,37	30,00	7600,02	4	1
PLATEA N° 195	Platea	001	15,00	98,37	30,00	7600,02	4	1
PLATEA N° 196	Platea	001	15,00	98,37	30,00	7600,01	4	1
PLATEA N° 197	Platea	001	15,00	110,95	30,00	9668,58	4	1
PLATEA N° 198	Platea	001	15,00	98,37	30,00	7599,98	4	1
PLATEA N° 199	Platea	001	15,00	98,37	30,00	7599,97	4	1
PLATEA N° 200	Platea	001	15,00	98,37	30,00	7599,98	4	1
PLATEA N° 201	Platea	001	15,00	98,37	30,00	7599,98	4	1
PLATEA N° 202	Platea	001	15,00	98,37	30,00	7599,98	4	1
PLATEA N° 203	Platea	001	15,00	98,37	30,00	7599,97	4	1
PLATEA N° 204	Platea	001	15,00	83,92	30,00	5531,42	4	1
PLATEA N° 205	Platea	001	15,00	110,59	30,00	9605,53	4	1
PLATEA N° 206	Platea	001	15,00	110,59	30,00	9605,53	4	1
PLATEA N° 207	Platea	001	15,00	110,59	30,00	9605,58	4	1
PLATEA N° 208	Platea	001	15,00	110,59	30,00	9605,58	4	1
PLATEA N° 209	Platea	001	15,00	110,59	30,00	9605,55	4	1
PLATEA N° 210	Platea	001	15,00	110,59	30,00	9605,58	4	1
PLATEA N° 211	Platea	001	15,00	88,48	30,00	6148,26	4	1
PLATEA N° 212	Platea	001	15,00	116,33	30,00	10628,55	4	1
PLATEA N° 213	Platea	001	15,00	111,81	30,00	9818,56	4	1
PLATEA N° 214	Platea	001	15,00	120,70	30,00	11442,33	4	1
PLATEA N° 215	Platea	001	15,00	116,33	30,00	10628,54	4	1
PLATEA N° 216	Platea	001	15,00	116,33	30,00	10628,55	4	1
PLATEA N° 217	Platea	001	15,00	104,09	30,00	8509,60	4	1
PLATEA N° 218	Platea	001	15,00	127,42	30,00	12751,28	4	1
PLATEA N° 219	Platea	001	15,00	130,78	30,00	13433,32	4	1
PLATEA N° 220	Platea	001	15,00	130,78	30,00	13433,27	4	1
PLATEA N° 221	Platea	001	15,00	127,42	30,00	12751,27	4	1
PLATEA N° 222	Platea	001	15,00	104,09	30,00	8509,63	4	1
PLATEA N° 223	Platea	001	15,00	116,33	30,00	10628,54	4	1
PLATEA N° 224	Platea	001	15,00	116,33	30,00	10628,54	4	1
PLATEA N° 225	Platea	001	15,00	116,33	30,00	10628,55	4	1
PLATEA N° 226	Platea	001	15,00	116,33	30,00	10628,52	4	1
PLATEA N° 227	Platea	001	15,00	116,33	30,00	10628,52	4	1
PLATEA N° 228	Platea	001	15,00	88,48	30,00	6148,34	4	1

Elemento	Tipologia n°	Indice Strat. cm	Prof. Fon. cm	Base Eq. cm	Spessore cm	Lung. Eq. cm	Lung. Travata Eq.
MACRO N° 1	Macro-Platea	001	15,00	1151,67	30,00	1819,00	1819,00

VALORI DI CALCOLO DELLA PORTANZA PER FONDAZIONI SUPERFICIALI :

Ai fini dei calcoli di portanza le sollecitazioni SLU sismiche saranno considerate moltiplicate per un coef. GammaRD = 1.10

N.B. La relazione è redatta in forma sintetica. Verranno riportate le sole combinazioni maggiormente gravose per ogni verifica.

ELEMENTO : PLATEA MACRO N° 1

Cmb n°	Tipologia	Sismica cm	Ecc. B cm	Ecc. L daN	S. Taglio B daN	S. Taglio L daN	S. Normale daN/cm ^q	T.T. min daN/cm ^q	T.T. max
006	SLU STR	No	0,4	0,0	0,0	0,0	-409579,5	-0,191	-0,203
017	SLV A1	Si	7,0	2,0	4295,4	1413,1	-229157,4	-0,106	-0,118
034	SLV A1	Si	2,4	-6,6	1288,5	-4704,4	-229136,0	-0,106	-0,116

Cmb n°n°	Strato Rot. daN	Ver. TB	S.T.B / TB daN	Ver. TL	S.T.L / TL daN/cm ^q	Sgm. Lt. daN/cm ^q	Qlim q daN/cm ^q	Qlim g daN/cm ^q	Qlim c daN/cm ^q	Qres T daN/cm ^q	QLIM	T.T. / QLIM
006/SLU STR 1 di 1	493189,6	0,000	490974,5	0,000	-0,029	-0,012	0,000	-1,267	0,000	-1,280	0,159	
017/SLV A1 1 di 1	483968,8	0,010	481753,6	0,003	-0,029	-0,012	0,000	-1,237	0,000	-1,249	0,104	
034/SLV A1 1 di 1	485913,5	0,003	483698,3	0,011	-0,029	-0,012	0,000	-1,237	0,000	-1,249	0,103	

VALORI DI CALCOLO DEI CEDIMENTI PER FONDAZIONI SUPERFICIALI :

ELEMENTO : PLATEA N° 1

Cmb n°	Tipologia	Sismica daN/cm ^q	Press. N1 daN/cm ^q	Press. N2 daN/cm ^q	Press. N3 daN/cm ^q	Press. N4 daN	S. Taglio X daN	S. Taglio Y
057	SLD	Si	-0,107	-0,107	-0,107	-0,107	5,1	14,0
076	SLE rare	No	-0,141	-0,142	-0,142	-0,141	0,0	0,0

Cedimento massimo = -0.22 cm in Cmb n° 076

Cedimento minimo = -0.10 cm in Cmb n° 057

Cmb	Sismico n°	Nodo daN/cm ^q	Car.Netto mm	Cedimenti n°	Nodo daN/cm ^q	Car.Netto mm	Cedimenti n°	Nodo daN/cm ^q	Car.Netto mm	Cedimenti
057/SLD	Si	185	-0,078	-1,03	199	-0,079	-1,03	198	-0,079	-1,04
	174	-0,078	-1,03							
076/SLE rare	No	185	-0,113	-2,17	199	-0,113	-2,18	198	-0,113	-2,20
	174	-0,113	-2,19							

ELEMENTO : PLATEA N° 2

Cmb n°	Tipologia	Sismica daN/cm ^q	Press. N1 daN/cm ^q	Press. N2 daN/cm ^q	Press. N3 daN/cm ^q	Press. N4 daN	S. Taglio X daN	S. Taglio Y
069	SLD	Si	-0,107	-0,108	-0,107	-0,107	2,0	13,8
076	SLE rare	No	-0,142	-0,143	-0,142	-0,141	0,0	0,0

Cedimento massimo = -0.22 cm in Cmb n° 076

Cedimento minimo = -0.10 cm in Cmb n° 069

Cmb	Sismico n°	Nodo daN/cm ^q	Car.Netto mm	Cedimenti n°	Nodo daN/cm ^q	Car.Netto mm	Cedimenti n°	Nodo daN/cm ^q	Car.Netto mm	Cedimenti
069/SLD	Si	186	-0,079	-1,02	131	-0,079	-1,03	199	-0,079	-1,03
	185	-0,079	-1,03							
076/SLE rare	No	186	-0,113	-1,82	131	-0,114	-1,83	199	-0,113	-2,18
	185	-0,113	-2,17							

ELEMENTO : PLATEA N° 3

Cmb n°	Tipologia	Sismica daN/cm ^q	Press. N1 daN/cm ^q	Press. N2 daN/cm ^q	Press. N3 daN/cm ^q	Press. N4 daN	S. Taglio X daN	S. Taglio Y
069	SLD	Si	-0,108	-0,109	-0,108	-0,107	1,7	13,8
076	SLE rare	No	-0,144	-0,145	-0,143	-0,142	0,0	0,0

Cedimento massimo = -0.18 cm in Cmb n° 076

Cedimento minimo = -0.09 cm in Cmb n° 069

Cmb	Sismico n°	Nodo daN/cm ^q	Car.Netto mm	Cedimenti n°	Nodo daN/cm ^q	Car.Netto mm	Cedimenti n°	Nodo daN/cm ^q	Car.Netto mm	Cedimenti
069/SLD	Si	187	-0,079	-0,88	143	-0,080	-0,89	131	-0,079	-1,03
	186	-0,079	-1,02							
076/SLE rare	No	187	-0,115	-1,76	143	-0,116	-1,77	131	-0,114	-1,83
	186	-0,113	-1,82							

ELEMENTO : PLATEA N° 4

Cmb n°	Tipologia	Sismica daN/cm ^q	Press. N1 daN/cm ^q	Press. N2 daN/cm ^q	Press. N3 daN/cm ^q	Press. N4 daN	S. Taglio X daN	S. Taglio Y
069	SLD	Si	-0,108	-0,109	-0,109	-0,108	1,4	13,8
076	SLE rare	No	-0,145	-0,147	-0,145	-0,144	0,0	0,0

Cedimento massimo = -0.18 cm in Cmb n° 076

Cedimento minimo = -0.07 cm in Cmb n° 069

Cmb	Sismico n°	Nodo daN/cm ^q	Car.Netto mm	Cedimenti n°	Nodo daN/cm ^q	Car.Netto mm	Cedimenti n°	Nodo daN/cm ^q	Car.Netto mm	Cedimenti
069/SLD	Si	188	-0,080	-0,68	147	-0,081	-0,68	143	-0,080	-0,89
	187	-0,079	-0,88							
076/SLE rare	No	188	-0,117	-1,25	147	-0,118	-1,27	143	-0,116	-1,77
	187	-0,115	-1,76							

ELEMENTO : PLATEA N° 5

Cmb n°	Tipologia	Sismica daN/cm ^q	Press. N1 daN/cm ^q	Press. N2 daN/cm ^q	Press. N3 daN/cm ^q	Press. N4 daN	S. Taglio X daN	S. Taglio Y
057	SLD	Si	-0,109	-0,109	-0,110	-0,110	4,3	14,2
076	SLE rare	No	-0,144	-0,145	-0,146	-0,145	0,1	0,0

Cedimento massimo = -0.23 cm in Cmb n° 076
 Cedimento minimo = -0.11 cm in Cmb n° 057

Cmb	Sismico n°	Nodo daN/cm ^q	Car.Netto mm	Cedimenti n°	Nodo daN/cm ^q	Car.Netto mm	Cedimenti n°	Nodo daN/cm ^q	Car.Netto mm	Cedimenti
057/SLD	Si	195	-0,080	-1,05	90	-0,081	-1,06	98	-0,082	-1,07
	196	-0,081	-1,06							
076/SLE rare	No	195	-0,115	-2,24	90	-0,116	-2,24	98	-0,118	-2,26
	196	-0,117	-2,26							

ELEMENTO : PLATEA N° 6

Cmb n°	Tipologia	Sismica daN/cm ^q	Press. N1 daN/cm ^q	Press. N2 daN/cm ^q	Press. N3 daN/cm ^q	Press. N4 daN	S. Taglio X daN	S. Taglio Y
057	SLD	Si	-0,108	-0,108	-0,109	-0,109	3,6	11,3
076	SLE rare	No	-0,142	-0,143	-0,144	-0,144	0,0	0,0

Cedimento massimo = -0.22 cm in Cmb n° 076
 Cedimento minimo = -0.10 cm in Cmb n° 057

Cmb	Sismico n°	Nodo daN/cm ^q	Car.Netto mm	Cedimenti n°	Nodo daN/cm ^q	Car.Netto mm	Cedimenti n°	Nodo daN/cm ^q	Car.Netto mm	Cedimenti
057/SLD	Si	197	-0,079	-1,04	106	-0,080	-1,05	201	-0,080	-1,05
	195	-0,080	-1,05							
076/SLE rare	No	197	-0,114	-2,22	106	-0,115	-2,22	201	-0,116	-2,23
	195	-0,115	-2,24							

ELEMENTO : PLATEA N° 7

Cmb n°	Tipologia	Sismica daN/cm ^q	Press. N1 daN/cm ^q	Press. N2 daN/cm ^q	Press. N3 daN/cm ^q	Press. N4 daN	S. Taglio X daN	S. Taglio Y
057	SLD	Si	-0,107	-0,108	-0,108	-0,108	4,8	14,2
076	SLE rare	No	-0,142	-0,142	-0,143	-0,142	0,0	0,0

Cedimento massimo = -0.22 cm in Cmb n° 076
 Cedimento minimo = -0.10 cm in Cmb n° 057

Cmb	Sismico n°	Nodo daN/cm ^q	Car.Netto mm	Cedimenti n°	Nodo daN/cm ^q	Car.Netto mm	Cedimenti n°	Nodo daN/cm ^q	Car.Netto mm	Cedimenti
057/SLD	Si	198	-0,079	-1,04	108	-0,079	-1,04	106	-0,080	-1,05
	197	-0,079	-1,04							
076/SLE rare	No	198	-0,113	-2,20	108	-0,114	-2,20	106	-0,115	-2,22
	197	-0,114	-2,22							

ELEMENTO : PLATEA N° 8

Cmb n°	Tipologia	Sismica daN/cm ^q	Press. N1 daN/cm ^q	Press. N2 daN/cm ^q	Press. N3 daN/cm ^q	Press. N4 daN	S. Taglio X daN	S. Taglio Y
061	SLD	Si	-0,107	-0,108	-0,108	-0,107	4,5	13,8
076	SLE rare	No	-0,142	-0,142	-0,142	-0,142	0,0	0,0

Cedimento massimo = -0.22 cm in Cmb n° 076
 Cedimento minimo = -0.10 cm in Cmb n° 061

Cmb	Sismico n°	Nodo daN/cm ^q	Car.Netto mm	Cedimenti n°	Nodo daN/cm ^q	Car.Netto mm	Cedimenti n°	Nodo daN/cm ^q	Car.Netto mm	Cedimenti
061/SLD	Si	199	-0,079	-1,03	110	-0,079	-1,04	108	-0,079	-1,04
	198	-0,079	-1,04							
076/SLE rare	No	199	-0,113	-2,18	110	-0,114	-2,18	108	-0,114	-2,20
	198	-0,113	-2,20							

ELEMENTO : PLATEA N° 9

Cmb n°	Tipologia	Sismica daN/cm ^q	Press. N1 daN/cm ^q	Press. N2 daN/cm ^q	Press. N3 daN/cm ^q	Press. N4 daN	S. Taglio X daN	S. Taglio Y
061	SLD	Si	-0,108	-0,108	-0,108	-0,107	5,0	14,9
076	SLE rare	No	-0,143	-0,143	-0,142	-0,142	0,0	0,0

Cedimento massimo = -0.22 cm in Cmb n° 076
 Cedimento minimo = -0.10 cm in Cmb n° 061

Cmb	Sismico n°	Nodo daN/cm ^q	Car.Netto mm	Cedimenti n°	Nodo daN/cm ^q	Car.Netto mm	Cedimenti n°	Nodo daN/cm ^q	Car.Netto mm	Cedimenti
061/SLD	Si	131	-0,079	-1,03	117	-0,080	-1,03	110	-0,079	-1,04
	199	-0,079	-1,03							
076/SLE rare	No	131	-0,114	-1,83	117	-0,115	-1,83	110	-0,114	-2,18
	199	-0,113	-2,18							

ELEMENTO : PLATEA N° 10

Cmb n°	Tipologia	Sismica daN/cm ^q	Press. N1 daN/cm ^q	Press. N2 daN/cm ^q	Press. N3 daN/cm ^q	Press. N4 daN	S. Taglio X daN	S. Taglio Y
045	SLD	Si	-0,109	-0,109	-0,109	-0,110	15,7	2,6
076	SLE rare	No	-0,146	-0,144	-0,145	-0,147	-0,2	0,0

Cedimento massimo = -0.18 cm in Cmb n° 076
 Cedimento minimo = -0.09 cm in Cmb n° 045

Cmb	Sismico n°	Nodo daN/cm ^q	Car.Netto mm	Cedimenti n°	Nodo daN/cm ^q	Car.Netto mm	Cedimenti n°	Nodo daN/cm ^q	Car.Netto mm	Cedimenti
045/SLD	Si	183	-0,081	-0,85	55	-0,080	-1,03	193	-0,080	-1,03
	194	-0,081	-0,86							
076/SLE rare	No	183	-0,118	-1,54	55	-0,116	-1,82	193	-0,116	-1,82
	194	-0,118	-1,54							

ELEMENTO : PLATEA N° 11

Cmb n°	Tipologia	Sismica daN/cm ^q	Press. N1 daN/cm ^q	Press. N2 daN/cm ^q	Press. N3 daN/cm ^q	Press. N4 daN	S. Taglio X daN	S. Taglio Y
061	SLD	Si	-0,108	-0,109	-0,108	-0,108	4,5	12,8
076	SLE rare	No	-0,145	-0,145	-0,143	-0,143	0,0	0,0

Cedimento massimo = -0.18 cm in Cmb n° 076
 Cedimento minimo = -0.09 cm in Cmb n° 061

Cmb	Sismico n°	Nodo daN/cm ^q	Car.Netto mm	Cedimenti n°	Nodo daN/cm ^q	Car.Netto mm	Cedimenti n°	Nodo daN/cm ^q	Car.Netto mm	Cedimenti
061/SLD	Si	143	-0,080	-0,89	119	-0,081	-0,89	117	-0,080	-1,03
	131	-0,079	-1,03							
076/SLE rare	No	143	-0,116	-1,77	119	-0,117	-1,77	117	-0,115	-1,83
	131	-0,114	-1,83							

ELEMENTO : PLATEA N° 12

Cmb n°	Tipologia	Sismica daN/cm ^q	Press. N1 daN/cm ^q	Press. N2 daN/cm ^q	Press. N3 daN/cm ^q	Press. N4 daN	S. Taglio X daN	S. Taglio Y
061	SLD	Si	-0,109	-0,110	-0,109	-0,108	5,0	13,9
076	SLE rare	No	-0,147	-0,148	-0,145	-0,145	0,0	0,0

Cedimento massimo = -0.18 cm in Cmb n° 076
 Cedimento minimo = -0.07 cm in Cmb n° 061

Cmb	Sismico n°	Nodo daN/cm ^q	Car.Netto mm	Cedimenti n°	Nodo daN/cm ^q	Car.Netto mm	Cedimenti n°	Nodo daN/cm ^q	Car.Netto mm	Cedimenti
061/SLD	Si	147	-0,081	-0,68	94	-0,081	-0,69	119	-0,081	-0,89
	143	-0,080	-0,89							
076/SLE rare	No	147	-0,118	-1,27	94	-0,120	-1,27	119	-0,117	-1,77
	143	-0,116	-1,77							

ELEMENTO : PLATEA N° 13

Cmb n°	Tipologia	Sismica daN/cm ^q	Press. N1 daN/cm ^q	Press. N2 daN/cm ^q	Press. N3 daN/cm ^q	Press. N4 daN	S. Taglio X daN	S. Taglio Y
054	SLD	Si	-0,107	-0,108	-0,108	-0,108	13,9	-2,1
076	SLE rare	No	-0,145	-0,144	-0,145	-0,146	-0,1	-0,1

Cedimento massimo = -0.16 cm in Cmb n° 076
 Cedimento minimo = -0.06 cm in Cmb n° 054

Cmb	Sismico n°	Nodo daN/cm ^q	Car.Netto mm	Cedimenti n°	Nodo daN/cm ^q	Car.Netto mm	Cedimenti n°	Nodo daN/cm ^q	Car.Netto mm	Cedimenti
054/SLD	Si	153	-0,079	-0,71	73	-0,079	-0,86	89	-0,080	-0,67
	177	-0,079	-0,55							
076/SLE rare	No	153	-0,116	-1,33	73	-0,115	-1,56	89	-0,117	-1,23

177 -0,118 -1,05

ELEMENTO : PLATEA N° 14

Cmb n°	Tipologia	Sismica daN/cm ^q	Press. N1 daN/cm ^q	Press. N2 daN/cm ^q	Press. N3 daN/cm ^q	Press. N4 daN	S. Taglio X daN	S. Taglio Y daN
054	SLD	Si	-0,107	-0,107	-0,107	-0,108	13,7	-2,1
076	SLE rare	No	-0,143	-0,142	-0,144	-0,145	0,0	-0,1

Cedimento massimo = -0.18 cm in Cmb n° 076
 Cedimento minimo = -0.07 cm in Cmb n° 054

Cmb	Sismico n°	Nodo daN/cm ^q	Car.Netto mm	Cedimenti n°	Nodo daN/cm ^q	Car.Netto mm	Cedimenti n°	Nodo daN/cm ^q	Car.Netto mm	Cedimenti
054/SLD	Si	111	-0,079	-0,83	130	-0,079	-0,88	73	-0,079	-0,86
	153	-0,079	-0,71							
076/SLE rare	No	111	-0,115	-1,49	130	-0,114	-1,76	73	-0,115	-1,56
	153	-0,116	-1,33							

ELEMENTO : PLATEA N° 15

Cmb n°	Tipologia	Sismica daN/cm ^q	Press. N1 daN/cm ^q	Press. N2 daN/cm ^q	Press. N3 daN/cm ^q	Press. N4 daN	S. Taglio X daN	S. Taglio Y daN
054	SLD	Si	-0,107	-0,107	-0,107	-0,107	13,4	-2,1
076	SLE rare	No	-0,143	-0,142	-0,142	-0,143	0,0	-0,1

Cedimento massimo = -0.18 cm in Cmb n° 076
 Cedimento minimo = -0.08 cm in Cmb n° 054

Cmb	Sismico n°	Nodo daN/cm ^q	Car.Netto mm	Cedimenti n°	Nodo daN/cm ^q	Car.Netto mm	Cedimenti n°	Nodo daN/cm ^q	Car.Netto mm	Cedimenti
054/SLD	Si	132	-0,079	-0,83	133	-0,078	-0,89	130	-0,079	-0,88
	111	-0,079	-0,83							
076/SLE rare	No	132	-0,114	-1,49	133	-0,113	-1,77	130	-0,114	-1,76
	111	-0,115	-1,49							

ELEMENTO : PLATEA N° 16

Cmb n°	Tipologia	Sismica daN/cm ^q	Press. N1 daN/cm ^q	Press. N2 daN/cm ^q	Press. N3 daN/cm ^q	Press. N4 daN	S. Taglio X daN	S. Taglio Y daN
054	SLD	Si	-0,107	-0,107	-0,107	-0,107	13,2	-2,1
076	SLE rare	No	-0,143	-0,142	-0,142	-0,143	0,0	0,0

Cedimento massimo = -0.18 cm in Cmb n° 076
 Cedimento minimo = -0.08 cm in Cmb n° 054

Cmb	Sismico n°	Nodo daN/cm ^q	Car.Netto mm	Cedimenti n°	Nodo daN/cm ^q	Car.Netto mm	Cedimenti n°	Nodo daN/cm ^q	Car.Netto mm	Cedimenti
054/SLD	Si	134	-0,079	-0,83	135	-0,078	-0,89	133	-0,078	-0,89
	132	-0,079	-0,83							
076/SLE rare	No	134	-0,114	-1,50	135	-0,113	-1,78	133	-0,113	-1,77
	132	-0,114	-1,49							

ELEMENTO : PLATEA N° 17

Cmb n°	Tipologia	Sismica daN/cm ^q	Press. N1 daN/cm ^q	Press. N2 daN/cm ^q	Press. N3 daN/cm ^q	Press. N4 daN	S. Taglio X daN	S. Taglio Y daN
054	SLD	Si	-0,108	-0,107	-0,107	-0,107	13,0	-2,1
076	SLE rare	No	-0,144	-0,142	-0,142	-0,143	0,0	0,0

Cedimento massimo = -0.18 cm in Cmb n° 076
 Cedimento minimo = -0.08 cm in Cmb n° 054

Cmb	Sismico n°	Nodo daN/cm ^q	Car.Netto mm	Cedimenti n°	Nodo daN/cm ^q	Car.Netto mm	Cedimenti n°	Nodo daN/cm ^q	Car.Netto mm	Cedimenti
054/SLD	Si	146	-0,079	-0,84	1	-0,079	-0,89	135	-0,078	-0,89
	134	-0,079	-0,83							
076/SLE rare	No	146	-0,115	-1,51	1	-0,114	-1,79	135	-0,113	-1,78
	134	-0,114	-1,50							

ELEMENTO : PLATEA N° 18

Cmb n°	Tipologia	Sismica daN/cm ^q	Press. N1 daN/cm ^q	Press. N2 daN/cm ^q	Press. N3 daN/cm ^q	Press. N4 daN	S. Taglio X daN	S. Taglio Y daN
057	SLD	Si	-0,109	-0,109	-0,110	0,000	0,8	2,8

076 SLE rare No -0,144 -0,144 -0,145 0,000 0,0 0,0

Cedimento massimo = -0.23 cm in Cmb n° 076
 Cedimento minimo = -0.11 cm in Cmb n° 057

Cmb	Sismico n°	Nodo daN/cm ^q	Car.Netto mm	Cedimenti n°	Nodo daN/cm ^q	Car.Netto mm	Cedimenti n°	Nodo daN/cm ^q	Car.Netto mm	Cedimenti
057/SLD	Si	148	-0,081	-1,06	195	-0,080	-1,05	196	-0,081	-1,06
076/SLE rare	No	148	-0,116	-2,25	195	-0,115	-2,24	196	-0,117	-2,26

ELEMENTO : PLATEA N° 19

Cmb n°	Tipologia	Sismica daN/cm ^q	Press. N1 daN/cm ^q	Press. N2 daN/cm ^q	Press. N3 daN/cm ^q	Press. N4 daN	S. Taglio X daN	S. Taglio Y
062	SLD	Si	-0,109	-0,110	-0,109	0,000	0,8	-2,8
076	SLE rare	No	-0,144	-0,145	-0,144	0,000	0,0	0,0

Cedimento massimo = -0.23 cm in Cmb n° 076
 Cedimento minimo = -0.11 cm in Cmb n° 062

Cmb	Sismico n°	Nodo daN/cm ^q	Car.Netto mm	Cedimenti n°	Nodo daN/cm ^q	Car.Netto mm	Cedimenti n°	Nodo daN/cm ^q	Car.Netto mm	Cedimenti
062/SLD	Si	151	-0,081	-1,06	43	-0,081	-1,07	42	-0,080	-1,05
076/SLE rare	No	151	-0,116	-2,25	43	-0,117	-2,26	42	-0,115	-2,24

ELEMENTO : PLATEA N° 20

Cmb n°	Tipologia	Sismica daN/cm ^q	Press. N1 daN/cm ^q	Press. N2 daN/cm ^q	Press. N3 daN/cm ^q	Press. N4 daN	S. Taglio X daN	S. Taglio Y
050	SLD	Si	-0,109	-0,110	-0,110	0,000	3,2	-1,1
076	SLE rare	No	-0,144	-0,146	-0,145	0,000	0,0	0,0

Cedimento massimo = -0.23 cm in Cmb n° 076
 Cedimento minimo = -0.11 cm in Cmb n° 050

Cmb	Sismico n°	Nodo daN/cm ^q	Car.Netto mm	Cedimenti n°	Nodo daN/cm ^q	Car.Netto mm	Cedimenti n°	Nodo daN/cm ^q	Car.Netto mm	Cedimenti
050/SLD	Si	151	-0,081	-1,06	170	-0,082	-1,07	43	-0,081	-1,07
076/SLE rare	No	151	-0,116	-2,25	170	-0,117	-2,27	43	-0,117	-2,26

ELEMENTO : PLATEA N° 21

Cmb n°	Tipologia	Sismica daN/cm ^q	Press. N1 daN/cm ^q	Press. N2 daN/cm ^q	Press. N3 daN/cm ^q	Press. N4 daN	S. Taglio X daN	S. Taglio Y
041	SLD	Si	-0,109	-0,110	-0,110	0,000	3,2	1,1
076	SLE rare	No	-0,144	-0,145	-0,146	0,000	0,0	0,0

Cedimento massimo = -0.23 cm in Cmb n° 076
 Cedimento minimo = -0.11 cm in Cmb n° 041

Cmb	Sismico n°	Nodo daN/cm ^q	Car.Netto mm	Cedimenti n°	Nodo daN/cm ^q	Car.Netto mm	Cedimenti n°	Nodo daN/cm ^q	Car.Netto mm	Cedimenti
041/SLD	Si	148	-0,081	-1,06	196	-0,081	-1,07	170	-0,082	-1,07
076/SLE rare	No	148	-0,116	-2,25	196	-0,117	-2,26	170	-0,117	-2,27

ELEMENTO : PLATEA N° 22

Cmb n°	Tipologia	Sismica daN/cm ^q	Press. N1 daN/cm ^q	Press. N2 daN/cm ^q	Press. N3 daN/cm ^q	Press. N4 daN	S. Taglio X daN	S. Taglio Y
054	SLD	Si	-0,108	-0,108	-0,107	-0,108	10,3	-1,6
076	SLE rare	No	-0,145	-0,143	-0,142	-0,144	-0,1	0,0

Cedimento massimo = -0.18 cm in Cmb n° 076
 Cedimento minimo = -0.08 cm in Cmb n° 054

Cmb	Sismico n°	Nodo daN/cm ^q	Car.Netto mm	Cedimenti n°	Nodo daN/cm ^q	Car.Netto mm	Cedimenti n°	Nodo daN/cm ^q	Car.Netto mm	Cedimenti
054/SLD	Si	32	-0,080	-0,84	3	-0,080	-1,02	1	-0,079	-0,89
		146	-0,079	-0,84						
076/SLE rare	No	32	-0,116	-1,52	3	-0,115	-1,81	1	-0,114	-1,79
		146	-0,115	-1,51						

ELEMENTO : PLATEA N° 23

Cmb n°	Tipologia	Sismica daN/cm ^q	Press. N1 daN/cm ^q	Press. N2 daN/cm ^q	Press. N3 daN/cm ^q	Press. N4 daN	S. Taglio X daN	S. Taglio Y
070	SLD	Si	-0,107	-0,107	-0,108	-0,108	2,5	-15,0

076 SLE rare No -0,143 -0,143 -0,145 -0,145 0,0 0,0

Cedimento massimo = -0.17 cm in Cmb n° 076
 Cedimento minimo = -0.07 cm in Cmb n° 070

Cmb	Sismico n°	Nodo daN/cm ^q	Car.Netto mm	Cedimenti n°	Nodo daN/cm ^q	Car.Netto mm	Cedimenti n°	Nodo daN/cm ^q	Car.Netto mm	Cedimenti
070/SLD	Si 6	5 -0,079	-0,079 -0,67	-0,87	13	-0,079	-0,88	14	-0,079	-0,67
076/SLE rare	No 6	5 -0,116	-0,114 -1,24	-1,58	13	-0,114	-1,75	14	-0,116	-1,25

ELEMENTO : PLATEA N° 24

Cmb n°	Tipologia	Sismica daN/cm ^q	Press. N1 daN/cm ^q	Press. N2 daN/cm ^q	Press. N3 daN/cm ^q	Press. N4 daN	S. Taglio X daN	S. Taglio Y
054	SLD	Si	-0,107	-0,107	-0,108	-0,108	13,9	-1,6
076	SLE rare	No	-0,146	-0,145	-0,146	-0,148	-0,1	-0,1

Cedimento massimo = -0.13 cm in Cmb n° 076
 Cedimento minimo = -0.02 cm in Cmb n° 054

Cmb	Sismico n°	Nodo daN/cm ^q	Car.Netto mm	Cedimenti n°	Nodo daN/cm ^q	Car.Netto mm	Cedimenti n°	Nodo daN/cm ^q	Car.Netto mm	Cedimenti
054/SLD	Si 58	57 -0,079	-0,079 -0,18	-0,26	153	-0,079	-0,71	177	-0,079	-0,55
076/SLE rare	No 58	57 -0,119	-0,117 -0,43	-0,56	153	-0,116	-1,33	177	-0,118	-1,05

ELEMENTO : PLATEA N° 25

Cmb n°	Tipologia	Sismica daN/cm ^q	Press. N1 daN/cm ^q	Press. N2 daN/cm ^q	Press. N3 daN/cm ^q	Press. N4 daN	S. Taglio X daN	S. Taglio Y
054	SLD	Si	-0,107	-0,107	-0,107	-0,107	13,7	-1,6
076	SLE rare	No	-0,145	-0,143	-0,145	-0,146	-0,1	-0,1

Cedimento massimo = -0.15 cm in Cmb n° 076
 Cedimento minimo = -0.03 cm in Cmb n° 054

Cmb	Sismico n°	Nodo daN/cm ^q	Car.Netto mm	Cedimenti n°	Nodo daN/cm ^q	Car.Netto mm	Cedimenti n°	Nodo daN/cm ^q	Car.Netto mm	Cedimenti
054/SLD	Si 57	59 -0,079	-0,079 -0,26	-0,26	111	-0,079	-0,83	153	-0,079	-0,71
076/SLE rare	No 57	59 -0,117	-0,116 -0,56	-0,57	111	-0,115	-1,49	153	-0,116	-1,33

ELEMENTO : PLATEA N° 26

Cmb n°	Tipologia	Sismica daN/cm ^q	Press. N1 daN/cm ^q	Press. N2 daN/cm ^q	Press. N3 daN/cm ^q	Press. N4 daN	S. Taglio X daN	S. Taglio Y
054	SLD	Si	-0,107	-0,107	-0,107	-0,107	13,4	-1,6
076	SLE rare	No	-0,144	-0,143	-0,143	-0,145	0,0	-0,1

Cedimento massimo = -0.15 cm in Cmb n° 076
 Cedimento minimo = -0.03 cm in Cmb n° 054

Cmb	Sismico n°	Nodo daN/cm ^q	Car.Netto mm	Cedimenti n°	Nodo daN/cm ^q	Car.Netto mm	Cedimenti n°	Nodo daN/cm ^q	Car.Netto mm	Cedimenti
054/SLD	Si 59	60 -0,079	-0,079 -0,26	-0,26	132	-0,079	-0,83	111	-0,079	-0,83
076/SLE rare	No 59	60 -0,116	-0,115 -0,57	-0,57	132	-0,114	-1,49	111	-0,115	-1,49

ELEMENTO : PLATEA N° 27

Cmb n°	Tipologia	Sismica daN/cm ^q	Press. N1 daN/cm ^q	Press. N2 daN/cm ^q	Press. N3 daN/cm ^q	Press. N4 daN	S. Taglio X daN	S. Taglio Y
054	SLD	Si	-0,108	-0,107	-0,107	-0,107	13,2	-1,6
076	SLE rare	No	-0,144	-0,143	-0,143	-0,144	0,0	0,0

Cedimento massimo = -0.15 cm in Cmb n° 076
 Cedimento minimo = -0.03 cm in Cmb n° 054

Cmb	Sismico n°	Nodo daN/cm ^q	Car.Netto mm	Cedimenti n°	Nodo daN/cm ^q	Car.Netto mm	Cedimenti n°	Nodo daN/cm ^q	Car.Netto mm	Cedimenti
-----	---------------	-----------------------------	-----------------	-----------------	-----------------------------	-----------------	-----------------	-----------------------------	-----------------	-----------

054/SLD	Si	61	-0,079	-0,26	134	-0,079	-0,83	132	-0,079	-0,83
	60	-0,079	-0,26							
076/SLE rare	No	61	-0,116	-0,57	134	-0,114	-1,50	132	-0,114	-1,49
	60	-0,115	-0,57							

ELEMENTO : PLATEA N° 28

Cmb n°	Tipologia	Sismica daN/cm ^q	Press. N1 daN/cm ^q	Press. N2 daN/cm ^q	Press. N3 daN/cm ^q	Press. N4 daN	S. Taglio X daN	S. Taglio Y daN
054	SLD	Si	-0,108	-0,108	-0,107	-0,108	13,0	-1,5
076	SLE rare	No	-0,145	-0,144	-0,143	-0,144	0,0	0,0

Cedimento massimo = -0.15 cm in Cmb n° 076
 Cedimento minimo = -0.03 cm in Cmb n° 054

Cmb n°	Sismico n°	Nodo daN/cm ^q	Car.Netto mm	Cedimenti n°	Nodo daN/cm ^q	Car.Netto mm	Cedimenti n°	Nodo daN/cm ^q	Car.Netto mm	Cedimenti n°
054/SLD	Si	62	-0,080	-0,26	146	-0,079	-0,84	134	-0,079	-0,83
	61	-0,079	-0,26							
076/SLE rare	No	62	-0,117	-0,58	146	-0,115	-1,51	134	-0,114	-1,50
	61	-0,116	-0,57							

ELEMENTO : PLATEA N° 29

Cmb n°	Tipologia	Sismica daN/cm ^q	Press. N1 daN/cm ^q	Press. N2 daN/cm ^q	Press. N3 daN/cm ^q	Press. N4 daN	S. Taglio X daN	S. Taglio Y daN
054	SLD	Si	-0,109	-0,108	-0,108	-0,108	8,9	-1,1
076	SLE rare	No	-0,147	-0,145	-0,145	-0,145	-0,1	0,0

Cedimento massimo = -0.15 cm in Cmb n° 076
 Cedimento minimo = -0.03 cm in Cmb n° 054

Cmb n°	Sismico n°	Nodo daN/cm ^q	Car.Netto mm	Cedimenti n°	Nodo daN/cm ^q	Car.Netto mm	Cedimenti n°	Nodo daN/cm ^q	Car.Netto mm	Cedimenti n°
054/SLD	Si	64	-0,080	-0,27	2	-0,080	-0,85	32	-0,080	-0,84
	62	-0,080	-0,26							
076/SLE rare	No	64	-0,118	-0,58	2	-0,117	-1,52	32	-0,116	-1,52
	62	-0,117	-0,58							

ELEMENTO : PLATEA N° 30

Cmb n°	Tipologia	Sismica daN/cm ^q	Press. N1 daN/cm ^q	Press. N2 daN/cm ^q	Press. N3 daN/cm ^q	Press. N4 daN	S. Taglio X daN	S. Taglio Y daN
054	SLD	Si	-0,110	-0,109	-0,108	-0,109	12,6	-1,5
076	SLE rare	No	-0,148	-0,146	-0,145	-0,147	-0,1	0,0

Cedimento massimo = -0.15 cm in Cmb n° 076
 Cedimento minimo = -0.03 cm in Cmb n° 054

Cmb n°	Sismico n°	Nodo daN/cm ^q	Car.Netto mm	Cedimenti n°	Nodo daN/cm ^q	Car.Netto mm	Cedimenti n°	Nodo daN/cm ^q	Car.Netto mm	Cedimenti n°
054/SLD	Si	65	-0,081	-0,27	181	-0,081	-0,85	2	-0,080	-0,85
	64	-0,080	-0,27							
076/SLE rare	No	65	-0,119	-0,59	181	-0,118	-1,54	2	-0,117	-1,52
	64	-0,118	-0,58							

ELEMENTO : PLATEA N° 31

Cmb n°	Tipologia	Sismica daN/cm ^q	Press. N1 daN/cm ^q	Press. N2 daN/cm ^q	Press. N3 daN/cm ^q	Press. N4 daN	S. Taglio X daN	S. Taglio Y daN
054	SLD	Si	-0,110	-0,109	-0,109	-0,110	15,7	-1,9
076	SLE rare	No	-0,149	-0,147	-0,146	-0,148	-0,2	0,0

Cedimento massimo = -0.15 cm in Cmb n° 076
 Cedimento minimo = -0.03 cm in Cmb n° 054

Cmb n°	Sismico n°	Nodo daN/cm ^q	Car.Netto mm	Cedimenti n°	Nodo daN/cm ^q	Car.Netto mm	Cedimenti n°	Nodo daN/cm ^q	Car.Netto mm	Cedimenti n°
054/SLD	Si	66	-0,082	-0,27	194	-0,081	-0,86	181	-0,081	-0,85
	65	-0,081	-0,27							
076/SLE rare	No	66	-0,120	-0,59	194	-0,118	-1,54	181	-0,118	-1,54
	65	-0,119	-0,59							

ELEMENTO : PLATEA N° 32

Cmb n°	Tipologia	Sismica daN/cm ^q	Press. N1 daN/cm ^q	Press. N2 daN/cm ^q	Press. N3 daN/cm ^q	Press. N4 daN	S. Taglio X daN	S. Taglio Y
045	SLD	Si	-0,110	-0,109	-0,110	-0,110	15,7	1,9
076	SLE rare	No	-0,148	-0,146	-0,147	-0,149	-0,2	0,0

Cedimento massimo = -0.15 cm in Cmb n° 076
 Cedimento minimo = -0.03 cm in Cmb n° 045

Cmb	Sismico n°	Nodo daN/cm ^q	Car.Netto mm	Cedimenti n°	Nodo daN/cm ^q	Car.Netto mm	Cedimenti n°	Nodo daN/cm ^q	Car.Netto mm	Cedimenti
045/SLD	Si	67	-0,081	-0,27	183	-0,081	-0,85	194	-0,081	-0,86
	66	-0,082	-0,27							
076/SLE rare	No	67	-0,119	-0,59	183	-0,118	-1,54	194	-0,118	-1,54
	66	-0,120	-0,59							

ELEMENTO : PLATEA N° 33

Cmb n°	Tipologia	Sismica daN/cm ^q	Press. N1 daN/cm ^q	Press. N2 daN/cm ^q	Press. N3 daN/cm ^q	Press. N4 daN	S. Taglio X daN	S. Taglio Y
045	SLD	Si	-0,109	-0,108	-0,109	-0,110	12,6	1,5
076	SLE rare	No	-0,147	-0,145	-0,146	-0,148	-0,1	0,0

Cedimento massimo = -0.15 cm in Cmb n° 076
 Cedimento minimo = -0.03 cm in Cmb n° 045

Cmb	Sismico n°	Nodo daN/cm ^q	Car.Netto mm	Cedimenti n°	Nodo daN/cm ^q	Car.Netto mm	Cedimenti n°	Nodo daN/cm ^q	Car.Netto mm	Cedimenti
045/SLD	Si	68	-0,080	-0,27	53	-0,080	-0,85	183	-0,081	-0,85
	67	-0,081	-0,27							
076/SLE rare	No	68	-0,118	-0,58	53	-0,117	-1,52	183	-0,118	-1,54
	67	-0,119	-0,59							

ELEMENTO : PLATEA N° 34

Cmb n°	Tipologia	Sismica daN/cm ^q	Press. N1 daN/cm ^q	Press. N2 daN/cm ^q	Press. N3 daN/cm ^q	Press. N4 daN	S. Taglio X daN	S. Taglio Y
045	SLD	Si	-0,108	-0,108	-0,108	-0,109	10,3	1,2
076	SLE rare	No	-0,145	-0,144	-0,144	-0,147	-0,1	0,0

Cedimento massimo = -0.15 cm in Cmb n° 076
 Cedimento minimo = -0.03 cm in Cmb n° 045

Cmb	Sismico n°	Nodo daN/cm ^q	Car.Netto mm	Cedimenti n°	Nodo daN/cm ^q	Car.Netto mm	Cedimenti n°	Nodo daN/cm ^q	Car.Netto mm	Cedimenti
045/SLD	Si	69	-0,080	-0,26	155	-0,079	-0,84	33	-0,080	-0,84
	68	-0,080	-0,27							
076/SLE rare	No	69	-0,117	-0,58	155	-0,115	-1,51	33	-0,116	-1,52
	68	-0,118	-0,58							

ELEMENTO : PLATEA N° 35

Cmb n°	Tipologia	Sismica daN/cm ^q	Press. N1 daN/cm ^q	Press. N2 daN/cm ^q	Press. N3 daN/cm ^q	Press. N4 daN	S. Taglio X daN	S. Taglio Y
045	SLD	Si	-0,107	-0,107	-0,108	-0,108	13,0	1,5
076	SLE rare	No	-0,144	-0,143	-0,144	-0,145	0,0	0,0

Cedimento massimo = -0.15 cm in Cmb n° 076
 Cedimento minimo = -0.03 cm in Cmb n° 045

Cmb	Sismico n°	Nodo daN/cm ^q	Car.Netto mm	Cedimenti n°	Nodo daN/cm ^q	Car.Netto mm	Cedimenti n°	Nodo daN/cm ^q	Car.Netto mm	Cedimenti
045/SLD	Si	70	-0,079	-0,26	114	-0,079	-0,83	155	-0,079	-0,84
	69	-0,080	-0,26							
076/SLE rare	No	70	-0,116	-0,57	114	-0,114	-1,50	155	-0,115	-1,51
	69	-0,117	-0,58							

ELEMENTO : PLATEA N° 36

Cmb n°	Tipologia	Sismica daN/cm ^q	Press. N1 daN/cm ^q	Press. N2 daN/cm ^q	Press. N3 daN/cm ^q	Press. N4 daN	S. Taglio X daN	S. Taglio Y
045	SLD	Si	-0,107	-0,107	-0,107	-0,107	13,2	1,6
076	SLE rare	No	-0,144	-0,143	-0,143	-0,144	0,0	0,0

Cedimento massimo = -0.15 cm in Cmb n° 076

Cedimento minimo = -0.03 cm in Cmb n° 045

Cmb	Sismico n°	Nodo daN/cm ^q	Car.Netto mm	Cedimenti n°	Nodo daN/cm ^q	Car.Netto mm	Cedimenti n°	Nodo daN/cm ^q	Car.Netto mm	Cedimenti
045/SLD	Si	72	-0,079	-0,26	84	-0,079	-0,83	114	-0,079	-0,83
	70	-0,079	-0,26							
076/SLE rare	No	72	-0,115	-0,57	84	-0,114	-1,49	114	-0,114	-1,50
	70	-0,116	-0,57							

ELEMENTO : PLATEA N° 37

Cmb n°	Tipologia	Sismica daN/cm ^q	Press. N1 daN/cm ^q	Press. N2 daN/cm ^q	Press. N3 daN/cm ^q	Press. N4 daN	S. Taglio X daN	S. Taglio Y
045	SLD	Si	-0,107	-0,107	-0,107	-0,107	14,5	1,7
076	SLE rare	No	-0,145	-0,144	-0,143	-0,144	0,0	0,1

Cedimento massimo = -0.15 cm in Cmb n° 076

Cedimento minimo = -0.03 cm in Cmb n° 045

Cmb	Sismico n°	Nodo daN/cm ^q	Car.Netto mm	Cedimenti n°	Nodo daN/cm ^q	Car.Netto mm	Cedimenti n°	Nodo daN/cm ^q	Car.Netto mm	Cedimenti
045/SLD	Si	74	-0,079	-0,26	101	-0,079	-0,83	84	-0,079	-0,83
	72	-0,079	-0,26							
076/SLE rare	No	74	-0,116	-0,57	101	-0,115	-1,48	84	-0,114	-1,49
	72	-0,115	-0,57							

ELEMENTO : PLATEA N° 38

Cmb n°	Tipologia	Sismica daN/cm ^q	Press. N1 daN/cm ^q	Press. N2 daN/cm ^q	Press. N3 daN/cm ^q	Press. N4 daN	S. Taglio X daN	S. Taglio Y
045	SLD	Si	-0,107	-0,107	-0,107	-0,107	12,6	1,5
076	SLE rare	No	-0,146	-0,145	-0,144	-0,145	0,0	0,1

Cedimento massimo = -0.15 cm in Cmb n° 076

Cedimento minimo = -0.03 cm in Cmb n° 045

Cmb	Sismico n°	Nodo daN/cm ^q	Car.Netto mm	Cedimenti n°	Nodo daN/cm ^q	Car.Netto mm	Cedimenti n°	Nodo daN/cm ^q	Car.Netto mm	Cedimenti
045/SLD	Si	75	-0,079	-0,26	103	-0,079	-0,71	101	-0,079	-0,83
	74	-0,079	-0,26							
076/SLE rare	No	75	-0,118	-0,56	103	-0,116	-1,33	101	-0,115	-1,48
	74	-0,116	-0,57							

ELEMENTO : PLATEA N° 39

Cmb n°	Tipologia	Sismica daN/cm ^q	Press. N1 daN/cm ^q	Press. N2 daN/cm ^q	Press. N3 daN/cm ^q	Press. N4 daN	S. Taglio X daN	S. Taglio Y
045	SLD	Si	-0,108	-0,108	-0,107	-0,107	13,9	1,6
076	SLE rare	No	-0,148	-0,146	-0,145	-0,146	-0,1	0,1

Cedimento massimo = -0.13 cm in Cmb n° 076

Cedimento minimo = -0.02 cm in Cmb n° 045

Cmb	Sismico n°	Nodo daN/cm ^q	Car.Netto mm	Cedimenti n°	Nodo daN/cm ^q	Car.Netto mm	Cedimenti n°	Nodo daN/cm ^q	Car.Netto mm	Cedimenti
045/SLD	Si	77	-0,079	-0,18	179	-0,079	-0,55	103	-0,079	-0,71
	75	-0,079	-0,26							
076/SLE rare	No	77	-0,119	-0,43	179	-0,118	-1,05	103	-0,116	-1,33
	75	-0,118	-0,56							

ELEMENTO : PLATEA N° 40

Cmb n°	Tipologia	Sismica daN/cm ^q	Press. N1 daN/cm ^q	Press. N2 daN/cm ^q	Press. N3 daN/cm ^q	Press. N4 daN	S. Taglio X daN	S. Taglio Y
045	SLD	Si	-0,108	-0,108	-0,108	-0,108	8,1	0,9
076	SLE rare	No	-0,149	-0,147	-0,146	-0,148	-0,1	0,1

Cedimento massimo = -0.11 cm in Cmb n° 076

Cedimento minimo = -0.01 cm in Cmb n° 045

Cmb	Sismico n°	Nodo daN/cm ^q	Car.Netto mm	Cedimenti n°	Nodo daN/cm ^q	Car.Netto mm	Cedimenti n°	Nodo daN/cm ^q	Car.Netto mm	Cedimenti
045/SLD	Si	79	-0,080	-0,07	165	-0,080	-0,25	179	-0,079	-0,55
	77	-0,079	-0,18							

076/SLE rare	No	79	-0,120	-0,15	165	-0,119	-0,46	179	-0,118	-1,05
	77	-0,119	-0,43							

ELEMENTO : PLATEA N° 41

Cmb n°	Tipologia	Sismica daN/cm ^q	Press. N1 daN/cm ^q	Press. N2 daN/cm ^q	Press. N3 daN/cm ^q	Press. N4 daN	S. Taglio X daN	S. Taglio Y
054	SLD	Si	-0,108	-0,108	-0,108	-0,108	8,1	-0,9
076	SLE rare	No	-0,148	-0,146	-0,147	-0,149	-0,1	-0,1

Cedimento massimo = -0.11 cm in Cmb n° 076

Cedimento minimo = -0.01 cm in Cmb n° 054

Cmb n°	Sismico n°	Nodo daN/cm ^q	Car.Netto mm	Cedimenti n°	Nodo daN/cm ^q	Car.Netto mm	Cedimenti n°	Nodo daN/cm ^q	Car.Netto mm	Cedimenti
054/SLD	Si	58	-0,079	-0,18	177	-0,079	-0,55	44	-0,080	-0,25
	56	-0,080	-0,07							
076/SLE rare	No	58	-0,119	-0,43	177	-0,118	-1,05	44	-0,119	-0,46
	56	-0,120	-0,15							

ELEMENTO : PLATEA N° 42

Cmb n°	Tipologia	Sismica daN/cm ^q	Press. N1 daN/cm ^q	Press. N2 daN/cm ^q	Press. N3 daN/cm ^q	Press. N4 daN	S. Taglio X daN	S. Taglio Y
059	SLD	Si	-0,109	-0,109	-0,109	0,000	-0,7	2,8
076	SLE rare	No	-0,144	-0,144	-0,145	0,000	0,0	0,0

Cedimento massimo = -0.22 cm in Cmb n° 076

Cedimento minimo = -0.11 cm in Cmb n° 059

Cmb n°	Sismico n°	Nodo daN/cm ^q	Car.Netto mm	Cedimenti n°	Nodo daN/cm ^q	Car.Netto mm	Cedimenti n°	Nodo daN/cm ^q	Car.Netto mm	Cedimenti
059/SLD	Si	195	-0,080	-1,06	201	-0,080	-1,05	90	-0,081	-1,06
076/SLE rare	No	195	-0,115	-2,24	201	-0,116	-2,23	90	-0,116	-2,24

ELEMENTO : PLATEA N° 43

Cmb n°	Tipologia	Sismica daN/cm ^q	Press. N1 daN/cm ^q	Press. N2 daN/cm ^q	Press. N3 daN/cm ^q	Press. N4 daN	S. Taglio X daN	S. Taglio Y
054	SLD	Si	-0,108	-0,108	-0,108	0,000	3,9	-0,5
076	SLE rare	No	-0,145	-0,145	-0,144	0,000	0,0	0,0

Cedimento massimo = -0.15 cm in Cmb n° 076

Cedimento minimo = -0.03 cm in Cmb n° 054

Cmb n°	Sismico n°	Nodo daN/cm ^q	Car.Netto mm	Cedimenti n°	Nodo daN/cm ^q	Car.Netto mm	Cedimenti n°	Nodo daN/cm ^q	Car.Netto mm	Cedimenti
054/SLD	Si	62	-0,080	-0,26	32	-0,080	-0,84	146	-0,079	-0,84
076/SLE rare	No	62	-0,117	-0,58	32	-0,116	-1,52	146	-0,115	-1,51

ELEMENTO : PLATEA N° 44

Cmb n°	Tipologia	Sismica daN/cm ^q	Press. N1 daN/cm ^q	Press. N2 daN/cm ^q	Press. N3 daN/cm ^q	Press. N4 daN	S. Taglio X daN	S. Taglio Y
045	SLD	Si	-0,109	-0,108	-0,108	0,000	2,5	0,3
076	SLE rare	No	-0,147	-0,144	-0,145	0,000	0,0	0,0

Cedimento massimo = -0.15 cm in Cmb n° 076

Cedimento minimo = -0.03 cm in Cmb n° 045

Cmb n°	Sismico n°	Nodo daN/cm ^q	Car.Netto mm	Cedimenti n°	Nodo daN/cm ^q	Car.Netto mm	Cedimenti n°	Nodo daN/cm ^q	Car.Netto mm	Cedimenti
045/SLD	Si	68	-0,080	-0,27	33	-0,080	-0,84	53	-0,080	-0,85
076/SLE rare	No	68	-0,118	-0,58	33	-0,116	-1,52	53	-0,117	-1,52

ELEMENTO : PLATEA N° 45

Cmb n°	Tipologia	Sismica daN/cm ^q	Press. N1 daN/cm ^q	Press. N2 daN/cm ^q	Press. N3 daN/cm ^q	Press. N4 daN	S. Taglio X daN	S. Taglio Y
069	SLD	Si	-0,108	-0,108	-0,108	-0,107	1,4	14,1
076	SLE rare	No	-0,145	-0,145	-0,144	-0,143	0,0	0,0

Cedimento massimo = -0.18 cm in Cmb n° 076

Cedimento minimo = -0.07 cm in Cmb n° 069

Cmb n°	Sismico n°	Nodo daN/cm ^q	Car.Netto mm	Cedimenti n°	Nodo daN/cm ^q	Car.Netto mm	Cedimenti n°	Nodo daN/cm ^q	Car.Netto mm	Cedimenti
--------	------------	--------------------------	--------------	--------------	--------------------------	--------------	--------------	--------------------------	--------------	-----------

069/SLD	Si	46	-0,079	-0,67	188	-0,080	-0,68	187	-0,079	-0,88
	30	-0,079	-0,88							
076/SLE rare	No	46	-0,116	-1,25	188	-0,117	-1,25	187	-0,115	-1,76
	30	-0,114	-1,75							

ELEMENTO : PLATEA N° 46

Cmb n°	Tipologia	Sismica daN/cm ^q	Press. N1 daN/cm ^q	Press. N2 daN/cm ^q	Press. N3 daN/cm ^q	Press. N4 daN	S. Taglio X daN	S. Taglio Y
041	SLD	Si	-0,108	-0,109	-0,109	-0,109	10,4	3,3
076	SLE rare	No	-0,143	-0,144	-0,144	-0,144	0,0	0,0

Cedimento massimo = -0.23 cm in Cmb n° 076

Cedimento minimo = -0.10 cm in Cmb n° 041

Cmb	Sismico n°	Nodo daN/cm ^q	Car.Netto mm	Cedimenti n°	Nodo daN/cm ^q	Car.Netto mm	Cedimenti n°	Nodo daN/cm ^q	Car.Netto mm	Cedimenti
041/SLD	Si	20	-0,079	-1,05	195	-0,080	-1,06	148	-0,081	-1,06
	21	-0,080	-1,06							
076/SLE rare	No	20	-0,114	-2,23	195	-0,115	-2,24	148	-0,116	-2,25
	21	-0,115	-2,24							

ELEMENTO : PLATEA N° 47

Cmb n°	Tipologia	Sismica daN/cm ^q	Press. N1 daN/cm ^q	Press. N2 daN/cm ^q	Press. N3 daN/cm ^q	Press. N4 daN	S. Taglio X daN	S. Taglio Y
062	SLD	Si	-0,108	-0,109	-0,108	0,000	1,4	-4,3
076	SLE rare	No	-0,142	-0,144	-0,143	0,000	0,0	0,0

Cedimento massimo = -0.22 cm in Cmb n° 076

Cedimento minimo = -0.10 cm in Cmb n° 062

Cmb	Sismico n°	Nodo daN/cm ^q	Car.Netto mm	Cedimenti n°	Nodo daN/cm ^q	Car.Netto mm	Cedimenti n°	Nodo daN/cm ^q	Car.Netto mm	Cedimenti
062/SLD	Si	41	-0,079	-1,04	200	-0,080	-1,05	162	-0,080	-1,05
076/SLE rare	No	41	-0,114	-2,22	200	-0,116	-2,23	162	-0,115	-2,22

ELEMENTO : PLATEA N° 48

Cmb n°	Tipologia	Sismica daN/cm ^q	Press. N1 daN/cm ^q	Press. N2 daN/cm ^q	Press. N3 daN/cm ^q	Press. N4 daN	S. Taglio X daN	S. Taglio Y
057	SLD	Si	-0,107	-0,108	-0,109	-0,108	4,5	14,0
076	SLE rare	No	-0,142	-0,142	-0,144	-0,143	0,0	0,0

Cedimento massimo = -0.22 cm in Cmb n° 076

Cedimento minimo = -0.10 cm in Cmb n° 057

Cmb	Sismico n°	Nodo daN/cm ^q	Car.Netto mm	Cedimenti n°	Nodo daN/cm ^q	Car.Netto mm	Cedimenti n°	Nodo daN/cm ^q	Car.Netto mm	Cedimenti
057/SLD	Si	22	-0,079	-1,04	197	-0,079	-1,04	195	-0,080	-1,05
	20	-0,080	-1,05							
076/SLE rare	No	22	-0,113	-2,21	197	-0,114	-2,22	195	-0,115	-2,24
	20	-0,114	-2,23							

ELEMENTO : PLATEA N° 49

Cmb n°	Tipologia	Sismica daN/cm ^q	Press. N1 daN/cm ^q	Press. N2 daN/cm ^q	Press. N3 daN/cm ^q	Press. N4 daN	S. Taglio X daN	S. Taglio Y
052	SLD	Si	-0,109	-0,109	-0,108	-0,108	-10,3	-2,5
076	SLE rare	No	-0,144	-0,145	-0,143	-0,143	0,0	0,0

Cedimento massimo = -0.22 cm in Cmb n° 076

Cedimento minimo = -0.10 cm in Cmb n° 052

Cmb	Sismico n°	Nodo daN/cm ^q	Car.Netto mm	Cedimenti n°	Nodo daN/cm ^q	Car.Netto mm	Cedimenti n°	Nodo daN/cm ^q	Car.Netto mm	Cedimenti
052/SLD	Si	200	-0,081	-1,06	166	-0,081	-1,05	163	-0,080	-1,04
	162	-0,080	-1,05							
076/SLE rare	No	200	-0,116	-2,23	166	-0,117	-2,23	163	-0,115	-2,20
	162	-0,115	-2,22							

ELEMENTO : PLATEA N° 50

Cmb n°	Tipologia	Sismica daN/cm ^q	Press. N1 daN/cm ^q	Press. N2 daN/cm ^q	Press. N3 daN/cm ^q	Press. N4 daN	S. Taglio X daN	S. Taglio Y
057	SLD	Si	-0,107	-0,107	-0,108	-0,107	4,8	14,0

076 SLE rare No -0,141 -0,142 -0,142 -0,142 0,0 0,0

Cedimento massimo = -0.22 cm in Cmb n° 076
 Cedimento minimo = -0.10 cm in Cmb n° 057

Cmb	Sismico n°	Nodo daN/cm ^q	Car.Netto mm	Cedimenti n°	Nodo daN/cm ^q	Car.Netto mm	Cedimenti n°	Nodo daN/cm ^q	Car.Netto mm	Cedimenti
057/SLD	Si	174	-0,078	-1,03	198	-0,079	-1,04	197	-0,079	-1,04
	22	-0,079	-1,04							
076/SLE rare	No	174	-0,113	-2,19	198	-0,113	-2,20	197	-0,114	-2,22
	22	-0,113	-2,21							

ELEMENTO : PLATEA N° 51

Cmb n°	Tipologia	Sismica daN/cm ^q	Press. N1 daN/cm ^q	Press. N2 daN/cm ^q	Press. N3 daN/cm ^q	Press. N4 daN	S. Taglio X daN	S. Taglio Y
066	SLD	Si	-0,107	-0,108	-0,108	-0,108	1,7	-13,8
076	SLE rare	No	-0,142	-0,143	-0,145	-0,144	0,0	0,0

Cedimento massimo = -0.18 cm in Cmb n° 076
 Cedimento minimo = -0.09 cm in Cmb n° 066

Cmb	Sismico n°	Nodo daN/cm ^q	Car.Netto mm	Cedimenti n°	Nodo daN/cm ^q	Car.Netto mm	Cedimenti n°	Nodo daN/cm ^q	Car.Netto mm	Cedimenti
066/SLD	Si	27	-0,079	-1,02	38	-0,079	-1,03	36	-0,080	-0,89
	25	-0,079	-0,88							
076/SLE rare	No	27	-0,113	-1,82	38	-0,114	-1,83	36	-0,116	-1,77
	25	-0,115	-1,76							

ELEMENTO : PLATEA N° 52

Cmb n°	Tipologia	Sismica daN/cm ^q	Press. N1 daN/cm ^q	Press. N2 daN/cm ^q	Press. N3 daN/cm ^q	Press. N4 daN	S. Taglio X daN	S. Taglio Y
066	SLD	Si	-0,107	-0,107	-0,108	-0,107	2,0	-13,8
076	SLE rare	No	-0,141	-0,142	-0,143	-0,142	0,0	0,0

Cedimento massimo = -0.22 cm in Cmb n° 076
 Cedimento minimo = -0.10 cm in Cmb n° 066

Cmb	Sismico n°	Nodo daN/cm ^q	Car.Netto mm	Cedimenti n°	Nodo daN/cm ^q	Car.Netto mm	Cedimenti n°	Nodo daN/cm ^q	Car.Netto mm	Cedimenti
066/SLD	Si	28	-0,079	-1,03	39	-0,079	-1,03	38	-0,079	-1,03
	27	-0,079	-1,02							
076/SLE rare	No	28	-0,113	-2,17	39	-0,113	-2,18	38	-0,114	-1,83
	27	-0,113	-1,82							

ELEMENTO : PLATEA N° 53

Cmb n°	Tipologia	Sismica daN/cm ^q	Press. N1 daN/cm ^q	Press. N2 daN/cm ^q	Press. N3 daN/cm ^q	Press. N4 daN	S. Taglio X daN	S. Taglio Y
062	SLD	Si	-0,107	-0,107	-0,107	-0,107	5,1	-14,0
076	SLE rare	No	-0,141	-0,142	-0,142	-0,141	0,0	0,0

Cedimento massimo = -0.22 cm in Cmb n° 076
 Cedimento minimo = -0.10 cm in Cmb n° 062

Cmb	Sismico n°	Nodo daN/cm ^q	Car.Netto mm	Cedimenti n°	Nodo daN/cm ^q	Car.Netto mm	Cedimenti n°	Nodo daN/cm ^q	Car.Netto mm	Cedimenti
062/SLD	Si	29	-0,079	-1,03	40	-0,079	-1,04	39	-0,079	-1,03
	28	-0,078	-1,03							
076/SLE rare	No	29	-0,113	-2,19	40	-0,113	-2,20	39	-0,113	-2,18
	28	-0,113	-2,17							

ELEMENTO : PLATEA N° 54

Cmb n°	Tipologia	Sismica daN/cm ^q	Press. N1 daN/cm ^q	Press. N2 daN/cm ^q	Press. N3 daN/cm ^q	Press. N4 daN	S. Taglio X daN	S. Taglio Y
062	SLD	Si	-0,107	-0,108	-0,107	-0,107	4,8	-14,0
076	SLE rare	No	-0,142	-0,142	-0,142	-0,141	0,0	0,0

Cedimento massimo = -0.22 cm in Cmb n° 076
 Cedimento minimo = -0.10 cm in Cmb n° 062

Cmb	Sismico n°	Nodo daN/cm ^q	Car.Netto mm	Cedimenti n°	Nodo daN/cm ^q	Car.Netto mm	Cedimenti n°	Nodo daN/cm ^q	Car.Netto mm	Cedimenti
-----	---------------	-----------------------------	-----------------	-----------------	-----------------------------	-----------------	-----------------	-----------------------------	-----------------	-----------

062/SLD	Si	31	-0,079	-1,04	41	-0,079	-1,04	40	-0,079	-1,04
		29	-0,079	-1,03						
076/SLE rare	No	31	-0,113	-2,21	41	-0,114	-2,22	40	-0,113	-2,20
		29	-0,113	-2,19						

ELEMENTO : PLATEA N° 55

Cmb n°	Tipologia	Sismica daN/cm ^q	Press. N1 daN/cm ^q	Press. N2 daN/cm ^q	Press. N3 daN/cm ^q	Press. N4 daN	S. Taglio X daN	S. Taglio Y
062	SLD	Si	-0,108	-0,109	-0,108	-0,107	4,5	-14,0
076	SLE rare	No	-0,143	-0,144	-0,142	-0,142	0,0	0,0

Cedimento massimo = -0.22 cm in Cmb n° 076
 Cedimento minimo = -0.10 cm in Cmb n° 062

Cmb	Sismico n°	Nodo daN/cm ^q	Car.Netto mm	Cedimenti n°	Nodo daN/cm ^q	Car.Netto mm	Cedimenti n°	Nodo daN/cm ^q	Car.Netto mm	Cedimenti
062/SLD	Si	34	-0,080	-1,05	42	-0,080	-1,05	41	-0,079	-1,04
		31	-0,079	-1,04						
076/SLE rare	No	34	-0,114	-2,23	42	-0,115	-2,24	41	-0,114	-2,22
		31	-0,113	-2,21						

ELEMENTO : PLATEA N° 56

Cmb n°	Tipologia	Sismica daN/cm ^q	Press. N1 daN/cm ^q	Press. N2 daN/cm ^q	Press. N3 daN/cm ^q	Press. N4 daN	S. Taglio X daN	S. Taglio Y
050	SLD	Si	-0,109	-0,109	-0,109	-0,108	10,4	-3,3
076	SLE rare	No	-0,144	-0,144	-0,144	-0,143	0,0	0,0

Cedimento massimo = -0.23 cm in Cmb n° 076
 Cedimento minimo = -0.10 cm in Cmb n° 050

Cmb	Sismico n°	Nodo daN/cm ^q	Car.Netto mm	Cedimenti n°	Nodo daN/cm ^q	Car.Netto mm	Cedimenti n°	Nodo daN/cm ^q	Car.Netto mm	Cedimenti
050/SLD	Si	35	-0,080	-1,06	151	-0,081	-1,06	42	-0,080	-1,06
		34	-0,080	-1,05						
076/SLE rare	No	35	-0,115	-2,24	151	-0,116	-2,25	42	-0,115	-2,24
		34	-0,114	-2,23						

ELEMENTO : PLATEA N° 57

Cmb n°	Tipologia	Sismica daN/cm ^q	Press. N1 daN/cm ^q	Press. N2 daN/cm ^q	Press. N3 daN/cm ^q	Press. N4 daN	S. Taglio X daN	S. Taglio Y
058	SLD	Si	-0,108	-0,109	-0,110	-0,109	5,0	-13,9
076	SLE rare	No	-0,145	-0,145	-0,148	-0,147	0,0	0,0

Cedimento massimo = -0.18 cm in Cmb n° 076
 Cedimento minimo = -0.07 cm in Cmb n° 058

Cmb	Sismico n°	Nodo daN/cm ^q	Car.Netto mm	Cedimenti n°	Nodo daN/cm ^q	Car.Netto mm	Cedimenti n°	Nodo daN/cm ^q	Car.Netto mm	Cedimenti
058/SLD	Si	36	-0,080	-0,89	137	-0,081	-0,89	92	-0,081	-0,69
		37	-0,081	-0,68						
076/SLE rare	No	36	-0,116	-1,77	137	-0,117	-1,77	92	-0,120	-1,27
		37	-0,118	-1,27						

ELEMENTO : PLATEA N° 58

Cmb n°	Tipologia	Sismica daN/cm ^q	Press. N1 daN/cm ^q	Press. N2 daN/cm ^q	Press. N3 daN/cm ^q	Press. N4 daN	S. Taglio X daN	S. Taglio Y
058	SLD	Si	-0,108	-0,108	-0,109	-0,108	4,8	-13,8
076	SLE rare	No	-0,143	-0,143	-0,145	-0,145	0,0	0,0

Cedimento massimo = -0.18 cm in Cmb n° 076
 Cedimento minimo = -0.09 cm in Cmb n° 058

Cmb	Sismico n°	Nodo daN/cm ^q	Car.Netto mm	Cedimenti n°	Nodo daN/cm ^q	Car.Netto mm	Cedimenti n°	Nodo daN/cm ^q	Car.Netto mm	Cedimenti
058/SLD	Si	38	-0,079	-1,03	150	-0,080	-1,03	137	-0,081	-0,89
		36	-0,080	-0,89						
076/SLE rare	No	38	-0,114	-1,83	150	-0,115	-1,83	137	-0,117	-1,77
		36	-0,116	-1,77						

ELEMENTO : PLATEA N° 59

Cmb n°	Tipologia	Sismica daN/cm ^q	Press. N1 daN/cm ^q	Press. N2 daN/cm ^q	Press. N3 daN/cm ^q	Press. N4 daN	S. Taglio X daN	S. Taglio Y
052	SLD	Si	-0,111	-0,110	-0,109	-0,109	-12,7	-3,1
076	SLE rare	No	-0,146	-0,146	-0,145	-0,145	0,1	0,0

Cedimento massimo = -0.23 cm in Cmb n° 076
 Cedimento minimo = -0.11 cm in Cmb n° 052

Cmb	Sismico n°	Nodo daN/cm ^q	Car.Netto mm	Cedimenti n°	Nodo daN/cm ^q	Car.Netto mm	Cedimenti n°	Nodo daN/cm ^q	Car.Netto mm	Cedimenti
052/SLD	Si	96	-0,082	-1,07	167	-0,081	-1,06	166	-0,081	-1,05
	164	-0,081	-1,06							
076/SLE rare	No	96	-0,118	-2,26	167	-0,118	-2,25	166	-0,117	-2,23
	164	-0,116	-2,24							

ELEMENTO : PLATEA N° 60

Cmb n°	Tipologia	Sismica daN/cm ^q	Press. N1 daN/cm ^q	Press. N2 daN/cm ^q	Press. N3 daN/cm ^q	Press. N4 daN	S. Taglio X daN	S. Taglio Y
058	SLD	Si	-0,107	-0,108	-0,108	-0,108	4,6	-13,8
076	SLE rare	No	-0,142	-0,142	-0,143	-0,143	0,0	0,0

Cedimento massimo = -0.22 cm in Cmb n° 076
 Cedimento minimo = -0.10 cm in Cmb n° 058

Cmb	Sismico n°	Nodo daN/cm ^q	Car.Netto mm	Cedimenti n°	Nodo daN/cm ^q	Car.Netto mm	Cedimenti n°	Nodo daN/cm ^q	Car.Netto mm	Cedimenti
058/SLD	Si	39	-0,079	-1,03	158	-0,079	-1,04	150	-0,080	-1,03
	38	-0,079	-1,03							
076/SLE rare	No	39	-0,113	-2,18	158	-0,114	-2,18	150	-0,115	-1,83
	38	-0,114	-1,83							

ELEMENTO : PLATEA N° 61

Cmb n°	Tipologia	Sismica daN/cm ^q	Press. N1 daN/cm ^q	Press. N2 daN/cm ^q	Press. N3 daN/cm ^q	Press. N4 daN	S. Taglio X daN	S. Taglio Y
054	SLD	Si	-0,107	-0,107	-0,107	-0,107	13,4	-2,6
076	SLE rare	No	-0,142	-0,141	-0,142	-0,142	0,0	0,0

Cedimento massimo = -0.18 cm in Cmb n° 076
 Cedimento minimo = -0.09 cm in Cmb n° 054

Cmb	Sismico n°	Nodo daN/cm ^q	Car.Netto mm	Cedimenti n°	Nodo daN/cm ^q	Car.Netto mm	Cedimenti n°	Nodo daN/cm ^q	Car.Netto mm	Cedimenti
054/SLD	Si	133	-0,078	-0,89	8	-0,078	-1,02	7	-0,079	-1,01
	130	-0,079	-0,88							
076/SLE rare	No	133	-0,113	-1,77	8	-0,113	-1,81	7	-0,113	-1,80
	130	-0,114	-1,76							

ELEMENTO : PLATEA N° 62

Cmb n°	Tipologia	Sismica daN/cm ^q	Press. N1 daN/cm ^q	Press. N2 daN/cm ^q	Press. N3 daN/cm ^q	Press. N4 daN	S. Taglio X daN	S. Taglio Y
070	SLD	Si	-0,107	-0,107	-0,107	-0,107	2,7	-13,8
076	SLE rare	No	-0,141	-0,141	-0,142	-0,142	0,0	0,0

Cedimento massimo = -0.22 cm in Cmb n° 076
 Cedimento minimo = -0.10 cm in Cmb n° 070

Cmb	Sismico n°	Nodo daN/cm ^q	Car.Netto mm	Cedimenti n°	Nodo daN/cm ^q	Car.Netto mm	Cedimenti n°	Nodo daN/cm ^q	Car.Netto mm	Cedimenti
070/SLD	Si	8	-0,078	-1,02	16	-0,078	-1,03	15	-0,079	-1,02
	7	-0,079	-1,01							
076/SLE rare	No	8	-0,113	-1,81	16	-0,112	-2,16	15	-0,113	-1,81
	7	-0,113	-1,80							

ELEMENTO : PLATEA N° 63

Cmb n°	Tipologia	Sismica daN/cm ^q	Press. N1 daN/cm ^q	Press. N2 daN/cm ^q	Press. N3 daN/cm ^q	Press. N4 daN	S. Taglio X daN	S. Taglio Y
043	SLD	Si	-0,108	-0,108	-0,109	0,000	-3,9	1,0
076	SLE rare	No	-0,143	-0,143	-0,144	0,000	0,0	0,0

Cedimento massimo = -0.22 cm in Cmb n° 076

Cedimento minimo = -0.10 cm in Cmb n° 043

Cmb	Sismico n°	Nodo daN/cm ^q	Car.Netto mm	Cedimenti n°	Nodo daN/cm ^q	Car.Netto mm	Cedimenti n°	Nodo daN/cm ^q	Car.Netto mm	Cedimenti
043/SLD	Si	106	-0,080	-1,05	107	-0,080	-1,04	201	-0,081	-1,06
076/SLE rare	No	106	-0,115	-2,22	107	-0,115	-2,20	201	-0,116	-2,23

ELEMENTO : PLATEA N° 64

Cmb n°	Tipologia	Sismica daN/cm ^q	Press. N1 daN/cm ^q	Press. N2 daN/cm ^q	Press. N3 daN/cm ^q	Press. N4 daN	S. Taglio X daN	S. Taglio Y
054	SLD	Si	-0,109	-0,109	-0,108	-0,108	12,6	-2,0
076	SLE rare	No	-0,146	-0,144	-0,143	-0,145	-0,1	0,0

Cedimento massimo = -0.18 cm in Cmb n° 076

Cedimento minimo = -0.08 cm in Cmb n° 054

Cmb	Sismico n°	Nodo daN/cm ^q	Car.Netto mm	Cedimenti n°	Nodo daN/cm ^q	Car.Netto mm	Cedimenti n°	Nodo daN/cm ^q	Car.Netto mm	Cedimenti
054/SLD	Si	181	-0,081	-0,85	4	-0,080	-1,03	3	-0,080	-1,02
	2	-0,080	-0,85							
076/SLE rare	No	181	-0,118	-1,54	4	-0,116	-1,82	3	-0,115	-1,81
	2	-0,117	-1,52							

ELEMENTO : PLATEA N° 65

Cmb n°	Tipologia	Sismica daN/cm ^q	Press. N1 daN/cm ^q	Press. N2 daN/cm ^q	Press. N3 daN/cm ^q	Press. N4 daN	S. Taglio X daN	S. Taglio Y
058	SLD	Si	-0,107	-0,108	-0,108	-0,107	4,5	-13,8
076	SLE rare	No	-0,142	-0,142	-0,142	-0,142	0,0	0,0

Cedimento massimo = -0.22 cm in Cmb n° 076

Cedimento minimo = -0.10 cm in Cmb n° 058

Cmb	Sismico n°	Nodo daN/cm ^q	Car.Netto mm	Cedimenti n°	Nodo daN/cm ^q	Car.Netto mm	Cedimenti n°	Nodo daN/cm ^q	Car.Netto mm	Cedimenti
058/SLD	Si	40	-0,079	-1,04	160	-0,079	-1,04	158	-0,079	-1,04
	39	-0,079	-1,03							
076/SLE rare	No	40	-0,113	-2,20	160	-0,114	-2,20	158	-0,114	-2,18
	39	-0,113	-2,18							

ELEMENTO : PLATEA N° 66

Cmb n°	Tipologia	Sismica daN/cm ^q	Press. N1 daN/cm ^q	Press. N2 daN/cm ^q	Press. N3 daN/cm ^q	Press. N4 daN	S. Taglio X daN	S. Taglio Y
058	SLD	Si	-0,110	-0,110	-0,111	-0,110	3,0	-7,9
076	SLE rare	No	-0,148	-0,148	-0,149	-0,150	0,0	0,0

Cedimento massimo = -0.13 cm in Cmb n° 076

Cedimento minimo = -0.03 cm in Cmb n° 058

Cmb	Sismico n°	Nodo daN/cm ^q	Car.Netto mm	Cedimenti n°	Nodo daN/cm ^q	Car.Netto mm	Cedimenti n°	Nodo daN/cm ^q	Car.Netto mm	Cedimenti
058/SLD	Si	92	-0,081	-0,69	149	-0,082	-0,69	129	-0,082	-0,27
	78	-0,081	-0,27							
076/SLE rare	No	92	-0,120	-1,27	149	-0,119	-1,27	129	-0,121	-0,59
	78	-0,121	-0,59							

ELEMENTO : PLATEA N° 67

Cmb n°	Tipologia	Sismica daN/cm ^q	Press. N1 daN/cm ^q	Press. N2 daN/cm ^q	Press. N3 daN/cm ^q	Press. N4 daN	S. Taglio X daN	S. Taglio Y
061	SLD	Si	-0,110	-0,111	-0,110	-0,110	3,0	7,9
076	SLE rare	No	-0,150	-0,149	-0,148	-0,148	0,0	0,0

Cedimento massimo = -0.13 cm in Cmb n° 076

Cedimento minimo = -0.03 cm in Cmb n° 061

Cmb	Sismico n°	Nodo daN/cm ^q	Car.Netto mm	Cedimenti n°	Nodo daN/cm ^q	Car.Netto mm	Cedimenti n°	Nodo daN/cm ^q	Car.Netto mm	Cedimenti
061/SLD	Si	81	-0,081	-0,27	82	-0,082	-0,27	121	-0,082	-0,69
	94	-0,081	-0,69							
076/SLE rare	No	81	-0,121	-0,59	82	-0,121	-0,59	121	-0,119	-1,27
	94	-0,120	-1,27							

ELEMENTO : PLATEA N° 68

Cmb n°	Tipologia	Sismica daN/cm ²	Press. N1 daN/cm ²	Press. N2 daN/cm ²	Press. N3 daN/cm ²	Press. N4 daN	S. Taglio X daN	S. Taglio Y
062	SLD	Si	-0,108	-0,108	-0,108	-0,107	4,8	-14,2
076	SLE rare	No	-0,142	-0,143	-0,142	-0,142	0,0	0,0

Cedimento massimo = -0.22 cm in Cmb n° 076

Cedimento minimo = -0.10 cm in Cmb n° 062

Cmb	Sismico n°	Nodo daN/cm ²	Car.Netto mm	Cedimenti n°	Nodo daN/cm ²	Car.Netto mm	Cedimenti n°	Nodo daN/cm ²	Car.Netto mm	Cedimenti
062/SLD	Si	41	-0,079	-1,04	162	-0,080	-1,05	160	-0,079	-1,04
	40	-0,079	-1,04							
076/SLE rare	No	41	-0,114	-2,22	162	-0,115	-2,22	160	-0,114	-2,20
	40	-0,113	-2,20							

ELEMENTO : PLATEA N° 69

Cmb n°	Tipologia	Sismica daN/cm ²	Press. N1 daN/cm ²	Press. N2 daN/cm ²	Press. N3 daN/cm ²	Press. N4 daN	S. Taglio X daN	S. Taglio Y
054	SLD	Si	-0,107	-0,107	-0,107	-0,107	13,2	-2,6
076	SLE rare	No	-0,142	-0,141	-0,141	-0,142	0,0	0,0

Cedimento massimo = -0.22 cm in Cmb n° 076

Cedimento minimo = -0.09 cm in Cmb n° 054

Cmb	Sismico n°	Nodo daN/cm ²	Car.Netto mm	Cedimenti n°	Nodo daN/cm ²	Car.Netto mm	Cedimenti n°	Nodo daN/cm ²	Car.Netto mm	Cedimenti
054/SLD	Si	135	-0,078	-0,89	9	-0,078	-1,02	8	-0,078	-1,02
	133	-0,078	-0,89							
076/SLE rare	No	135	-0,113	-1,78	9	-0,113	-2,15	8	-0,113	-1,81
	133	-0,113	-1,77							

ELEMENTO : PLATEA N° 70

Cmb n°	Tipologia	Sismica daN/cm ²	Press. N1 daN/cm ²	Press. N2 daN/cm ²	Press. N3 daN/cm ²	Press. N4 daN	S. Taglio X daN	S. Taglio Y
045	SLD	Si	-0,108	-0,107	-0,108	0,000	3,9	0,6
076	SLE rare	No	-0,144	-0,142	-0,144	0,000	0,0	0,0

Cedimento massimo = -0.18 cm in Cmb n° 076

Cedimento minimo = -0.08 cm in Cmb n° 045

Cmb	Sismico n°	Nodo daN/cm ²	Car.Netto mm	Cedimenti n°	Nodo daN/cm ²	Car.Netto mm	Cedimenti n°	Nodo daN/cm ²	Car.Netto mm	Cedimenti
045/SLD	Si	155	-0,079	-0,84	157	-0,079	-0,89	33	-0,080	-0,84
076/SLE rare	No	155	-0,115	-1,51	157	-0,114	-1,79	33	-0,116	-1,52

ELEMENTO : PLATEA N° 71

Cmb n°	Tipologia	Sismica daN/cm ²	Press. N1 daN/cm ²	Press. N2 daN/cm ²	Press. N3 daN/cm ²	Press. N4 daN	S. Taglio X daN	S. Taglio Y
062	SLD	Si	-0,109	-0,109	-0,109	-0,108	3,1	-9,9
076	SLE rare	No	-0,144	-0,145	-0,144	-0,142	0,0	0,0

Cedimento massimo = -0.22 cm in Cmb n° 076

Cedimento minimo = -0.10 cm in Cmb n° 062

Cmb	Sismico n°	Nodo daN/cm ²	Car.Netto mm	Cedimenti n°	Nodo daN/cm ²	Car.Netto mm	Cedimenti n°	Nodo daN/cm ²	Car.Netto mm	Cedimenti
062/SLD	Si	42	-0,080	-1,05	164	-0,081	-1,06	200	-0,080	-1,05
	41	-0,079	-1,04							
076/SLE rare	No	42	-0,115	-2,24	164	-0,116	-2,24	200	-0,116	-2,23
	41	-0,114	-2,22							

ELEMENTO : PLATEA N° 72

Cmb n°	Tipologia	Sismica daN/cm ²	Press. N1 daN/cm ²	Press. N2 daN/cm ²	Press. N3 daN/cm ²	Press. N4 daN	S. Taglio X daN	S. Taglio Y
062	SLD	Si	-0,110	-0,111	-0,109	-0,109	4,3	-14,2
076	SLE rare	No	-0,145	-0,146	-0,145	-0,144	0,1	0,0

Cedimento massimo = -0.23 cm in Cmb n° 076

Cedimento minimo = -0.11 cm in Cmb n° 062

Cmb	Sismico n°	Nodo daN/cm ^q	Car.Netto mm	Cedimenti n°	Nodo daN/cm ^q	Car.Netto mm	Cedimenti n°	Nodo daN/cm ^q	Car.Netto mm	Cedimenti
062/SLD	Si	43	-0,081	-1,07	96	-0,082	-1,07	164	-0,081	-1,06
	42	-0,080	-1,05							
076/SLE rare	No	43	-0,117	-2,26	96	-0,118	-2,26	164	-0,116	-2,24
	42	-0,115	-2,24							

ELEMENTO : PLATEA N° 73

Cmb n°	Tipologia	Sismica daN/cm ^q	Press. N1 daN/cm ^q	Press. N2 daN/cm ^q	Press. N3 daN/cm ^q	Press. N4 daN	S. Taglio X daN	S. Taglio Y
054	SLD	Si	-0,108	-0,108	-0,108	-0,108	8,2	-1,2
076	SLE rare	No	-0,146	-0,145	-0,146	-0,147	-0,1	0,0

Cedimento massimo = -0.12 cm in Cmb n° 076

Cedimento minimo = -0.03 cm in Cmb n° 054

Cmb	Sismico n°	Nodo daN/cm ^q	Car.Netto mm	Cedimenti n°	Nodo daN/cm ^q	Car.Netto mm	Cedimenti n°	Nodo daN/cm ^q	Car.Netto mm	Cedimenti
054/SLD	Si	177	-0,079	-0,55	89	-0,080	-0,67	140	-0,080	-0,26
	44	-0,080	-0,25							
076/SLE rare	No	177	-0,118	-1,05	89	-0,117	-1,23	140	-0,118	-0,57
	44	-0,119	-0,46							

ELEMENTO : PLATEA N° 74

Cmb n°	Tipologia	Sismica daN/cm ^q	Press. N1 daN/cm ^q	Press. N2 daN/cm ^q	Press. N3 daN/cm ^q	Press. N4 daN	S. Taglio X daN	S. Taglio Y
045	SLD	Si	-0,108	-0,108	-0,108	-0,108	8,2	1,2
076	SLE rare	No	-0,147	-0,146	-0,145	-0,146	-0,1	0,0

Cedimento massimo = -0.12 cm in Cmb n° 076

Cedimento minimo = -0.03 cm in Cmb n° 045

Cmb	Sismico n°	Nodo daN/cm ^q	Car.Netto mm	Cedimenti n°	Nodo daN/cm ^q	Car.Netto mm	Cedimenti n°	Nodo daN/cm ^q	Car.Netto mm	Cedimenti
045/SLD	Si	165	-0,080	-0,25	168	-0,080	-0,26	113	-0,080	-0,67
	179	-0,079	-0,55							
076/SLE rare	No	165	-0,119	-0,46	168	-0,118	-0,57	113	-0,117	-1,23
	179	-0,118	-1,05							

ELEMENTO : PLATEA N° 75

Cmb n°	Tipologia	Sismica daN/cm ^q	Press. N1 daN/cm ^q	Press. N2 daN/cm ^q	Press. N3 daN/cm ^q	Press. N4 daN	S. Taglio X daN	S. Taglio Y
065	SLD	Si	-0,108	-0,108	-0,108	-0,108	1,1	7,3
076	SLE rare	No	-0,146	-0,145	-0,145	-0,145	0,0	0,0

Cedimento massimo = -0.12 cm in Cmb n° 076

Cedimento minimo = -0.03 cm in Cmb n° 065

Cmb	Sismico n°	Nodo daN/cm ^q	Car.Netto mm	Cedimenti n°	Nodo daN/cm ^q	Car.Netto mm	Cedimenti n°	Nodo daN/cm ^q	Car.Netto mm	Cedimenti
065/SLD	Si	168	-0,079	-0,26	189	-0,079	-0,26	48	-0,079	-0,67
	113	-0,079	-0,67							
076/SLE rare	No	168	-0,118	-0,57	189	-0,117	-0,58	48	-0,116	-1,24
	113	-0,117	-1,23							

ELEMENTO : PLATEA N° 76

Cmb n°	Tipologia	Sismica daN/cm ^q	Press. N1 daN/cm ^q	Press. N2 daN/cm ^q	Press. N3 daN/cm ^q	Press. N4 daN	S. Taglio X daN	S. Taglio Y
069	SLD	Si	-0,108	-0,108	-0,108	-0,108	0,7	9,2
076	SLE rare	No	-0,145	-0,146	-0,145	-0,145	0,0	0,0

Cedimento massimo = -0.12 cm in Cmb n° 076

Cedimento minimo = -0.03 cm in Cmb n° 069

Cmb	Sismico n°	Nodo daN/cm ^q	Car.Netto mm	Cedimenti n°	Nodo daN/cm ^q	Car.Netto mm	Cedimenti n°	Nodo daN/cm ^q	Car.Netto mm	Cedimenti
069/SLD	Si	189	-0,079	-0,26	190	-0,080	-0,26	46	-0,079	-0,67
	48	-0,079	-0,67							
076/SLE rare	No	189	-0,117	-0,58	190	-0,117	-0,58	46	-0,116	-1,25
	48	-0,116	-1,24							

ELEMENTO : PLATEA N° 77

Cmb n°	Tipologia	Sismica daN/cm ^q	Press. N1 daN/cm ^q	Press. N2 daN/cm ^q	Press. N3 daN/cm ^q	Press. N4 daN	S. Taglio X daN	S. Taglio Y
070	SLD	Si	-0,108	-0,108	-0,108	-0,108	1,1	-7,3
076	SLE rare	No	-0,145	-0,145	-0,145	-0,146	0,0	0,0

Cedimento massimo = -0.12 cm in Cmb n° 076

Cedimento minimo = -0.03 cm in Cmb n° 070

Cmb	Sismico n°	Nodo daN/cm ^q	Car.Netto mm	Cedimenti n°	Nodo daN/cm ^q	Car.Netto mm	Cedimenti n°	Nodo daN/cm ^q	Car.Netto mm	Cedimenti
070/SLD	Si	89	-0,079	-0,67	6	-0,079	-0,67	152	-0,079	-0,26
	140	-0,079	-0,26							
076/SLE rare	No	89	-0,117	-1,23	6	-0,116	-1,24	152	-0,117	-0,58
	140	-0,118	-0,57							

ELEMENTO : PLATEA N° 78

Cmb n°	Tipologia	Sismica daN/cm ^q	Press. N1 daN/cm ^q	Press. N2 daN/cm ^q	Press. N3 daN/cm ^q	Press. N4 daN	S. Taglio X daN	S. Taglio Y
069	SLD	Si	-0,108	-0,109	-0,108	-0,108	0,7	8,2
076	SLE rare	No	-0,146	-0,147	-0,145	-0,145	0,0	0,0

Cedimento massimo = -0.13 cm in Cmb n° 076

Cedimento minimo = -0.03 cm in Cmb n° 069

Cmb	Sismico n°	Nodo daN/cm ^q	Car.Netto mm	Cedimenti n°	Nodo daN/cm ^q	Car.Netto mm	Cedimenti n°	Nodo daN/cm ^q	Car.Netto mm	Cedimenti
069/SLD	Si	190	-0,080	-0,26	191	-0,080	-0,27	188	-0,080	-0,68
	46	-0,079	-0,67							
076/SLE rare	No	190	-0,117	-0,58	191	-0,118	-0,58	188	-0,117	-1,25
	46	-0,116	-1,25							

ELEMENTO : PLATEA N° 79

Cmb n°	Tipologia	Sismica daN/cm ^q	Press. N1 daN/cm ^q	Press. N2 daN/cm ^q	Press. N3 daN/cm ^q	Press. N4 daN	S. Taglio X daN	S. Taglio Y
069	SLD	Si	-0,109	-0,110	-0,109	-0,108	0,7	8,0
076	SLE rare	No	-0,147	-0,148	-0,147	-0,145	0,0	0,0

Cedimento massimo = -0.13 cm in Cmb n° 076

Cedimento minimo = -0.03 cm in Cmb n° 069

Cmb	Sismico n°	Nodo daN/cm ^q	Car.Netto mm	Cedimenti n°	Nodo daN/cm ^q	Car.Netto mm	Cedimenti n°	Nodo daN/cm ^q	Car.Netto mm	Cedimenti
069/SLD	Si	191	-0,080	-0,27	192	-0,081	-0,27	147	-0,081	-0,68
	188	-0,080	-0,68							
076/SLE rare	No	191	-0,118	-0,58	192	-0,120	-0,59	147	-0,118	-1,27
	188	-0,117	-1,25							

ELEMENTO : PLATEA N° 80

Cmb n°	Tipologia	Sismica daN/cm ^q	Press. N1 daN/cm ^q	Press. N2 daN/cm ^q	Press. N3 daN/cm ^q	Press. N4 daN	S. Taglio X daN	S. Taglio Y
061	SLD	Si	-0,109	-0,110	-0,110	-0,109	3,0	8,0
076	SLE rare	No	-0,148	-0,150	-0,148	-0,147	0,0	0,0

Cedimento massimo = -0.13 cm in Cmb n° 076

Cedimento minimo = -0.03 cm in Cmb n° 061

Cmb	Sismico n°	Nodo daN/cm ^q	Car.Netto mm	Cedimenti n°	Nodo daN/cm ^q	Car.Netto mm	Cedimenti n°	Nodo daN/cm ^q	Car.Netto mm	Cedimenti
061/SLD	Si	192	-0,081	-0,27	81	-0,081	-0,27	94	-0,081	-0,69
	147	-0,081	-0,68							
076/SLE rare	No	192	-0,120	-0,59	81	-0,121	-0,59	94	-0,120	-1,27
	147	-0,118	-1,27							

ELEMENTO : PLATEA N° 81

Cmb n°	Tipologia	Sismica daN/cm ^q	Press. N1 daN/cm ^q	Press. N2 daN/cm ^q	Press. N3 daN/cm ^q	Press. N4 daN	S. Taglio X daN	S. Taglio Y
066	SLD	Si	-0,108	-0,108	-0,108	-0,108	0,7	-9,2
076	SLE rare	No	-0,145	-0,145	-0,146	-0,145	0,0	0,0

Cedimento massimo = -0.12 cm in Cmb n° 076
 Cedimento minimo = -0.03 cm in Cmb n° 066

Cmb	Sismico n°	Nodo daN/cm ^q	Car.Netto mm	Cedimenti n°	Nodo daN/cm ^q	Car.Netto mm	Cedimenti n°	Nodo daN/cm ^q	Car.Netto mm	Cedimenti
066/SLD	Si	6	-0,079	-0,67	14	-0,079	-0,67	154	-0,080	-0,26
	152	-0,079	-0,26							
076/SLE rare	No	6	-0,116	-1,24	14	-0,116	-1,25	154	-0,117	-0,58
	152	-0,117	-0,58							

ELEMENTO : PLATEA N° 82

Cmb n°	Tipologia	Sismica daN/cm ^q	Press. N1 daN/cm ^q	Press. N2 daN/cm ^q	Press. N3 daN/cm ^q	Press. N4 daN	S. Taglio X daN	S. Taglio Y
054	SLD	Si	-0,107	-0,107	-0,107	-0,107	13,0	-2,6
076	SLE rare	No	-0,142	-0,142	-0,141	-0,142	0,0	0,0

Cedimento massimo = -0.22 cm in Cmb n° 076
 Cedimento minimo = -0.09 cm in Cmb n° 054

Cmb	Sismico n°	Nodo daN/cm ^q	Car.Netto mm	Cedimenti n°	Nodo daN/cm ^q	Car.Netto mm	Cedimenti n°	Nodo daN/cm ^q	Car.Netto mm	Cedimenti
054/SLD	Si	1	-0,079	-0,89	10	-0,079	-1,03	9	-0,078	-1,02
	135	-0,078	-0,89							
076/SLE rare	No	1	-0,114	-1,79	10	-0,113	-2,17	9	-0,113	-2,15
	135	-0,113	-1,78							

ELEMENTO : PLATEA N° 83

Cmb n°	Tipologia	Sismica daN/cm ^q	Press. N1 daN/cm ^q	Press. N2 daN/cm ^q	Press. N3 daN/cm ^q	Press. N4 daN	S. Taglio X daN	S. Taglio Y
066	SLD	Si	-0,108	-0,108	-0,109	-0,108	0,7	-8,2
076	SLE rare	No	-0,145	-0,145	-0,147	-0,146	0,0	0,0

Cedimento massimo = -0.13 cm in Cmb n° 076
 Cedimento minimo = -0.03 cm in Cmb n° 066

Cmb	Sismico n°	Nodo daN/cm ^q	Car.Netto mm	Cedimenti n°	Nodo daN/cm ^q	Car.Netto mm	Cedimenti n°	Nodo daN/cm ^q	Car.Netto mm	Cedimenti
066/SLD	Si	14	-0,079	-0,67	26	-0,080	-0,68	45	-0,080	-0,27
	154	-0,080	-0,26							
076/SLE rare	No	14	-0,116	-1,25	26	-0,117	-1,25	45	-0,118	-0,58
	154	-0,117	-0,58							

ELEMENTO : PLATEA N° 84

Cmb n°	Tipologia	Sismica daN/cm ^q	Press. N1 daN/cm ^q	Press. N2 daN/cm ^q	Press. N3 daN/cm ^q	Press. N4 daN	S. Taglio X daN	S. Taglio Y
066	SLD	Si	-0,108	-0,109	-0,109	-0,109	0,7	-8,0
076	SLE rare	No	-0,145	-0,147	-0,148	-0,147	0,0	0,0

Cedimento massimo = -0.13 cm in Cmb n° 076
 Cedimento minimo = -0.03 cm in Cmb n° 066

Cmb	Sismico n°	Nodo daN/cm ^q	Car.Netto mm	Cedimenti n°	Nodo daN/cm ^q	Car.Netto mm	Cedimenti n°	Nodo daN/cm ^q	Car.Netto mm	Cedimenti
066/SLD	Si	26	-0,080	-0,68	37	-0,081	-0,68	145	-0,081	-0,27
	45	-0,080	-0,27							
076/SLE rare	No	26	-0,117	-1,25	37	-0,118	-1,27	145	-0,120	-0,59
	45	-0,118	-0,58							

ELEMENTO : PLATEA N° 85

Cmb n°	Tipologia	Sismica daN/cm ^q	Press. N1 daN/cm ^q	Press. N2 daN/cm ^q	Press. N3 daN/cm ^q	Press. N4 daN	S. Taglio X daN	S. Taglio Y
054	SLD	Si	-0,107	-0,107	-0,107	-0,107	13,2	-3,1
076	SLE rare	No	-0,141	-0,141	-0,141	-0,141	0,0	0,0

Cedimento massimo = -0.22 cm in Cmb n° 076
 Cedimento minimo = -0.10 cm in Cmb n° 054

Cmb	Sismico n°	Nodo daN/cm ^q	Car.Netto mm	Cedimenti n°	Nodo daN/cm ^q	Car.Netto mm	Cedimenti n°	Nodo daN/cm ^q	Car.Netto mm	Cedimenti
-----	---------------	-----------------------------	-----------------	-----------------	-----------------------------	-----------------	-----------------	-----------------------------	-----------------	-----------

054/SLD	Si	9	-0,078	-1,02	17	-0,078	-1,03	16	-0,078	-1,03
	8	-0,078	-1,02							
076/SLE rare	No	9	-0,113	-2,15	17	-0,112	-2,18	16	-0,112	-2,16
	8	-0,113	-1,81							

ELEMENTO : PLATEA N° 86

Cmb n°	Tipologia	Sismica daN/cm ^q	Press. N1 daN/cm ^q	Press. N2 daN/cm ^q	Press. N3 daN/cm ^q	Press. N4 daN	S. Taglio X daN	S. Taglio Y
052	SLD	Si	-0,109	-0,109	-0,109	0,000	-2,6	-0,6
076	SLE rare	No	-0,145	-0,145	-0,144	0,000	0,0	0,0

Cedimento massimo = -0.22 cm in Cmb n° 076

Cedimento minimo = -0.11 cm in Cmb n° 052

Cmb	Sismico n°	Nodo daN/cm ^q	Car.Netto mm	Cedimenti n°	Nodo daN/cm ^q	Car.Netto mm	Cedimenti n°	Nodo daN/cm ^q	Car.Netto mm	Cedimenti
052/SLD	Si	164	-0,081	-1,06	166	-0,081	-1,05	200	-0,081	-1,06
076/SLE rare	No	164	-0,116	-2,24	166	-0,117	-2,23	200	-0,116	-2,23

ELEMENTO : PLATEA N° 87

Cmb n°	Tipologia	Sismica daN/cm ^q	Press. N1 daN/cm ^q	Press. N2 daN/cm ^q	Press. N3 daN/cm ^q	Press. N4 daN	S. Taglio X daN	S. Taglio Y
054	SLD	Si	-0,107	-0,107	-0,107	-0,107	13,0	-3,1
076	SLE rare	No	-0,142	-0,141	-0,141	-0,141	0,0	0,0

Cedimento massimo = -0.22 cm in Cmb n° 076

Cedimento minimo = -0.10 cm in Cmb n° 054

Cmb	Sismico n°	Nodo daN/cm ^q	Car.Netto mm	Cedimenti n°	Nodo daN/cm ^q	Car.Netto mm	Cedimenti n°	Nodo daN/cm ^q	Car.Netto mm	Cedimenti
054/SLD	Si	10	-0,079	-1,03	18	-0,079	-1,04	17	-0,078	-1,03
	9	-0,078	-1,02							
076/SLE rare	No	10	-0,113	-2,17	18	-0,113	-2,19	17	-0,112	-2,18
	9	-0,113	-2,15							

ELEMENTO : PLATEA N° 88

Cmb n°	Tipologia	Sismica daN/cm ^q	Press. N1 daN/cm ^q	Press. N2 daN/cm ^q	Press. N3 daN/cm ^q	Press. N4 daN	S. Taglio X daN	S. Taglio Y
054	SLD	Si	-0,108	-0,108	-0,107	-0,107	12,8	-2,6
076	SLE rare	No	-0,143	-0,142	-0,142	-0,142	-0,1	0,0

Cedimento massimo = -0.22 cm in Cmb n° 076

Cedimento minimo = -0.09 cm in Cmb n° 054

Cmb	Sismico n°	Nodo daN/cm ^q	Car.Netto mm	Cedimenti n°	Nodo daN/cm ^q	Car.Netto mm	Cedimenti n°	Nodo daN/cm ^q	Car.Netto mm	Cedimenti
054/SLD	Si	3	-0,080	-1,02	11	-0,079	-1,04	10	-0,079	-1,03
	1	-0,079	-0,89							
076/SLE rare	No	3	-0,115	-1,81	11	-0,114	-2,18	10	-0,113	-2,17
	1	-0,114	-1,79							

ELEMENTO : PLATEA N° 89

Cmb n°	Tipologia	Sismica daN/cm ^q	Press. N1 daN/cm ^q	Press. N2 daN/cm ^q	Press. N3 daN/cm ^q	Press. N4 daN	S. Taglio X daN	S. Taglio Y
054	SLD	Si	-0,109	-0,108	-0,108	-0,108	12,6	-2,6
076	SLE rare	No	-0,144	-0,143	-0,142	-0,143	-0,1	0,0

Cedimento massimo = -0.22 cm in Cmb n° 076

Cedimento minimo = -0.10 cm in Cmb n° 054

Cmb	Sismico n°	Nodo daN/cm ^q	Car.Netto mm	Cedimenti n°	Nodo daN/cm ^q	Car.Netto mm	Cedimenti n°	Nodo daN/cm ^q	Car.Netto mm	Cedimenti
054/SLD	Si	4	-0,080	-1,03	12	-0,080	-1,04	11	-0,079	-1,04
	3	-0,080	-1,02							
076/SLE rare	No	4	-0,116	-1,82	12	-0,115	-2,20	11	-0,114	-2,18
	3	-0,115	-1,81							

ELEMENTO : PLATEA N° 90

Cmb n°	Tipologia	Sismica daN/cm ^q	Press. N1 daN/cm ^q	Press. N2 daN/cm ^q	Press. N3 daN/cm ^q	Press. N4 daN	S. Taglio X daN	S. Taglio Y
054	SLD	Si	-0,108	-0,108	-0,107	-0,107	12,8	-3,1

076 SLE rare No -0,142 -0,142 -0,141 -0,142 0,0 0,0

Cedimento massimo = -0.22 cm in Cmb n° 076
 Cedimento minimo = -0.10 cm in Cmb n° 054

Cmb	Sismico	Nodo	Car.Netto	Cedimenti	Nodo	Car.Netto	Cedimenti	Nodo	Car.Netto	Cedimenti
n°	n°	daN/cm ^q	mm	n°	daN/cm ^q	mm	n°	daN/cm ^q	mm	n°
054/SLD	Si	11	-0,079	-1,04	19	-0,079	-1,04	18	-0,079	-1,04
	10	-0,079	-1,03							
076/SLE rare	No	11	-0,114	-2,18	19	-0,114	-2,21	18	-0,113	-2,19
	10	-0,113	-2,17							

ELEMENTO : PLATEA N° 91

Cmb	Tipologia	Sismica	Press. N1	Press. N2	Press. N3	Press. N4	S. Taglio X	S. Taglio Y
n°		daN/cm ^q	daN/cm ^q	daN/cm ^q	daN/cm ^q	daN	daN	
058	SLD	Si	-0,109	-0,110	-0,110	-0,109	3,0	-8,0
076	SLE rare	No	-0,147	-0,148	-0,150	-0,148	0,0	0,0

Cedimento massimo = -0.13 cm in Cmb n° 076
 Cedimento minimo = -0.03 cm in Cmb n° 058

Cmb	Sismico	Nodo	Car.Netto	Cedimenti	Nodo	Car.Netto	Cedimenti	Nodo	Car.Netto	Cedimenti
n°	n°	daN/cm ^q	mm	n°	daN/cm ^q	mm	n°	daN/cm ^q	mm	n°
058/SLD	Si	37	-0,081	-0,68	92	-0,081	-0,69	78	-0,081	-0,27
	145	-0,081	-0,27							
076/SLE rare	No	37	-0,118	-1,27	92	-0,120	-1,27	78	-0,121	-0,59
	145	-0,120	-0,59							

ELEMENTO : PLATEA N° 92

Cmb	Tipologia	Sismica	Press. N1	Press. N2	Press. N3	Press. N4	S. Taglio X	S. Taglio Y
n°		daN/cm ^q	daN/cm ^q	daN/cm ^q	daN/cm ^q	daN	daN	
054	SLD	Si	-0,108	-0,108	-0,108	-0,108	12,7	-3,1
076	SLE rare	No	-0,143	-0,143	-0,142	-0,142	0,0	0,0

Cedimento massimo = -0.22 cm in Cmb n° 076
 Cedimento minimo = -0.10 cm in Cmb n° 054

Cmb	Sismico	Nodo	Car.Netto	Cedimenti	Nodo	Car.Netto	Cedimenti	Nodo	Car.Netto	Cedimenti
n°	n°	daN/cm ^q	mm	n°	daN/cm ^q	mm	n°	daN/cm ^q	mm	n°
054/SLD	Si	12	-0,080	-1,04	24	-0,080	-1,05	19	-0,079	-1,04
	11	-0,079	-1,04							
076/SLE rare	No	12	-0,115	-2,20	24	-0,114	-2,22	19	-0,114	-2,21
	11	-0,114	-2,18							

ELEMENTO : PLATEA N° 93

Cmb	Tipologia	Sismica	Press. N1	Press. N2	Press. N3	Press. N4	S. Taglio X	S. Taglio Y
n°		daN/cm ^q	daN/cm ^q	daN/cm ^q	daN/cm ^q	daN	daN	
070	SLD	Si	-0,107	-0,107	-0,107	-0,107	2,5	-13,8
076	SLE rare	No	-0,142	-0,142	-0,143	-0,143	0,0	0,0

Cedimento massimo = -0.18 cm in Cmb n° 076
 Cedimento minimo = -0.09 cm in Cmb n° 070

Cmb	Sismico	Nodo	Car.Netto	Cedimenti	Nodo	Car.Netto	Cedimenti	Nodo	Car.Netto	Cedimenti
n°	n°	daN/cm ^q	mm	n°	daN/cm ^q	mm	n°	daN/cm ^q	mm	n°
070/SLD	Si	7	-0,079	-1,01	15	-0,079	-1,02	13	-0,079	-0,88
	5	-0,079	-0,87							
076/SLE rare	No	7	-0,113	-1,80	15	-0,113	-1,81	13	-0,114	-1,75
	5	-0,114	-1,58							

ELEMENTO : PLATEA N° 94

Cmb	Tipologia	Sismica	Press. N1	Press. N2	Press. N3	Press. N4	S. Taglio X	S. Taglio Y
n°		daN/cm ^q	daN/cm ^q	daN/cm ^q	daN/cm ^q	daN	daN	
054	SLD	Si	-0,108	-0,108	-0,108	0,000	2,5	-0,4
076	SLE rare	No	-0,145	-0,143	-0,145	0,000	0,0	0,0

Cedimento massimo = -0.18 cm in Cmb n° 076
 Cedimento minimo = -0.08 cm in Cmb n° 054

Cmb	Sismico	Nodo	Car.Netto	Cedimenti	Nodo	Car.Netto	Cedimenti	Nodo	Car.Netto	Cedimenti
n°	n°	daN/cm ^q	mm	n°	daN/cm ^q	mm	n°	daN/cm ^q	mm	n°

054/SLD	Si	2	-0,080	-0,85	3	-0,080	-1,02	32	-0,080	-0,84
076/SLE rare	No	2	-0,117	-1,52	3	-0,115	-1,81	32	-0,116	-1,52

ELEMENTO : PLATEA N° 95

Cmb n°	Tipologia	Sismica daN/cm ^q	Press. N1 daN/cm ^q	Press. N2 daN/cm ^q	Press. N3 daN/cm ^q	Press. N4 daN	S. Taglio X daN	S. Taglio Y
054	SLD	Si	-0,107	-0,107	-0,108	-0,108	13,7	-2,6
076	SLE rare	No	-0,142	-0,142	-0,143	-0,144	0,0	0,0

Cedimento massimo = -0.18 cm in Cmb n° 076

Cedimento minimo = -0.09 cm in Cmb n° 054

Cmb	Sismico n°	Nodo daN/cm ^q	Car.Netto mm	Cedimenti n°	Nodo daN/cm ^q	Car.Netto mm	Cedimenti n°	Nodo daN/cm ^q	Car.Netto mm	Cedimenti
054/SLD	Si	130	-0,079	-0,88	7	-0,079	-1,01	5	-0,079	-0,88
076/SLE rare	No	130	-0,114	-1,76	7	-0,113	-1,80	5	-0,114	-1,58
	73	-0,079	-0,86							
	73	-0,115	-1,56							

ELEMENTO : PLATEA N° 96

Cmb n°	Tipologia	Sismica daN/cm ^q	Press. N1 daN/cm ^q	Press. N2 daN/cm ^q	Press. N3 daN/cm ^q	Press. N4 daN	S. Taglio X daN	S. Taglio Y
062	SLD	Si	-0,110	-0,111	-0,111	-0,110	5,0	-17,9
076	SLE rare	No	-0,146	-0,147	-0,146	-0,145	0,1	0,0

Cedimento massimo = -0.23 cm in Cmb n° 076

Cedimento minimo = -0.11 cm in Cmb n° 062

Cmb	Sismico n°	Nodo daN/cm ^q	Car.Netto mm	Cedimenti n°	Nodo daN/cm ^q	Car.Netto mm	Cedimenti n°	Nodo daN/cm ^q	Car.Netto mm	Cedimenti
062/SLD	Si	170	-0,082	-1,07	126	-0,083	-1,08	96	-0,082	-1,07
	43	-0,081	-1,07							
076/SLE rare	No	170	-0,117	-2,27	126	-0,118	-2,27	96	-0,118	-2,26
	43	-0,117	-2,26							

ELEMENTO : PLATEA N° 97

Cmb n°	Tipologia	Sismica daN/cm ^q	Press. N1 daN/cm ^q	Press. N2 daN/cm ^q	Press. N3 daN/cm ^q	Press. N4 daN	S. Taglio X daN	S. Taglio Y
057	SLD	Si	-0,110	-0,110	-0,111	-0,110	5,0	17,9
076	SLE rare	No	-0,145	-0,146	-0,147	-0,146	0,1	0,0

Cedimento massimo = -0.23 cm in Cmb n° 076

Cedimento minimo = -0.11 cm in Cmb n° 057

Cmb	Sismico n°	Nodo daN/cm ^q	Car.Netto mm	Cedimenti n°	Nodo daN/cm ^q	Car.Netto mm	Cedimenti n°	Nodo daN/cm ^q	Car.Netto mm	Cedimenti
057/SLD	Si	196	-0,081	-1,06	98	-0,082	-1,07	126	-0,083	-1,08
	170	-0,082	-1,07							
076/SLE rare	No	196	-0,117	-2,26	98	-0,118	-2,26	126	-0,118	-2,27
	170	-0,117	-2,27							

ELEMENTO : PLATEA N° 98

Cmb n°	Tipologia	Sismica daN/cm ^q	Press. N1 daN/cm ^q	Press. N2 daN/cm ^q	Press. N3 daN/cm ^q	Press. N4 daN	S. Taglio X daN	S. Taglio Y
052	SLD	Si	-0,111	-0,111	-0,110	-0,111	-15,8	-4,0
076	SLE rare	No	-0,147	-0,147	-0,146	-0,146	0,1	0,0

Cedimento massimo = -0.23 cm in Cmb n° 076

Cedimento minimo = -0.11 cm in Cmb n° 052

Cmb	Sismico n°	Nodo daN/cm ^q	Car.Netto mm	Cedimenti n°	Nodo daN/cm ^q	Car.Netto mm	Cedimenti n°	Nodo daN/cm ^q	Car.Netto mm	Cedimenti
052/SLD	Si	126	-0,082	-1,08	125	-0,082	-1,07	167	-0,081	-1,06
	96	-0,082	-1,07							
076/SLE rare	No	126	-0,118	-2,27	125	-0,119	-2,25	167	-0,118	-2,25
	96	-0,118	-2,26							

ELEMENTO : PLATEA N° 99

Cmb n°	Tipologia	Sismica daN/cm ^q	Press. N1 daN/cm ^q	Press. N2 daN/cm ^q	Press. N3 daN/cm ^q	Press. N4 daN	S. Taglio X daN	S. Taglio Y
--------	-----------	-----------------------------	-------------------------------	-------------------------------	-------------------------------	---------------	-----------------	-------------

050	SLD	Si	-0,109	-0,110	-0,109	-0,109	12,8	-4,2
076	SLE rare	No	-0,144	-0,146	-0,144	-0,144	0,0	0,0

Cedimento massimo = -0.23 cm in Cmb n° 076
 Cedimento minimo = -0.11 cm in Cmb n° 050

Cmb	Sismico n°	Nodo daN/cm ²	Car.Netto mm	Cedimenti n°	Nodo daN/cm ²	Car.Netto mm	Cedimenti n°	Nodo daN/cm ²	Car.Netto mm	Cedimenti
050/SLD	Si	171	-0,080	-1,06	170	-0,082	-1,07	151	-0,081	-1,06
	35	-0,080	-1,06							
076/SLE rare	No	171	-0,116	-2,25	170	-0,117	-2,27	151	-0,116	-2,25
	35	-0,115	-2,24							

ELEMENTO : PLATEA N° 100

Cmb n°	Tipologia	Sismica daN/cm ²	Press. N1 daN/cm ²	Press. N2 daN/cm ²	Press. N3 daN/cm ²	Press. N4 daN	S. Taglio X daN	S. Taglio Y
041	SLD	Si	-0,109	-0,109	-0,110	-0,109	12,8	4,2
076	SLE rare	No	-0,144	-0,144	-0,146	-0,144	0,0	0,0

Cedimento massimo = -0.23 cm in Cmb n° 076
 Cedimento minimo = -0.11 cm in Cmb n° 041

Cmb	Sismico n°	Nodo daN/cm ²	Car.Netto mm	Cedimenti n°	Nodo daN/cm ²	Car.Netto mm	Cedimenti n°	Nodo daN/cm ²	Car.Netto mm	Cedimenti
041/SLD	Si	21	-0,080	-1,06	148	-0,081	-1,06	170	-0,082	-1,07
	171	-0,080	-1,06							
076/SLE rare	No	21	-0,115	-2,24	148	-0,116	-2,25	170	-0,117	-2,27
	171	-0,116	-2,25							

ELEMENTO : PLATEA N° 101

Cmb n°	Tipologia	Sismica daN/cm ²	Press. N1 daN/cm ²	Press. N2 daN/cm ²	Press. N3 daN/cm ²	Press. N4 daN	S. Taglio X daN	S. Taglio Y
054	SLD	Si	-0,108	-0,109	-0,109	-0,108	15,8	-4,5
076	SLE rare	No	-0,143	-0,144	-0,144	-0,143	0,0	0,0

Cedimento massimo = -0.22 cm in Cmb n° 076
 Cedimento minimo = -0.10 cm in Cmb n° 054

Cmb	Sismico n°	Nodo daN/cm ²	Car.Netto mm	Cedimenti n°	Nodo daN/cm ²	Car.Netto mm	Cedimenti n°	Nodo daN/cm ²	Car.Netto mm	Cedimenti
054/SLD	Si	172	-0,080	-1,05	171	-0,080	-1,06	35	-0,080	-1,06
	24	-0,080	-1,05							
076/SLE rare	No	172	-0,115	-2,23	171	-0,116	-2,25	35	-0,115	-2,24
	24	-0,114	-2,22							

ELEMENTO : PLATEA N° 102

Cmb n°	Tipologia	Sismica daN/cm ²	Press. N1 daN/cm ²	Press. N2 daN/cm ²	Press. N3 daN/cm ²	Press. N4 daN	S. Taglio X daN	S. Taglio Y
041	SLD	Si	-0,108	-0,109	-0,109	-0,108	15,9	4,5
076	SLE rare	No	-0,143	-0,144	-0,144	-0,143	0,0	0,0

Cedimento massimo = -0.22 cm in Cmb n° 076
 Cedimento minimo = -0.10 cm in Cmb n° 041

Cmb	Sismico n°	Nodo daN/cm ²	Car.Netto mm	Cedimenti n°	Nodo daN/cm ²	Car.Netto mm	Cedimenti n°	Nodo daN/cm ²	Car.Netto mm	Cedimenti
041/SLD	Si	50	-0,080	-1,05	21	-0,080	-1,06	171	-0,080	-1,06
	172	-0,080	-1,05							
076/SLE rare	No	50	-0,114	-2,22	21	-0,115	-2,24	171	-0,116	-2,25
	172	-0,115	-2,23							

ELEMENTO : PLATEA N° 103

Cmb n°	Tipologia	Sismica daN/cm ²	Press. N1 daN/cm ²	Press. N2 daN/cm ²	Press. N3 daN/cm ²	Press. N4 daN	S. Taglio X daN	S. Taglio Y
054	SLD	Si	-0,108	-0,108	-0,108	-0,108	15,8	-3,9
076	SLE rare	No	-0,143	-0,143	-0,143	-0,143	-0,1	0,0

Cedimento massimo = -0.22 cm in Cmb n° 076
 Cedimento minimo = -0.10 cm in Cmb n° 054

Cmb	Sismico	Nodo	Car.Netto	Cedimenti	Nodo	Car.Netto	Cedimenti	Nodo	Car.Netto	Cedimenti
-----	---------	------	-----------	-----------	------	-----------	-----------	------	-----------	-----------

	<i>n°</i>	<i>daN/cmq</i>	<i>mm</i>	<i>n°</i>	<i>daN/cmq</i>	<i>mm</i>	<i>n°</i>	<i>daN/cmq</i>	<i>mm</i>	
054/SLD	Si	173	-0,080	-1,04	172	-0,080	-1,05	24	-0,080	-1,05
	12	-0,080	-1,04							
076/SLE rare	No	173	-0,115	-2,20	172	-0,115	-2,23	24	-0,114	-2,22
	12	-0,115	-2,20							

ELEMENTO : PLATEA N° 104

Cmb <i>n°</i>	Tipologia	Sismica <i>daN/cmq</i>	Press. N1 <i>daN/cmq</i>	Press. N2 <i>daN/cmq</i>	Press. N3 <i>daN/cmq</i>	Press. N4 <i>daN</i>	S. Taglio X <i>daN</i>	S. Taglio Y
045	SLD	Si	-0,108	-0,108	-0,108	-0,108	15,8	3,9
076	SLE rare	No	-0,143	-0,143	-0,143	-0,143	-0,1	0,0

Cedimento massimo = -0.22 cm in Cmb n° 076
 Cedimento minimo = -0.10 cm in Cmb n° 045

Cmb	Sismico <i>n°</i>	Nodo <i>daN/cmq</i>	Car.Netto <i>mm</i>	Cedimenti <i>n°</i>	Nodo <i>daN/cmq</i>	Car.Netto <i>mm</i>	Cedimenti <i>n°</i>	Nodo <i>daN/cmq</i>	Car.Netto <i>mm</i>	Cedimenti
045/SLD	Si	116	-0,080	-1,04	50	-0,080	-1,05	172	-0,080	-1,05
	173	-0,080	-1,04							
076/SLE rare	No	116	-0,115	-2,20	50	-0,114	-2,22	172	-0,115	-2,23
	173	-0,115	-2,20							

ELEMENTO : PLATEA N° 105

Cmb <i>n°</i>	Tipologia	Sismica <i>daN/cmq</i>	Press. N1 <i>daN/cmq</i>	Press. N2 <i>daN/cmq</i>	Press. N3 <i>daN/cmq</i>	Press. N4 <i>daN</i>	S. Taglio X <i>daN</i>	S. Taglio Y
054	SLD	Si	-0,109	-0,108	-0,108	-0,109	15,8	-3,2
076	SLE rare	No	-0,145	-0,143	-0,143	-0,144	-0,1	0,0

Cedimento massimo = -0.22 cm in Cmb n° 076
 Cedimento minimo = -0.10 cm in Cmb n° 054

Cmb	Sismico <i>n°</i>	Nodo <i>daN/cmq</i>	Car.Netto <i>mm</i>	Cedimenti <i>n°</i>	Nodo <i>daN/cmq</i>	Car.Netto <i>mm</i>	Cedimenti <i>n°</i>	Nodo <i>daN/cmq</i>	Car.Netto <i>mm</i>	Cedimenti
054/SLD	Si	193	-0,080	-1,03	173	-0,080	-1,04	12	-0,080	-1,04
	4	-0,080	-1,03							
076/SLE rare	No	193	-0,116	-1,82	173	-0,115	-2,20	12	-0,115	-2,20
	4	-0,116	-1,82							

ELEMENTO : PLATEA N° 106

Cmb <i>n°</i>	Tipologia	Sismica <i>daN/cmq</i>	Press. N1 <i>daN/cmq</i>	Press. N2 <i>daN/cmq</i>	Press. N3 <i>daN/cmq</i>	Press. N4 <i>daN</i>	S. Taglio X <i>daN</i>	S. Taglio Y
045	SLD	Si	-0,109	-0,108	-0,108	-0,109	15,8	3,2
076	SLE rare	No	-0,144	-0,143	-0,143	-0,145	-0,1	0,0

Cedimento massimo = -0.22 cm in Cmb n° 076
 Cedimento minimo = -0.10 cm in Cmb n° 045

Cmb	Sismico <i>n°</i>	Nodo <i>daN/cmq</i>	Car.Netto <i>mm</i>	Cedimenti <i>n°</i>	Nodo <i>daN/cmq</i>	Car.Netto <i>mm</i>	Cedimenti <i>n°</i>	Nodo <i>daN/cmq</i>	Car.Netto <i>mm</i>	Cedimenti
045/SLD	Si	55	-0,080	-1,03	116	-0,080	-1,04	173	-0,080	-1,04
	193	-0,080	-1,03							
076/SLE rare	No	55	-0,116	-1,82	116	-0,115	-2,20	173	-0,115	-2,20
	193	-0,116	-1,82							

ELEMENTO : PLATEA N° 107

Cmb <i>n°</i>	Tipologia	Sismica <i>daN/cmq</i>	Press. N1 <i>daN/cmq</i>	Press. N2 <i>daN/cmq</i>	Press. N3 <i>daN/cmq</i>	Press. N4 <i>daN</i>	S. Taglio X <i>daN</i>	S. Taglio Y
043	SLD	Si	-0,109	-0,109	-0,110	-0,111	-12,7	3,1
076	SLE rare	No	-0,145	-0,145	-0,146	-0,146	0,1	0,0

Cedimento massimo = -0.23 cm in Cmb n° 076
 Cedimento minimo = -0.11 cm in Cmb n° 043

Cmb	Sismico <i>n°</i>	Nodo <i>daN/cmq</i>	Car.Netto <i>mm</i>	Cedimenti <i>n°</i>	Nodo <i>daN/cmq</i>	Car.Netto <i>mm</i>	Cedimenti <i>n°</i>	Nodo <i>daN/cmq</i>	Car.Netto <i>mm</i>	Cedimenti
043/SLD	Si	90	-0,081	-1,06	91	-0,081	-1,05	105	-0,081	-1,06
	98	-0,082	-1,07							
076/SLE rare	No	90	-0,116	-2,24	91	-0,116	-2,23	105	-0,118	-2,24
	98	-0,118	-2,26							

ELEMENTO : PLATEA N° 108

Cmb n°	Tipologia	Sismica daN/cm ^q	Press. N1 daN/cm ^q	Press. N2 daN/cm ^q	Press. N3 daN/cm ^q	Press. N4 daN	S. Taglio X daN	S. Taglio Y
043	SLD	Si	-0,109	-0,108	-0,109	-0,109	-9,0	2,2
076	SLE rare	No	-0,144	-0,143	-0,145	-0,145	0,0	0,0

Cedimento massimo = -0.22 cm in Cmb n° 076

Cedimento minimo = -0.10 cm in Cmb n° 043

Cmb	Sismico n°	Nodo daN/cm ^q	Car.Netto mm	Cedimenti n°	Nodo daN/cm ^q	Car.Netto mm	Cedimenti n°	Nodo daN/cm ^q	Car.Netto mm	Cedimenti
043/SLD	Si	201	-0,081	-1,06	107	-0,080	-1,04	91	-0,081	-1,05
	90	-0,081	-1,06							
076/SLE rare	No	201	-0,116	-2,23	107	-0,115	-2,20	91	-0,116	-2,23
	90	-0,116	-2,24							

ELEMENTO : PLATEA N° 109

Cmb n°	Tipologia	Sismica daN/cm ^q	Press. N1 daN/cm ^q	Press. N2 daN/cm ^q	Press. N3 daN/cm ^q	Press. N4 daN	S. Taglio X daN	S. Taglio Y
043	SLD	Si	-0,108	-0,108	-0,108	-0,108	-13,1	3,1
076	SLE rare	No	-0,142	-0,142	-0,143	-0,143	0,0	0,0

Cedimento massimo = -0.22 cm in Cmb n° 076

Cedimento minimo = -0.10 cm in Cmb n° 043

Cmb	Sismico n°	Nodo daN/cm ^q	Car.Netto mm	Cedimenti n°	Nodo daN/cm ^q	Car.Netto mm	Cedimenti n°	Nodo daN/cm ^q	Car.Netto mm	Cedimenti
043/SLD	Si	108	-0,079	-1,04	109	-0,079	-1,04	107	-0,080	-1,04
	106	-0,080	-1,05							
076/SLE rare	No	108	-0,114	-2,20	109	-0,114	-2,18	107	-0,115	-2,20
	106	-0,115	-2,22							

ELEMENTO : PLATEA N° 110

Cmb n°	Tipologia	Sismica daN/cm ^q	Press. N1 daN/cm ^q	Press. N2 daN/cm ^q	Press. N3 daN/cm ^q	Press. N4 daN	S. Taglio X daN	S. Taglio Y
054	SLD	Si	-0,109	-0,109	-0,109	-0,109	15,7	-2,6
076	SLE rare	No	-0,147	-0,145	-0,144	-0,146	-0,2	0,0

Cedimento massimo = -0.18 cm in Cmb n° 076

Cedimento minimo = -0.09 cm in Cmb n° 054

Cmb	Sismico n°	Nodo daN/cm ^q	Car.Netto mm	Cedimenti n°	Nodo daN/cm ^q	Car.Netto mm	Cedimenti n°	Nodo daN/cm ^q	Car.Netto mm	Cedimenti
054/SLD	Si	194	-0,081	-0,86	193	-0,080	-1,03	4	-0,080	-1,03
	181	-0,081	-0,85							
076/SLE rare	No	194	-0,118	-1,54	193	-0,116	-1,82	4	-0,116	-1,82
	181	-0,118	-1,54							

ELEMENTO : PLATEA N° 111

Cmb n°	Tipologia	Sismica daN/cm ^q	Press. N1 daN/cm ^q	Press. N2 daN/cm ^q	Press. N3 daN/cm ^q	Press. N4 daN	S. Taglio X daN	S. Taglio Y
059	SLD	Si	-0,108	-0,108	-0,108	-0,108	-3,1	13,7
076	SLE rare	No	-0,142	-0,142	-0,142	-0,142	0,0	0,0

Cedimento massimo = -0.22 cm in Cmb n° 076

Cedimento minimo = -0.10 cm in Cmb n° 059

Cmb	Sismico n°	Nodo daN/cm ^q	Car.Netto mm	Cedimenti n°	Nodo daN/cm ^q	Car.Netto mm	Cedimenti n°	Nodo daN/cm ^q	Car.Netto mm	Cedimenti
059/SLD	Si	110	-0,079	-1,04	112	-0,079	-1,03	109	-0,079	-1,04
	108	-0,079	-1,04							
076/SLE rare	No	110	-0,114	-2,18	112	-0,114	-2,17	109	-0,114	-2,18
	108	-0,114	-2,20							

ELEMENTO : PLATEA N° 112

Cmb n°	Tipologia	Sismica daN/cm ^q	Press. N1 daN/cm ^q	Press. N2 daN/cm ^q	Press. N3 daN/cm ^q	Press. N4 daN	S. Taglio X daN	S. Taglio Y
059	SLD	Si	-0,108	-0,108	-0,108	-0,108	-3,2	14,7
076	SLE rare	No	-0,143	-0,144	-0,142	-0,142	0,0	0,0

Cedimento massimo = -0.22 cm in Cmb n° 076
 Cedimento minimo = -0.10 cm in Cmb n° 059

Cmb	Sismico n°	Nodo daN/cm ^q	Car.Netto mm	Cedimenti n°	Nodo daN/cm ^q	Car.Netto mm	Cedimenti n°	Nodo daN/cm ^q	Car.Netto mm	Cedimenti
059/SLD	Si	117	-0,080	-1,03	118	-0,080	-1,03	112	-0,079	-1,03
	110	-0,079	-1,04							
076/SLE rare	No	117	-0,115	-1,83	118	-0,115	-1,82	112	-0,114	-2,17
	110	-0,114	-2,18							

ELEMENTO : PLATEA N° 113

Cmb n°	Tipologia	Sismica daN/cm ^q	Press. N1 daN/cm ^q	Press. N2 daN/cm ^q	Press. N3 daN/cm ^q	Press. N4 daN	S. Taglio X daN	S. Taglio Y
059	SLD	Si	-0,109	-0,109	-0,108	-0,108	-2,6	12,6
076	SLE rare	No	-0,145	-0,146	-0,144	-0,143	0,0	0,0

Cedimento massimo = -0.18 cm in Cmb n° 076
 Cedimento minimo = -0.09 cm in Cmb n° 059

Cmb	Sismico n°	Nodo daN/cm ^q	Car.Netto mm	Cedimenti n°	Nodo daN/cm ^q	Car.Netto mm	Cedimenti n°	Nodo daN/cm ^q	Car.Netto mm	Cedimenti
059/SLD	Si	119	-0,081	-0,89	120	-0,081	-0,89	118	-0,080	-1,03
	117	-0,080	-1,03							
076/SLE rare	No	119	-0,117	-1,77	120	-0,117	-1,77	118	-0,115	-1,82
	117	-0,115	-1,83							

ELEMENTO : PLATEA N° 114

Cmb n°	Tipologia	Sismica daN/cm ^q	Press. N1 daN/cm ^q	Press. N2 daN/cm ^q	Press. N3 daN/cm ^q	Press. N4 daN	S. Taglio X daN	S. Taglio Y
059	SLD	Si	-0,110	-0,110	-0,109	-0,109	-2,8	13,7
076	SLE rare	No	-0,148	-0,148	-0,146	-0,145	0,0	0,0

Cedimento massimo = -0.18 cm in Cmb n° 076
 Cedimento minimo = -0.07 cm in Cmb n° 059

Cmb	Sismico n°	Nodo daN/cm ^q	Car.Netto mm	Cedimenti n°	Nodo daN/cm ^q	Car.Netto mm	Cedimenti n°	Nodo daN/cm ^q	Car.Netto mm	Cedimenti
059/SLD	Si	94	-0,081	-0,69	121	-0,081	-0,69	120	-0,081	-0,89
	119	-0,081	-0,89							
076/SLE rare	No	94	-0,120	-1,27	121	-0,119	-1,27	120	-0,117	-1,77
	119	-0,117	-1,77							

ELEMENTO : PLATEA N° 115

Cmb n°	Tipologia	Sismica daN/cm ^q	Press. N1 daN/cm ^q	Press. N2 daN/cm ^q	Press. N3 daN/cm ^q	Press. N4 daN	S. Taglio X daN	S. Taglio Y
070	SLD	Si	-0,108	-0,107	-0,108	-0,108	2,1	-12,6
076	SLE rare	No	-0,144	-0,143	-0,145	-0,145	-0,1	0,0

Cedimento massimo = -0.16 cm in Cmb n° 076
 Cedimento minimo = -0.07 cm in Cmb n° 070

Cmb	Sismico n°	Nodo daN/cm ^q	Car.Netto mm	Cedimenti n°	Nodo daN/cm ^q	Car.Netto mm	Cedimenti n°	Nodo daN/cm ^q	Car.Netto mm	Cedimenti
070/SLD	Si	73	-0,079	-0,86	5	-0,079	-0,87	6	-0,079	-0,67
	89	-0,079	-0,67							
076/SLE rare	No	73	-0,115	-1,56	5	-0,114	-1,58	6	-0,116	-1,24
	89	-0,117	-1,23							

ELEMENTO : PLATEA N° 116

Cmb n°	Tipologia	Sismica daN/cm ^q	Press. N1 daN/cm ^q	Press. N2 daN/cm ^q	Press. N3 daN/cm ^q	Press. N4 daN	S. Taglio X daN	S. Taglio Y
066	SLD	Si	-0,107	-0,107	-0,108	-0,107	1,7	-14,1
076	SLE rare	No	-0,142	-0,142	-0,144	-0,143	0,0	0,0

Cedimento massimo = -0.18 cm in Cmb n° 076
 Cedimento minimo = -0.09 cm in Cmb n° 066

Cmb	Sismico n°	Nodo daN/cm ^q	Car.Netto mm	Cedimenti n°	Nodo daN/cm ^q	Car.Netto mm	Cedimenti n°	Nodo daN/cm ^q	Car.Netto mm	Cedimenti
066/SLD	Si	15	-0,079	-1,02	27	-0,079	-1,02	25	-0,079	-0,88

	13	-0,079	-0,88							
076/SLE rare	No	15	-0,113	-1,81	27	-0,113	-1,82	25	-0,115	-1,76
	13	-0,114	-1,75							

ELEMENTO : PLATEA N° 117

Cmb n°	Tipologia	Sismica daN/cm ^q	Press. N1 daN/cm ^q	Press. N2 daN/cm ^q	Press. N3 daN/cm ^q	Press. N4 daN	S. Taglio X daN	S. Taglio Y
070	SLD	Si	-0,107	-0,107	-0,107	-0,107	2,7	-13,8
076	SLE rare	No	-0,141	-0,141	-0,142	-0,142	0,0	0,0

Cedimento massimo = -0.22 cm in Cmb n° 076

Cedimento minimo = -0.10 cm in Cmb n° 070

Cmb n°	Sismico n°	Nodo daN/cm ^q	Car.Netto mm	Cedimenti n°	Nodo daN/cm ^q	Car.Netto mm	Cedimenti n°	Nodo daN/cm ^q	Car.Netto mm	Cedimenti
070/SLD	Si	16	-0,078	-1,03	28	-0,079	-1,03	27	-0,079	-1,02
	15	-0,079	-1,02							
076/SLE rare	No	16	-0,112	-2,16	28	-0,113	-2,17	27	-0,113	-1,82
	15	-0,113	-1,81							

ELEMENTO : PLATEA N° 118

Cmb n°	Tipologia	Sismica daN/cm ^q	Press. N1 daN/cm ^q	Press. N2 daN/cm ^q	Press. N3 daN/cm ^q	Press. N4 daN	S. Taglio X daN	S. Taglio Y
070	SLD	Si	-0,107	-0,107	-0,107	-0,107	2,8	-13,8
076	SLE rare	No	-0,141	-0,141	-0,141	-0,141	0,0	0,0

Cedimento massimo = -0.22 cm in Cmb n° 076

Cedimento minimo = -0.10 cm in Cmb n° 070

Cmb n°	Sismico n°	Nodo daN/cm ^q	Car.Netto mm	Cedimenti n°	Nodo daN/cm ^q	Car.Netto mm	Cedimenti n°	Nodo daN/cm ^q	Car.Netto mm	Cedimenti
070/SLD	Si	17	-0,078	-1,03	29	-0,079	-1,03	28	-0,079	-1,03
	16	-0,078	-1,03							
076/SLE rare	No	17	-0,112	-2,18	29	-0,113	-2,19	28	-0,113	-2,17
	16	-0,112	-2,16							

ELEMENTO : PLATEA N° 119

Cmb n°	Tipologia	Sismica daN/cm ^q	Press. N1 daN/cm ^q	Press. N2 daN/cm ^q	Press. N3 daN/cm ^q	Press. N4 daN	S. Taglio X daN	S. Taglio Y
054	SLD	Si	-0,107	-0,107	-0,107	-0,107	13,0	-3,6
076	SLE rare	No	-0,141	-0,142	-0,141	-0,141	0,0	0,0

Cedimento massimo = -0.22 cm in Cmb n° 076

Cedimento minimo = -0.10 cm in Cmb n° 054

Cmb n°	Sismico n°	Nodo daN/cm ^q	Car.Netto mm	Cedimenti n°	Nodo daN/cm ^q	Car.Netto mm	Cedimenti n°	Nodo daN/cm ^q	Car.Netto mm	Cedimenti
054/SLD	Si	18	-0,079	-1,04	31	-0,079	-1,04	29	-0,079	-1,04
	17	-0,078	-1,03							
076/SLE rare	No	18	-0,113	-2,19	31	-0,113	-2,21	29	-0,113	-2,19
	17	-0,112	-2,18							

ELEMENTO : PLATEA N° 120

Cmb n°	Tipologia	Sismica daN/cm ^q	Press. N1 daN/cm ^q	Press. N2 daN/cm ^q	Press. N3 daN/cm ^q	Press. N4 daN	S. Taglio X daN	S. Taglio Y
054	SLD	Si	-0,108	-0,108	-0,107	-0,107	12,8	-3,6
076	SLE rare	No	-0,142	-0,143	-0,142	-0,141	0,0	0,0

Cedimento massimo = -0.22 cm in Cmb n° 076

Cedimento minimo = -0.10 cm in Cmb n° 054

Cmb n°	Sismico n°	Nodo daN/cm ^q	Car.Netto mm	Cedimenti n°	Nodo daN/cm ^q	Car.Netto mm	Cedimenti n°	Nodo daN/cm ^q	Car.Netto mm	Cedimenti
054/SLD	Si	19	-0,079	-1,04	34	-0,080	-1,05	31	-0,079	-1,04
	18	-0,079	-1,04							
076/SLE rare	No	19	-0,114	-2,21	34	-0,114	-2,23	31	-0,113	-2,21
	18	-0,113	-2,19							

ELEMENTO : PLATEA N° 121

Cmb n°	Tipologia	Sismica daN/cm ^q	Press. N1 daN/cm ^q	Press. N2 daN/cm ^q	Press. N3 daN/cm ^q	Press. N4 daN	S. Taglio X daN	S. Taglio Y
--------	-----------	-----------------------------	-------------------------------	-------------------------------	-------------------------------	---------------	-----------------	-------------

n°		daN/cmq	daN/cmq	daN/cmq	daN/cmq	daN	daN	
054	SLD	Si	-0,108	-0,109	-0,108	-0,108	12,7	-3,6
076	SLE rare	No	-0,143	-0,144	-0,143	-0,142	0,0	0,0

Cedimento massimo = -0.22 cm in Cmb n° 076
 Cedimento minimo = -0.10 cm in Cmb n° 054

Cmb	Sismico n°	Nodo daN/cmq	Car.Netto mm	Cedimenti n°	Nodo daN/cmq	Car.Netto mm	Cedimenti n°	Nodo daN/cmq	Car.Netto mm	Cedimenti
054/SLD	Si	24	-0,080	-1,05	35	-0,080	-1,06	34	-0,080	-1,05
	19	-0,079	-1,04							
076/SLE rare	No	24	-0,114	-2,22	35	-0,115	-2,24	34	-0,114	-2,23
	19	-0,114	-2,21							

ELEMENTO : PLATEA N° 122

Cmb	Tipologia	Sismica daN/cmq	Press. N1 daN/cmq	Press. N2 daN/cmq	Press. N3 daN/cmq	Press. N4 daN	S. Taglio X daN	S. Taglio Y
066	SLD	Si	-0,108	-0,108	-0,109	-0,108	1,4	-13,8
076	SLE rare	No	-0,144	-0,145	-0,147	-0,145	0,0	0,0

Cedimento massimo = -0.18 cm in Cmb n° 076
 Cedimento minimo = -0.07 cm in Cmb n° 066

Cmb	Sismico n°	Nodo daN/cmq	Car.Netto mm	Cedimenti n°	Nodo daN/cmq	Car.Netto mm	Cedimenti n°	Nodo daN/cmq	Car.Netto mm	Cedimenti
066/SLD	Si	25	-0,079	-0,88	36	-0,080	-0,89	37	-0,081	-0,68
	26	-0,080	-0,68							
076/SLE rare	No	25	-0,115	-1,76	36	-0,116	-1,77	37	-0,118	-1,27
	26	-0,117	-1,25							

ELEMENTO : PLATEA N° 123

Cmb	Tipologia	Sismica daN/cmq	Press. N1 daN/cmq	Press. N2 daN/cmq	Press. N3 daN/cmq	Press. N4 daN	S. Taglio X daN	S. Taglio Y
045	SLD	Si	-0,108	-0,108	-0,109	-0,109	12,6	2,0
076	SLE rare	No	-0,145	-0,143	-0,144	-0,146	-0,1	0,0

Cedimento massimo = -0.18 cm in Cmb n° 076
 Cedimento minimo = -0.08 cm in Cmb n° 045

Cmb	Sismico n°	Nodo daN/cmq	Car.Netto mm	Cedimenti n°	Nodo daN/cmq	Car.Netto mm	Cedimenti n°	Nodo daN/cmq	Car.Netto mm	Cedimenti
045/SLD	Si	53	-0,080	-0,85	54	-0,079	-1,02	55	-0,080	-1,03
	183	-0,081	-0,85							
076/SLE rare	No	53	-0,117	-1,52	54	-0,115	-1,81	55	-0,116	-1,82
	183	-0,118	-1,54							

ELEMENTO : PLATEA N° 124

Cmb	Tipologia	Sismica daN/cmq	Press. N1 daN/cmq	Press. N2 daN/cmq	Press. N3 daN/cmq	Press. N4 daN	S. Taglio X daN	S. Taglio Y
045	SLD	Si	-0,108	-0,107	-0,108	-0,108	8,9	1,4
076	SLE rare	No	-0,144	-0,142	-0,143	-0,145	-0,1	0,0

Cedimento massimo = -0.18 cm in Cmb n° 076
 Cedimento minimo = -0.08 cm in Cmb n° 045

Cmb	Sismico n°	Nodo daN/cmq	Car.Netto mm	Cedimenti n°	Nodo daN/cmq	Car.Netto mm	Cedimenti n°	Nodo daN/cmq	Car.Netto mm	Cedimenti
045/SLD	Si	33	-0,080	-0,84	157	-0,079	-0,89	54	-0,079	-1,02
	53	-0,080	-0,85							
076/SLE rare	No	33	-0,116	-1,52	157	-0,114	-1,79	54	-0,115	-1,81
	53	-0,117	-1,52							

ELEMENTO : PLATEA N° 125

Cmb	Tipologia	Sismica daN/cmq	Press. N1 daN/cmq	Press. N2 daN/cmq	Press. N3 daN/cmq	Press. N4 daN	S. Taglio X daN	S. Taglio Y
045	SLD	Si	-0,107	-0,107	-0,107	-0,108	13,0	2,1
076	SLE rare	No	-0,143	-0,142	-0,142	-0,144	0,0	0,0

Cedimento massimo = -0.18 cm in Cmb n° 076
 Cedimento minimo = -0.08 cm in Cmb n° 045

Cmb	Sismico n°	Nodo daN/cm ^q	Car.Netto mm	Cedimenti n°	Nodo daN/cm ^q	Car.Netto mm	Cedimenti n°	Nodo daN/cm ^q	Car.Netto mm	Cedimenti
045/SLD	Si	114	-0,079	-0,83	80	-0,078	-0,89	157	-0,079	-0,89
	155	-0,079	-0,84							
076/SLE rare	No	114	-0,114	-1,50	80	-0,113	-1,78	157	-0,114	-1,79
	155	-0,115	-1,51							

ELEMENTO : PLATEA N° 126

Cmb n°	Tipologia	Sismica daN/cm ^q	Press. N1 daN/cm ^q	Press. N2 daN/cm ^q	Press. N3 daN/cm ^q	Press. N4 daN	S. Taglio X daN	S. Taglio Y
066	SLD	Si	-0,107	-0,108	-0,108	-0,108	1,4	-14,1
076	SLE rare	No	-0,143	-0,144	-0,145	-0,145	0,0	0,0

Cedimento massimo = -0.18 cm in Cmb n° 076

Cedimento minimo = -0.07 cm in Cmb n° 066

Cmb	Sismico n°	Nodo daN/cm ^q	Car.Netto mm	Cedimenti n°	Nodo daN/cm ^q	Car.Netto mm	Cedimenti n°	Nodo daN/cm ^q	Car.Netto mm	Cedimenti
066/SLD	Si	13	-0,079	-0,88	25	-0,079	-0,88	26	-0,080	-0,68
	14	-0,079	-0,67							
076/SLE rare	No	13	-0,114	-1,75	25	-0,115	-1,76	26	-0,117	-1,25
	14	-0,116	-1,25							

ELEMENTO : PLATEA N° 127

Cmb n°	Tipologia	Sismica daN/cm ^q	Press. N1 daN/cm ^q	Press. N2 daN/cm ^q	Press. N3 daN/cm ^q	Press. N4 daN	S. Taglio X daN	S. Taglio Y
045	SLD	Si	-0,107	-0,107	-0,107	-0,107	13,2	2,1
076	SLE rare	No	-0,143	-0,142	-0,142	-0,143	0,0	0,0

Cedimento massimo = -0.18 cm in Cmb n° 076

Cedimento minimo = -0.08 cm in Cmb n° 045

Cmb	Sismico n°	Nodo daN/cm ^q	Car.Netto mm	Cedimenti n°	Nodo daN/cm ^q	Car.Netto mm	Cedimenti n°	Nodo daN/cm ^q	Car.Netto mm	Cedimenti
045/SLD	Si	84	-0,079	-0,83	100	-0,078	-0,89	80	-0,078	-0,89
	114	-0,079	-0,83							
076/SLE rare	No	84	-0,114	-1,49	100	-0,113	-1,77	80	-0,113	-1,78
	114	-0,114	-1,50							

ELEMENTO : PLATEA N° 128

Cmb n°	Tipologia	Sismica daN/cm ^q	Press. N1 daN/cm ^q	Press. N2 daN/cm ^q	Press. N3 daN/cm ^q	Press. N4 daN	S. Taglio X daN	S. Taglio Y
045	SLD	Si	-0,107	-0,107	-0,107	-0,107	14,5	2,2
076	SLE rare	No	-0,144	-0,142	-0,142	-0,143	0,0	0,1

Cedimento massimo = -0.18 cm in Cmb n° 076

Cedimento minimo = -0.08 cm in Cmb n° 045

Cmb	Sismico n°	Nodo daN/cm ^q	Car.Netto mm	Cedimenti n°	Nodo daN/cm ^q	Car.Netto mm	Cedimenti n°	Nodo daN/cm ^q	Car.Netto mm	Cedimenti
045/SLD	Si	101	-0,079	-0,83	102	-0,079	-0,88	100	-0,078	-0,89
	84	-0,079	-0,83							
076/SLE rare	No	101	-0,115	-1,48	102	-0,114	-1,76	100	-0,113	-1,77
	84	-0,114	-1,49							

ELEMENTO : PLATEA N° 129

Cmb n°	Tipologia	Sismica daN/cm ^q	Press. N1 daN/cm ^q	Press. N2 daN/cm ^q	Press. N3 daN/cm ^q	Press. N4 daN	S. Taglio X daN	S. Taglio Y
045	SLD	Si	-0,107	-0,108	-0,107	-0,107	12,6	1,9
076	SLE rare	No	-0,145	-0,144	-0,142	-0,144	0,0	0,1

Cedimento massimo = -0.18 cm in Cmb n° 076

Cedimento minimo = -0.07 cm in Cmb n° 045

Cmb	Sismico n°	Nodo daN/cm ^q	Car.Netto mm	Cedimenti n°	Nodo daN/cm ^q	Car.Netto mm	Cedimenti n°	Nodo daN/cm ^q	Car.Netto mm	Cedimenti
045/SLD	Si	103	-0,079	-0,71	104	-0,079	-0,86	102	-0,079	-0,88
	101	-0,079	-0,83							
076/SLE rare	No	103	-0,116	-1,33	104	-0,115	-1,56	102	-0,114	-1,76
	101	-0,115	-1,48							

ELEMENTO : PLATEA N° 130

Cmb n°	Tipologia	Sismica daN/cm ^q	Press. N1 daN/cm ^q	Press. N2 daN/cm ^q	Press. N3 daN/cm ^q	Press. N4 daN	S. Taglio X daN	S. Taglio Y
045	SLD	Si	-0,108	-0,108	-0,108	-0,107	13,9	2,1
076	SLE rare	No	-0,146	-0,145	-0,144	-0,145	-0,1	0,1

Cedimento massimo = -0.16 cm in Cmb n° 076

Cedimento minimo = -0.06 cm in Cmb n° 045

Cmb	Sismico n°	Nodo daN/cm ^q	Car.Netto mm	Cedimenti n°	Nodo daN/cm ^q	Car.Netto mm	Cedimenti n°	Nodo daN/cm ^q	Car.Netto mm	Cedimenti
045/SLD	Si	179	-0,079	-0,55	113	-0,080	-0,67	104	-0,079	-0,86
	103	-0,079	-0,71							
076/SLE rare	No	179	-0,118	-1,05	113	-0,117	-1,23	104	-0,115	-1,56
	103	-0,116	-1,33							

ELEMENTO : PLATEA N° 131

Cmb n°	Tipologia	Sismica daN/cm ^q	Press. N1 daN/cm ^q	Press. N2 daN/cm ^q	Press. N3 daN/cm ^q	Press. N4 daN	S. Taglio X daN	S. Taglio Y
045	SLD	Si	-0,108	-0,108	-0,108	-0,109	12,6	2,6
076	SLE rare	No	-0,143	-0,142	-0,143	-0,144	-0,1	0,0

Cedimento massimo = -0.22 cm in Cmb n° 076

Cedimento minimo = -0.10 cm in Cmb n° 045

Cmb	Sismico n°	Nodo daN/cm ^q	Car.Netto mm	Cedimenti n°	Nodo daN/cm ^q	Car.Netto mm	Cedimenti n°	Nodo daN/cm ^q	Car.Netto mm	Cedimenti
045/SLD	Si	54	-0,079	-1,02	115	-0,079	-1,04	116	-0,080	-1,04
	55	-0,080	-1,03							
076/SLE rare	No	54	-0,115	-1,81	115	-0,114	-2,18	116	-0,115	-2,20
	55	-0,116	-1,82							

ELEMENTO : PLATEA N° 132

Cmb n°	Tipologia	Sismica daN/cm ^q	Press. N1 daN/cm ^q	Press. N2 daN/cm ^q	Press. N3 daN/cm ^q	Press. N4 daN	S. Taglio X daN	S. Taglio Y
045	SLD	Si	-0,107	-0,107	-0,108	-0,108	12,8	2,6
076	SLE rare	No	-0,142	-0,142	-0,142	-0,143	-0,1	0,0

Cedimento massimo = -0.22 cm in Cmb n° 076

Cedimento minimo = -0.09 cm in Cmb n° 045

Cmb	Sismico n°	Nodo daN/cm ^q	Car.Netto mm	Cedimenti n°	Nodo daN/cm ^q	Car.Netto mm	Cedimenti n°	Nodo daN/cm ^q	Car.Netto mm	Cedimenti
045/SLD	Si	157	-0,079	-0,89	136	-0,079	-1,03	115	-0,079	-1,04
	54	-0,079	-1,02							
076/SLE rare	No	157	-0,114	-1,79	136	-0,113	-2,17	115	-0,114	-2,18
	54	-0,115	-1,81							

ELEMENTO : PLATEA N° 133

Cmb n°	Tipologia	Sismica daN/cm ^q	Press. N1 daN/cm ^q	Press. N2 daN/cm ^q	Press. N3 daN/cm ^q	Press. N4 daN	S. Taglio X daN	S. Taglio Y
045	SLD	Si	-0,107	-0,107	-0,107	-0,107	13,0	2,6
076	SLE rare	No	-0,142	-0,141	-0,142	-0,142	0,0	0,0

Cedimento massimo = -0.22 cm in Cmb n° 076

Cedimento minimo = -0.09 cm in Cmb n° 045

Cmb	Sismico n°	Nodo daN/cm ^q	Car.Netto mm	Cedimenti n°	Nodo daN/cm ^q	Car.Netto mm	Cedimenti n°	Nodo daN/cm ^q	Car.Netto mm	Cedimenti
045/SLD	Si	80	-0,078	-0,89	138	-0,078	-1,02	136	-0,079	-1,03
	157	-0,079	-0,89							
076/SLE rare	No	80	-0,113	-1,78	138	-0,113	-2,15	136	-0,113	-2,17
	157	-0,114	-1,79							

ELEMENTO : PLATEA N° 134

Cmb n°	Tipologia	Sismica daN/cm ^q	Press. N1 daN/cm ^q	Press. N2 daN/cm ^q	Press. N3 daN/cm ^q	Press. N4 daN	S. Taglio X daN	S. Taglio Y
045	SLD	Si	-0,107	-0,107	-0,107	-0,107	13,2	2,6
076	SLE rare	No	-0,142	-0,141	-0,141	-0,142	0,0	0,0

Cedimento massimo = -0.22 cm in Cmb n° 076
 Cedimento minimo = -0.09 cm in Cmb n° 045

Cmb	Sismico n°	Nodo daN/cm ^q	Car.Netto mm	Cedimenti n°	Nodo daN/cm ^q	Car.Netto mm	Cedimenti n°	Nodo daN/cm ^q	Car.Netto mm	Cedimenti
045/SLD	Si	100	-0,078	-0,89	139	-0,078	-1,02	138	-0,078	-1,02
	80	-0,078	-0,89							
076/SLE rare	No	100	-0,113	-1,77	139	-0,113	-1,81	138	-0,113	-2,15
	80	-0,113	-1,78							

ELEMENTO : PLATEA N° 135

Cmb n°	Tipologia	Sismica daN/cm ^q	Press. N1 daN/cm ^q	Press. N2 daN/cm ^q	Press. N3 daN/cm ^q	Press. N4 daN	S. Taglio X daN	S. Taglio Y
045	SLD	Si	-0,107	-0,107	-0,107	-0,107	13,4	2,6
076	SLE rare	No	-0,142	-0,142	-0,141	-0,142	0,0	0,0

Cedimento massimo = -0.18 cm in Cmb n° 076
 Cedimento minimo = -0.09 cm in Cmb n° 045

Cmb	Sismico n°	Nodo daN/cm ^q	Car.Netto mm	Cedimenti n°	Nodo daN/cm ^q	Car.Netto mm	Cedimenti n°	Nodo daN/cm ^q	Car.Netto mm	Cedimenti
045/SLD	Si	102	-0,079	-0,88	51	-0,079	-1,01	139	-0,078	-1,02
	100	-0,078	-0,89							
076/SLE rare	No	102	-0,114	-1,76	51	-0,113	-1,80	139	-0,113	-1,81
	100	-0,113	-1,77							

ELEMENTO : PLATEA N° 136

Cmb n°	Tipologia	Sismica daN/cm ^q	Press. N1 daN/cm ^q	Press. N2 daN/cm ^q	Press. N3 daN/cm ^q	Press. N4 daN	S. Taglio X daN	S. Taglio Y
045	SLD	Si	-0,108	-0,108	-0,107	-0,107	13,7	2,6
076	SLE rare	No	-0,144	-0,143	-0,142	-0,142	0,0	0,0

Cedimento massimo = -0.18 cm in Cmb n° 076
 Cedimento minimo = -0.09 cm in Cmb n° 045

Cmb	Sismico n°	Nodo daN/cm ^q	Car.Netto mm	Cedimenti n°	Nodo daN/cm ^q	Car.Netto mm	Cedimenti n°	Nodo daN/cm ^q	Car.Netto mm	Cedimenti
045/SLD	Si	104	-0,079	-0,86	52	-0,079	-0,88	51	-0,079	-1,01
	102	-0,079	-0,88							
076/SLE rare	No	104	-0,115	-1,56	52	-0,114	-1,59	51	-0,113	-1,80
	102	-0,114	-1,76							

ELEMENTO : PLATEA N° 137

Cmb n°	Tipologia	Sismica daN/cm ^q	Press. N1 daN/cm ^q	Press. N2 daN/cm ^q	Press. N3 daN/cm ^q	Press. N4 daN	S. Taglio X daN	S. Taglio Y
065	SLD	Si	-0,108	-0,108	-0,107	-0,108	2,1	12,6
076	SLE rare	No	-0,145	-0,145	-0,143	-0,144	-0,1	0,0

Cedimento massimo = -0.16 cm in Cmb n° 076
 Cedimento minimo = -0.07 cm in Cmb n° 065

Cmb	Sismico n°	Nodo daN/cm ^q	Car.Netto mm	Cedimenti n°	Nodo daN/cm ^q	Car.Netto mm	Cedimenti n°	Nodo daN/cm ^q	Car.Netto mm	Cedimenti
065/SLD	Si	113	-0,079	-0,67	48	-0,079	-0,67	52	-0,079	-0,87
	104	-0,079	-0,86							
076/SLE rare	No	113	-0,117	-1,23	48	-0,116	-1,24	52	-0,114	-1,59
	104	-0,115	-1,56							

ELEMENTO : PLATEA N° 138

Cmb n°	Tipologia	Sismica daN/cm ^q	Press. N1 daN/cm ^q	Press. N2 daN/cm ^q	Press. N3 daN/cm ^q	Press. N4 daN	S. Taglio X daN	S. Taglio Y
045	SLD	Si	-0,108	-0,108	-0,108	-0,108	12,7	3,1
076	SLE rare	No	-0,142	-0,142	-0,143	-0,143	0,0	0,0

Cedimento massimo = -0.22 cm in Cmb n° 076
 Cedimento minimo = -0.10 cm in Cmb n° 045

Cmb	Sismico n°	Nodo daN/cm ^q	Car.Netto mm	Cedimenti n°	Nodo daN/cm ^q	Car.Netto mm	Cedimenti n°	Nodo daN/cm ^q	Car.Netto mm	Cedimenti
-----	---------------	-----------------------------	-----------------	-----------------	-----------------------------	-----------------	-----------------	-----------------------------	-----------------	-----------

045/SLD	Si	115	-0,079	-1,04	49	-0,079	-1,04	50	-0,080	-1,05
		116	-0,080	-1,04						
076/SLE rare	No	115	-0,114	-2,18	49	-0,114	-2,21	50	-0,114	-2,22
		116	-0,115	-2,20						

ELEMENTO : PLATEA N° 139

Cmb n°	Tipologia	Sismica daN/cm ^q	Press. N1 daN/cm ^q	Press. N2 daN/cm ^q	Press. N3 daN/cm ^q	Press. N4 daN	S. Taglio X daN	S. Taglio Y
045	SLD	Si	-0,107	-0,107	-0,108	-0,108	12,8	3,1
076	SLE rare	No	-0,142	-0,141	-0,142	-0,142	0,0	0,0

Cedimento massimo = -0.22 cm in Cmb n° 076

Cedimento minimo = -0.10 cm in Cmb n° 045

Cmb	Sismico n°	Nodo daN/cm ^q	Car.Netto mm	Cedimenti n°	Nodo daN/cm ^q	Car.Netto mm	Cedimenti n°	Nodo daN/cm ^q	Car.Netto mm	Cedimenti
045/SLD	Si	136	-0,079	-1,03	169	-0,079	-1,04	49	-0,079	-1,04
		115	-0,079	-1,04						
076/SLE rare	No	136	-0,113	-2,17	169	-0,113	-2,19	49	-0,114	-2,21
		115	-0,114	-2,18						

ELEMENTO : PLATEA N° 140

Cmb n°	Tipologia	Sismica daN/cm ^q	Press. N1 daN/cm ^q	Press. N2 daN/cm ^q	Press. N3 daN/cm ^q	Press. N4 daN	S. Taglio X daN	S. Taglio Y
045	SLD	Si	-0,107	-0,107	-0,107	-0,107	13,0	3,1
076	SLE rare	No	-0,141	-0,141	-0,141	-0,142	0,0	0,0

Cedimento massimo = -0.22 cm in Cmb n° 076

Cedimento minimo = -0.10 cm in Cmb n° 045

Cmb	Sismico n°	Nodo daN/cm ^q	Car.Netto mm	Cedimenti n°	Nodo daN/cm ^q	Car.Netto mm	Cedimenti n°	Nodo daN/cm ^q	Car.Netto mm	Cedimenti
045/SLD	Si	138	-0,078	-1,02	175	-0,078	-1,03	169	-0,079	-1,04
		136	-0,079	-1,03						
076/SLE rare	No	138	-0,113	-2,15	175	-0,112	-2,18	169	-0,113	-2,19
		136	-0,113	-2,17						

ELEMENTO : PLATEA N° 141

Cmb n°	Tipologia	Sismica daN/cm ^q	Press. N1 daN/cm ^q	Press. N2 daN/cm ^q	Press. N3 daN/cm ^q	Press. N4 daN	S. Taglio X daN	S. Taglio Y
045	SLD	Si	-0,107	-0,107	-0,107	-0,107	13,2	3,1
076	SLE rare	No	-0,141	-0,141	-0,141	-0,141	0,0	0,0

Cedimento massimo = -0.22 cm in Cmb n° 076

Cedimento minimo = -0.10 cm in Cmb n° 045

Cmb	Sismico n°	Nodo daN/cm ^q	Car.Netto mm	Cedimenti n°	Nodo daN/cm ^q	Car.Netto mm	Cedimenti n°	Nodo daN/cm ^q	Car.Netto mm	Cedimenti
045/SLD	Si	139	-0,078	-1,02	176	-0,078	-1,03	175	-0,078	-1,03
		138	-0,078	-1,02						
076/SLE rare	No	139	-0,113	-1,81	176	-0,112	-2,16	175	-0,112	-2,18
		138	-0,113	-2,15						

ELEMENTO : PLATEA N° 142

Cmb n°	Tipologia	Sismica daN/cm ^q	Press. N1 daN/cm ^q	Press. N2 daN/cm ^q	Press. N3 daN/cm ^q	Press. N4 daN	S. Taglio X daN	S. Taglio Y
065	SLD	Si	-0,107	-0,107	-0,107	-0,107	2,7	13,8
076	SLE rare	No	-0,142	-0,142	-0,141	-0,141	0,0	0,0

Cedimento massimo = -0.22 cm in Cmb n° 076

Cedimento minimo = -0.10 cm in Cmb n° 065

Cmb	Sismico n°	Nodo daN/cm ^q	Car.Netto mm	Cedimenti n°	Nodo daN/cm ^q	Car.Netto mm	Cedimenti n°	Nodo daN/cm ^q	Car.Netto mm	Cedimenti
065/SLD	Si	51	-0,079	-1,01	23	-0,079	-1,02	176	-0,078	-1,03
		139	-0,078	-1,02						
076/SLE rare	No	51	-0,113	-1,80	23	-0,113	-1,81	176	-0,112	-2,16
		139	-0,113	-1,81						

ELEMENTO : PLATEA N° 143

Cmb n°	Tipologia	Sismica daN/cm ^q	Press. N1 daN/cm ^q	Press. N2 daN/cm ^q	Press. N3 daN/cm ^q	Press. N4 daN	S. Taglio X daN	S. Taglio Y
065	SLD	Si	-0,107	-0,107	-0,107	-0,107	2,5	13,8
076	SLE rare	No	-0,143	-0,143	-0,142	-0,142	0,0	0,0

Cedimento massimo = -0.18 cm in Cmb n° 076
 Cedimento minimo = -0.09 cm in Cmb n° 065

Cmb	Sismico n°	Nodo daN/cm ^q	Car.Netto mm	Cedimenti n°	Nodo daN/cm ^q	Car.Netto mm	Cedimenti n°	Nodo daN/cm ^q	Car.Netto mm	Cedimenti
065/SLD	Si	52	-0,079	-0,87	30	-0,079	-0,88	23	-0,079	-1,02
	51	-0,079	-1,01							
076/SLE rare	No	52	-0,114	-1,59	30	-0,114	-1,75	23	-0,113	-1,81
	51	-0,113	-1,80							

ELEMENTO : PLATEA N° 144

Cmb n°	Tipologia	Sismica daN/cm ^q	Press. N1 daN/cm ^q	Press. N2 daN/cm ^q	Press. N3 daN/cm ^q	Press. N4 daN	S. Taglio X daN	S. Taglio Y
065	SLD	Si	-0,108	-0,108	-0,107	-0,107	2,5	15,0
076	SLE rare	No	-0,145	-0,145	-0,143	-0,143	0,0	0,0

Cedimento massimo = -0.17 cm in Cmb n° 076
 Cedimento minimo = -0.07 cm in Cmb n° 065

Cmb	Sismico n°	Nodo daN/cm ^q	Car.Netto mm	Cedimenti n°	Nodo daN/cm ^q	Car.Netto mm	Cedimenti n°	Nodo daN/cm ^q	Car.Netto mm	Cedimenti
065/SLD	Si	48	-0,079	-0,67	46	-0,079	-0,67	30	-0,079	-0,88
	52	-0,079	-0,87							
076/SLE rare	No	48	-0,116	-1,24	46	-0,116	-1,25	30	-0,114	-1,75
	52	-0,114	-1,59							

ELEMENTO : PLATEA N° 145

Cmb n°	Tipologia	Sismica daN/cm ^q	Press. N1 daN/cm ^q	Press. N2 daN/cm ^q	Press. N3 daN/cm ^q	Press. N4 daN	S. Taglio X daN	S. Taglio Y
045	SLD	Si	-0,108	-0,108	-0,109	-0,108	12,7	3,6
076	SLE rare	No	-0,142	-0,143	-0,144	-0,143	0,0	0,0

Cedimento massimo = -0.22 cm in Cmb n° 076
 Cedimento minimo = -0.10 cm in Cmb n° 045

Cmb	Sismico n°	Nodo daN/cm ^q	Car.Netto mm	Cedimenti n°	Nodo daN/cm ^q	Car.Netto mm	Cedimenti n°	Nodo daN/cm ^q	Car.Netto mm	Cedimenti
045/SLD	Si	49	-0,079	-1,04	20	-0,080	-1,05	21	-0,080	-1,06
	50	-0,080	-1,05							
076/SLE rare	No	49	-0,114	-2,21	20	-0,114	-2,23	21	-0,115	-2,24
	50	-0,114	-2,22							

ELEMENTO : PLATEA N° 146

Cmb n°	Tipologia	Sismica daN/cm ^q	Press. N1 daN/cm ^q	Press. N2 daN/cm ^q	Press. N3 daN/cm ^q	Press. N4 daN	S. Taglio X daN	S. Taglio Y
045	SLD	Si	-0,107	-0,107	-0,108	-0,108	12,8	3,6
076	SLE rare	No	-0,141	-0,142	-0,143	-0,142	0,0	0,0

Cedimento massimo = -0.22 cm in Cmb n° 076
 Cedimento minimo = -0.10 cm in Cmb n° 045

Cmb	Sismico n°	Nodo daN/cm ^q	Car.Netto mm	Cedimenti n°	Nodo daN/cm ^q	Car.Netto mm	Cedimenti n°	Nodo daN/cm ^q	Car.Netto mm	Cedimenti
045/SLD	Si	169	-0,079	-1,04	22	-0,079	-1,04	20	-0,080	-1,05
	49	-0,079	-1,04							
076/SLE rare	No	169	-0,113	-2,19	22	-0,113	-2,21	20	-0,114	-2,23
	49	-0,114	-2,21							

ELEMENTO : PLATEA N° 147

Cmb n°	Tipologia	Sismica daN/cm ^q	Press. N1 daN/cm ^q	Press. N2 daN/cm ^q	Press. N3 daN/cm ^q	Press. N4 daN	S. Taglio X daN	S. Taglio Y
045	SLD	Si	-0,107	-0,107	-0,107	-0,107	13,0	3,6
076	SLE rare	No	-0,141	-0,141	-0,142	-0,141	0,0	0,0

Cedimento massimo = -0.22 cm in Cmb n° 076
 Cedimento minimo = -0.10 cm in Cmb n° 045

Cmb	Sismico n°	Nodo daN/cm ^q	Car.Netto mm	Cedimenti n°	Nodo daN/cm ^q	Car.Netto mm	Cedimenti n°	Nodo daN/cm ^q	Car.Netto mm	Cedimenti
045/SLD	Si	175	-0,078	-1,03	174	-0,079	-1,04	22	-0,079	-1,04
	169	-0,079	-1,04							
076/SLE rare	No	175	-0,112	-2,18	174	-0,113	-2,19	22	-0,113	-2,21
	169	-0,113	-2,19							

ELEMENTO : PLATEA N° 148

Cmb n°	Tipologia	Sismica daN/cm ^q	Press. N1 daN/cm ^q	Press. N2 daN/cm ^q	Press. N3 daN/cm ^q	Press. N4 daN	S. Taglio X daN	S. Taglio Y
043	SLD	Si	-0,111	-0,110	-0,111	-0,111	-15,8	4,0
076	SLE rare	No	-0,146	-0,146	-0,147	-0,147	0,1	0,0

Cedimento massimo = -0.23 cm in Cmb n° 076
 Cedimento minimo = -0.11 cm in Cmb n° 043

Cmb	Sismico n°	Nodo daN/cm ^q	Car.Netto mm	Cedimenti n°	Nodo daN/cm ^q	Car.Netto mm	Cedimenti n°	Nodo daN/cm ^q	Car.Netto mm	Cedimenti
043/SLD	Si	98	-0,082	-1,07	105	-0,081	-1,06	125	-0,082	-1,07
	126	-0,082	-1,08							
076/SLE rare	No	98	-0,118	-2,26	105	-0,118	-2,24	125	-0,119	-2,25
	126	-0,118	-2,27							

ELEMENTO : PLATEA N° 149

Cmb n°	Tipologia	Sismica daN/cm ^q	Press. N1 daN/cm ^q	Press. N2 daN/cm ^q	Press. N3 daN/cm ^q	Press. N4 daN	S. Taglio X daN	S. Taglio Y
065	SLD	Si	-0,107	-0,107	-0,107	-0,107	2,8	13,8
076	SLE rare	No	-0,141	-0,141	-0,141	-0,141	0,0	0,0

Cedimento massimo = -0.22 cm in Cmb n° 076
 Cedimento minimo = -0.10 cm in Cmb n° 065

Cmb	Sismico n°	Nodo daN/cm ^q	Car.Netto mm	Cedimenti n°	Nodo daN/cm ^q	Car.Netto mm	Cedimenti n°	Nodo daN/cm ^q	Car.Netto mm	Cedimenti
065/SLD	Si	176	-0,078	-1,03	185	-0,078	-1,03	174	-0,078	-1,03
	175	-0,078	-1,03							
076/SLE rare	No	176	-0,112	-2,16	185	-0,113	-2,17	174	-0,113	-2,19
	175	-0,112	-2,18							

ELEMENTO : PLATEA N° 150

Cmb n°	Tipologia	Sismica daN/cm ^q	Press. N1 daN/cm ^q	Press. N2 daN/cm ^q	Press. N3 daN/cm ^q	Press. N4 daN	S. Taglio X daN	S. Taglio Y
065	SLD	Si	-0,107	-0,107	-0,107	-0,107	2,7	13,8
076	SLE rare	No	-0,142	-0,142	-0,141	-0,141	0,0	0,0

Cedimento massimo = -0.22 cm in Cmb n° 076
 Cedimento minimo = -0.10 cm in Cmb n° 065

Cmb	Sismico n°	Nodo daN/cm ^q	Car.Netto mm	Cedimenti n°	Nodo daN/cm ^q	Car.Netto mm	Cedimenti n°	Nodo daN/cm ^q	Car.Netto mm	Cedimenti
065/SLD	Si	23	-0,079	-1,02	186	-0,079	-1,02	185	-0,078	-1,03
	176	-0,078	-1,03							
076/SLE rare	No	23	-0,113	-1,81	186	-0,113	-1,82	185	-0,113	-2,17
	176	-0,112	-2,16							

ELEMENTO : PLATEA N° 151

Cmb n°	Tipologia	Sismica daN/cm ^q	Press. N1 daN/cm ^q	Press. N2 daN/cm ^q	Press. N3 daN/cm ^q	Press. N4 daN	S. Taglio X daN	S. Taglio Y
064	SLD	Si	-0,109	-0,109	-0,110	-0,110	-2,8	-13,7
076	SLE rare	No	-0,145	-0,145	-0,148	-0,148	0,0	0,0

Cedimento massimo = -0.18 cm in Cmb n° 076
 Cedimento minimo = -0.07 cm in Cmb n° 064

Cmb	Sismico n°	Nodo daN/cm ^q	Car.Netto mm	Cedimenti n°	Nodo daN/cm ^q	Car.Netto mm	Cedimenti n°	Nodo daN/cm ^q	Car.Netto mm	Cedimenti
064/SLD	Si	137	-0,081	-0,89	142	-0,081	-0,89	149	-0,081	-0,69
	92	-0,081	-0,69							
076/SLE rare	No	137	-0,117	-1,77	142	-0,117	-1,77	149	-0,119	-1,27

92 -0,120 -1,27

ELEMENTO : PLATEA N° 152

Cmb n°	Tipologia	Sismica daN/cm ^q	Press. N1 daN/cm ^q	Press. N2 daN/cm ^q	Press. N3 daN/cm ^q	Press. N4 daN	S. Taglio X daN	S. Taglio Y
064	SLD	Si	-0,108	-0,108	-0,109	-0,109	-2,9	-13,7
076	SLE rare	No	-0,143	-0,144	-0,145	-0,145	0,0	0,0

Cedimento massimo = -0.18 cm in Cmb n° 076
 Cedimento minimo = -0.09 cm in Cmb n° 064

Cmb	Sismico n°	Nodo daN/cm ^q	Car.Netto mm	Cedimenti n°	Nodo daN/cm ^q	Car.Netto mm	Cedimenti n°	Nodo daN/cm ^q	Car.Netto mm	Cedimenti
064/SLD	Si	150	-0,080	-1,03	156	-0,080	-1,03	142	-0,081	-0,89
	137	-0,081	-0,89							
076/SLE rare	No	150	-0,115	-1,83	156	-0,115	-1,82	142	-0,117	-1,77
	137	-0,117	-1,77							

ELEMENTO : PLATEA N° 153

Cmb n°	Tipologia	Sismica daN/cm ^q	Press. N1 daN/cm ^q	Press. N2 daN/cm ^q	Press. N3 daN/cm ^q	Press. N4 daN	S. Taglio X daN	S. Taglio Y
064	SLD	Si	-0,108	-0,108	-0,108	-0,108	-3,0	-13,7
076	SLE rare	No	-0,142	-0,142	-0,144	-0,143	0,0	0,0

Cedimento massimo = -0.22 cm in Cmb n° 076
 Cedimento minimo = -0.10 cm in Cmb n° 064

Cmb	Sismico n°	Nodo daN/cm ^q	Car.Netto mm	Cedimenti n°	Nodo daN/cm ^q	Car.Netto mm	Cedimenti n°	Nodo daN/cm ^q	Car.Netto mm	Cedimenti
064/SLD	Si	158	-0,079	-1,04	159	-0,079	-1,03	156	-0,080	-1,03
	150	-0,080	-1,03							
076/SLE rare	No	158	-0,114	-2,18	159	-0,114	-2,17	156	-0,115	-1,82
	150	-0,115	-1,83							

ELEMENTO : PLATEA N° 154

Cmb n°	Tipologia	Sismica daN/cm ^q	Press. N1 daN/cm ^q	Press. N2 daN/cm ^q	Press. N3 daN/cm ^q	Press. N4 daN	S. Taglio X daN	S. Taglio Y
064	SLD	Si	-0,108	-0,108	-0,108	-0,108	-3,1	-13,7
076	SLE rare	No	-0,142	-0,143	-0,142	-0,142	0,0	0,0

Cedimento massimo = -0.22 cm in Cmb n° 076
 Cedimento minimo = -0.10 cm in Cmb n° 064

Cmb	Sismico n°	Nodo daN/cm ^q	Car.Netto mm	Cedimenti n°	Nodo daN/cm ^q	Car.Netto mm	Cedimenti n°	Nodo daN/cm ^q	Car.Netto mm	Cedimenti
064/SLD	Si	160	-0,079	-1,04	161	-0,079	-1,04	159	-0,079	-1,03
	158	-0,079	-1,04							
076/SLE rare	No	160	-0,114	-2,20	161	-0,114	-2,18	159	-0,114	-2,17
	158	-0,114	-2,18							

ELEMENTO : PLATEA N° 155

Cmb n°	Tipologia	Sismica daN/cm ^q	Press. N1 daN/cm ^q	Press. N2 daN/cm ^q	Press. N3 daN/cm ^q	Press. N4 daN	S. Taglio X daN	S. Taglio Y
052	SLD	Si	-0,108	-0,108	-0,108	-0,108	-13,1	-3,1
076	SLE rare	No	-0,143	-0,143	-0,143	-0,142	0,0	0,0

Cedimento massimo = -0.22 cm in Cmb n° 076
 Cedimento minimo = -0.10 cm in Cmb n° 052

Cmb	Sismico n°	Nodo daN/cm ^q	Car.Netto mm	Cedimenti n°	Nodo daN/cm ^q	Car.Netto mm	Cedimenti n°	Nodo daN/cm ^q	Car.Netto mm	Cedimenti
052/SLD	Si	162	-0,080	-1,05	163	-0,080	-1,04	161	-0,079	-1,04
	160	-0,079	-1,04							
076/SLE rare	No	162	-0,115	-2,22	163	-0,115	-2,20	161	-0,114	-2,18
	160	-0,114	-2,20							

ELEMENTO : PLATEA N° 156

Cmb n°	Tipologia	Sismica daN/cm ^q	Press. N1 daN/cm ^q	Press. N2 daN/cm ^q	Press. N3 daN/cm ^q	Press. N4 daN	S. Taglio X daN	S. Taglio Y
069	SLD	Si	-0,107	-0,108	-0,107	-0,107	1,7	14,1

076 SLE rare No -0,143 -0,144 -0,142 -0,142 0,0 0,0

Cedimento massimo = -0.18 cm in Cmb n° 076
 Cedimento minimo = -0.09 cm in Cmb n° 069

Cmb	Sismico n°	Nodo daN/cm ^q	Car.Netto mm	Cedimenti n°	Nodo daN/cm ^q	Car.Netto mm	Cedimenti n°	Nodo daN/cm ^q	Car.Netto mm	Cedimenti
069/SLD	Si	30	-0,079	-0,88	187	-0,079	-0,88	186	-0,079	-1,02
	23	-0,079	-1,02							
076/SLE rare	No	30	-0,114	-1,75	187	-0,115	-1,76	186	-0,113	-1,82
	23	-0,113	-1,81							

ELEMENTO : PLATEA N° 157

Cmb n°	Tipologia	Sismica daN/cm ^q	Press. N1 daN/cm ^q	Press. N2 daN/cm ^q	Press. N3 daN/cm ^q	Press. N4 daN	S. Taglio X daN	S. Taglio Y
043	SLD	Si	-0,109	-0,108	-0,108	-0,108	-10,0	1,3
076	SLE rare	No	-0,147	-0,146	-0,145	-0,145	0,0	0,0

Cedimento massimo = -0.16 cm in Cmb n° 076
 Cedimento minimo = -0.06 cm in Cmb n° 043

Cmb	Sismico n°	Nodo daN/cm ^q	Car.Netto mm	Cedimenti n°	Nodo daN/cm ^q	Car.Netto mm	Cedimenti n°	Nodo daN/cm ^q	Car.Netto mm	Cedimenti
043/SLD	Si	220	-0,081	-0,67	213	-0,080	-0,56	218	-0,079	-0,72
	219	-0,080	-0,86							
076/SLE rare	No	220	-0,118	-1,23	213	-0,118	-1,06	218	-0,116	-1,33
	219	-0,116	-1,56							

ELEMENTO : PLATEA N° 158

Cmb n°	Tipologia	Sismica daN/cm ^q	Press. N1 daN/cm ^q	Press. N2 daN/cm ^q	Press. N3 daN/cm ^q	Press. N4 daN	S. Taglio X daN	S. Taglio Y
043	SLD	Si	-0,108	-0,108	-0,107	-0,108	-9,1	1,2
076	SLE rare	No	-0,145	-0,145	-0,143	-0,143	0,0	0,0

Cedimento massimo = -0.17 cm in Cmb n° 076
 Cedimento minimo = -0.07 cm in Cmb n° 043

Cmb	Sismico n°	Nodo daN/cm ^q	Car.Netto mm	Cedimenti n°	Nodo daN/cm ^q	Car.Netto mm	Cedimenti n°	Nodo daN/cm ^q	Car.Netto mm	Cedimenti
043/SLD	Si	219	-0,080	-0,86	218	-0,079	-0,72	221	-0,079	-0,83
	222	-0,079	-0,88							
076/SLE rare	No	219	-0,116	-1,56	218	-0,116	-1,33	221	-0,115	-1,48
	222	-0,115	-1,74							

ELEMENTO : PLATEA N° 159

Cmb n°	Tipologia	Sismica daN/cm ^q	Press. N1 daN/cm ^q	Press. N2 daN/cm ^q	Press. N3 daN/cm ^q	Press. N4 daN	S. Taglio X daN	S. Taglio Y
043	SLD	Si	-0,108	-0,107	-0,107	-0,107	-10,4	1,4
076	SLE rare	No	-0,143	-0,143	-0,142	-0,143	0,0	0,0

Cedimento massimo = -0.18 cm in Cmb n° 076
 Cedimento minimo = -0.08 cm in Cmb n° 043

Cmb	Sismico n°	Nodo daN/cm ^q	Car.Netto mm	Cedimenti n°	Nodo daN/cm ^q	Car.Netto mm	Cedimenti n°	Nodo daN/cm ^q	Car.Netto mm	Cedimenti
043/SLD	Si	222	-0,079	-0,88	221	-0,079	-0,83	223	-0,078	-0,83
	224	-0,079	-0,88							
076/SLE rare	No	222	-0,115	-1,74	221	-0,115	-1,48	223	-0,114	-1,49
	224	-0,114	-1,76							

ELEMENTO : PLATEA N° 160

Cmb n°	Tipologia	Sismica daN/cm ^q	Press. N1 daN/cm ^q	Press. N2 daN/cm ^q	Press. N3 daN/cm ^q	Press. N4 daN	S. Taglio X daN	S. Taglio Y
043	SLD	Si	-0,107	-0,107	-0,107	-0,107	-9,5	1,3
076	SLE rare	No	-0,143	-0,142	-0,142	-0,143	0,0	0,0

Cedimento massimo = -0.18 cm in Cmb n° 076
 Cedimento minimo = -0.08 cm in Cmb n° 043

Cmb	Sismico n°	Nodo daN/cm ^q	Car.Netto mm	Cedimenti n°	Nodo daN/cm ^q	Car.Netto mm	Cedimenti n°	Nodo daN/cm ^q	Car.Netto mm	Cedimenti
-----	---------------	-----------------------------	-----------------	-----------------	-----------------------------	-----------------	-----------------	-----------------------------	-----------------	-----------

043/SLD	Si	224	-0,079	-0,88	223	-0,078	-0,83	225	-0,078	-0,83
		226	-0,079	-0,88						
076/SLE rare	No	224	-0,114	-1,76	223	-0,114	-1,49	225	-0,114	-1,50
		226	-0,114	-1,76						

ELEMENTO : PLATEA N° 161

Cmb n°	Tipologia	Sismica daN/cm ^q	Press. N1 daN/cm ^q	Press. N2 daN/cm ^q	Press. N3 daN/cm ^q	Press. N4 daN	S. Taglio X daN	S. Taglio Y
043	SLD	Si	-0,107	-0,107	-0,107	-0,107	-9,4	1,3
076	SLE rare	No	-0,143	-0,142	-0,143	-0,143	0,0	0,0

Cedimento massimo = -0.18 cm in Cmb n° 076
 Cedimento minimo = -0.08 cm in Cmb n° 043

Cmb	Sismico n°	Nodo daN/cm ^q	Car.Netto mm	Cedimenti n°	Nodo daN/cm ^q	Car.Netto mm	Cedimenti n°	Nodo daN/cm ^q	Car.Netto mm	Cedimenti
043/SLD	Si	226	-0,079	-0,88	225	-0,078	-0,83	227	-0,078	-0,83
		228	-0,079	-0,89						
076/SLE rare	No	226	-0,114	-1,76	225	-0,114	-1,50	227	-0,115	-1,51
		228	-0,115	-1,78						

ELEMENTO : PLATEA N° 162

Cmb n°	Tipologia	Sismica daN/cm ^q	Press. N1 daN/cm ^q	Press. N2 daN/cm ^q	Press. N3 daN/cm ^q	Press. N4 daN	S. Taglio X daN	S. Taglio Y
043	SLD	Si	-0,107	-0,107	-0,107	-0,108	-7,4	1,0
076	SLE rare	No	-0,143	-0,143	-0,144	-0,145	0,0	0,0

Cedimento massimo = -0.18 cm in Cmb n° 076
 Cedimento minimo = -0.08 cm in Cmb n° 043

Cmb	Sismico n°	Nodo daN/cm ^q	Car.Netto mm	Cedimenti n°	Nodo daN/cm ^q	Car.Netto mm	Cedimenti n°	Nodo daN/cm ^q	Car.Netto mm	Cedimenti
043/SLD	Si	228	-0,079	-0,89	227	-0,078	-0,83	229	-0,079	-0,83
		230	-0,079	-0,89						
076/SLE rare	No	228	-0,115	-1,78	227	-0,115	-1,51	229	-0,115	-1,51
		230	-0,116	-1,79						

ELEMENTO : PLATEA N° 163

Cmb n°	Tipologia	Sismica daN/cm ^q	Press. N1 daN/cm ^q	Press. N2 daN/cm ^q	Press. N3 daN/cm ^q	Press. N4 daN	S. Taglio X daN	S. Taglio Y
043	SLD	Si	-0,108	-0,107	-0,108	-0,109	-10,9	1,6
076	SLE rare	No	-0,145	-0,144	-0,145	-0,146	0,1	0,0

Cedimento massimo = -0.18 cm in Cmb n° 076
 Cedimento minimo = -0.08 cm in Cmb n° 043

Cmb	Sismico n°	Nodo daN/cm ^q	Car.Netto mm	Cedimenti n°	Nodo daN/cm ^q	Car.Netto mm	Cedimenti n°	Nodo daN/cm ^q	Car.Netto mm	Cedimenti
043/SLD	Si	230	-0,079	-0,89	229	-0,079	-0,83	211	-0,079	-0,84
		231	-0,080	-0,90						
076/SLE rare	No	230	-0,116	-1,79	229	-0,115	-1,51	211	-0,117	-1,53
		231	-0,117	-1,81						

ELEMENTO : PLATEA N° 164

Cmb n°	Tipologia	Sismica daN/cm ^q	Press. N1 daN/cm ^q	Press. N2 daN/cm ^q	Press. N3 daN/cm ^q	Press. N4 daN	S. Taglio X daN	S. Taglio Y
043	SLD	Si	-0,110	-0,109	-0,108	-0,109	-12,8	2,1
076	SLE rare	No	-0,148	-0,147	-0,145	-0,145	0,0	0,0

Cedimento massimo = -0.16 cm in Cmb n° 076
 Cedimento minimo = -0.07 cm in Cmb n° 043

Cmb	Sismico n°	Nodo daN/cm ^q	Car.Netto mm	Cedimenti n°	Nodo daN/cm ^q	Car.Netto mm	Cedimenti n°	Nodo daN/cm ^q	Car.Netto mm	Cedimenti
043/SLD	Si	233	-0,082	-0,69	220	-0,081	-0,67	219	-0,080	-0,86
		232	-0,080	-0,89						
076/SLE rare	No	233	-0,119	-1,27	220	-0,118	-1,23	219	-0,116	-1,56
		232	-0,117	-1,60						

ELEMENTO : PLATEA N° 165

Cmb n°	Tipologia	Sismica daN/cm ^q	Press. N1 daN/cm ^q	Press. N2 daN/cm ^q	Press. N3 daN/cm ^q	Press. N4 daN	S. Taglio X daN	S. Taglio Y
043	SLD	Si	-0,109	-0,108	-0,108	-0,108	-9,9	1,6
076	SLE rare	No	-0,145	-0,145	-0,143	-0,144	0,0	0,0

Cedimento massimo = -0.18 cm in Cmb n° 076
 Cedimento minimo = -0.09 cm in Cmb n° 043

Cmb	Sismico n°	Nodo daN/cm ^q	Car.Netto mm	Cedimenti n°	Nodo daN/cm ^q	Car.Netto mm	Cedimenti n°	Nodo daN/cm ^q	Car.Netto mm	Cedimenti
043/SLD	Si	232	-0,080	-0,89	219	-0,080	-0,86	222	-0,079	-0,88
	234	-0,080	-0,90							
076/SLE rare	No	232	-0,117	-1,60	219	-0,116	-1,56	222	-0,115	-1,74
	234	-0,115	-1,80							

ELEMENTO : PLATEA N° 166

Cmb n°	Tipologia	Sismica daN/cm ^q	Press. N1 daN/cm ^q	Press. N2 daN/cm ^q	Press. N3 daN/cm ^q	Press. N4 daN	S. Taglio X daN	S. Taglio Y
043	SLD	Si	-0,108	-0,107	-0,107	-0,108	-9,7	1,6
076	SLE rare	No	-0,144	-0,143	-0,143	-0,143	0,0	0,0

Cedimento massimo = -0.18 cm in Cmb n° 076
 Cedimento minimo = -0.09 cm in Cmb n° 043

Cmb	Sismico n°	Nodo daN/cm ^q	Car.Netto mm	Cedimenti n°	Nodo daN/cm ^q	Car.Netto mm	Cedimenti n°	Nodo daN/cm ^q	Car.Netto mm	Cedimenti
043/SLD	Si	234	-0,080	-0,90	222	-0,079	-0,88	224	-0,079	-0,88
	235	-0,079	-1,02							
076/SLE rare	No	234	-0,115	-1,80	222	-0,115	-1,74	224	-0,114	-1,76
	235	-0,114	-1,81							

ELEMENTO : PLATEA N° 167

Cmb n°	Tipologia	Sismica daN/cm ^q	Press. N1 daN/cm ^q	Press. N2 daN/cm ^q	Press. N3 daN/cm ^q	Press. N4 daN	S. Taglio X daN	S. Taglio Y
043	SLD	Si	-0,108	-0,107	-0,107	-0,108	-9,5	1,6
076	SLE rare	No	-0,143	-0,143	-0,143	-0,143	0,0	0,0

Cedimento massimo = -0.18 cm in Cmb n° 076
 Cedimento minimo = -0.09 cm in Cmb n° 043

Cmb	Sismico n°	Nodo daN/cm ^q	Car.Netto mm	Cedimenti n°	Nodo daN/cm ^q	Car.Netto mm	Cedimenti n°	Nodo daN/cm ^q	Car.Netto mm	Cedimenti
043/SLD	Si	235	-0,079	-1,02	224	-0,079	-0,88	226	-0,079	-0,88
	236	-0,079	-1,02							
076/SLE rare	No	235	-0,114	-1,81	224	-0,114	-1,76	226	-0,114	-1,76
	236	-0,114	-1,82							

ELEMENTO : PLATEA N° 168

Cmb n°	Tipologia	Sismica daN/cm ^q	Press. N1 daN/cm ^q	Press. N2 daN/cm ^q	Press. N3 daN/cm ^q	Press. N4 daN	S. Taglio X daN	S. Taglio Y
043	SLD	Si	-0,108	-0,107	-0,107	-0,108	-9,4	1,6
076	SLE rare	No	-0,143	-0,143	-0,143	-0,143	0,0	0,0

Cedimento massimo = -0.18 cm in Cmb n° 076
 Cedimento minimo = -0.09 cm in Cmb n° 043

Cmb	Sismico n°	Nodo daN/cm ^q	Car.Netto mm	Cedimenti n°	Nodo daN/cm ^q	Car.Netto mm	Cedimenti n°	Nodo daN/cm ^q	Car.Netto mm	Cedimenti
043/SLD	Si	236	-0,079	-1,02	226	-0,079	-0,88	228	-0,079	-0,89
	237	-0,079	-1,03							
076/SLE rare	No	236	-0,114	-1,82	226	-0,114	-1,76	228	-0,115	-1,78
	237	-0,115	-1,83							

ELEMENTO : PLATEA N° 169

Cmb n°	Tipologia	Sismica daN/cm ^q	Press. N1 daN/cm ^q	Press. N2 daN/cm ^q	Press. N3 daN/cm ^q	Press. N4 daN	S. Taglio X daN	S. Taglio Y
043	SLD	Si	-0,108	-0,107	-0,108	-0,109	-9,2	1,6
076	SLE rare	No	-0,143	-0,143	-0,145	-0,145	0,0	0,0

Cedimento massimo = -0.22 cm in Cmb n° 076

Cedimento minimo = -0.09 cm in Cmb n° 043

Cmb	Sismico n°	Nodo daN/cm ^q	Car.Netto mm	Cedimenti n°	Nodo daN/cm ^q	Car.Netto mm	Cedimenti n°	Nodo daN/cm ^q	Car.Netto mm	Cedimenti
043/SLD	Si	237	-0,079	-1,03	228	-0,079	-0,89	230	-0,079	-0,89
	238	-0,080	-1,04							
076/SLE rare	No	237	-0,115	-1,83	228	-0,115	-1,78	230	-0,116	-1,79
	238	-0,116	-2,19							

ELEMENTO : PLATEA N° 170

Cmb n°	Tipologia	Sismica daN/cm ^q	Press. N1 daN/cm ^q	Press. N2 daN/cm ^q	Press. N3 daN/cm ^q	Press. N4 daN	S. Taglio X daN	S. Taglio Y
043	SLD	Si	-0,109	-0,108	-0,109	-0,109	-9,1	1,6
076	SLE rare	No	-0,145	-0,145	-0,146	-0,146	0,1	0,0

Cedimento massimo = -0.22 cm in Cmb n° 076

Cedimento minimo = -0.09 cm in Cmb n° 043

Cmb	Sismico n°	Nodo daN/cm ^q	Car.Netto mm	Cedimenti n°	Nodo daN/cm ^q	Car.Netto mm	Cedimenti n°	Nodo daN/cm ^q	Car.Netto mm	Cedimenti
043/SLD	Si	238	-0,080	-1,04	230	-0,079	-0,89	231	-0,080	-0,90
	239	-0,081	-1,04							
076/SLE rare	No	238	-0,116	-2,19	230	-0,116	-1,79	231	-0,117	-1,81
	239	-0,117	-2,20							

ELEMENTO : PLATEA N° 171

Cmb n°	Tipologia	Sismica daN/cm ^q	Press. N1 daN/cm ^q	Press. N2 daN/cm ^q	Press. N3 daN/cm ^q	Press. N4 daN	S. Taglio X daN	S. Taglio Y
059	SLD	Si	-0,110	-0,110	-0,109	-0,109	-1,4	7,1
076	SLE rare	No	-0,148	-0,148	-0,145	-0,146	0,0	0,0

Cedimento massimo = -0.18 cm in Cmb n° 076

Cedimento minimo = -0.07 cm in Cmb n° 059

Cmb	Sismico n°	Nodo daN/cm ^q	Car.Netto mm	Cedimenti n°	Nodo daN/cm ^q	Car.Netto mm	Cedimenti n°	Nodo daN/cm ^q	Car.Netto mm	Cedimenti
059/SLD	Si	121	-0,081	-0,69	233	-0,081	-0,69	232	-0,080	-0,88
	120	-0,081	-0,89							
076/SLE rare	No	121	-0,119	-1,27	233	-0,119	-1,27	232	-0,117	-1,60
	120	-0,117	-1,77							

ELEMENTO : PLATEA N° 172

Cmb n°	Tipologia	Sismica daN/cm ^q	Press. N1 daN/cm ^q	Press. N2 daN/cm ^q	Press. N3 daN/cm ^q	Press. N4 daN	S. Taglio X daN	S. Taglio Y
059	SLD	Si	-0,109	-0,109	-0,108	-0,108	-2,1	9,7
076	SLE rare	No	-0,146	-0,145	-0,144	-0,144	0,0	0,0

Cedimento massimo = -0.18 cm in Cmb n° 076

Cedimento minimo = -0.09 cm in Cmb n° 059

Cmb	Sismico n°	Nodo daN/cm ^q	Car.Netto mm	Cedimenti n°	Nodo daN/cm ^q	Car.Netto mm	Cedimenti n°	Nodo daN/cm ^q	Car.Netto mm	Cedimenti
059/SLD	Si	120	-0,081	-0,89	232	-0,080	-0,88	234	-0,080	-0,90
	118	-0,080	-1,03							
076/SLE rare	No	120	-0,117	-1,77	232	-0,117	-1,60	234	-0,115	-1,80
	118	-0,115	-1,82							

ELEMENTO : PLATEA N° 173

Cmb n°	Tipologia	Sismica daN/cm ^q	Press. N1 daN/cm ^q	Press. N2 daN/cm ^q	Press. N3 daN/cm ^q	Press. N4 daN	S. Taglio X daN	S. Taglio Y
043	SLD	Si	-0,108	-0,108	-0,108	-0,108	-9,7	1,9
076	SLE rare	No	-0,144	-0,144	-0,143	-0,142	0,0	0,0

Cedimento massimo = -0.22 cm in Cmb n° 076

Cedimento minimo = -0.09 cm in Cmb n° 043

Cmb	Sismico n°	Nodo daN/cm ^q	Car.Netto mm	Cedimenti n°	Nodo daN/cm ^q	Car.Netto mm	Cedimenti n°	Nodo daN/cm ^q	Car.Netto mm	Cedimenti
043/SLD	Si	118	-0,080	-1,03	234	-0,080	-0,90	235	-0,079	-1,02
	112	-0,079	-1,03							

076/SLE rare	No	118	-0,115	-1,82	234	-0,115	-1,80	235	-0,114	-1,81
	112	-0,114	-2,17							

ELEMENTO : PLATEA N° 174

Cmb n°	Tipologia	Sismica daN/cm ^q	Press. N1 daN/cm ^q	Press. N2 daN/cm ^q	Press. N3 daN/cm ^q	Press. N4 daN	S. Taglio X daN	S. Taglio Y
043	SLD	Si	-0,108	-0,108	-0,108	-0,108	-9,5	1,9
076	SLE rare	No	-0,142	-0,143	-0,143	-0,142	0,0	0,0

Cedimento massimo = -0.22 cm in Cmb n° 076

Cedimento minimo = -0.10 cm in Cmb n° 043

Cmb n°	Sismico n°	Nodo daN/cm ^q	Car.Netto mm	Cedimenti n°	Nodo daN/cm ^q	Car.Netto mm	Cedimenti n°	Nodo daN/cm ^q	Car.Netto mm	Cedimenti
043/SLD	Si	112	-0,079	-1,03	235	-0,079	-1,02	236	-0,079	-1,02
	109	-0,079	-1,04							
076/SLE rare	No	112	-0,114	-2,17	235	-0,114	-1,81	236	-0,114	-1,82
	109	-0,114	-2,18							

ELEMENTO : PLATEA N° 175

Cmb n°	Tipologia	Sismica daN/cm ^q	Press. N1 daN/cm ^q	Press. N2 daN/cm ^q	Press. N3 daN/cm ^q	Press. N4 daN	S. Taglio X daN	S. Taglio Y
043	SLD	Si	-0,108	-0,108	-0,108	-0,108	-9,4	1,9
076	SLE rare	No	-0,142	-0,143	-0,143	-0,143	0,0	0,0

Cedimento massimo = -0.22 cm in Cmb n° 076

Cedimento minimo = -0.10 cm in Cmb n° 043

Cmb n°	Sismico n°	Nodo daN/cm ^q	Car.Netto mm	Cedimenti n°	Nodo daN/cm ^q	Car.Netto mm	Cedimenti n°	Nodo daN/cm ^q	Car.Netto mm	Cedimenti
043/SLD	Si	109	-0,079	-1,04	236	-0,079	-1,02	237	-0,079	-1,03
	107	-0,080	-1,04							
076/SLE rare	No	109	-0,114	-2,18	236	-0,114	-1,82	237	-0,115	-1,83
	107	-0,115	-2,20							

ELEMENTO : PLATEA N° 176

Cmb n°	Tipologia	Sismica daN/cm ^q	Press. N1 daN/cm ^q	Press. N2 daN/cm ^q	Press. N3 daN/cm ^q	Press. N4 daN	S. Taglio X daN	S. Taglio Y
043	SLD	Si	-0,108	-0,108	-0,109	-0,109	-9,2	1,9
076	SLE rare	No	-0,143	-0,143	-0,145	-0,145	0,0	0,0

Cedimento massimo = -0.22 cm in Cmb n° 076

Cedimento minimo = -0.10 cm in Cmb n° 043

Cmb n°	Sismico n°	Nodo daN/cm ^q	Car.Netto mm	Cedimenti n°	Nodo daN/cm ^q	Car.Netto mm	Cedimenti n°	Nodo daN/cm ^q	Car.Netto mm	Cedimenti
043/SLD	Si	107	-0,080	-1,04	237	-0,079	-1,03	238	-0,080	-1,04
	91	-0,081	-1,05							
076/SLE rare	No	107	-0,115	-2,20	237	-0,115	-1,83	238	-0,116	-2,19
	91	-0,116	-2,23							

ELEMENTO : PLATEA N° 177

Cmb n°	Tipologia	Sismica daN/cm ^q	Press. N1 daN/cm ^q	Press. N2 daN/cm ^q	Press. N3 daN/cm ^q	Press. N4 daN	S. Taglio X daN	S. Taglio Y
043	SLD	Si	-0,109	-0,109	-0,109	-0,110	-9,1	1,9
076	SLE rare	No	-0,145	-0,145	-0,146	-0,146	0,1	0,0

Cedimento massimo = -0.22 cm in Cmb n° 076

Cedimento minimo = -0.10 cm in Cmb n° 043

Cmb n°	Sismico n°	Nodo daN/cm ^q	Car.Netto mm	Cedimenti n°	Nodo daN/cm ^q	Car.Netto mm	Cedimenti n°	Nodo daN/cm ^q	Car.Netto mm	Cedimenti
043/SLD	Si	91	-0,081	-1,05	238	-0,080	-1,04	239	-0,081	-1,04
	105	-0,081	-1,06							
076/SLE rare	No	91	-0,116	-2,23	238	-0,116	-2,19	239	-0,117	-2,20
	105	-0,118	-2,24							

ELEMENTO : PLATEA N° 178

Cmb n°	Tipologia	Sismica daN/cm ^q	Press. N1 daN/cm ^q	Press. N2 daN/cm ^q	Press. N3 daN/cm ^q	Press. N4 daN	S. Taglio X daN	S. Taglio Y
--------	-----------	-----------------------------	-------------------------------	-------------------------------	-------------------------------	---------------	-----------------	-------------

059	SLD	Si	-0,110	-0,110	-0,110	-0,110	-0,8	4,1
076	SLE rare	No	-0,149	-0,149	-0,148	-0,148	0,0	0,0

Cedimento massimo = -0.13 cm in Cmb n° 076
 Cedimento minimo = -0.03 cm in Cmb n° 059

Cmb	Sismico n°	Nodo daN/cm ²	Car.Netto mm	Cedimenti n°	Nodo daN/cm ²	Car.Netto mm	Cedimenti n°	Nodo daN/cm ²	Car.Netto mm	Cedimenti
059/SLD	Si	82	-0,082	-0,27	240	-0,081	-0,27	233	-0,081	-0,69
	121	-0,081	-0,69							
076/SLE rare	No	82	-0,121	-0,59	240	-0,120	-0,59	233	-0,119	-1,27
	121	-0,119	-1,27							

ELEMENTO : PLATEA N° 179

Cmb n°	Tipologia	Sismica daN/cm ²	Press. N1 daN/cm ²	Press. N2 daN/cm ²	Press. N3 daN/cm ²	Press. N4 daN	S. Taglio X daN	S. Taglio Y
059	SLD	Si	-0,110	-0,110	-0,109	-0,110	-1,4	7,1
076	SLE rare	No	-0,149	-0,148	-0,147	-0,148	0,0	0,0

Cedimento massimo = -0.13 cm in Cmb n° 076
 Cedimento minimo = -0.03 cm in Cmb n° 059

Cmb	Sismico n°	Nodo daN/cm ²	Car.Netto mm	Cedimenti n°	Nodo daN/cm ²	Car.Netto mm	Cedimenti n°	Nodo daN/cm ²	Car.Netto mm	Cedimenti
059/SLD	Si	240	-0,081	-0,27	241	-0,081	-0,27	220	-0,081	-0,67
	233	-0,081	-0,69							
076/SLE rare	No	240	-0,120	-0,59	241	-0,120	-0,58	220	-0,118	-1,23
	233	-0,119	-1,27							

ELEMENTO : PLATEA N° 180

Cmb n°	Tipologia	Sismica daN/cm ²	Press. N1 daN/cm ²	Press. N2 daN/cm ²	Press. N3 daN/cm ²	Press. N4 daN	S. Taglio X daN	S. Taglio Y
043	SLD	Si	-0,110	-0,109	-0,108	-0,109	-5,9	0,8
076	SLE rare	No	-0,148	-0,148	-0,146	-0,147	0,0	0,0

Cedimento massimo = -0.12 cm in Cmb n° 076
 Cedimento minimo = -0.03 cm in Cmb n° 043

Cmb	Sismico n°	Nodo daN/cm ²	Car.Netto mm	Cedimenti n°	Nodo daN/cm ²	Car.Netto mm	Cedimenti n°	Nodo daN/cm ²	Car.Netto mm	Cedimenti
043/SLD	Si	241	-0,081	-0,27	242	-0,080	-0,26	213	-0,080	-0,56
	220	-0,081	-0,67							
076/SLE rare	No	241	-0,120	-0,58	242	-0,119	-0,47	213	-0,118	-1,06
	220	-0,118	-1,23							

ELEMENTO : PLATEA N° 181

Cmb n°	Tipologia	Sismica daN/cm ²	Press. N1 daN/cm ²	Press. N2 daN/cm ²	Press. N3 daN/cm ²	Press. N4 daN	S. Taglio X daN	S. Taglio Y
064	SLD	Si	-0,110	-0,110	-0,110	-0,110	-0,8	-4,1
076	SLE rare	No	-0,148	-0,148	-0,149	-0,149	0,0	0,0

Cedimento massimo = -0.13 cm in Cmb n° 076
 Cedimento minimo = -0.03 cm in Cmb n° 064

Cmb	Sismico n°	Nodo daN/cm ²	Car.Netto mm	Cedimenti n°	Nodo daN/cm ²	Car.Netto mm	Cedimenti n°	Nodo daN/cm ²	Car.Netto mm	Cedimenti
064/SLD	Si	149	-0,081	-0,69	243	-0,081	-0,69	244	-0,081	-0,27
	129	-0,082	-0,27							
076/SLE rare	No	149	-0,119	-1,27	243	-0,119	-1,27	244	-0,120	-0,59
	129	-0,121	-0,59							

ELEMENTO : PLATEA N° 182

Cmb n°	Tipologia	Sismica daN/cm ²	Press. N1 daN/cm ²	Press. N2 daN/cm ²	Press. N3 daN/cm ²	Press. N4 daN	S. Taglio X daN	S. Taglio Y
064	SLD	Si	-0,110	-0,109	-0,109	-0,110	-1,4	-7,1
076	SLE rare	No	-0,148	-0,147	-0,148	-0,149	0,0	0,0

Cedimento massimo = -0.13 cm in Cmb n° 076
 Cedimento minimo = -0.03 cm in Cmb n° 064

Cmb	Sismico	Nodo	Car.Netto	Cedimenti	Nodo	Car.Netto	Cedimenti	Nodo	Car.Netto	Cedimenti
-----	---------	------	-----------	-----------	------	-----------	-----------	------	-----------	-----------

	<i>n°</i>	<i>daN/cmq</i>	<i>mm</i>	<i>n°</i>	<i>daN/cmq</i>	<i>mm</i>	<i>n°</i>	<i>daN/cmq</i>	<i>mm</i>	
064/SLD	Si	243	-0,081	-0,69	245	-0,081	-0,67	246	-0,081	-0,27
	244	-0,081	-0,27							
076/SLE rare	No	243	-0,119	-1,27	245	-0,118	-1,23	246	-0,120	-0,58
	244	-0,120	-0,59							

ELEMENTO : PLATEA N° 183

Cmb <i>n°</i>	Tipologia	Sismica <i>daN/cmq</i>	Press. N1 <i>daN/cmq</i>	Press. N2 <i>daN/cmq</i>	Press. N3 <i>daN/cmq</i>	Press. N4 <i>daN</i>	S. Taglio X <i>daN</i>	S. Taglio Y
052	SLD	Si	-0,109	-0,108	-0,109	-0,110	-5,9	-0,8
076	SLE rare	No	-0,147	-0,146	-0,147	-0,148	0,0	0,0

Cedimento massimo = -0.12 cm in Cmb n° 076

Cedimento minimo = -0.03 cm in Cmb n° 052

Cmb	Sismico <i>n°</i>	Nodo <i>daN/cmq</i>	Car.Netto <i>mm</i>	Cedimenti <i>n°</i>	Nodo <i>daN/cmq</i>	Car.Netto <i>mm</i>	Cedimenti <i>n°</i>	Nodo <i>daN/cmq</i>	Car.Netto <i>mm</i>	Cedimenti
052/SLD	Si	245	-0,081	-0,67	215	-0,080	-0,56	247	-0,080	-0,26
	246	-0,081	-0,27							
076/SLE rare	No	245	-0,118	-1,23	215	-0,118	-1,06	247	-0,119	-0,47
	246	-0,120	-0,58							

ELEMENTO : PLATEA N° 184

Cmb <i>n°</i>	Tipologia	Sismica <i>daN/cmq</i>	Press. N1 <i>daN/cmq</i>	Press. N2 <i>daN/cmq</i>	Press. N3 <i>daN/cmq</i>	Press. N4 <i>daN</i>	S. Taglio X <i>daN</i>	S. Taglio Y
052	SLD	Si	-0,109	-0,108	-0,107	-0,108	-10,9	-1,6
076	SLE rare	No	-0,146	-0,145	-0,144	-0,145	0,1	0,0

Cedimento massimo = -0.18 cm in Cmb n° 076

Cedimento minimo = -0.08 cm in Cmb n° 052

Cmb	Sismico <i>n°</i>	Nodo <i>daN/cmq</i>	Car.Netto <i>mm</i>	Cedimenti <i>n°</i>	Nodo <i>daN/cmq</i>	Car.Netto <i>mm</i>	Cedimenti <i>n°</i>	Nodo <i>daN/cmq</i>	Car.Netto <i>mm</i>	Cedimenti
052/SLD	Si	250	-0,080	-0,90	216	-0,079	-0,84	248	-0,079	-0,83
	249	-0,079	-0,89							
076/SLE rare	No	250	-0,117	-1,81	216	-0,117	-1,53	248	-0,115	-1,51
	249	-0,116	-1,79							

ELEMENTO : PLATEA N° 185

Cmb <i>n°</i>	Tipologia	Sismica <i>daN/cmq</i>	Press. N1 <i>daN/cmq</i>	Press. N2 <i>daN/cmq</i>	Press. N3 <i>daN/cmq</i>	Press. N4 <i>daN</i>	S. Taglio X <i>daN</i>	S. Taglio Y
052	SLD	Si	-0,108	-0,107	-0,107	-0,107	-7,4	-1,0
076	SLE rare	No	-0,145	-0,144	-0,143	-0,143	0,0	0,0

Cedimento massimo = -0.18 cm in Cmb n° 076

Cedimento minimo = -0.08 cm in Cmb n° 052

Cmb	Sismico <i>n°</i>	Nodo <i>daN/cmq</i>	Car.Netto <i>mm</i>	Cedimenti <i>n°</i>	Nodo <i>daN/cmq</i>	Car.Netto <i>mm</i>	Cedimenti <i>n°</i>	Nodo <i>daN/cmq</i>	Car.Netto <i>mm</i>	Cedimenti
052/SLD	Si	249	-0,079	-0,89	248	-0,079	-0,83	251	-0,078	-0,83
	252	-0,079	-0,89							
076/SLE rare	No	249	-0,116	-1,79	248	-0,115	-1,51	251	-0,115	-1,51
	252	-0,115	-1,78							

ELEMENTO : PLATEA N° 186

Cmb <i>n°</i>	Tipologia	Sismica <i>daN/cmq</i>	Press. N1 <i>daN/cmq</i>	Press. N2 <i>daN/cmq</i>	Press. N3 <i>daN/cmq</i>	Press. N4 <i>daN</i>	S. Taglio X <i>daN</i>	S. Taglio Y
052	SLD	Si	-0,107	-0,107	-0,107	-0,107	-9,4	-1,3
076	SLE rare	No	-0,143	-0,143	-0,142	-0,143	0,0	0,0

Cedimento massimo = -0.18 cm in Cmb n° 076

Cedimento minimo = -0.08 cm in Cmb n° 052

Cmb	Sismico <i>n°</i>	Nodo <i>daN/cmq</i>	Car.Netto <i>mm</i>	Cedimenti <i>n°</i>	Nodo <i>daN/cmq</i>	Car.Netto <i>mm</i>	Cedimenti <i>n°</i>	Nodo <i>daN/cmq</i>	Car.Netto <i>mm</i>	Cedimenti
052/SLD	Si	252	-0,079	-0,89	251	-0,078	-0,83	253	-0,078	-0,83
	254	-0,079	-0,88							
076/SLE rare	No	252	-0,115	-1,78	251	-0,115	-1,51	253	-0,114	-1,50
	254	-0,114	-1,76							

ELEMENTO : PLATEA N° 187

Cmb n°	Tipologia	Sismica daN/cm ²	Press. N1 daN/cm ²	Press. N2 daN/cm ²	Press. N3 daN/cm ²	Press. N4 daN	S. Taglio X daN	S. Taglio Y
052	SLD	Si	-0,107	-0,107	-0,107	-0,107	-9,5	-1,3
076	SLE rare	No	-0,143	-0,142	-0,142	-0,143	0,0	0,0

Cedimento massimo = -0.18 cm in Cmb n° 076

Cedimento minimo = -0.08 cm in Cmb n° 052

Cmb	Sismico n°	Nodo daN/cm ²	Car.Netto mm	Cedimenti n°	Nodo daN/cm ²	Car.Netto mm	Cedimenti n°	Nodo daN/cm ²	Car.Netto mm	Cedimenti
052/SLD	Si	254	-0,079	-0,88	253	-0,078	-0,83	255	-0,078	-0,83
	256	-0,079	-0,88							
076/SLE rare	No	254	-0,114	-1,76	253	-0,114	-1,50	255	-0,114	-1,49
	256	-0,114	-1,76							

ELEMENTO : PLATEA N° 188

Cmb n°	Tipologia	Sismica daN/cm ²	Press. N1 daN/cm ²	Press. N2 daN/cm ²	Press. N3 daN/cm ²	Press. N4 daN	S. Taglio X daN	S. Taglio Y
052	SLD	Si	-0,107	-0,107	-0,107	-0,108	-9,7	-1,3
076	SLE rare	No	-0,143	-0,142	-0,143	-0,143	0,0	0,0

Cedimento massimo = -0.18 cm in Cmb n° 076

Cedimento minimo = -0.08 cm in Cmb n° 052

Cmb	Sismico n°	Nodo daN/cm ²	Car.Netto mm	Cedimenti n°	Nodo daN/cm ²	Car.Netto mm	Cedimenti n°	Nodo daN/cm ²	Car.Netto mm	Cedimenti
052/SLD	Si	256	-0,079	-0,88	255	-0,078	-0,83	257	-0,079	-0,83
	258	-0,079	-0,88							
076/SLE rare	No	256	-0,114	-1,76	255	-0,114	-1,49	257	-0,115	-1,48
	258	-0,115	-1,74							

ELEMENTO : PLATEA N° 189

Cmb n°	Tipologia	Sismica daN/cm ²	Press. N1 daN/cm ²	Press. N2 daN/cm ²	Press. N3 daN/cm ²	Press. N4 daN	S. Taglio X daN	S. Taglio Y
052	SLD	Si	-0,108	-0,107	-0,108	-0,108	-9,9	-1,3
076	SLE rare	No	-0,143	-0,143	-0,145	-0,145	0,0	0,0

Cedimento massimo = -0.17 cm in Cmb n° 076

Cedimento minimo = -0.07 cm in Cmb n° 052

Cmb	Sismico n°	Nodo daN/cm ²	Car.Netto mm	Cedimenti n°	Nodo daN/cm ²	Car.Netto mm	Cedimenti n°	Nodo daN/cm ²	Car.Netto mm	Cedimenti
052/SLD	Si	258	-0,079	-0,88	257	-0,079	-0,83	259	-0,079	-0,72
	260	-0,080	-0,86							
076/SLE rare	No	258	-0,115	-1,74	257	-0,115	-1,48	259	-0,116	-1,33
	260	-0,116	-1,56							

ELEMENTO : PLATEA N° 190

Cmb n°	Tipologia	Sismica daN/cm ²	Press. N1 daN/cm ²	Press. N2 daN/cm ²	Press. N3 daN/cm ²	Press. N4 daN	S. Taglio X daN	S. Taglio Y
052	SLD	Si	-0,108	-0,108	-0,108	-0,109	-10,0	-1,3
076	SLE rare	No	-0,145	-0,145	-0,146	-0,147	0,0	0,0

Cedimento massimo = -0.16 cm in Cmb n° 076

Cedimento minimo = -0.06 cm in Cmb n° 052

Cmb	Sismico n°	Nodo daN/cm ²	Car.Netto mm	Cedimenti n°	Nodo daN/cm ²	Car.Netto mm	Cedimenti n°	Nodo daN/cm ²	Car.Netto mm	Cedimenti
052/SLD	Si	260	-0,080	-0,86	259	-0,079	-0,72	215	-0,080	-0,56
	245	-0,081	-0,67							
076/SLE rare	No	260	-0,116	-1,56	259	-0,116	-1,33	215	-0,118	-1,06
	245	-0,118	-1,23							

ELEMENTO : PLATEA N° 191

Cmb n°	Tipologia	Sismica daN/cm ²	Press. N1 daN/cm ²	Press. N2 daN/cm ²	Press. N3 daN/cm ²	Press. N4 daN	S. Taglio X daN	S. Taglio Y
052	SLD	Si	-0,109	-0,109	-0,108	-0,109	-9,1	-1,6
076	SLE rare	No	-0,146	-0,146	-0,145	-0,145	0,1	0,0

Cedimento massimo = -0.22 cm in Cmb n° 076
 Cedimento minimo = -0.09 cm in Cmb n° 052

Cmb	Sismico n°	Nodo daN/cm ^q	Car.Netto mm	Cedimenti n°	Nodo daN/cm ^q	Car.Netto mm	Cedimenti n°	Nodo daN/cm ^q	Car.Netto mm	Cedimenti
052/SLD	Si	262	-0,081	-1,05	250	-0,080	-0,90	249	-0,079	-0,89
	261	-0,080	-1,04							
076/SLE rare	No	262	-0,117	-2,20	250	-0,117	-1,81	249	-0,116	-1,79
	261	-0,116	-2,19							

ELEMENTO : PLATEA N° 192

Cmb n°	Tipologia	Sismica daN/cm ^q	Press. N1 daN/cm ^q	Press. N2 daN/cm ^q	Press. N3 daN/cm ^q	Press. N4 daN	S. Taglio X daN	S. Taglio Y
052	SLD	Si	-0,109	-0,108	-0,107	-0,108	-9,2	-1,6
076	SLE rare	No	-0,145	-0,145	-0,143	-0,143	0,0	0,0

Cedimento massimo = -0.22 cm in Cmb n° 076
 Cedimento minimo = -0.09 cm in Cmb n° 052

Cmb	Sismico n°	Nodo daN/cm ^q	Car.Netto mm	Cedimenti n°	Nodo daN/cm ^q	Car.Netto mm	Cedimenti n°	Nodo daN/cm ^q	Car.Netto mm	Cedimenti
052/SLD	Si	261	-0,080	-1,04	249	-0,079	-0,89	252	-0,079	-0,89
	263	-0,079	-1,03							
076/SLE rare	No	261	-0,116	-2,19	249	-0,116	-1,79	252	-0,115	-1,78
	263	-0,115	-1,83							

ELEMENTO : PLATEA N° 193

Cmb n°	Tipologia	Sismica daN/cm ^q	Press. N1 daN/cm ^q	Press. N2 daN/cm ^q	Press. N3 daN/cm ^q	Press. N4 daN	S. Taglio X daN	S. Taglio Y
052	SLD	Si	-0,108	-0,107	-0,107	-0,108	-9,4	-1,6
076	SLE rare	No	-0,143	-0,143	-0,143	-0,143	0,0	0,0

Cedimento massimo = -0.18 cm in Cmb n° 076
 Cedimento minimo = -0.09 cm in Cmb n° 052

Cmb	Sismico n°	Nodo daN/cm ^q	Car.Netto mm	Cedimenti n°	Nodo daN/cm ^q	Car.Netto mm	Cedimenti n°	Nodo daN/cm ^q	Car.Netto mm	Cedimenti
052/SLD	Si	263	-0,079	-1,03	252	-0,079	-0,89	254	-0,079	-0,88
	264	-0,079	-1,02							
076/SLE rare	No	263	-0,115	-1,83	252	-0,115	-1,78	254	-0,114	-1,76
	264	-0,114	-1,82							

ELEMENTO : PLATEA N° 194

Cmb n°	Tipologia	Sismica daN/cm ^q	Press. N1 daN/cm ^q	Press. N2 daN/cm ^q	Press. N3 daN/cm ^q	Press. N4 daN	S. Taglio X daN	S. Taglio Y
052	SLD	Si	-0,108	-0,107	-0,107	-0,108	-9,5	-1,6
076	SLE rare	No	-0,143	-0,143	-0,143	-0,143	0,0	0,0

Cedimento massimo = -0.18 cm in Cmb n° 076
 Cedimento minimo = -0.09 cm in Cmb n° 052

Cmb	Sismico n°	Nodo daN/cm ^q	Car.Netto mm	Cedimenti n°	Nodo daN/cm ^q	Car.Netto mm	Cedimenti n°	Nodo daN/cm ^q	Car.Netto mm	Cedimenti
052/SLD	Si	264	-0,079	-1,02	254	-0,079	-0,88	256	-0,079	-0,88
	265	-0,079	-1,02							
076/SLE rare	No	264	-0,114	-1,82	254	-0,114	-1,76	256	-0,114	-1,76
	265	-0,114	-1,81							

ELEMENTO : PLATEA N° 195

Cmb n°	Tipologia	Sismica daN/cm ^q	Press. N1 daN/cm ^q	Press. N2 daN/cm ^q	Press. N3 daN/cm ^q	Press. N4 daN	S. Taglio X daN	S. Taglio Y
052	SLD	Si	-0,108	-0,107	-0,108	-0,108	-9,7	-1,6
076	SLE rare	No	-0,143	-0,143	-0,143	-0,144	0,0	0,0

Cedimento massimo = -0.18 cm in Cmb n° 076
 Cedimento minimo = -0.09 cm in Cmb n° 052

Cmb	Sismico n°	Nodo daN/cm ^q	Car.Netto mm	Cedimenti n°	Nodo daN/cm ^q	Car.Netto mm	Cedimenti n°	Nodo daN/cm ^q	Car.Netto mm	Cedimenti
052/SLD	Si	265	-0,079	-1,02	256	-0,079	-0,88	258	-0,079	-0,88

266	-0,080	-0,90								
076/SLE rare	No	265	-0,114	-1,81	256	-0,114	-1,76	258	-0,115	-1,74
	266	-0,115	-1,80							

ELEMENTO : PLATEA N° 196

Cmb n°	Tipologia	Sismica daN/cm ^q	Press. N1 daN/cm ^q	Press. N2 daN/cm ^q	Press. N3 daN/cm ^q	Press. N4 daN	S. Taglio X daN	S. Taglio Y
052	SLD	Si	-0,108	-0,108	-0,108	-0,109	-9,9	-1,6
076	SLE rare	No	-0,144	-0,143	-0,145	-0,145	0,0	0,0

Cedimento massimo = -0.18 cm in Cmb n° 076
 Cedimento minimo = -0.09 cm in Cmb n° 052

Cmb n°	Sismico n°	Nodo daN/cm ^q	Car.Netto mm	Cedimenti n°	Nodo daN/cm ^q	Car.Netto mm	Cedimenti n°	Nodo daN/cm ^q	Car.Netto mm	Cedimenti
052/SLD	Si	266	-0,080	-0,90	258	-0,079	-0,88	260	-0,080	-0,86
		267	-0,080							
076/SLE rare	No	266	-0,115	-1,80	258	-0,115	-1,74	260	-0,116	-1,56
		267	-0,117							

ELEMENTO : PLATEA N° 197

Cmb n°	Tipologia	Sismica daN/cm ^q	Press. N1 daN/cm ^q	Press. N2 daN/cm ^q	Press. N3 daN/cm ^q	Press. N4 daN	S. Taglio X daN	S. Taglio Y
052	SLD	Si	-0,109	-0,108	-0,109	-0,110	-12,8	-2,1
076	SLE rare	No	-0,145	-0,145	-0,147	-0,148	0,0	0,0

Cedimento massimo = -0.16 cm in Cmb n° 076
 Cedimento minimo = -0.07 cm in Cmb n° 052

Cmb n°	Sismico n°	Nodo daN/cm ^q	Car.Netto mm	Cedimenti n°	Nodo daN/cm ^q	Car.Netto mm	Cedimenti n°	Nodo daN/cm ^q	Car.Netto mm	Cedimenti
052/SLD	Si	267	-0,080	-0,89	260	-0,080	-0,86	245	-0,081	-0,67
		243	-0,082							
076/SLE rare	No	267	-0,117	-1,60	260	-0,116	-1,56	245	-0,118	-1,23
		243	-0,119							

ELEMENTO : PLATEA N° 198

Cmb n°	Tipologia	Sismica daN/cm ^q	Press. N1 daN/cm ^q	Press. N2 daN/cm ^q	Press. N3 daN/cm ^q	Press. N4 daN	S. Taglio X daN	S. Taglio Y
052	SLD	Si	-0,110	-0,109	-0,109	-0,109	-9,1	-1,9
076	SLE rare	No	-0,146	-0,146	-0,145	-0,145	0,1	0,0

Cedimento massimo = -0.22 cm in Cmb n° 076
 Cedimento minimo = -0.10 cm in Cmb n° 052

Cmb n°	Sismico n°	Nodo daN/cm ^q	Car.Netto mm	Cedimenti n°	Nodo daN/cm ^q	Car.Netto mm	Cedimenti n°	Nodo daN/cm ^q	Car.Netto mm	Cedimenti
052/SLD	Si	167	-0,081	-1,06	262	-0,081	-1,05	261	-0,080	-1,04
		166	-0,081							
076/SLE rare	No	167	-0,118	-2,25	262	-0,117	-2,20	261	-0,116	-2,19
		166	-0,117							

ELEMENTO : PLATEA N° 199

Cmb n°	Tipologia	Sismica daN/cm ^q	Press. N1 daN/cm ^q	Press. N2 daN/cm ^q	Press. N3 daN/cm ^q	Press. N4 daN	S. Taglio X daN	S. Taglio Y
052	SLD	Si	-0,109	-0,109	-0,108	-0,108	-9,2	-1,9
076	SLE rare	No	-0,145	-0,145	-0,143	-0,143	0,0	0,0

Cedimento massimo = -0.22 cm in Cmb n° 076
 Cedimento minimo = -0.10 cm in Cmb n° 052

Cmb n°	Sismico n°	Nodo daN/cm ^q	Car.Netto mm	Cedimenti n°	Nodo daN/cm ^q	Car.Netto mm	Cedimenti n°	Nodo daN/cm ^q	Car.Netto mm	Cedimenti
052/SLD	Si	166	-0,081	-1,05	261	-0,080	-1,04	263	-0,079	-1,03
		163	-0,080							
076/SLE rare	No	166	-0,117	-2,23	261	-0,116	-2,19	263	-0,115	-1,83
		163	-0,115							

ELEMENTO : PLATEA N° 200

Cmb n°	Tipologia	Sismica	Press. N1	Press. N2	Press. N3	Press. N4	S. Taglio X	S. Taglio Y
--------	-----------	---------	-----------	-----------	-----------	-----------	-------------	-------------

n°		daN/cm ^q	daN/cm ^q	daN/cm ^q	daN/cm ^q	daN	daN	
052	SLD	Si	-0,108	-0,108	-0,108	-0,108	-9,4	-1,9
076	SLE rare	No	-0,143	-0,143	-0,143	-0,143	0,0	0,0

Cedimento massimo = -0.22 cm in Cmb n° 076
 Cedimento minimo = -0.10 cm in Cmb n° 052

Cmb	Sismico	Nodo	Car.Netto	Cedimenti	Nodo	Car.Netto	Cedimenti	Nodo	Car.Netto	Cedimenti
n°	n°	daN/cm ^q	mm	n°	daN/cm ^q	mm	n°	daN/cm ^q	mm	n°
052/SLD	Si	163	-0,080	-1,04	263	-0,079	-1,03	264	-0,079	-1,02
	161	-0,079	-1,04							
076/SLE rare	No	163	-0,115	-2,20	263	-0,115	-1,83	264	-0,114	-1,82
	161	-0,114	-2,18							

ELEMENTO : PLATEA N° 201

Cmb	Tipologia	Sismica	Press. N1	Press. N2	Press. N3	Press. N4	S. Taglio X	S. Taglio Y
n°		daN/cm ^q	daN/cm ^q	daN/cm ^q	daN/cm ^q	daN	daN	
052	SLD	Si	-0,108	-0,108	-0,108	-0,108	-9,5	-1,9
076	SLE rare	No	-0,143	-0,143	-0,143	-0,142	0,0	0,0

Cedimento massimo = -0.22 cm in Cmb n° 076
 Cedimento minimo = -0.10 cm in Cmb n° 052

Cmb	Sismico	Nodo	Car.Netto	Cedimenti	Nodo	Car.Netto	Cedimenti	Nodo	Car.Netto	Cedimenti
n°	n°	daN/cm ^q	mm	n°	daN/cm ^q	mm	n°	daN/cm ^q	mm	n°
052/SLD	Si	161	-0,079	-1,04	264	-0,079	-1,02	265	-0,079	-1,02
	159	-0,079	-1,03							
076/SLE rare	No	161	-0,114	-2,18	264	-0,114	-1,82	265	-0,114	-1,81
	159	-0,114	-2,17							

ELEMENTO : PLATEA N° 202

Cmb	Tipologia	Sismica	Press. N1	Press. N2	Press. N3	Press. N4	S. Taglio X	S. Taglio Y
n°		daN/cm ^q	daN/cm ^q	daN/cm ^q	daN/cm ^q	daN	daN	
052	SLD	Si	-0,108	-0,108	-0,108	-0,108	-9,7	-1,9
076	SLE rare	No	-0,142	-0,143	-0,144	-0,144	0,0	0,0

Cedimento massimo = -0.22 cm in Cmb n° 076
 Cedimento minimo = -0.09 cm in Cmb n° 052

Cmb	Sismico	Nodo	Car.Netto	Cedimenti	Nodo	Car.Netto	Cedimenti	Nodo	Car.Netto	Cedimenti
n°	n°	daN/cm ^q	mm	n°	daN/cm ^q	mm	n°	daN/cm ^q	mm	n°
052/SLD	Si	159	-0,079	-1,03	265	-0,079	-1,02	266	-0,080	-0,90
	156	-0,080	-1,03							
076/SLE rare	No	159	-0,114	-2,17	265	-0,114	-1,81	266	-0,115	-1,80
	156	-0,115	-1,82							

ELEMENTO : PLATEA N° 203

Cmb	Tipologia	Sismica	Press. N1	Press. N2	Press. N3	Press. N4	S. Taglio X	S. Taglio Y
n°		daN/cm ^q	daN/cm ^q	daN/cm ^q	daN/cm ^q	daN	daN	
064	SLD	Si	-0,108	-0,108	-0,109	-0,109	-2,1	-9,7
076	SLE rare	No	-0,144	-0,144	-0,145	-0,145	0,0	0,0

Cedimento massimo = -0.18 cm in Cmb n° 076
 Cedimento minimo = -0.09 cm in Cmb n° 064

Cmb	Sismico	Nodo	Car.Netto	Cedimenti	Nodo	Car.Netto	Cedimenti	Nodo	Car.Netto	Cedimenti
n°	n°	daN/cm ^q	mm	n°	daN/cm ^q	mm	n°	daN/cm ^q	mm	n°
064/SLD	Si	156	-0,080	-1,03	266	-0,080	-0,90	267	-0,080	-0,88
	142	-0,081	-0,89							
076/SLE rare	No	156	-0,115	-1,82	266	-0,115	-1,80	267	-0,117	-1,60
	142	-0,117	-1,77							

ELEMENTO : PLATEA N° 204

Cmb	Tipologia	Sismica	Press. N1	Press. N2	Press. N3	Press. N4	S. Taglio X	S. Taglio Y
n°		daN/cm ^q	daN/cm ^q	daN/cm ^q	daN/cm ^q	daN	daN	
064	SLD	Si	-0,109	-0,109	-0,110	-0,110	-1,4	-7,1
076	SLE rare	No	-0,145	-0,145	-0,148	-0,148	0,0	0,0

Cedimento massimo = -0.18 cm in Cmb n° 076
 Cedimento minimo = -0.07 cm in Cmb n° 064

Cmb	Sismico n°	Nodo daN/cm ^q	Car.Netto mm	Cedimenti n°	Nodo daN/cm ^q	Car.Netto mm	Cedimenti n°	Nodo daN/cm ^q	Car.Netto mm	Cedimenti
064/SLD	Si	142	-0,081	-0,89	267	-0,080	-0,88	243	-0,081	-0,69
	149	-0,081	-0,69							
076/SLE rare	No	142	-0,117	-1,77	267	-0,117	-1,60	243	-0,119	-1,27
	149	-0,119	-1,27							

ELEMENTO : PLATEA N° 205

Cmb n°	Tipologia	Sismica daN/cm ^q	Press. N1 daN/cm ^q	Press. N2 daN/cm ^q	Press. N3 daN/cm ^q	Press. N4 daN	S. Taglio X daN	S. Taglio Y
052	SLD	Si	-0,111	-0,110	-0,109	-0,110	-11,3	-2,4
076	SLE rare	No	-0,147	-0,147	-0,146	-0,146	0,1	0,0

Cedimento massimo = -0.23 cm in Cmb n° 076

Cedimento minimo = -0.10 cm in Cmb n° 052

Cmb	Sismico n°	Nodo daN/cm ^q	Car.Netto mm	Cedimenti n°	Nodo daN/cm ^q	Car.Netto mm	Cedimenti n°	Nodo daN/cm ^q	Car.Netto mm	Cedimenti
052/SLD	Si	125	-0,082	-1,07	268	-0,081	-1,05	262	-0,081	-1,05
	167	-0,081	-1,06							
076/SLE rare	No	125	-0,119	-2,25	268	-0,118	-2,21	262	-0,117	-2,20
	167	-0,118	-2,25							

ELEMENTO : PLATEA N° 206

Cmb n°	Tipologia	Sismica daN/cm ^q	Press. N1 daN/cm ^q	Press. N2 daN/cm ^q	Press. N3 daN/cm ^q	Press. N4 daN	S. Taglio X daN	S. Taglio Y
043	SLD	Si	-0,110	-0,109	-0,110	-0,111	-11,3	2,4
076	SLE rare	No	-0,146	-0,146	-0,147	-0,147	0,1	0,0

Cedimento massimo = -0.23 cm in Cmb n° 076

Cedimento minimo = -0.10 cm in Cmb n° 043

Cmb	Sismico n°	Nodo daN/cm ^q	Car.Netto mm	Cedimenti n°	Nodo daN/cm ^q	Car.Netto mm	Cedimenti n°	Nodo daN/cm ^q	Car.Netto mm	Cedimenti
043/SLD	Si	105	-0,081	-1,06	239	-0,081	-1,04	268	-0,081	-1,05
	125	-0,082	-1,07							
076/SLE rare	No	105	-0,118	-2,24	239	-0,117	-2,20	268	-0,118	-2,21
	125	-0,119	-2,25							

ELEMENTO : PLATEA N° 207

Cmb n°	Tipologia	Sismica daN/cm ^q	Press. N1 daN/cm ^q	Press. N2 daN/cm ^q	Press. N3 daN/cm ^q	Press. N4 daN	S. Taglio X daN	S. Taglio Y
052	SLD	Si	-0,110	-0,109	-0,109	-0,109	-11,3	-2,0
076	SLE rare	No	-0,147	-0,146	-0,146	-0,146	0,1	0,0

Cedimento massimo = -0.22 cm in Cmb n° 076

Cedimento minimo = -0.09 cm in Cmb n° 052

Cmb	Sismico n°	Nodo daN/cm ^q	Car.Netto mm	Cedimenti n°	Nodo daN/cm ^q	Car.Netto mm	Cedimenti n°	Nodo daN/cm ^q	Car.Netto mm	Cedimenti
052/SLD	Si	268	-0,081	-1,05	269	-0,080	-0,90	250	-0,080	-0,90
	262	-0,081	-1,05							
076/SLE rare	No	268	-0,118	-2,21	269	-0,118	-1,81	250	-0,117	-1,81
	262	-0,117	-2,20							

ELEMENTO : PLATEA N° 208

Cmb n°	Tipologia	Sismica daN/cm ^q	Press. N1 daN/cm ^q	Press. N2 daN/cm ^q	Press. N3 daN/cm ^q	Press. N4 daN	S. Taglio X daN	S. Taglio Y
043	SLD	Si	-0,109	-0,109	-0,109	-0,110	-11,3	2,0
076	SLE rare	No	-0,146	-0,146	-0,146	-0,147	0,1	0,0

Cedimento massimo = -0.22 cm in Cmb n° 076

Cedimento minimo = -0.09 cm in Cmb n° 043

Cmb	Sismico n°	Nodo daN/cm ^q	Car.Netto mm	Cedimenti n°	Nodo daN/cm ^q	Car.Netto mm	Cedimenti n°	Nodo daN/cm ^q	Car.Netto mm	Cedimenti
043/SLD	Si	239	-0,081	-1,04	231	-0,080	-0,90	269	-0,080	-0,90
	268	-0,081	-1,05							
076/SLE rare	No	239	-0,117	-2,20	231	-0,117	-1,81	269	-0,118	-1,81
	268	-0,118	-2,21							

ELEMENTO : PLATEA N° 209

Cmb n°	Tipologia	Sismica daN/cm ^q	Press. N1 daN/cm ^q	Press. N2 daN/cm ^q	Press. N3 daN/cm ^q	Press. N4 daN	S. Taglio X daN	S. Taglio Y
052	SLD	Si	-0,109	-0,108	-0,108	-0,109	-11,3	-1,6
076	SLE rare	No	-0,146	-0,146	-0,145	-0,146	0,1	0,0

Cedimento massimo = -0.18 cm in Cmb n° 076

Cedimento minimo = -0.08 cm in Cmb n° 052

Cmb	Sismico n°	Nodo daN/cm ^q	Car.Netto mm	Cedimenti n°	Nodo daN/cm ^q	Car.Netto mm	Cedimenti n°	Nodo daN/cm ^q	Car.Netto mm	Cedimenti
052/SLD	Si	269	-0,080	-0,90	270	-0,079	-0,84	216	-0,079	-0,84
	250	-0,080	-0,90							
076/SLE rare	No	269	-0,118	-1,81	270	-0,117	-1,53	216	-0,117	-1,53
	250	-0,117	-1,81							

ELEMENTO : PLATEA N° 210

Cmb n°	Tipologia	Sismica daN/cm ^q	Press. N1 daN/cm ^q	Press. N2 daN/cm ^q	Press. N3 daN/cm ^q	Press. N4 daN	S. Taglio X daN	S. Taglio Y
043	SLD	Si	-0,109	-0,108	-0,108	-0,109	-11,3	1,6
076	SLE rare	No	-0,146	-0,145	-0,146	-0,146	0,1	0,0

Cedimento massimo = -0.18 cm in Cmb n° 076

Cedimento minimo = -0.08 cm in Cmb n° 043

Cmb	Sismico n°	Nodo daN/cm ^q	Car.Netto mm	Cedimenti n°	Nodo daN/cm ^q	Car.Netto mm	Cedimenti n°	Nodo daN/cm ^q	Car.Netto mm	Cedimenti
043/SLD	Si	231	-0,080	-0,90	211	-0,079	-0,84	270	-0,080	-0,84
	269	-0,080	-0,90							
076/SLE rare	No	231	-0,117	-1,81	211	-0,117	-1,53	270	-0,117	-1,53
	269	-0,118	-1,81							

ELEMENTO : PLATEA N° 211

Cmb n°	Tipologia	Sismica daN/cm ^q	Press. N1 daN/cm ^q	Press. N2 daN/cm ^q	Press. N3 daN/cm ^q	Press. N4 daN	S. Taglio X daN	S. Taglio Y
043	SLD	Si	-0,109	-0,107	-0,107	-0,108	-8,3	0,8
076	SLE rare	No	-0,148	-0,147	-0,146	-0,146	0,0	0,0

Cedimento massimo = -0.11 cm in Cmb n° 076

Cedimento minimo = -0.01 cm in Cmb n° 043

Cmb	Sismico n°	Nodo daN/cm ^q	Car.Netto mm	Cedimenti n°	Nodo daN/cm ^q	Car.Netto mm	Cedimenti n°	Nodo daN/cm ^q	Car.Netto mm	Cedimenti
043/SLD	Si	242	-0,080	-0,26	271	-0,079	-0,07	272	-0,079	-0,18
	213	-0,080	-0,56							
076/SLE rare	No	242	-0,119	-0,47	271	-0,118	-0,15	272	-0,117	-0,43
	213	-0,118	-1,06							

ELEMENTO : PLATEA N° 212

Cmb n°	Tipologia	Sismica daN/cm ^q	Press. N1 daN/cm ^q	Press. N2 daN/cm ^q	Press. N3 daN/cm ^q	Press. N4 daN	S. Taglio X daN	S. Taglio Y
043	SLD	Si	-0,108	-0,107	-0,107	-0,108	-14,0	1,4
076	SLE rare	No	-0,146	-0,146	-0,144	-0,145	0,0	0,1

Cedimento massimo = -0.13 cm in Cmb n° 076

Cedimento minimo = -0.02 cm in Cmb n° 043

Cmb	Sismico n°	Nodo daN/cm ^q	Car.Netto mm	Cedimenti n°	Nodo daN/cm ^q	Car.Netto mm	Cedimenti n°	Nodo daN/cm ^q	Car.Netto mm	Cedimenti
043/SLD	Si	213	-0,080	-0,56	272	-0,079	-0,18	273	-0,078	-0,26
	218	-0,079	-0,72							
076/SLE rare	No	213	-0,118	-1,06	272	-0,117	-0,43	273	-0,115	-0,56
	218	-0,116	-1,33							

ELEMENTO : PLATEA N° 213

Cmb n°	Tipologia	Sismica daN/cm ^q	Press. N1 daN/cm ^q	Press. N2 daN/cm ^q	Press. N3 daN/cm ^q	Press. N4 daN	S. Taglio X daN	S. Taglio Y
043	SLD	Si	-0,108	-0,107	-0,106	-0,107	-12,7	1,3
076	SLE rare	No	-0,145	-0,144	-0,143	-0,143	0,0	0,1

Cedimento massimo = -0.15 cm in Cmb n° 076
 Cedimento minimo = -0.03 cm in Cmb n° 043

Cmb	Sismico n°	Nodo daN/cm ^q	Car.Netto mm	Cedimenti n°	Nodo daN/cm ^q	Car.Netto mm	Cedimenti n°	Nodo daN/cm ^q	Car.Netto mm	Cedimenti
043/SLD	Si	218	-0,079	-0,72	273	-0,078	-0,26	274	-0,078	-0,26
	221	-0,079	-0,83							
076/SLE rare	No	218	-0,116	-1,33	273	-0,115	-0,56	274	-0,114	-0,57
	221	-0,115	-1,48							

ELEMENTO : PLATEA N° 214

Cmb n°	Tipologia	Sismica daN/cm ^q	Press. N1 daN/cm ^q	Press. N2 daN/cm ^q	Press. N3 daN/cm ^q	Press. N4 daN	S. Taglio X daN	S. Taglio Y
043	SLD	Si	-0,107	-0,106	-0,106	-0,107	-14,6	1,5
076	SLE rare	No	-0,143	-0,143	-0,142	-0,142	0,0	0,0

Cedimento massimo = -0.15 cm in Cmb n° 076
 Cedimento minimo = -0.03 cm in Cmb n° 043

Cmb	Sismico n°	Nodo daN/cm ^q	Car.Netto mm	Cedimenti n°	Nodo daN/cm ^q	Car.Netto mm	Cedimenti n°	Nodo daN/cm ^q	Car.Netto mm	Cedimenti
043/SLD	Si	221	-0,079	-0,83	274	-0,078	-0,26	275	-0,077	-0,26
	223	-0,078	-0,83							
076/SLE rare	No	221	-0,115	-1,48	274	-0,114	-0,57	275	-0,113	-0,56
	223	-0,114	-1,49							

ELEMENTO : PLATEA N° 215

Cmb n°	Tipologia	Sismica daN/cm ^q	Press. N1 daN/cm ^q	Press. N2 daN/cm ^q	Press. N3 daN/cm ^q	Press. N4 daN	S. Taglio X daN	S. Taglio Y
043	SLD	Si	-0,107	-0,106	-0,106	-0,107	-13,3	1,4
076	SLE rare	No	-0,142	-0,142	-0,142	-0,142	0,0	0,0

Cedimento massimo = -0.15 cm in Cmb n° 076
 Cedimento minimo = -0.03 cm in Cmb n° 043

Cmb	Sismico n°	Nodo daN/cm ^q	Car.Netto mm	Cedimenti n°	Nodo daN/cm ^q	Car.Netto mm	Cedimenti n°	Nodo daN/cm ^q	Car.Netto mm	Cedimenti
043/SLD	Si	223	-0,078	-0,83	275	-0,077	-0,26	276	-0,077	-0,26
	225	-0,078	-0,83							
076/SLE rare	No	223	-0,114	-1,49	275	-0,113	-0,56	276	-0,113	-0,57
	225	-0,114	-1,50							

ELEMENTO : PLATEA N° 216

Cmb n°	Tipologia	Sismica daN/cm ^q	Press. N1 daN/cm ^q	Press. N2 daN/cm ^q	Press. N3 daN/cm ^q	Press. N4 daN	S. Taglio X daN	S. Taglio Y
043	SLD	Si	-0,107	-0,106	-0,106	-0,107	-13,1	1,3
076	SLE rare	No	-0,142	-0,142	-0,143	-0,143	0,0	0,0

Cedimento massimo = -0.15 cm in Cmb n° 076
 Cedimento minimo = -0.03 cm in Cmb n° 043

Cmb	Sismico n°	Nodo daN/cm ^q	Car.Netto mm	Cedimenti n°	Nodo daN/cm ^q	Car.Netto mm	Cedimenti n°	Nodo daN/cm ^q	Car.Netto mm	Cedimenti
043/SLD	Si	225	-0,078	-0,83	276	-0,077	-0,26	277	-0,077	-0,26
	227	-0,078	-0,83							
076/SLE rare	No	225	-0,114	-1,50	276	-0,113	-0,57	277	-0,114	-0,57
	227	-0,115	-1,51							

ELEMENTO : PLATEA N° 217

Cmb n°	Tipologia	Sismica daN/cm ^q	Press. N1 daN/cm ^q	Press. N2 daN/cm ^q	Press. N3 daN/cm ^q	Press. N4 daN	S. Taglio X daN	S. Taglio Y
043	SLD	Si	-0,107	-0,106	-0,106	-0,107	-10,3	1,1
076	SLE rare	No	-0,143	-0,143	-0,144	-0,144	0,1	0,0

Cedimento massimo = -0.15 cm in Cmb n° 076
 Cedimento minimo = -0.03 cm in Cmb n° 043

Cmb	Sismico n°	Nodo daN/cm ^q	Car.Netto mm	Cedimenti n°	Nodo daN/cm ^q	Car.Netto mm	Cedimenti n°	Nodo daN/cm ^q	Car.Netto mm	Cedimenti
-----	---------------	-----------------------------	-----------------	-----------------	-----------------------------	-----------------	-----------------	-----------------------------	-----------------	-----------

043/SLD	Si	227	-0,078	-0,83	277	-0,077	-0,26	278	-0,078	-0,26
	229	-0,079	-0,83							
076/SLE rare	No	227	-0,115	-1,51	277	-0,114	-0,57	278	-0,115	-0,57
	229	-0,115	-1,51							

ELEMENTO : PLATEA N° 218

Cmb n°	Tipologia	Sismica daN/cm ^q	Press. N1 daN/cm ^q	Press. N2 daN/cm ^q	Press. N3 daN/cm ^q	Press. N4 daN	S. Taglio X daN	S. Taglio Y
043	SLD	Si	-0,107	-0,106	-0,106	-0,108	-15,3	1,6
076	SLE rare	No	-0,144	-0,144	-0,145	-0,145	0,1	0,0

Cedimento massimo = -0.15 cm in Cmb n° 076

Cedimento minimo = -0.03 cm in Cmb n° 043

Cmb	Sismico n°	Nodo daN/cm ^q	Car.Netto mm	Cedimenti n°	Nodo daN/cm ^q	Car.Netto mm	Cedimenti n°	Nodo daN/cm ^q	Car.Netto mm	Cedimenti
043/SLD	Si	229	-0,079	-0,83	278	-0,078	-0,26	279	-0,078	-0,26
	211	-0,079	-0,84							
076/SLE rare	No	229	-0,115	-1,51	278	-0,115	-0,57	279	-0,116	-0,58
	211	-0,117	-1,53							

ELEMENTO : PLATEA N° 219

Cmb n°	Tipologia	Sismica daN/cm ^q	Press. N1 daN/cm ^q	Press. N2 daN/cm ^q	Press. N3 daN/cm ^q	Press. N4 daN	S. Taglio X daN	S. Taglio Y
043	SLD	Si	-0,108	-0,106	-0,107	-0,108	-15,8	1,7
076	SLE rare	No	-0,145	-0,145	-0,145	-0,146	0,1	0,0

Cedimento massimo = -0.15 cm in Cmb n° 076

Cedimento minimo = -0.03 cm in Cmb n° 043

Cmb	Sismico n°	Nodo daN/cm ^q	Car.Netto mm	Cedimenti n°	Nodo daN/cm ^q	Car.Netto mm	Cedimenti n°	Nodo daN/cm ^q	Car.Netto mm	Cedimenti
043/SLD	Si	211	-0,079	-0,84	279	-0,078	-0,26	280	-0,078	-0,26
	270	-0,080	-0,84							
076/SLE rare	No	211	-0,117	-1,53	279	-0,116	-0,58	280	-0,117	-0,58
	270	-0,117	-1,53							

ELEMENTO : PLATEA N° 220

Cmb n°	Tipologia	Sismica daN/cm ^q	Press. N1 daN/cm ^q	Press. N2 daN/cm ^q	Press. N3 daN/cm ^q	Press. N4 daN	S. Taglio X daN	S. Taglio Y
052	SLD	Si	-0,108	-0,107	-0,106	-0,108	-15,8	-1,7
076	SLE rare	No	-0,146	-0,145	-0,145	-0,145	0,1	0,0

Cedimento massimo = -0.15 cm in Cmb n° 076

Cedimento minimo = -0.03 cm in Cmb n° 052

Cmb	Sismico n°	Nodo daN/cm ^q	Car.Netto mm	Cedimenti n°	Nodo daN/cm ^q	Car.Netto mm	Cedimenti n°	Nodo daN/cm ^q	Car.Netto mm	Cedimenti
052/SLD	Si	270	-0,079	-0,84	280	-0,078	-0,26	281	-0,078	-0,26
	216	-0,079	-0,84							
076/SLE rare	No	270	-0,117	-1,53	280	-0,117	-0,58	281	-0,116	-0,58
	216	-0,117	-1,53							

ELEMENTO : PLATEA N° 221

Cmb n°	Tipologia	Sismica daN/cm ^q	Press. N1 daN/cm ^q	Press. N2 daN/cm ^q	Press. N3 daN/cm ^q	Press. N4 daN	S. Taglio X daN	S. Taglio Y
052	SLD	Si	-0,108	-0,106	-0,106	-0,107	-15,3	-1,6
076	SLE rare	No	-0,145	-0,145	-0,144	-0,144	0,1	0,0

Cedimento massimo = -0.15 cm in Cmb n° 076

Cedimento minimo = -0.03 cm in Cmb n° 052

Cmb	Sismico n°	Nodo daN/cm ^q	Car.Netto mm	Cedimenti n°	Nodo daN/cm ^q	Car.Netto mm	Cedimenti n°	Nodo daN/cm ^q	Car.Netto mm	Cedimenti
052/SLD	Si	216	-0,079	-0,84	281	-0,078	-0,26	282	-0,078	-0,26
	248	-0,079	-0,83							
076/SLE rare	No	216	-0,117	-1,53	281	-0,116	-0,58	282	-0,115	-0,57
	248	-0,115	-1,51							

ELEMENTO : PLATEA N° 222

Cmb n°	Tipologia	Sismica daN/cm ^q	Press. N1 daN/cm ^q	Press. N2 daN/cm ^q	Press. N3 daN/cm ^q	Press. N4 daN	S. Taglio X daN	S. Taglio Y
052	SLD	Si	-0,107	-0,106	-0,106	-0,107	-10,3	-1,1
076	SLE rare	No	-0,144	-0,144	-0,143	-0,143	0,1	0,0

Cedimento massimo = -0.15 cm in Cmb n° 076
 Cedimento minimo = -0.03 cm in Cmb n° 052

Cmb	Sismico n°	Nodo daN/cm ^q	Car.Netto mm	Cedimenti n°	Nodo daN/cm ^q	Car.Netto mm	Cedimenti n°	Nodo daN/cm ^q	Car.Netto mm	Cedimenti
052/SLD	Si	248	-0,079	-0,83	282	-0,078	-0,26	283	-0,077	-0,26
	251	-0,078	-0,83							
076/SLE rare	No	248	-0,115	-1,51	282	-0,115	-0,57	283	-0,114	-0,57
	251	-0,115	-1,51							

ELEMENTO : PLATEA N° 223

Cmb n°	Tipologia	Sismica daN/cm ^q	Press. N1 daN/cm ^q	Press. N2 daN/cm ^q	Press. N3 daN/cm ^q	Press. N4 daN	S. Taglio X daN	S. Taglio Y
052	SLD	Si	-0,107	-0,106	-0,106	-0,107	-13,1	-1,3
076	SLE rare	No	-0,143	-0,143	-0,142	-0,142	0,0	0,0

Cedimento massimo = -0.15 cm in Cmb n° 076
 Cedimento minimo = -0.03 cm in Cmb n° 052

Cmb	Sismico n°	Nodo daN/cm ^q	Car.Netto mm	Cedimenti n°	Nodo daN/cm ^q	Car.Netto mm	Cedimenti n°	Nodo daN/cm ^q	Car.Netto mm	Cedimenti
052/SLD	Si	251	-0,078	-0,83	283	-0,077	-0,26	284	-0,077	-0,26
	253	-0,078	-0,83							
076/SLE rare	No	251	-0,115	-1,51	283	-0,114	-0,57	284	-0,114	-0,57
	253	-0,114	-1,50							

ELEMENTO : PLATEA N° 224

Cmb n°	Tipologia	Sismica daN/cm ^q	Press. N1 daN/cm ^q	Press. N2 daN/cm ^q	Press. N3 daN/cm ^q	Press. N4 daN	S. Taglio X daN	S. Taglio Y
052	SLD	Si	-0,107	-0,106	-0,106	-0,107	-13,3	-1,3
076	SLE rare	No	-0,142	-0,142	-0,142	-0,142	0,0	0,0

Cedimento massimo = -0.15 cm in Cmb n° 076
 Cedimento minimo = -0.03 cm in Cmb n° 052

Cmb	Sismico n°	Nodo daN/cm ^q	Car.Netto mm	Cedimenti n°	Nodo daN/cm ^q	Car.Netto mm	Cedimenti n°	Nodo daN/cm ^q	Car.Netto mm	Cedimenti
052/SLD	Si	253	-0,078	-0,83	284	-0,077	-0,26	285	-0,077	-0,26
	255	-0,078	-0,83							
076/SLE rare	No	253	-0,114	-1,50	284	-0,114	-0,57	285	-0,113	-0,56
	255	-0,114	-1,49							

ELEMENTO : PLATEA N° 225

Cmb n°	Tipologia	Sismica daN/cm ^q	Press. N1 daN/cm ^q	Press. N2 daN/cm ^q	Press. N3 daN/cm ^q	Press. N4 daN	S. Taglio X daN	S. Taglio Y
052	SLD	Si	-0,107	-0,106	-0,106	-0,107	-13,5	-1,4
076	SLE rare	No	-0,142	-0,142	-0,143	-0,143	0,0	0,0

Cedimento massimo = -0.15 cm in Cmb n° 076
 Cedimento minimo = -0.03 cm in Cmb n° 052

Cmb	Sismico n°	Nodo daN/cm ^q	Car.Netto mm	Cedimenti n°	Nodo daN/cm ^q	Car.Netto mm	Cedimenti n°	Nodo daN/cm ^q	Car.Netto mm	Cedimenti
052/SLD	Si	255	-0,078	-0,83	285	-0,077	-0,26	286	-0,078	-0,26
	257	-0,079	-0,83							
076/SLE rare	No	255	-0,114	-1,49	285	-0,113	-0,56	286	-0,114	-0,56
	257	-0,115	-1,48							

ELEMENTO : PLATEA N° 226

Cmb n°	Tipologia	Sismica daN/cm ^q	Press. N1 daN/cm ^q	Press. N2 daN/cm ^q	Press. N3 daN/cm ^q	Press. N4 daN	S. Taglio X daN	S. Taglio Y
052	SLD	Si	-0,107	-0,106	-0,106	-0,108	-13,8	-1,4
076	SLE rare	No	-0,143	-0,143	-0,144	-0,145	0,0	-0,1

Cedimento massimo = -0.15 cm in Cmb n° 076
 Cedimento minimo = -0.03 cm in Cmb n° 052

Cmb	Sismico <i>n°</i>	Nodo <i>daN/cmq</i>	Car.Netto <i>mm</i>	Cedimenti <i>n°</i>	Nodo <i>daN/cmq</i>	Car.Netto <i>mm</i>	Cedimenti <i>n°</i>	Nodo <i>daN/cmq</i>	Car.Netto <i>mm</i>	Cedimenti
052/SLD	Si	257	-0,079	-0,83	286	-0,078	-0,26	287	-0,078	-0,26
	259	-0,079	-0,72							
076/SLE rare	No	257	-0,115	-1,48	286	-0,114	-0,56	287	-0,115	-0,56
	259	-0,116	-1,33							

ELEMENTO : PLATEA N° 227

Cmb <i>n°</i>	Tipologia	Sismica <i>daN/cmq</i>	Press. N1 <i>daN/cmq</i>	Press. N2 <i>daN/cmq</i>	Press. N3 <i>daN/cmq</i>	Press. N4 <i>daN</i>	S. Taglio X <i>daN</i>	S. Taglio Y
052	SLD	Si	-0,108	-0,106	-0,107	-0,108	-14,0	-1,4
076	SLE rare	No	-0,145	-0,144	-0,146	-0,146	0,0	-0,1

Cedimento massimo = -0.13 cm in Cmb n° 076
 Cedimento minimo = -0.02 cm in Cmb n° 052

Cmb	Sismico <i>n°</i>	Nodo <i>daN/cmq</i>	Car.Netto <i>mm</i>	Cedimenti <i>n°</i>	Nodo <i>daN/cmq</i>	Car.Netto <i>mm</i>	Cedimenti <i>n°</i>	Nodo <i>daN/cmq</i>	Car.Netto <i>mm</i>	Cedimenti
052/SLD	Si	259	-0,079	-0,72	287	-0,078	-0,26	288	-0,079	-0,18
	215	-0,080	-0,56							
076/SLE rare	No	259	-0,116	-1,33	287	-0,115	-0,56	288	-0,117	-0,43
	215	-0,118	-1,06							

ELEMENTO : PLATEA N° 228

Cmb <i>n°</i>	Tipologia	Sismica <i>daN/cmq</i>	Press. N1 <i>daN/cmq</i>	Press. N2 <i>daN/cmq</i>	Press. N3 <i>daN/cmq</i>	Press. N4 <i>daN</i>	S. Taglio X <i>daN</i>	S. Taglio Y
052	SLD	Si	-0,108	-0,107	-0,107	-0,109	-8,3	-0,8
076	SLE rare	No	-0,146	-0,146	-0,147	-0,147	0,0	0,0

Cedimento massimo = -0.11 cm in Cmb n° 076
 Cedimento minimo = -0.01 cm in Cmb n° 052

Cmb	Sismico <i>n°</i>	Nodo <i>daN/cmq</i>	Car.Netto <i>mm</i>	Cedimenti <i>n°</i>	Nodo <i>daN/cmq</i>	Car.Netto <i>mm</i>	Cedimenti <i>n°</i>	Nodo <i>daN/cmq</i>	Car.Netto <i>mm</i>	Cedimenti
052/SLD	Si	215	-0,080	-0,56	288	-0,079	-0,18	289	-0,079	-0,07
	247	-0,080	-0,26							
076/SLE rare	No	215	-0,118	-1,06	288	-0,117	-0,43	289	-0,118	-0,15
	247	-0,119	-0,47							

TABULATI DI CALCOLO GEOTECNICO PENSILINA :

PARAMETRI DI CALCOLO :

Metodi di calcolo della portanza per fondazioni superficiali :

Per terreni sciolti: Vesic
 Per terreni lapidei: Terzaghi

Combinazioni di carico da approccio progettuale TIPO 2

Fattori utilizzati per il calcolo della portanza per fondazioni superficiali :

Riduzione dimensioni per eccentricità : Si
 Fattori di forma della fondazione : Si
 Fattori di profondità del piano di posa : Si
 Fattori di inclinazione del carico : Si
 Fattori di punzonamento (Vesic) : Si
 Fattore riduzione effetto piastra (Bowles) : Si
 Fattore di riduzione dimensione Base equivalente platea : 20,00 %
 Fattore di riduzione dimensione Lunghezza equivalente platea : 20,00 %

Effetti inerziali (Paolucci-Pecker):

Coeff. sismico orizzontale $K_h = 0,067$
 Angolo d'attrito alla quota di fond. = 20,0
 Fattore correttivo $Z_c = 0,979$
 Fattore correttivo $Z_q = 0,932$

Coefficienti parziali di sicurezza per Tensioni Ammissibili, SLE e SLD nel calcolo della portanza per fondazioni superficiali :

Coeff. parziale di sicurezza F_c (statico) : 2,50
 Coeff. parziale di sicurezza F_q (statico) : 2,50
 Coeff. parziale di sicurezza F_g (statico) : 2,50
 Coeff. parziale di sicurezza F_c (sismico) : 3,00
 Coeff. parziale di sicurezza F_q (sismico) : 3,00
 Coeff. parziale di sicurezza F_g (sismico) : 3,00

Coefficienti parziali di sicurezza per SLU nel calcolo della portanza per fondazioni superficiali :

Coeff. parz. di sicurezza Prop. Materiali per $\tan(\phi)$ (statico) : 1,25
 Coeff. parz. di sicurezza Prop. Materiali per c' (statico) : 1,25
 Coeff. parz. di sicurezza Prop. Materiali per C_u (statico) : 1,40
 Coeff. parz. di sicurezza Prop. Materiali per $\tan(\phi)$ (sismico) : 1,00
 Coeff. parz. di sicurezza Prop. Materiali per c' (sismico) : 1,25
 Coeff. parz. di sicurezza Prop. Materiali per C_u (sismico) : 1,40
 Coeff. R1 capacità portante : 1,00
 Coeff. R2 capacità portante : 1,80
 Coeff. R3 capacità portante : 2,30
 Coeff. R1 scorrimento : 1,00
 Coeff. R2 scorrimento : 1,10
 Coeff. R3 scorrimento : 1,10

Parametri per la verifica a scorrimento delle fondazioni superficiali :

Fattore per l'adesione $6 < C_a < 10$: 8
 Fattore per attrito ter.-fond. $5 < \Delta < 10$: 7
 Frazione di spinta passiva f_{Sp} : 30,00 %

Metodi e parametri per il calcolo dei cedimenti delle fondazioni superficiali :

Metodo di calcolo tensioni superficiali : Boussinesq
 Modalità d'interferenza dei bulbi tensionali :
 Metodo di calcolo dei cedimenti del terreno : Cedimenti edometrici

ARCHIVIO STRATIGRAFIE :

Indice / Descrizione : 001 / Nuova stratigrafia n° 1
 Numero strati : 2
 Profondità falda : Assente.

Strato n°	Quota di riferimento	Spessore	Indice / Descrizione terreno	Effetto Attr. Neg.
1 da 0,0 a -800,0 cm.	800,0 cm.	003 / Argilla media	Assente	
2 da -800,0 a -1800,0 cm.	1000,0 cm.	001 / Sabbia compatta	Assente	

ARCHIVIO TERRENI :

Indice / Descrizione terreno : 003 / Argilla media
Comportamento del terreno : Condizione non drenata

Peso Spec.	Peso Spec. Sat.	Angolo Res.	Coesione	Coes. non Dren.	Mod. Edo.	Mod. Ela.	Poisson	D.R.	RQD	C. Ades.
daN/cm ²	daN/cm ²	Gradi (°)	daN/cm ²	daN/cm ²	daN/cm ²	daN/cm ²		%	%	
1,900 E-3	2,000 E-3	0,000	0,150	0,500	150,000	150,000	0,500	60,0	0,0	0,50

Indice / Descrizione terreno : 001 / Sabbia compatta
Comportamento del terreno : Condizione drenata

Peso Spec.	Peso Spec. Sat.	Angolo Res.	Coesione	Coes. non Dren.	Mod. Edo.	Mod. Ela.	Poisson	D.R.	RQD	C. Ades.
daN/cm ²	daN/cm ²	Gradi (°)	daN/cm ²	daN/cm ²	daN/cm ²	daN/cm ²		%	%	
1,700 E-3	2,000 E-3	28,000	0,000	0,000	200,000	126,243	0,347	60,0	0,0	1,00

DATI GEOMETRICI DEGLI ELEMENTI COSTITUENTI LE FONDAZIONI SUPERFICIALI :

Elemento	Tipologia	Indice Strat.	Prof. Fon.	Dia. Eq.	Spessore	Superficie	Vert. Elem.	Macro
	n°	cm	cm	cm	cmq	n°	n°	
PLATEA N° 1	Platea	001	10,00	116,54	20,00	10666,67	4	1
PLATEA N° 2	Platea	001	10,00	116,54	20,00	10666,67	4	1
PLATEA N° 3	Platea	001	10,00	116,54	20,00	10666,67	4	1
PLATEA N° 4	Platea	001	10,00	116,54	20,00	10666,67	4	1
PLATEA N° 5	Platea	001	10,00	116,54	20,00	10666,67	4	1
PLATEA N° 6	Platea	001	10,00	116,54	20,00	10666,67	4	1
PLATEA N° 7	Platea	001	10,00	116,54	20,00	10666,67	4	1
PLATEA N° 8	Platea	001	10,00	116,54	20,00	10666,67	4	1
PLATEA N° 9	Platea	001	10,00	116,54	20,00	10666,67	4	1
PLATEA N° 10	Platea	001	10,00	116,54	20,00	10666,67	4	1
PLATEA N° 11	Platea	001	10,00	116,54	20,00	10666,67	4	1
PLATEA N° 12	Platea	001	10,00	116,54	20,00	10666,67	4	1
PLATEA N° 13	Platea	001	10,00	116,54	20,00	10666,67	4	1
PLATEA N° 14	Platea	001	10,00	116,54	20,00	10666,67	4	1
PLATEA N° 15	Platea	001	10,00	116,54	20,00	10666,67	4	1
PLATEA N° 16	Platea	001	10,00	116,54	20,00	10666,67	4	1
PLATEA N° 17	Platea	001	10,00	116,54	20,00	10666,67	4	1
PLATEA N° 18	Platea	001	10,00	116,54	20,00	10666,67	4	1
PLATEA N° 19	Platea	001	10,00	116,54	20,00	10666,67	4	1
PLATEA N° 20	Platea	001	10,00	116,54	20,00	10666,67	4	1
PLATEA N° 21	Platea	001	10,00	116,54	20,00	10666,67	4	1
PLATEA N° 22	Platea	001	10,00	116,54	20,00	10666,67	4	1
PLATEA N° 23	Platea	001	10,00	116,54	20,00	10666,67	4	1
PLATEA N° 24	Platea	001	10,00	116,54	20,00	10666,67	4	1
PLATEA N° 25	Platea	001	10,00	116,54	20,00	10666,67	4	1
PLATEA N° 26	Platea	001	10,00	116,54	20,00	10666,67	4	1
PLATEA N° 27	Platea	001	10,00	116,54	20,00	10666,67	4	1
PLATEA N° 28	Platea	001	10,00	116,54	20,00	10666,67	4	1
PLATEA N° 29	Platea	001	10,00	116,54	20,00	10666,67	4	1
PLATEA N° 30	Platea	001	10,00	116,54	20,00	10666,67	4	1
PLATEA N° 31	Platea	001	10,00	116,54	20,00	10666,67	4	1
PLATEA N° 32	Platea	001	10,00	116,54	20,00	10666,67	4	1
PLATEA N° 33	Platea	001	10,00	116,54	20,00	10666,67	4	1
PLATEA N° 34	Platea	001	10,00	116,54	20,00	10666,67	4	1
PLATEA N° 35	Platea	001	10,00	116,54	20,00	10666,67	4	1
PLATEA N° 36	Platea	001	10,00	116,54	20,00	10666,67	4	1
PLATEA N° 37	Platea	001	10,00	116,54	20,00	10666,67	4	1
PLATEA N° 38	Platea	001	10,00	116,54	20,00	10666,67	4	1
PLATEA N° 39	Platea	001	10,00	116,54	20,00	10666,67	4	1
PLATEA N° 40	Platea	001	10,00	116,54	20,00	10666,67	4	1
PLATEA N° 41	Platea	001	10,00	116,54	20,00	10666,65	4	1
PLATEA N° 42	Platea	001	10,00	116,54	20,00	10666,67	4	1
PLATEA N° 43	Platea	001	10,00	116,54	20,00	10666,67	4	1
PLATEA N° 44	Platea	001	10,00	116,54	20,00	10666,67	4	1
PLATEA N° 45	Platea	001	10,00	116,54	20,00	10666,67	4	1
PLATEA N° 46	Platea	001	10,00	116,54	20,00	10666,67	4	1
PLATEA N° 47	Platea	001	10,00	116,54	20,00	10666,67	4	1
PLATEA N° 48	Platea	001	10,00	116,54	20,00	10666,67	4	1
PLATEA N° 49	Platea	001	10,00	116,54	20,00	10666,67	4	1
PLATEA N° 50	Platea	001	10,00	116,54	20,00	10666,67	4	1
PLATEA N° 51	Platea	001	10,00	116,54	20,00	10666,67	4	1

PLATEA N° 52	Platea	001	10,00	116,54	20,00	10666,67	4	1
PLATEA N° 53	Platea	001	10,00	116,54	20,00	10666,67	4	1
PLATEA N° 54	Platea	001	10,00	116,54	20,00	10666,67	4	1
PLATEA N° 55	Platea	001	10,00	116,54	20,00	10666,67	4	1
PLATEA N° 56	Platea	001	10,00	116,54	20,00	10666,67	4	1
PLATEA N° 57	Platea	001	10,00	116,54	20,00	10666,67	4	1
PLATEA N° 58	Platea	001	10,00	116,54	20,00	10666,67	4	1
PLATEA N° 59	Platea	001	10,00	116,54	20,00	10666,67	4	1
PLATEA N° 60	Platea	001	10,00	116,54	20,00	10666,65	4	1
PLATEA N° 61	Platea	001	10,00	71,37	20,00	4000,02	4	1
PLATEA N° 62	Platea	001	10,00	71,36	20,00	4000,00	4	1
PLATEA N° 63	Platea	001	10,00	71,36	20,00	4000,00	4	1
PLATEA N° 64	Platea	001	10,00	71,36	20,00	4000,00	4	1
PLATEA N° 65	Platea	001	10,00	71,36	20,00	4000,00	4	1
PLATEA N° 66	Platea	001	10,00	71,36	20,00	4000,00	4	1
PLATEA N° 67	Platea	001	10,00	71,36	20,00	4000,00	4	1
PLATEA N° 68	Platea	001	10,00	71,36	20,00	4000,00	4	1
PLATEA N° 69	Platea	001	10,00	71,36	20,00	4000,00	4	1
PLATEA N° 70	Platea	001	10,00	71,36	20,00	4000,00	4	1
PLATEA N° 71	Platea	001	10,00	71,36	20,00	4000,00	4	1
PLATEA N° 72	Platea	001	10,00	71,36	20,00	4000,00	4	1
PLATEA N° 73	Platea	001	10,00	71,36	20,00	4000,00	4	1
PLATEA N° 74	Platea	001	10,00	71,36	20,00	4000,00	4	1
PLATEA N° 75	Platea	001	10,00	71,36	20,00	4000,00	4	1
PLATEA N° 76	Platea	001	10,00	71,36	20,00	4000,00	4	1
PLATEA N° 77	Platea	001	10,00	71,36	20,00	4000,00	4	1
PLATEA N° 78	Platea	001	10,00	71,36	20,00	4000,00	4	1
PLATEA N° 79	Platea	001	10,00	71,36	20,00	4000,00	4	1
PLATEA N° 80	Platea	001	10,00	71,37	20,00	4000,02	4	1
PLATEA N° 81	Platea	001	10,00	71,36	20,00	3999,98	4	1
PLATEA N° 82	Platea	001	10,00	71,36	20,00	3999,96	4	1
PLATEA N° 83	Platea	001	10,00	71,36	20,00	3999,96	4	1
PLATEA N° 84	Platea	001	10,00	71,36	20,00	3999,96	4	1
PLATEA N° 85	Platea	001	10,00	71,36	20,00	3999,96	4	1
PLATEA N° 86	Platea	001	10,00	71,36	20,00	3999,96	4	1
PLATEA N° 87	Platea	001	10,00	71,36	20,00	3999,96	4	1
PLATEA N° 88	Platea	001	10,00	71,36	20,00	3999,96	4	1
PLATEA N° 89	Platea	001	10,00	71,36	20,00	3999,96	4	1
PLATEA N° 90	Platea	001	10,00	71,36	20,00	3999,96	4	1
PLATEA N° 91	Platea	001	10,00	71,36	20,00	3999,96	4	1
PLATEA N° 92	Platea	001	10,00	71,36	20,00	3999,96	4	1
PLATEA N° 93	Platea	001	10,00	71,36	20,00	3999,96	4	1
PLATEA N° 94	Platea	001	10,00	71,36	20,00	3999,96	4	1
PLATEA N° 95	Platea	001	10,00	71,36	20,00	3999,96	4	1
PLATEA N° 96	Platea	001	10,00	71,36	20,00	3999,96	4	1
PLATEA N° 97	Platea	001	10,00	71,36	20,00	3999,96	4	1
PLATEA N° 98	Platea	001	10,00	71,36	20,00	3999,96	4	1
PLATEA N° 99	Platea	001	10,00	71,36	20,00	3999,96	4	1
PLATEA N° 100	Platea	001	10,00	71,36	20,00	3999,98	4	1

Elemento	Tipologia	Indice Strat.	Prof. Fon.	Base Eq.	Spessore	Lung. Eq.	Lung. Travata Eq.
	n°	cm	cm	cm	cm	cm	
MACRO N° 1	Macro-Platea	001	10,00	400,00	20,00	2000,00	2000,00

VALORI DI CALCOLO DELLA PORTANZA PER FONDAZIONI SUPERFICIALI:

Ai fini dei calcoli di portanza le sollecitazioni SLU sismiche saranno considerate moltiplicate per un coef. GammaRD = 1.10

N.B. La relazione è redatta in forma sintetica. Verranno riportate le sole combinazioni maggiormente gravose per ogni verifica.

ELEMENTO : PLATEA MACRO N° 1

Cmb	Tipologia	Sismica	Ecc. B	Ecc. L	S. Taglio B	S. Taglio L	S. Normale	T.T. min	T.T. max
n°		cm	cm	daN	daN	daN	daN/cmq	daN/cmq	
006	SLU STR	No	0,0	-0,2	0,0	0,0	-116493,3	-0,142	-0,154
012	SLV A1	Si	-18,8	-4,8	-3249,3	-822,1	-57486,7	-0,057	-0,092
028	SLV A1	Si	-5,7	-15,2	-978,2	-2740,3	-57485,6	-0,047	-0,098

Cmb	Strato Rot.	Ver. TB	S.T.B / TB	Ver. TL	S.T.L / TL	Sgm. Lt.	Qlim q	Qlim g	Qlim c	Qres T	QLIM	T.T. / QLIM
n°n°	daN		daN		daN/cmq	daN/cmq	daN/cmq	daN/cmq	daN/cmq	daN/cmq		
006/SLU STR 1 di 1	190539,2	0,000	187015,1	0,000	-0,019	-0,008	0,000	-1,177	0,000	-1,185	0,130	
012/SLV A1 1 di 1	165504,7	0,022	161980,7	0,006	-0,019	-0,008	0,000	-1,144	0,000	-1,151	0,088	
028/SLV A1 1 di 1	179603,0	0,006	176078,9	0,017	-0,019	-0,008	0,000	-1,148	0,000	-1,156	0,093	

VALORI DI CALCOLO DEI CEDIMENTI PER FONDAZIONI SUPERFICIALI :

ELEMENTO : PLATEA N° 1

Cmb n°	Tipologia	Sismica daN/cm ^q	Press. N1 daN/cm ^q	Press. N2 daN/cm ^q	Press. N3 daN/cm ^q	Press. N4 daN	S. Taglio X daN	S. Taglio Y
066	SLD	Si	-0,069	-0,067	-0,058	-0,059	7,9	-44,5
076	SLE rare	No	-0,110	-0,106	-0,107	-0,111	0,0	0,0

Cedimento massimo = -0.09 cm in Cmb n° 076

Cedimento minimo = -0.01 cm in Cmb n° 066

Cmb	Sismico n°	Nodo daN/cm ^q	Car.Netto mm	Cedimenti n°	Nodo daN/cm ^q	Car.Netto mm	Cedimenti n°	Nodo daN/cm ^q	Car.Netto mm	Cedimenti
066/SLD	Si	11	-0,050	-0,12	10	-0,048	-0,30	9	-0,039	-0,17
	6	-0,040	-0,06							
076/SLE rare	No	11	-0,091	-0,29	10	-0,087	-0,88	9	-0,088	-0,57
	6	-0,092	-0,26							

ELEMENTO : PLATEA N° 2

Cmb n°	Tipologia	Sismica daN/cm ^q	Press. N1 daN/cm ^q	Press. N2 daN/cm ^q	Press. N3 daN/cm ^q	Press. N4 daN	S. Taglio X daN	S. Taglio Y
066	SLD	Si	-0,067	-0,066	-0,058	-0,058	7,9	-42,4
076	SLE rare	No	-0,106	-0,104	-0,105	-0,107	0,0	0,0

Cedimento massimo = -0.09 cm in Cmb n° 076

Cedimento minimo = -0.02 cm in Cmb n° 066

Cmb	Sismico n°	Nodo daN/cm ^q	Car.Netto mm	Cedimenti n°	Nodo daN/cm ^q	Car.Netto mm	Cedimenti n°	Nodo daN/cm ^q	Car.Netto mm	Cedimenti
066/SLD	Si	10	-0,048	-0,30	13	-0,047	-0,38	12	-0,039	-0,18
	9	-0,039	-0,17							
076/SLE rare	No	10	-0,087	-0,88	13	-0,085	-0,92	12	-0,086	-0,67
	9	-0,088	-0,57							

ELEMENTO : PLATEA N° 3

Cmb n°	Tipologia	Sismica daN/cm ^q	Press. N1 daN/cm ^q	Press. N2 daN/cm ^q	Press. N3 daN/cm ^q	Press. N4 daN	S. Taglio X daN	S. Taglio Y
066	SLD	Si	-0,066	-0,066	-0,059	-0,058	7,9	-40,2
076	SLE rare	No	-0,104	-0,104	-0,105	-0,105	0,0	0,0

Cedimento massimo = -0.09 cm in Cmb n° 076

Cedimento minimo = -0.02 cm in Cmb n° 066

Cmb	Sismico n°	Nodo daN/cm ^q	Car.Netto mm	Cedimenti n°	Nodo daN/cm ^q	Car.Netto mm	Cedimenti n°	Nodo daN/cm ^q	Car.Netto mm	Cedimenti
066/SLD	Si	13	-0,047	-0,38	15	-0,047	-0,38	14	-0,040	-0,18
	12	-0,039	-0,18							
076/SLE rare	No	13	-0,085	-0,92	15	-0,085	-0,93	14	-0,086	-0,67
	12	-0,086	-0,67							

ELEMENTO : PLATEA N° 4

Cmb n°	Tipologia	Sismica daN/cm ^q	Press. N1 daN/cm ^q	Press. N2 daN/cm ^q	Press. N3 daN/cm ^q	Press. N4 daN	S. Taglio X daN	S. Taglio Y
066	SLD	Si	-0,066	-0,068	-0,061	-0,059	7,9	-38,2
076	SLE rare	No	-0,104	-0,106	-0,107	-0,105	0,0	0,0

Cedimento massimo = -0.11 cm in Cmb n° 076

Cedimento minimo = -0.02 cm in Cmb n° 066

Cmb	Sismico n°	Nodo daN/cm ^q	Car.Netto mm	Cedimenti n°	Nodo daN/cm ^q	Car.Netto mm	Cedimenti n°	Nodo daN/cm ^q	Car.Netto mm	Cedimenti
066/SLD	Si	15	-0,047	-0,38	17	-0,049	-0,39	16	-0,042	-0,24
	14	-0,040	-0,18							
076/SLE rare	No	15	-0,085	-0,93	17	-0,087	-1,06	16	-0,088	-0,69
	14	-0,086	-0,67							

ELEMENTO : PLATEA N° 5

Cmb n°	Tipologia	Sismica daN/cm ^q	Press. N1 daN/cm ^q	Press. N2 daN/cm ^q	Press. N3 daN/cm ^q	Press. N4 daN	S. Taglio X daN	S. Taglio Y
-----------	-----------	--------------------------------	----------------------------------	----------------------------------	----------------------------------	------------------	--------------------	-------------

066	SLD	Si	-0,068	-0,069	-0,063	-0,061	8,0	-36,2
076	SLE rare	No	-0,106	-0,107	-0,109	-0,107	0,0	0,0

Cedimento massimo = -0.11 cm in Cmb n° 076
 Cedimento minimo = -0.02 cm in Cmb n° 066

Cmb	Sismico n°	Nodo daN/cm ^q	Car.Netto mm	Cedimenti n°	Nodo daN/cm ^q	Car.Netto mm	Cedimenti n°	Nodo daN/cm ^q	Car.Netto mm	Cedimenti
066/SLD	Si	17	-0,049	-0,39	19	-0,050	-0,40	18	-0,044	-0,25
	16	-0,042	-0,24							
076/SLE rare	No	17	-0,087	-1,06	19	-0,088	-1,07	18	-0,090	-0,70
	16	-0,088	-0,69							

ELEMENTO : PLATEA N° 6

Cmb n°	Tipologia	Sismica daN/cm ^q	Press. N1 daN/cm ^q	Press. N2 daN/cm ^q	Press. N3 daN/cm ^q	Press. N4 daN	S. Taglio X daN	S. Taglio Y
068	SLD	Si	-0,069	-0,069	-0,063	-0,063	-12,4	-34,1
076	SLE rare	No	-0,107	-0,107	-0,108	-0,109	0,0	0,0

Cedimento massimo = -0.11 cm in Cmb n° 076
 Cedimento minimo = -0.03 cm in Cmb n° 068

Cmb	Sismico n°	Nodo daN/cm ^q	Car.Netto mm	Cedimenti n°	Nodo daN/cm ^q	Car.Netto mm	Cedimenti n°	Nodo daN/cm ^q	Car.Netto mm	Cedimenti
068/SLD	Si	19	-0,050	-0,40	21	-0,050	-0,40	20	-0,044	-0,25
	18	-0,044	-0,25							
076/SLE rare	No	19	-0,088	-1,07	21	-0,088	-1,07	20	-0,089	-0,69
	18	-0,090	-0,70							

ELEMENTO : PLATEA N° 7

Cmb n°	Tipologia	Sismica daN/cm ^q	Press. N1 daN/cm ^q	Press. N2 daN/cm ^q	Press. N3 daN/cm ^q	Press. N4 daN	S. Taglio X daN	S. Taglio Y
068	SLD	Si	-0,069	-0,068	-0,063	-0,063	-12,3	-32,2
076	SLE rare	No	-0,107	-0,106	-0,106	-0,108	0,0	0,0

Cedimento massimo = -0.11 cm in Cmb n° 076
 Cedimento minimo = -0.03 cm in Cmb n° 068

Cmb	Sismico n°	Nodo daN/cm ^q	Car.Netto mm	Cedimenti n°	Nodo daN/cm ^q	Car.Netto mm	Cedimenti n°	Nodo daN/cm ^q	Car.Netto mm	Cedimenti
068/SLD	Si	21	-0,050	-0,40	23	-0,049	-0,40	22	-0,044	-0,25
	20	-0,044	-0,25							
076/SLE rare	No	21	-0,088	-1,07	23	-0,087	-1,06	22	-0,087	-0,69
	20	-0,089	-0,69							

ELEMENTO : PLATEA N° 8

Cmb n°	Tipologia	Sismica daN/cm ^q	Press. N1 daN/cm ^q	Press. N2 daN/cm ^q	Press. N3 daN/cm ^q	Press. N4 daN	S. Taglio X daN	S. Taglio Y
068	SLD	Si	-0,068	-0,068	-0,063	-0,063	-12,3	-30,5
076	SLE rare	No	-0,106	-0,105	-0,106	-0,106	0,0	0,0

Cedimento massimo = -0.11 cm in Cmb n° 076
 Cedimento minimo = -0.03 cm in Cmb n° 068

Cmb	Sismico n°	Nodo daN/cm ^q	Car.Netto mm	Cedimenti n°	Nodo daN/cm ^q	Car.Netto mm	Cedimenti n°	Nodo daN/cm ^q	Car.Netto mm	Cedimenti
068/SLD	Si	23	-0,049	-0,40	25	-0,049	-0,40	24	-0,044	-0,25
	22	-0,044	-0,25							
076/SLE rare	No	23	-0,087	-1,06	25	-0,086	-1,06	24	-0,087	-0,68
	22	-0,087	-0,69							

ELEMENTO : PLATEA N° 9

Cmb n°	Tipologia	Sismica daN/cm ^q	Press. N1 daN/cm ^q	Press. N2 daN/cm ^q	Press. N3 daN/cm ^q	Press. N4 daN	S. Taglio X daN	S. Taglio Y
066	SLD	Si	-0,068	-0,069	-0,064	-0,063	8,2	-28,8
076	SLE rare	No	-0,105	-0,106	-0,107	-0,106	0,0	0,0

Cedimento massimo = -0.11 cm in Cmb n° 076
 Cedimento minimo = -0.03 cm in Cmb n° 066

Cmb	Sismico	Nodo	Car.Netto	Cedimenti	Nodo	Car.Netto	Cedimenti	Nodo	Car.Netto	Cedimenti
-----	---------	------	-----------	-----------	------	-----------	-----------	------	-----------	-----------

	<i>n°</i>	<i>daN/cmq</i>	<i>mm</i>	<i>n°</i>	<i>daN/cmq</i>	<i>mm</i>	<i>n°</i>	<i>daN/cmq</i>	<i>mm</i>	
066/SLD	Si	25	-0,049	-0,40	27	-0,050	-0,40	26	-0,045	-0,26
	24	-0,044	-0,25							
076/SLE rare	No	25	-0,086	-1,06	27	-0,087	-1,07	26	-0,088	-0,69
	24	-0,087	-0,68							

ELEMENTO : PLATEA N° 10

Cmb <i>n°</i>	Tipologia	Sismica <i>daN/cmq</i>	Press. N1 <i>daN/cmq</i>	Press. N2 <i>daN/cmq</i>	Press. N3 <i>daN/cmq</i>	Press. N4 <i>daN</i>	S. Taglio X <i>daN</i>	S. Taglio Y
066	SLD	Si	-0,069	-0,070	-0,065	-0,064	8,2	-27,3
076	SLE rare	No	-0,106	-0,107	-0,108	-0,107	0,0	0,0

Cedimento massimo = -0.11 cm in Cmb n° 076

Cedimento minimo = -0.03 cm in Cmb n° 066

Cmb	Sismico <i>n°</i>	Nodo <i>daN/cmq</i>	Car.Netto <i>mm</i>	Cedimenti <i>n°</i>	Nodo <i>daN/cmq</i>	Car.Netto <i>mm</i>	Cedimenti <i>n°</i>	Nodo <i>daN/cmq</i>	Car.Netto <i>mm</i>	Cedimenti
066/SLD	Si	27	-0,050	-0,40	29	-0,051	-0,41	28	-0,046	-0,26
	26	-0,045	-0,26							
076/SLE rare	No	27	-0,087	-1,07	29	-0,088	-1,07	28	-0,089	-0,70
	26	-0,088	-0,69							

ELEMENTO : PLATEA N° 11

Cmb <i>n°</i>	Tipologia	Sismica <i>daN/cmq</i>	Press. N1 <i>daN/cmq</i>	Press. N2 <i>daN/cmq</i>	Press. N3 <i>daN/cmq</i>	Press. N4 <i>daN</i>	S. Taglio X <i>daN</i>	S. Taglio Y
060	SLD	Si	-0,070	-0,069	-0,064	-0,065	-8,2	-27,3
076	SLE rare	No	-0,107	-0,106	-0,107	-0,108	0,0	0,0

Cedimento massimo = -0.11 cm in Cmb n° 076

Cedimento minimo = -0.03 cm in Cmb n° 060

Cmb	Sismico <i>n°</i>	Nodo <i>daN/cmq</i>	Car.Netto <i>mm</i>	Cedimenti <i>n°</i>	Nodo <i>daN/cmq</i>	Car.Netto <i>mm</i>	Cedimenti <i>n°</i>	Nodo <i>daN/cmq</i>	Car.Netto <i>mm</i>	Cedimenti
060/SLD	Si	29	-0,051	-0,41	31	-0,050	-0,40	30	-0,045	-0,26
	28	-0,046	-0,26							
076/SLE rare	No	29	-0,088	-1,07	31	-0,087	-1,07	30	-0,088	-0,69
	28	-0,089	-0,70							

ELEMENTO : PLATEA N° 12

Cmb <i>n°</i>	Tipologia	Sismica <i>daN/cmq</i>	Press. N1 <i>daN/cmq</i>	Press. N2 <i>daN/cmq</i>	Press. N3 <i>daN/cmq</i>	Press. N4 <i>daN</i>	S. Taglio X <i>daN</i>	S. Taglio Y
060	SLD	Si	-0,069	-0,068	-0,063	-0,064	-8,2	-28,8
076	SLE rare	No	-0,106	-0,105	-0,106	-0,107	0,0	0,0

Cedimento massimo = -0.11 cm in Cmb n° 076

Cedimento minimo = -0.03 cm in Cmb n° 060

Cmb	Sismico <i>n°</i>	Nodo <i>daN/cmq</i>	Car.Netto <i>mm</i>	Cedimenti <i>n°</i>	Nodo <i>daN/cmq</i>	Car.Netto <i>mm</i>	Cedimenti <i>n°</i>	Nodo <i>daN/cmq</i>	Car.Netto <i>mm</i>	Cedimenti
060/SLD	Si	31	-0,050	-0,40	33	-0,049	-0,40	32	-0,044	-0,25
	30	-0,045	-0,26							
076/SLE rare	No	31	-0,087	-1,07	33	-0,086	-1,06	32	-0,087	-0,68
	30	-0,088	-0,69							

ELEMENTO : PLATEA N° 13

Cmb <i>n°</i>	Tipologia	Sismica <i>daN/cmq</i>	Press. N1 <i>daN/cmq</i>	Press. N2 <i>daN/cmq</i>	Press. N3 <i>daN/cmq</i>	Press. N4 <i>daN</i>	S. Taglio X <i>daN</i>	S. Taglio Y
058	SLD	Si	-0,068	-0,068	-0,063	-0,063	12,3	-30,5
076	SLE rare	No	-0,105	-0,106	-0,106	-0,106	0,0	0,0

Cedimento massimo = -0.11 cm in Cmb n° 076

Cedimento minimo = -0.03 cm in Cmb n° 058

Cmb	Sismico <i>n°</i>	Nodo <i>daN/cmq</i>	Car.Netto <i>mm</i>	Cedimenti <i>n°</i>	Nodo <i>daN/cmq</i>	Car.Netto <i>mm</i>	Cedimenti <i>n°</i>	Nodo <i>daN/cmq</i>	Car.Netto <i>mm</i>	Cedimenti
058/SLD	Si	33	-0,049	-0,40	35	-0,049	-0,40	34	-0,044	-0,25
	32	-0,044	-0,25							
076/SLE rare	No	33	-0,086	-1,06	35	-0,087	-1,06	34	-0,087	-0,69
	32	-0,087	-0,68							

ELEMENTO : PLATEA N° 14

Cmb n°	Tipologia	Sismica daN/cm ^q	Press. N1 daN/cm ^q	Press. N2 daN/cm ^q	Press. N3 daN/cm ^q	Press. N4 daN	S. Taglio X daN	S. Taglio Y
058	SLD	Si	-0,068	-0,069	-0,063	-0,063	12,3	-32,2
076	SLE rare	No	-0,106	-0,107	-0,108	-0,106	0,0	0,0

Cedimento massimo = -0.11 cm in Cmb n° 076

Cedimento minimo = -0.03 cm in Cmb n° 058

Cmb	Sismico n°	Nodo daN/cm ^q	Car.Netto mm	Cedimenti n°	Nodo daN/cm ^q	Car.Netto mm	Cedimenti n°	Nodo daN/cm ^q	Car.Netto mm	Cedimenti
058/SLD	Si	35	-0,049	-0,40	37	-0,050	-0,40	36	-0,044	-0,25
	34	-0,044	-0,25							
076/SLE rare	No	35	-0,087	-1,06	37	-0,088	-1,07	36	-0,089	-0,69
	34	-0,087	-0,69							

ELEMENTO : PLATEA N° 15

Cmb n°	Tipologia	Sismica daN/cm ^q	Press. N1 daN/cm ^q	Press. N2 daN/cm ^q	Press. N3 daN/cm ^q	Press. N4 daN	S. Taglio X daN	S. Taglio Y
058	SLD	Si	-0,069	-0,069	-0,063	-0,063	12,4	-34,1
076	SLE rare	No	-0,107	-0,107	-0,109	-0,108	0,0	0,0

Cedimento massimo = -0.11 cm in Cmb n° 076

Cedimento minimo = -0.03 cm in Cmb n° 058

Cmb	Sismico n°	Nodo daN/cm ^q	Car.Netto mm	Cedimenti n°	Nodo daN/cm ^q	Car.Netto mm	Cedimenti n°	Nodo daN/cm ^q	Car.Netto mm	Cedimenti
058/SLD	Si	37	-0,050	-0,40	39	-0,050	-0,40	38	-0,044	-0,25
	36	-0,044	-0,25							
076/SLE rare	No	37	-0,088	-1,07	39	-0,088	-1,07	38	-0,090	-0,70
	36	-0,089	-0,69							

ELEMENTO : PLATEA N° 16

Cmb n°	Tipologia	Sismica daN/cm ^q	Press. N1 daN/cm ^q	Press. N2 daN/cm ^q	Press. N3 daN/cm ^q	Press. N4 daN	S. Taglio X daN	S. Taglio Y
060	SLD	Si	-0,069	-0,068	-0,061	-0,063	-8,0	-36,2
076	SLE rare	No	-0,107	-0,106	-0,107	-0,109	0,0	0,0

Cedimento massimo = -0.11 cm in Cmb n° 076

Cedimento minimo = -0.02 cm in Cmb n° 060

Cmb	Sismico n°	Nodo daN/cm ^q	Car.Netto mm	Cedimenti n°	Nodo daN/cm ^q	Car.Netto mm	Cedimenti n°	Nodo daN/cm ^q	Car.Netto mm	Cedimenti
060/SLD	Si	39	-0,050	-0,40	41	-0,049	-0,39	40	-0,042	-0,24
	38	-0,044	-0,25							
076/SLE rare	No	39	-0,088	-1,07	41	-0,087	-1,06	40	-0,088	-0,69
	38	-0,090	-0,70							

ELEMENTO : PLATEA N° 17

Cmb n°	Tipologia	Sismica daN/cm ^q	Press. N1 daN/cm ^q	Press. N2 daN/cm ^q	Press. N3 daN/cm ^q	Press. N4 daN	S. Taglio X daN	S. Taglio Y
060	SLD	Si	-0,068	-0,066	-0,059	-0,061	-7,9	-38,2
076	SLE rare	No	-0,106	-0,104	-0,105	-0,107	0,0	0,0

Cedimento massimo = -0.11 cm in Cmb n° 076

Cedimento minimo = -0.02 cm in Cmb n° 060

Cmb	Sismico n°	Nodo daN/cm ^q	Car.Netto mm	Cedimenti n°	Nodo daN/cm ^q	Car.Netto mm	Cedimenti n°	Nodo daN/cm ^q	Car.Netto mm	Cedimenti
060/SLD	Si	41	-0,049	-0,39	43	-0,047	-0,38	42	-0,040	-0,18
	40	-0,042	-0,24							
076/SLE rare	No	41	-0,087	-1,06	43	-0,085	-0,93	42	-0,086	-0,67
	40	-0,088	-0,69							

ELEMENTO : PLATEA N° 18

Cmb n°	Tipologia	Sismica daN/cm ^q	Press. N1 daN/cm ^q	Press. N2 daN/cm ^q	Press. N3 daN/cm ^q	Press. N4 daN	S. Taglio X daN	S. Taglio Y
060	SLD	Si	-0,066	-0,066	-0,058	-0,059	-7,9	-40,2
076	SLE rare	No	-0,104	-0,104	-0,105	-0,105	0,0	0,0

Cedimento massimo = -0.09 cm in Cmb n° 076
 Cedimento minimo = -0.02 cm in Cmb n° 060

Cmb	Sismico n°	Nodo daN/cm ^q	Car.Netto mm	Cedimenti n°	Nodo daN/cm ^q	Car.Netto mm	Cedimenti n°	Nodo daN/cm ^q	Car.Netto mm	Cedimenti
060/SLD	Si	43	-0,047	-0,38	45	-0,047	-0,38	44	-0,039	-0,18
	42	-0,040	-0,18							
076/SLE rare	No	43	-0,085	-0,93	45	-0,085	-0,92	44	-0,086	-0,67
	42	-0,086	-0,67							

ELEMENTO : PLATEA N° 19

Cmb n°	Tipologia	Sismica daN/cm ^q	Press. N1 daN/cm ^q	Press. N2 daN/cm ^q	Press. N3 daN/cm ^q	Press. N4 daN	S. Taglio X daN	S. Taglio Y
060	SLD	Si	-0,066	-0,067	-0,058	-0,058	-7,9	-42,4
076	SLE rare	No	-0,104	-0,106	-0,107	-0,105	0,0	0,0

Cedimento massimo = -0.09 cm in Cmb n° 076
 Cedimento minimo = -0.02 cm in Cmb n° 060

Cmb	Sismico n°	Nodo daN/cm ^q	Car.Netto mm	Cedimenti n°	Nodo daN/cm ^q	Car.Netto mm	Cedimenti n°	Nodo daN/cm ^q	Car.Netto mm	Cedimenti
060/SLD	Si	45	-0,047	-0,38	47	-0,048	-0,30	46	-0,039	-0,17
	44	-0,039	-0,18							
076/SLE rare	No	45	-0,085	-0,92	47	-0,087	-0,88	46	-0,088	-0,57
	44	-0,086	-0,67							

ELEMENTO : PLATEA N° 20

Cmb n°	Tipologia	Sismica daN/cm ^q	Press. N1 daN/cm ^q	Press. N2 daN/cm ^q	Press. N3 daN/cm ^q	Press. N4 daN	S. Taglio X daN	S. Taglio Y
060	SLD	Si	-0,067	-0,069	-0,059	-0,058	-7,9	-44,5
076	SLE rare	No	-0,106	-0,110	-0,111	-0,107	0,0	0,0

Cedimento massimo = -0.09 cm in Cmb n° 076
 Cedimento minimo = -0.01 cm in Cmb n° 060

Cmb	Sismico n°	Nodo daN/cm ^q	Car.Netto mm	Cedimenti n°	Nodo daN/cm ^q	Car.Netto mm	Cedimenti n°	Nodo daN/cm ^q	Car.Netto mm	Cedimenti
060/SLD	Si	47	-0,048	-0,30	48	-0,050	-0,12	7	-0,040	-0,06
	46	-0,039	-0,17							
076/SLE rare	No	47	-0,087	-0,88	48	-0,091	-0,29	7	-0,092	-0,26
	46	-0,088	-0,57							

ELEMENTO : PLATEA N° 21

Cmb n°	Tipologia	Sismica daN/cm ^q	Press. N1 daN/cm ^q	Press. N2 daN/cm ^q	Press. N3 daN/cm ^q	Press. N4 daN	S. Taglio X daN	S. Taglio Y
046	SLD	Si	-0,068	-0,069	-0,066	-0,065	34,1	-13,6
076	SLE rare	No	-0,110	-0,106	-0,106	-0,110	0,0	0,0

Cedimento massimo = -0.09 cm in Cmb n° 076
 Cedimento minimo = -0.01 cm in Cmb n° 046

Cmb	Sismico n°	Nodo daN/cm ^q	Car.Netto mm	Cedimenti n°	Nodo daN/cm ^q	Car.Netto mm	Cedimenti n°	Nodo daN/cm ^q	Car.Netto mm	Cedimenti
046/SLD	Si	50	-0,049	-0,12	49	-0,050	-0,38	10	-0,047	-0,30
	11	-0,046	-0,11							
076/SLE rare	No	50	-0,091	-0,29	49	-0,087	-0,88	10	-0,087	-0,88
	11	-0,091	-0,29							

ELEMENTO : PLATEA N° 22

Cmb n°	Tipologia	Sismica daN/cm ^q	Press. N1 daN/cm ^q	Press. N2 daN/cm ^q	Press. N3 daN/cm ^q	Press. N4 daN	S. Taglio X daN	S. Taglio Y
046	SLD	Si	-0,069	-0,069	-0,067	-0,066	34,1	-13,1
076	SLE rare	No	-0,106	-0,104	-0,104	-0,106	0,0	0,0

Cedimento massimo = -0.09 cm in Cmb n° 076
 Cedimento minimo = -0.03 cm in Cmb n° 046

Cmb	Sismico n°	Nodo daN/cm ^q	Car.Netto mm	Cedimenti n°	Nodo daN/cm ^q	Car.Netto mm	Cedimenti n°	Nodo daN/cm ^q	Car.Netto mm	Cedimenti
046/SLD	Si	49	-0,050	-0,38	51	-0,050	-0,40	13	-0,048	-0,38

10	-0,047	-0,30								
076/SLE rare	No	49	-0,087	-0,88	51	-0,085	-0,92	13	-0,085	-0,92
10	-0,087	-0,88								

ELEMENTO : PLATEA N° 23

Cmb n°	Tipologia	Sismica daN/cm ^q	Press. N1 daN/cm ^q	Press. N2 daN/cm ^q	Press. N3 daN/cm ^q	Press. N4 daN	S. Taglio X daN	S. Taglio Y
066	SLD	Si	-0,073	-0,073	-0,066	-0,066	10,3	-40,2
076	SLE rare	No	-0,104	-0,104	-0,104	-0,104	0,0	0,0

Cedimento massimo = -0.09 cm in Cmb n° 076
 Cedimento minimo = -0.04 cm in Cmb n° 066

Cmb n°	Sismico n°	Nodo daN/cm ^q	Car.Netto mm	Cedimenti n°	Nodo daN/cm ^q	Car.Netto mm	Cedimenti n°	Nodo daN/cm ^q	Car.Netto mm	Cedimenti
066/SLD	Si	51	-0,054	-0,43	52	-0,054	-0,44	15	-0,047	-0,38
	13	-0,047	-0,38							
076/SLE rare	No	51	-0,085	-0,92	52	-0,085	-0,93	15	-0,085	-0,93
	13	-0,085	-0,92							

ELEMENTO : PLATEA N° 24

Cmb n°	Tipologia	Sismica daN/cm ^q	Press. N1 daN/cm ^q	Press. N2 daN/cm ^q	Press. N3 daN/cm ^q	Press. N4 daN	S. Taglio X daN	S. Taglio Y
066	SLD	Si	-0,073	-0,074	-0,068	-0,066	10,3	-38,1
076	SLE rare	No	-0,104	-0,106	-0,106	-0,104	0,0	0,0

Cedimento massimo = -0.11 cm in Cmb n° 076
 Cedimento minimo = -0.04 cm in Cmb n° 066

Cmb n°	Sismico n°	Nodo daN/cm ^q	Car.Netto mm	Cedimenti n°	Nodo daN/cm ^q	Car.Netto mm	Cedimenti n°	Nodo daN/cm ^q	Car.Netto mm	Cedimenti
066/SLD	Si	52	-0,054	-0,44	53	-0,055	-0,44	17	-0,049	-0,39
	15	-0,047	-0,38							
076/SLE rare	No	52	-0,085	-0,93	53	-0,087	-1,06	17	-0,087	-1,06
	15	-0,085	-0,93							

ELEMENTO : PLATEA N° 25

Cmb n°	Tipologia	Sismica daN/cm ^q	Press. N1 daN/cm ^q	Press. N2 daN/cm ^q	Press. N3 daN/cm ^q	Press. N4 daN	S. Taglio X daN	S. Taglio Y
066	SLD	Si	-0,074	-0,075	-0,069	-0,068	10,3	-36,1
076	SLE rare	No	-0,106	-0,107	-0,107	-0,106	0,0	0,0

Cedimento massimo = -0.11 cm in Cmb n° 076
 Cedimento minimo = -0.04 cm in Cmb n° 066

Cmb n°	Sismico n°	Nodo daN/cm ^q	Car.Netto mm	Cedimenti n°	Nodo daN/cm ^q	Car.Netto mm	Cedimenti n°	Nodo daN/cm ^q	Car.Netto mm	Cedimenti
066/SLD	Si	53	-0,055	-0,44	54	-0,056	-0,45	19	-0,050	-0,40
	17	-0,049	-0,39							
076/SLE rare	No	53	-0,087	-1,06	54	-0,088	-1,07	19	-0,088	-1,07
	17	-0,087	-1,06							

ELEMENTO : PLATEA N° 26

Cmb n°	Tipologia	Sismica daN/cm ^q	Press. N1 daN/cm ^q	Press. N2 daN/cm ^q	Press. N3 daN/cm ^q	Press. N4 daN	S. Taglio X daN	S. Taglio Y
068	SLD	Si	-0,075	-0,075	-0,069	-0,069	-10,2	-34,1
076	SLE rare	No	-0,107	-0,107	-0,107	-0,107	0,0	0,0

Cedimento massimo = -0.11 cm in Cmb n° 076
 Cedimento minimo = -0.04 cm in Cmb n° 068

Cmb n°	Sismico n°	Nodo daN/cm ^q	Car.Netto mm	Cedimenti n°	Nodo daN/cm ^q	Car.Netto mm	Cedimenti n°	Nodo daN/cm ^q	Car.Netto mm	Cedimenti
068/SLD	Si	54	-0,056	-0,45	55	-0,056	-0,45	21	-0,050	-0,40
	19	-0,050	-0,40							
076/SLE rare	No	54	-0,088	-1,07	55	-0,088	-1,07	21	-0,088	-1,07
	19	-0,088	-1,07							

ELEMENTO : PLATEA N° 27

Cmb n°	Tipologia	Sismica	Press. N1	Press. N2	Press. N3	Press. N4	S. Taglio X	S. Taglio Y
--------	-----------	---------	-----------	-----------	-----------	-----------	-------------	-------------

n°		daN/cm ^q	daN/cm ^q	daN/cm ^q	daN/cm ^q	daN	daN	
068	SLD	Si	-0,075	-0,074	-0,068	-0,069	-10,2	-32,2
076	SLE rare	No	-0,107	-0,106	-0,106	-0,107	0,0	0,0

Cedimento massimo = -0.11 cm in Cmb n° 076
 Cedimento minimo = -0.04 cm in Cmb n° 068

Cmb	Sismico	Nodo	Car.Netto	Cedimenti	Nodo	Car.Netto	Cedimenti	Nodo	Car.Netto	Cedimenti
n°	n°	daN/cm ^q	mm	n°	daN/cm ^q	mm	n°	daN/cm ^q	mm	
068/SLD	Si	55	-0,056	-0,45	56	-0,055	-0,44	23	-0,049	-0,40
	21	-0,050	-0,40							
076/SLE rare	No	55	-0,088	-1,07	56	-0,087	-1,07	23	-0,087	-1,06
	21	-0,088	-1,07							

ELEMENTO : PLATEA N° 28

Cmb	Tipologia	Sismica	Press. N1	Press. N2	Press. N3	Press. N4	S. Taglio X	S. Taglio Y
n°		daN/cm ^q	daN/cm ^q	daN/cm ^q	daN/cm ^q	daN	daN	
068	SLD	Si	-0,074	-0,074	-0,068	-0,068	-10,2	-30,5
076	SLE rare	No	-0,106	-0,106	-0,105	-0,106	0,0	0,0

Cedimento massimo = -0.11 cm in Cmb n° 076
 Cedimento minimo = -0.04 cm in Cmb n° 068

Cmb	Sismico	Nodo	Car.Netto	Cedimenti	Nodo	Car.Netto	Cedimenti	Nodo	Car.Netto	Cedimenti
n°	n°	daN/cm ^q	mm	n°	daN/cm ^q	mm	n°	daN/cm ^q	mm	
068/SLD	Si	56	-0,055	-0,44	57	-0,055	-0,44	25	-0,049	-0,40
	23	-0,049	-0,40							
076/SLE rare	No	56	-0,087	-1,07	57	-0,087	-1,06	25	-0,086	-1,06
	23	-0,087	-1,06							

ELEMENTO : PLATEA N° 29

Cmb	Tipologia	Sismica	Press. N1	Press. N2	Press. N3	Press. N4	S. Taglio X	S. Taglio Y
n°		daN/cm ^q	daN/cm ^q	daN/cm ^q	daN/cm ^q	daN	daN	
066	SLD	Si	-0,074	-0,074	-0,069	-0,068	10,2	-28,8
076	SLE rare	No	-0,106	-0,106	-0,106	-0,105	0,0	0,0

Cedimento massimo = -0.11 cm in Cmb n° 076
 Cedimento minimo = -0.04 cm in Cmb n° 066

Cmb	Sismico	Nodo	Car.Netto	Cedimenti	Nodo	Car.Netto	Cedimenti	Nodo	Car.Netto	Cedimenti
n°	n°	daN/cm ^q	mm	n°	daN/cm ^q	mm	n°	daN/cm ^q	mm	
066/SLD	Si	57	-0,055	-0,44	58	-0,055	-0,44	27	-0,050	-0,40
	25	-0,049	-0,40							
076/SLE rare	No	57	-0,087	-1,06	58	-0,087	-1,07	27	-0,087	-1,07
	25	-0,086	-1,06							

ELEMENTO : PLATEA N° 30

Cmb	Tipologia	Sismica	Press. N1	Press. N2	Press. N3	Press. N4	S. Taglio X	S. Taglio Y
n°		daN/cm ^q	daN/cm ^q	daN/cm ^q	daN/cm ^q	daN	daN	
066	SLD	Si	-0,074	-0,074	-0,070	-0,069	10,2	-27,2
076	SLE rare	No	-0,106	-0,107	-0,107	-0,106	0,0	0,0

Cedimento massimo = -0.11 cm in Cmb n° 076
 Cedimento minimo = -0.04 cm in Cmb n° 066

Cmb	Sismico	Nodo	Car.Netto	Cedimenti	Nodo	Car.Netto	Cedimenti	Nodo	Car.Netto	Cedimenti
n°	n°	daN/cm ^q	mm	n°	daN/cm ^q	mm	n°	daN/cm ^q	mm	
066/SLD	Si	58	-0,055	-0,44	59	-0,055	-0,44	29	-0,051	-0,41
	27	-0,050	-0,40							
076/SLE rare	No	58	-0,087	-1,07	59	-0,088	-1,07	29	-0,088	-1,07
	27	-0,087	-1,07							

ELEMENTO : PLATEA N° 31

Cmb	Tipologia	Sismica	Press. N1	Press. N2	Press. N3	Press. N4	S. Taglio X	S. Taglio Y
n°		daN/cm ^q	daN/cm ^q	daN/cm ^q	daN/cm ^q	daN	daN	
060	SLD	Si	-0,074	-0,074	-0,069	-0,070	-10,2	-27,2
076	SLE rare	No	-0,107	-0,106	-0,106	-0,107	0,0	0,0

Cedimento massimo = -0.11 cm in Cmb n° 076
 Cedimento minimo = -0.04 cm in Cmb n° 060

Cmb	Sismico n°	Nodo daN/cm ^q	Car.Netto mm	Cedimenti n°	Nodo daN/cm ^q	Car.Netto mm	Cedimenti n°	Nodo daN/cm ^q	Car.Netto mm	Cedimenti
060/SLD	Si	59	-0,055	-0,44	60	-0,055	-0,44	31	-0,050	-0,40
	29	-0,051	-0,41							
076/SLE rare	No	59	-0,088	-1,07	60	-0,087	-1,07	31	-0,087	-1,07
	29	-0,088	-1,07							

ELEMENTO : PLATEA N° 32

Cmb n°	Tipologia	Sismica daN/cm ^q	Press. N1 daN/cm ^q	Press. N2 daN/cm ^q	Press. N3 daN/cm ^q	Press. N4 daN	S. Taglio X daN	S. Taglio Y
060	SLD	Si	-0,074	-0,074	-0,068	-0,069	-10,2	-28,8
076	SLE rare	No	-0,106	-0,106	-0,105	-0,106	0,0	0,0

Cedimento massimo = -0.11 cm in Cmb n° 076

Cedimento minimo = -0.04 cm in Cmb n° 060

Cmb	Sismico n°	Nodo daN/cm ^q	Car.Netto mm	Cedimenti n°	Nodo daN/cm ^q	Car.Netto mm	Cedimenti n°	Nodo daN/cm ^q	Car.Netto mm	Cedimenti
060/SLD	Si	60	-0,055	-0,44	61	-0,055	-0,44	33	-0,049	-0,40
	31	-0,050	-0,40							
076/SLE rare	No	60	-0,087	-1,07	61	-0,087	-1,06	33	-0,086	-1,06
	31	-0,087	-1,07							

ELEMENTO : PLATEA N° 33

Cmb n°	Tipologia	Sismica daN/cm ^q	Press. N1 daN/cm ^q	Press. N2 daN/cm ^q	Press. N3 daN/cm ^q	Press. N4 daN	S. Taglio X daN	S. Taglio Y
058	SLD	Si	-0,074	-0,074	-0,068	-0,068	10,2	-30,5
076	SLE rare	No	-0,106	-0,106	-0,106	-0,105	0,0	0,0

Cedimento massimo = -0.11 cm in Cmb n° 076

Cedimento minimo = -0.04 cm in Cmb n° 058

Cmb	Sismico n°	Nodo daN/cm ^q	Car.Netto mm	Cedimenti n°	Nodo daN/cm ^q	Car.Netto mm	Cedimenti n°	Nodo daN/cm ^q	Car.Netto mm	Cedimenti
058/SLD	Si	61	-0,055	-0,44	62	-0,055	-0,44	35	-0,049	-0,40
	33	-0,049	-0,40							
076/SLE rare	No	61	-0,087	-1,06	62	-0,087	-1,07	35	-0,087	-1,06
	33	-0,086	-1,06							

ELEMENTO : PLATEA N° 34

Cmb n°	Tipologia	Sismica daN/cm ^q	Press. N1 daN/cm ^q	Press. N2 daN/cm ^q	Press. N3 daN/cm ^q	Press. N4 daN	S. Taglio X daN	S. Taglio Y
058	SLD	Si	-0,074	-0,075	-0,069	-0,068	10,2	-32,2
076	SLE rare	No	-0,106	-0,107	-0,107	-0,106	0,0	0,0

Cedimento massimo = -0.11 cm in Cmb n° 076

Cedimento minimo = -0.04 cm in Cmb n° 058

Cmb	Sismico n°	Nodo daN/cm ^q	Car.Netto mm	Cedimenti n°	Nodo daN/cm ^q	Car.Netto mm	Cedimenti n°	Nodo daN/cm ^q	Car.Netto mm	Cedimenti
058/SLD	Si	62	-0,055	-0,44	63	-0,056	-0,45	37	-0,050	-0,40
	35	-0,049	-0,40							
076/SLE rare	No	62	-0,087	-1,07	63	-0,088	-1,07	37	-0,088	-1,07
	35	-0,087	-1,06							

ELEMENTO : PLATEA N° 35

Cmb n°	Tipologia	Sismica daN/cm ^q	Press. N1 daN/cm ^q	Press. N2 daN/cm ^q	Press. N3 daN/cm ^q	Press. N4 daN	S. Taglio X daN	S. Taglio Y
058	SLD	Si	-0,075	-0,075	-0,069	-0,069	10,2	-34,1
076	SLE rare	No	-0,107	-0,107	-0,107	-0,107	0,0	0,0

Cedimento massimo = -0.11 cm in Cmb n° 076

Cedimento minimo = -0.04 cm in Cmb n° 058

Cmb	Sismico n°	Nodo daN/cm ^q	Car.Netto mm	Cedimenti n°	Nodo daN/cm ^q	Car.Netto mm	Cedimenti n°	Nodo daN/cm ^q	Car.Netto mm	Cedimenti
058/SLD	Si	63	-0,056	-0,45	64	-0,056	-0,45	39	-0,050	-0,40
	37	-0,050	-0,40							
076/SLE rare	No	63	-0,088	-1,07	64	-0,088	-1,07	39	-0,088	-1,07
	37	-0,088	-1,07							

ELEMENTO : PLATEA N° 36

Cmb n°	Tipologia	Sismica daN/cm ^q	Press. N1 daN/cm ^q	Press. N2 daN/cm ^q	Press. N3 daN/cm ^q	Press. N4 daN	S. Taglio X daN	S. Taglio Y
060	SLD	Si	-0,075	-0,074	-0,068	-0,069	-10,3	-36,1
076	SLE rare	No	-0,107	-0,106	-0,106	-0,107	0,0	0,0

Cedimento massimo = -0.11 cm in Cmb n° 076

Cedimento minimo = -0.04 cm in Cmb n° 060

Cmb	Sismico n°	Nodo daN/cm ^q	Car.Netto mm	Cedimenti n°	Nodo daN/cm ^q	Car.Netto mm	Cedimenti n°	Nodo daN/cm ^q	Car.Netto mm	Cedimenti
060/SLD	Si	64	-0,056	-0,45	65	-0,055	-0,44	41	-0,049	-0,39
	39	-0,050	-0,40							
076/SLE rare	No	64	-0,088	-1,07	65	-0,087	-1,06	41	-0,087	-1,06
	39	-0,088	-1,07							

ELEMENTO : PLATEA N° 37

Cmb n°	Tipologia	Sismica daN/cm ^q	Press. N1 daN/cm ^q	Press. N2 daN/cm ^q	Press. N3 daN/cm ^q	Press. N4 daN	S. Taglio X daN	S. Taglio Y
060	SLD	Si	-0,074	-0,073	-0,066	-0,068	-10,3	-38,1
076	SLE rare	No	-0,106	-0,104	-0,104	-0,106	0,0	0,0

Cedimento massimo = -0.11 cm in Cmb n° 076

Cedimento minimo = -0.04 cm in Cmb n° 060

Cmb	Sismico n°	Nodo daN/cm ^q	Car.Netto mm	Cedimenti n°	Nodo daN/cm ^q	Car.Netto mm	Cedimenti n°	Nodo daN/cm ^q	Car.Netto mm	Cedimenti
060/SLD	Si	65	-0,055	-0,44	66	-0,054	-0,44	43	-0,047	-0,38
	41	-0,049	-0,39							
076/SLE rare	No	65	-0,087	-1,06	66	-0,085	-0,93	43	-0,085	-0,93
	41	-0,087	-1,06							

ELEMENTO : PLATEA N° 38

Cmb n°	Tipologia	Sismica daN/cm ^q	Press. N1 daN/cm ^q	Press. N2 daN/cm ^q	Press. N3 daN/cm ^q	Press. N4 daN	S. Taglio X daN	S. Taglio Y
060	SLD	Si	-0,073	-0,073	-0,066	-0,066	-10,3	-40,2
076	SLE rare	No	-0,104	-0,104	-0,104	-0,104	0,0	0,0

Cedimento massimo = -0.09 cm in Cmb n° 076

Cedimento minimo = -0.04 cm in Cmb n° 060

Cmb	Sismico n°	Nodo daN/cm ^q	Car.Netto mm	Cedimenti n°	Nodo daN/cm ^q	Car.Netto mm	Cedimenti n°	Nodo daN/cm ^q	Car.Netto mm	Cedimenti
060/SLD	Si	66	-0,054	-0,44	67	-0,054	-0,43	45	-0,047	-0,38
	43	-0,047	-0,38							
076/SLE rare	No	66	-0,085	-0,93	67	-0,085	-0,92	45	-0,085	-0,92
	43	-0,085	-0,93							

ELEMENTO : PLATEA N° 39

Cmb n°	Tipologia	Sismica daN/cm ^q	Press. N1 daN/cm ^q	Press. N2 daN/cm ^q	Press. N3 daN/cm ^q	Press. N4 daN	S. Taglio X daN	S. Taglio Y
044	SLD	Si	-0,069	-0,069	-0,066	-0,067	-34,1	-13,1
076	SLE rare	No	-0,104	-0,106	-0,106	-0,104	0,0	0,0

Cedimento massimo = -0.09 cm in Cmb n° 076

Cedimento minimo = -0.03 cm in Cmb n° 044

Cmb	Sismico n°	Nodo daN/cm ^q	Car.Netto mm	Cedimenti n°	Nodo daN/cm ^q	Car.Netto mm	Cedimenti n°	Nodo daN/cm ^q	Car.Netto mm	Cedimenti
044/SLD	Si	67	-0,050	-0,40	68	-0,050	-0,38	47	-0,047	-0,30
	45	-0,048	-0,38							
076/SLE rare	No	67	-0,085	-0,92	68	-0,087	-0,88	47	-0,087	-0,88
	45	-0,085	-0,92							

ELEMENTO : PLATEA N° 40

Cmb n°	Tipologia	Sismica daN/cm ^q	Press. N1 daN/cm ^q	Press. N2 daN/cm ^q	Press. N3 daN/cm ^q	Press. N4 daN	S. Taglio X daN	S. Taglio Y
044	SLD	Si	-0,069	-0,068	-0,065	-0,066	-34,1	-13,6
076	SLE rare	No	-0,106	-0,110	-0,110	-0,106	0,0	0,0

Cedimento massimo = -0.09 cm in Cmb n° 076
 Cedimento minimo = -0.01 cm in Cmb n° 044

Cmb	Sismico n°	Nodo daN/cm ^q	Car.Netto mm	Cedimenti n°	Nodo daN/cm ^q	Car.Netto mm	Cedimenti n°	Nodo daN/cm ^q	Car.Netto mm	Cedimenti
044/SLD	Si	68	-0,050	-0,38	69	-0,049	-0,12	48	-0,046	-0,11
	47	-0,047	-0,30							
076/SLE rare	No	68	-0,087	-0,88	69	-0,091	-0,29	48	-0,091	-0,29
	47	-0,087	-0,88							

ELEMENTO : PLATEA N° 41

Cmb n°	Tipologia	Sismica daN/cm ^q	Press. N1 daN/cm ^q	Press. N2 daN/cm ^q	Press. N3 daN/cm ^q	Press. N4 daN	S. Taglio X daN	S. Taglio Y
065	SLD	Si	-0,059	-0,059	-0,066	-0,068	7,8	44,4
076	SLE rare	No	-0,112	-0,108	-0,106	-0,110	0,0	0,0

Cedimento massimo = -0.09 cm in Cmb n° 076
 Cedimento minimo = -0.01 cm in Cmb n° 065

Cmb	Sismico n°	Nodo daN/cm ^q	Car.Netto mm	Cedimenti n°	Nodo daN/cm ^q	Car.Netto mm	Cedimenti n°	Nodo daN/cm ^q	Car.Netto mm	Cedimenti
065/SLD	Si	5	-0,040	-0,06	70	-0,040	-0,17	49	-0,047	-0,30
	50	-0,049	-0,12							
076/SLE rare	No	5	-0,093	-0,26	70	-0,089	-0,57	49	-0,087	-0,88
	50	-0,091	-0,29							

ELEMENTO : PLATEA N° 42

Cmb n°	Tipologia	Sismica daN/cm ^q	Press. N1 daN/cm ^q	Press. N2 daN/cm ^q	Press. N3 daN/cm ^q	Press. N4 daN	S. Taglio X daN	S. Taglio Y
065	SLD	Si	-0,059	-0,059	-0,066	-0,066	7,8	42,2
076	SLE rare	No	-0,108	-0,105	-0,104	-0,106	0,0	0,0

Cedimento massimo = -0.09 cm in Cmb n° 076
 Cedimento minimo = -0.02 cm in Cmb n° 065

Cmb	Sismico n°	Nodo daN/cm ^q	Car.Netto mm	Cedimenti n°	Nodo daN/cm ^q	Car.Netto mm	Cedimenti n°	Nodo daN/cm ^q	Car.Netto mm	Cedimenti
065/SLD	Si	70	-0,040	-0,17	71	-0,040	-0,18	51	-0,047	-0,38
	49	-0,047	-0,30							
076/SLE rare	No	70	-0,089	-0,57	71	-0,086	-0,67	51	-0,085	-0,92
	49	-0,087	-0,88							

ELEMENTO : PLATEA N° 43

Cmb n°	Tipologia	Sismica daN/cm ^q	Press. N1 daN/cm ^q	Press. N2 daN/cm ^q	Press. N3 daN/cm ^q	Press. N4 daN	S. Taglio X daN	S. Taglio Y
065	SLD	Si	-0,059	-0,060	-0,066	-0,066	7,8	40,0
076	SLE rare	No	-0,105	-0,105	-0,104	-0,104	0,0	0,0

Cedimento massimo = -0.09 cm in Cmb n° 076
 Cedimento minimo = -0.02 cm in Cmb n° 065

Cmb	Sismico n°	Nodo daN/cm ^q	Car.Netto mm	Cedimenti n°	Nodo daN/cm ^q	Car.Netto mm	Cedimenti n°	Nodo daN/cm ^q	Car.Netto mm	Cedimenti
065/SLD	Si	71	-0,040	-0,18	72	-0,041	-0,24	52	-0,047	-0,39
	51	-0,047	-0,38							
076/SLE rare	No	71	-0,086	-0,67	72	-0,086	-0,68	52	-0,085	-0,93
	51	-0,085	-0,92							

ELEMENTO : PLATEA N° 44

Cmb n°	Tipologia	Sismica daN/cm ^q	Press. N1 daN/cm ^q	Press. N2 daN/cm ^q	Press. N3 daN/cm ^q	Press. N4 daN	S. Taglio X daN	S. Taglio Y
065	SLD	Si	-0,060	-0,062	-0,068	-0,066	7,9	38,0
076	SLE rare	No	-0,105	-0,108	-0,106	-0,104	0,0	0,0

Cedimento massimo = -0.11 cm in Cmb n° 076
 Cedimento minimo = -0.02 cm in Cmb n° 065

Cmb	Sismico n°	Nodo daN/cm ^q	Car.Netto mm	Cedimenti n°	Nodo daN/cm ^q	Car.Netto mm	Cedimenti n°	Nodo daN/cm ^q	Car.Netto mm	Cedimenti
-----	---------------	-----------------------------	-----------------	-----------------	-----------------------------	-----------------	-----------------	-----------------------------	-----------------	-----------

065/SLD	Si	72	-0,041	-0,24	73	-0,043	-0,25	53	-0,049	-0,40
	52	-0,047	-0,39							
076/SLE rare	No	72	-0,086	-0,68	73	-0,089	-0,69	53	-0,087	-1,06
	52	-0,085	-0,93							

ELEMENTO : PLATEA N° 45

Cmb n°	Tipologia	Sismica daN/cm ^q	Press. N1 daN/cm ^q	Press. N2 daN/cm ^q	Press. N3 daN/cm ^q	Press. N4 daN	S. Taglio X daN	S. Taglio Y
065	SLD	Si	-0,062	-0,064	-0,069	-0,068	7,9	36,0
076	SLE rare	No	-0,108	-0,109	-0,107	-0,106	0,0	0,0

Cedimento massimo = -0.11 cm in Cmb n° 076

Cedimento minimo = -0.02 cm in Cmb n° 065

Cmb n°	Sismico n°	Nodo daN/cm ^q	Car.Netto mm	Cedimenti n°	Nodo daN/cm ^q	Car.Netto mm	Cedimenti n°	Nodo daN/cm ^q	Car.Netto mm	Cedimenti
065/SLD	Si	73	-0,043	-0,25	74	-0,045	-0,25	54	-0,050	-0,40
	53	-0,049	-0,40							
076/SLE rare	No	73	-0,089	-0,69	74	-0,090	-0,70	54	-0,088	-1,07
	53	-0,087	-1,06							

ELEMENTO : PLATEA N° 46

Cmb n°	Tipologia	Sismica daN/cm ^q	Press. N1 daN/cm ^q	Press. N2 daN/cm ^q	Press. N3 daN/cm ^q	Press. N4 daN	S. Taglio X daN	S. Taglio Y
067	SLD	Si	-0,064	-0,064	-0,069	-0,069	-12,5	34,2
076	SLE rare	No	-0,109	-0,108	-0,107	-0,107	0,0	0,0

Cedimento massimo = -0.11 cm in Cmb n° 076

Cedimento minimo = -0.03 cm in Cmb n° 067

Cmb n°	Sismico n°	Nodo daN/cm ^q	Car.Netto mm	Cedimenti n°	Nodo daN/cm ^q	Car.Netto mm	Cedimenti n°	Nodo daN/cm ^q	Car.Netto mm	Cedimenti
067/SLD	Si	74	-0,045	-0,25	75	-0,045	-0,25	55	-0,050	-0,40
	54	-0,050	-0,40							
076/SLE rare	No	74	-0,090	-0,70	75	-0,089	-0,70	55	-0,088	-1,07
	54	-0,088	-1,07							

ELEMENTO : PLATEA N° 47

Cmb n°	Tipologia	Sismica daN/cm ^q	Press. N1 daN/cm ^q	Press. N2 daN/cm ^q	Press. N3 daN/cm ^q	Press. N4 daN	S. Taglio X daN	S. Taglio Y
067	SLD	Si	-0,064	-0,063	-0,068	-0,069	-12,4	32,3
076	SLE rare	No	-0,108	-0,107	-0,106	-0,107	0,0	0,0

Cedimento massimo = -0.11 cm in Cmb n° 076

Cedimento minimo = -0.03 cm in Cmb n° 067

Cmb n°	Sismico n°	Nodo daN/cm ^q	Car.Netto mm	Cedimenti n°	Nodo daN/cm ^q	Car.Netto mm	Cedimenti n°	Nodo daN/cm ^q	Car.Netto mm	Cedimenti
067/SLD	Si	75	-0,045	-0,25	76	-0,044	-0,25	56	-0,049	-0,40
	55	-0,050	-0,40							
076/SLE rare	No	75	-0,089	-0,70	76	-0,088	-0,69	56	-0,087	-1,07
	55	-0,088	-1,07							

ELEMENTO : PLATEA N° 48

Cmb n°	Tipologia	Sismica daN/cm ^q	Press. N1 daN/cm ^q	Press. N2 daN/cm ^q	Press. N3 daN/cm ^q	Press. N4 daN	S. Taglio X daN	S. Taglio Y
067	SLD	Si	-0,063	-0,064	-0,068	-0,068	-12,3	30,5
076	SLE rare	No	-0,107	-0,107	-0,106	-0,106	0,0	0,0

Cedimento massimo = -0.11 cm in Cmb n° 076

Cedimento minimo = -0.03 cm in Cmb n° 067

Cmb n°	Sismico n°	Nodo daN/cm ^q	Car.Netto mm	Cedimenti n°	Nodo daN/cm ^q	Car.Netto mm	Cedimenti n°	Nodo daN/cm ^q	Car.Netto mm	Cedimenti
067/SLD	Si	76	-0,044	-0,25	77	-0,045	-0,26	57	-0,049	-0,40
	56	-0,049	-0,40							
076/SLE rare	No	76	-0,088	-0,69	77	-0,088	-0,69	57	-0,087	-1,06
	56	-0,087	-1,07							

ELEMENTO : PLATEA N° 49

Cmb n°	Tipologia	Sismica daN/cm ^q	Press. N1 daN/cm ^q	Press. N2 daN/cm ^q	Press. N3 daN/cm ^q	Press. N4 daN	S. Taglio X daN	S. Taglio Y
065	SLD	Si	-0,064	-0,064	-0,069	-0,068	8,1	28,8
076	SLE rare	No	-0,107	-0,108	-0,106	-0,106	0,0	0,0

Cedimento massimo = -0.11 cm in Cmb n° 076
 Cedimento minimo = -0.03 cm in Cmb n° 065

Cmb	Sismico n°	Nodo daN/cm ^q	Car.Netto mm	Cedimenti n°	Nodo daN/cm ^q	Car.Netto mm	Cedimenti n°	Nodo daN/cm ^q	Car.Netto mm	Cedimenti
065/SLD	Si	77	-0,045	-0,26	78	-0,045	-0,26	58	-0,050	-0,40
	57	-0,049	-0,40							
076/SLE rare	No	77	-0,088	-0,69	78	-0,089	-0,69	58	-0,087	-1,07
	57	-0,087	-1,06							

ELEMENTO : PLATEA N° 50

Cmb n°	Tipologia	Sismica daN/cm ^q	Press. N1 daN/cm ^q	Press. N2 daN/cm ^q	Press. N3 daN/cm ^q	Press. N4 daN	S. Taglio X daN	S. Taglio Y
065	SLD	Si	-0,064	-0,065	-0,070	-0,069	8,1	27,3
076	SLE rare	No	-0,108	-0,109	-0,107	-0,106	0,0	0,0

Cedimento massimo = -0.11 cm in Cmb n° 076
 Cedimento minimo = -0.03 cm in Cmb n° 065

Cmb	Sismico n°	Nodo daN/cm ^q	Car.Netto mm	Cedimenti n°	Nodo daN/cm ^q	Car.Netto mm	Cedimenti n°	Nodo daN/cm ^q	Car.Netto mm	Cedimenti
065/SLD	Si	78	-0,045	-0,26	79	-0,046	-0,26	59	-0,051	-0,41
	58	-0,050	-0,40							
076/SLE rare	No	78	-0,089	-0,69	79	-0,090	-0,70	59	-0,088	-1,07
	58	-0,087	-1,07							

ELEMENTO : PLATEA N° 51

Cmb n°	Tipologia	Sismica daN/cm ^q	Press. N1 daN/cm ^q	Press. N2 daN/cm ^q	Press. N3 daN/cm ^q	Press. N4 daN	S. Taglio X daN	S. Taglio Y
059	SLD	Si	-0,065	-0,064	-0,069	-0,070	-8,1	27,3
076	SLE rare	No	-0,109	-0,108	-0,106	-0,107	0,0	0,0

Cedimento massimo = -0.11 cm in Cmb n° 076
 Cedimento minimo = -0.03 cm in Cmb n° 059

Cmb	Sismico n°	Nodo daN/cm ^q	Car.Netto mm	Cedimenti n°	Nodo daN/cm ^q	Car.Netto mm	Cedimenti n°	Nodo daN/cm ^q	Car.Netto mm	Cedimenti
059/SLD	Si	79	-0,046	-0,26	80	-0,045	-0,26	60	-0,050	-0,40
	59	-0,051	-0,41							
076/SLE rare	No	79	-0,090	-0,70	80	-0,089	-0,69	60	-0,087	-1,07
	59	-0,088	-1,07							

ELEMENTO : PLATEA N° 52

Cmb n°	Tipologia	Sismica daN/cm ^q	Press. N1 daN/cm ^q	Press. N2 daN/cm ^q	Press. N3 daN/cm ^q	Press. N4 daN	S. Taglio X daN	S. Taglio Y
059	SLD	Si	-0,064	-0,064	-0,068	-0,069	-8,1	28,8
076	SLE rare	No	-0,108	-0,107	-0,106	-0,106	0,0	0,0

Cedimento massimo = -0.11 cm in Cmb n° 076
 Cedimento minimo = -0.03 cm in Cmb n° 059

Cmb	Sismico n°	Nodo daN/cm ^q	Car.Netto mm	Cedimenti n°	Nodo daN/cm ^q	Car.Netto mm	Cedimenti n°	Nodo daN/cm ^q	Car.Netto mm	Cedimenti
059/SLD	Si	80	-0,045	-0,26	81	-0,045	-0,26	61	-0,049	-0,40
	60	-0,050	-0,40							
076/SLE rare	No	80	-0,089	-0,69	81	-0,088	-0,69	61	-0,087	-1,06
	60	-0,087	-1,07							

ELEMENTO : PLATEA N° 53

Cmb n°	Tipologia	Sismica daN/cm ^q	Press. N1 daN/cm ^q	Press. N2 daN/cm ^q	Press. N3 daN/cm ^q	Press. N4 daN	S. Taglio X daN	S. Taglio Y
057	SLD	Si	-0,064	-0,063	-0,068	-0,068	12,3	30,5
076	SLE rare	No	-0,107	-0,107	-0,106	-0,106	0,0	0,0

Cedimento massimo = -0.11 cm in Cmb n° 076
 Cedimento minimo = -0.03 cm in Cmb n° 057

Cmb	Sismico <i>n°</i>	Nodo <i>daN/cmq</i>	Car.Netto <i>mm</i>	Cedimenti <i>n°</i>	Nodo <i>daN/cmq</i>	Car.Netto <i>mm</i>	Cedimenti <i>n°</i>	Nodo <i>daN/cmq</i>	Car.Netto <i>mm</i>	Cedimenti
057/SLD	Si	81	-0,045	-0,26	82	-0,044	-0,25	62	-0,049	-0,40
	61	-0,049	-0,40							
076/SLE rare	No	81	-0,088	-0,69	82	-0,088	-0,69	62	-0,087	-1,07
	61	-0,087	-1,06							

ELEMENTO : PLATEA N° 54

Cmb <i>n°</i>	Tipologia	Sismica <i>daN/cmq</i>	Press. N1 <i>daN/cmq</i>	Press. N2 <i>daN/cmq</i>	Press. N3 <i>daN/cmq</i>	Press. N4 <i>daN</i>	S. Taglio X <i>daN</i>	S. Taglio Y
057	SLD	Si	-0,063	-0,064	-0,069	-0,068	12,4	32,3
076	SLE rare	No	-0,107	-0,108	-0,107	-0,106	0,0	0,0

Cedimento massimo = -0.11 cm in Cmb n° 076
 Cedimento minimo = -0.03 cm in Cmb n° 057

Cmb	Sismico <i>n°</i>	Nodo <i>daN/cmq</i>	Car.Netto <i>mm</i>	Cedimenti <i>n°</i>	Nodo <i>daN/cmq</i>	Car.Netto <i>mm</i>	Cedimenti <i>n°</i>	Nodo <i>daN/cmq</i>	Car.Netto <i>mm</i>	Cedimenti
057/SLD	Si	82	-0,044	-0,25	83	-0,045	-0,25	63	-0,050	-0,40
	62	-0,049	-0,40							
076/SLE rare	No	82	-0,088	-0,69	83	-0,089	-0,70	63	-0,088	-1,07
	62	-0,087	-1,07							

ELEMENTO : PLATEA N° 55

Cmb <i>n°</i>	Tipologia	Sismica <i>daN/cmq</i>	Press. N1 <i>daN/cmq</i>	Press. N2 <i>daN/cmq</i>	Press. N3 <i>daN/cmq</i>	Press. N4 <i>daN</i>	S. Taglio X <i>daN</i>	S. Taglio Y
057	SLD	Si	-0,064	-0,064	-0,069	-0,069	12,5	34,2
076	SLE rare	No	-0,108	-0,109	-0,107	-0,107	0,0	0,0

Cedimento massimo = -0.11 cm in Cmb n° 076
 Cedimento minimo = -0.03 cm in Cmb n° 057

Cmb	Sismico <i>n°</i>	Nodo <i>daN/cmq</i>	Car.Netto <i>mm</i>	Cedimenti <i>n°</i>	Nodo <i>daN/cmq</i>	Car.Netto <i>mm</i>	Cedimenti <i>n°</i>	Nodo <i>daN/cmq</i>	Car.Netto <i>mm</i>	Cedimenti
057/SLD	Si	83	-0,045	-0,25	84	-0,045	-0,25	64	-0,050	-0,40
	63	-0,050	-0,40							
076/SLE rare	No	83	-0,089	-0,70	84	-0,090	-0,70	64	-0,088	-1,07
	63	-0,088	-1,07							

ELEMENTO : PLATEA N° 56

Cmb <i>n°</i>	Tipologia	Sismica <i>daN/cmq</i>	Press. N1 <i>daN/cmq</i>	Press. N2 <i>daN/cmq</i>	Press. N3 <i>daN/cmq</i>	Press. N4 <i>daN</i>	S. Taglio X <i>daN</i>	S. Taglio Y
059	SLD	Si	-0,064	-0,062	-0,068	-0,069	-7,9	36,0
076	SLE rare	No	-0,109	-0,108	-0,106	-0,107	0,0	0,0

Cedimento massimo = -0.11 cm in Cmb n° 076
 Cedimento minimo = -0.02 cm in Cmb n° 059

Cmb	Sismico <i>n°</i>	Nodo <i>daN/cmq</i>	Car.Netto <i>mm</i>	Cedimenti <i>n°</i>	Nodo <i>daN/cmq</i>	Car.Netto <i>mm</i>	Cedimenti <i>n°</i>	Nodo <i>daN/cmq</i>	Car.Netto <i>mm</i>	Cedimenti
059/SLD	Si	84	-0,045	-0,25	85	-0,043	-0,25	65	-0,049	-0,40
	64	-0,050	-0,40							
076/SLE rare	No	84	-0,090	-0,70	85	-0,089	-0,69	65	-0,087	-1,06
	64	-0,088	-1,07							

ELEMENTO : PLATEA N° 57

Cmb <i>n°</i>	Tipologia	Sismica <i>daN/cmq</i>	Press. N1 <i>daN/cmq</i>	Press. N2 <i>daN/cmq</i>	Press. N3 <i>daN/cmq</i>	Press. N4 <i>daN</i>	S. Taglio X <i>daN</i>	S. Taglio Y
059	SLD	Si	-0,062	-0,060	-0,066	-0,068	-7,9	38,0
076	SLE rare	No	-0,108	-0,105	-0,104	-0,106	0,0	0,0

Cedimento massimo = -0.11 cm in Cmb n° 076
 Cedimento minimo = -0.02 cm in Cmb n° 059

Cmb	Sismico <i>n°</i>	Nodo <i>daN/cmq</i>	Car.Netto <i>mm</i>	Cedimenti <i>n°</i>	Nodo <i>daN/cmq</i>	Car.Netto <i>mm</i>	Cedimenti <i>n°</i>	Nodo <i>daN/cmq</i>	Car.Netto <i>mm</i>	Cedimenti
059/SLD	Si	85	-0,043	-0,25	86	-0,041	-0,24	66	-0,047	-0,39
	65	-0,049	-0,40							
076/SLE rare	No	85	-0,089	-0,69	86	-0,086	-0,68	66	-0,085	-0,93

65 -0,087 -1,06

ELEMENTO : PLATEA N° 58

Cmb n°	Tipologia	Sismica daN/cm ^q	Press. N1 daN/cm ^q	Press. N2 daN/cm ^q	Press. N3 daN/cm ^q	Press. N4 daN	S. Taglio X daN	S. Taglio Y
059	SLD	Si	-0,060	-0,059	-0,066	-0,066	-7,8	40,0
076	SLE rare	No	-0,105	-0,105	-0,104	-0,104	0,0	0,0

Cedimento massimo = -0.09 cm in Cmb n° 076
 Cedimento minimo = -0.02 cm in Cmb n° 059

Cmb	Sismico n°	Nodo daN/cm ^q	Car.Netto mm	Cedimenti n°	Nodo daN/cm ^q	Car.Netto mm	Cedimenti n°	Nodo daN/cm ^q	Car.Netto mm	Cedimenti
059/SLD	Si	86	-0,041	-0,24	87	-0,040	-0,18	67	-0,047	-0,38
	66	-0,047	-0,39							
076/SLE rare	No	86	-0,086	-0,68	87	-0,086	-0,67	67	-0,085	-0,92
	66	-0,085	-0,93							

ELEMENTO : PLATEA N° 59

Cmb n°	Tipologia	Sismica daN/cm ^q	Press. N1 daN/cm ^q	Press. N2 daN/cm ^q	Press. N3 daN/cm ^q	Press. N4 daN	S. Taglio X daN	S. Taglio Y
059	SLD	Si	-0,059	-0,059	-0,066	-0,066	-7,8	42,2
076	SLE rare	No	-0,105	-0,108	-0,106	-0,104	0,0	0,0

Cedimento massimo = -0.09 cm in Cmb n° 076
 Cedimento minimo = -0.02 cm in Cmb n° 059

Cmb	Sismico n°	Nodo daN/cm ^q	Car.Netto mm	Cedimenti n°	Nodo daN/cm ^q	Car.Netto mm	Cedimenti n°	Nodo daN/cm ^q	Car.Netto mm	Cedimenti
059/SLD	Si	87	-0,040	-0,18	88	-0,040	-0,17	68	-0,047	-0,30
	67	-0,047	-0,38							
076/SLE rare	No	87	-0,086	-0,67	88	-0,089	-0,57	68	-0,087	-0,88
	67	-0,085	-0,92							

ELEMENTO : PLATEA N° 60

Cmb n°	Tipologia	Sismica daN/cm ^q	Press. N1 daN/cm ^q	Press. N2 daN/cm ^q	Press. N3 daN/cm ^q	Press. N4 daN	S. Taglio X daN	S. Taglio Y
059	SLD	Si	-0,059	-0,059	-0,068	-0,066	-7,8	44,4
076	SLE rare	No	-0,108	-0,112	-0,110	-0,106	0,0	0,0

Cedimento massimo = -0.09 cm in Cmb n° 076
 Cedimento minimo = -0.01 cm in Cmb n° 059

Cmb	Sismico n°	Nodo daN/cm ^q	Car.Netto mm	Cedimenti n°	Nodo daN/cm ^q	Car.Netto mm	Cedimenti n°	Nodo daN/cm ^q	Car.Netto mm	Cedimenti
059/SLD	Si	88	-0,040	-0,17	8	-0,040	-0,06	69	-0,049	-0,12
	68	-0,047	-0,30							
076/SLE rare	No	88	-0,089	-0,57	8	-0,093	-0,26	69	-0,091	-0,29
	68	-0,087	-0,88							

ELEMENTO : PLATEA N° 61

Cmb n°	Tipologia	Sismica daN/cm ^q	Press. N1 daN/cm ^q	Press. N2 daN/cm ^q	Press. N3 daN/cm ^q	Press. N4 daN	S. Taglio X daN	S. Taglio Y
041	SLD	Si	-0,069	-0,070	-0,071	-0,070	12,5	2,0
076	SLE rare	No	-0,111	-0,107	-0,107	-0,112	0,0	0,0

Cedimento massimo = -0.06 cm in Cmb n° 076
 Cedimento minimo = 0.00 cm in Cmb n° 041

Cmb	Sismico n°	Nodo daN/cm ^q	Car.Netto mm	Cedimenti n°	Nodo daN/cm ^q	Car.Netto mm	Cedimenti n°	Nodo daN/cm ^q	Car.Netto mm	Cedimenti
041/SLD	Si	6	-0,050	-0,08	9	-0,051	-0,28	89	-0,052	-0,13
	1	-0,051	-0,02							
076/SLE rare	No	6	-0,092	-0,26	9	-0,088	-0,57	89	-0,088	-0,28
	1	-0,093	-0,08							

ELEMENTO : PLATEA N° 62

Cmb n°	Tipologia	Sismica daN/cm ^q	Press. N1 daN/cm ^q	Press. N2 daN/cm ^q	Press. N3 daN/cm ^q	Press. N4 daN	S. Taglio X daN	S. Taglio Y
066	SLD	Si	-0,058	-0,058	-0,055	-0,055	2,3	-15,9

076 SLE rare No -0,107 -0,105 -0,105 -0,107 0,0 0,0

Cedimento massimo = -0.07 cm in Cmb n° 076
 Cedimento minimo = -0.01 cm in Cmb n° 066

Cmb	Sismico n°	Nodo daN/cm ^q	Car.Netto mm	Cedimenti n°	Nodo daN/cm ^q	Car.Netto mm	Cedimenti n°	Nodo daN/cm ^q	Car.Netto mm	Cedimenti
066/SLD	Si	9	-0,039	-0,17	12	-0,039	-0,18	90	-0,036	-0,16
	89	-0,036	-0,06							
076/SLE rare	No	9	-0,088	-0,57	12	-0,086	-0,67	90	-0,086	-0,28
	89	-0,088	-0,28							

ELEMENTO : PLATEA N° 63

Cmb n°	Tipologia	Sismica daN/cm ^q	Press. N1 daN/cm ^q	Press. N2 daN/cm ^q	Press. N3 daN/cm ^q	Press. N4 daN	S. Taglio X daN	S. Taglio Y
046	SLD	Si	-0,065	-0,066	-0,066	-0,064	12,3	-4,6
076	SLE rare	No	-0,105	-0,105	-0,105	-0,105	0,0	0,0

Cedimento massimo = -0.07 cm in Cmb n° 076
 Cedimento minimo = -0.01 cm in Cmb n° 046

Cmb	Sismico n°	Nodo daN/cm ^q	Car.Netto mm	Cedimenti n°	Nodo daN/cm ^q	Car.Netto mm	Cedimenti n°	Nodo daN/cm ^q	Car.Netto mm	Cedimenti
046/SLD	Si	12	-0,046	-0,26	14	-0,047	-0,27	91	-0,047	-0,12
	90	-0,045	-0,08							
076/SLE rare	No	12	-0,086	-0,67	14	-0,086	-0,67	91	-0,086	-0,36
	90	-0,086	-0,28							

ELEMENTO : PLATEA N° 64

Cmb n°	Tipologia	Sismica daN/cm ^q	Press. N1 daN/cm ^q	Press. N2 daN/cm ^q	Press. N3 daN/cm ^q	Press. N4 daN	S. Taglio X daN	S. Taglio Y
046	SLD	Si	-0,066	-0,068	-0,068	-0,066	12,4	-4,4
076	SLE rare	No	-0,105	-0,107	-0,108	-0,105	0,0	0,0

Cedimento massimo = -0.07 cm in Cmb n° 076
 Cedimento minimo = -0.01 cm in Cmb n° 046

Cmb	Sismico n°	Nodo daN/cm ^q	Car.Netto mm	Cedimenti n°	Nodo daN/cm ^q	Car.Netto mm	Cedimenti n°	Nodo daN/cm ^q	Car.Netto mm	Cedimenti
046/SLD	Si	14	-0,047	-0,27	16	-0,049	-0,28	92	-0,049	-0,12
	91	-0,047	-0,12							
076/SLE rare	No	14	-0,086	-0,67	16	-0,088	-0,69	92	-0,089	-0,36
	91	-0,086	-0,36							

ELEMENTO : PLATEA N° 65

Cmb n°	Tipologia	Sismica daN/cm ^q	Press. N1 daN/cm ^q	Press. N2 daN/cm ^q	Press. N3 daN/cm ^q	Press. N4 daN	S. Taglio X daN	S. Taglio Y
046	SLD	Si	-0,068	-0,070	-0,070	-0,068	12,4	-4,2
076	SLE rare	No	-0,107	-0,109	-0,110	-0,108	0,0	0,0

Cedimento massimo = -0.07 cm in Cmb n° 076
 Cedimento minimo = -0.01 cm in Cmb n° 046

Cmb	Sismico n°	Nodo daN/cm ^q	Car.Netto mm	Cedimenti n°	Nodo daN/cm ^q	Car.Netto mm	Cedimenti n°	Nodo daN/cm ^q	Car.Netto mm	Cedimenti
046/SLD	Si	16	-0,049	-0,28	18	-0,051	-0,29	93	-0,051	-0,13
	92	-0,049	-0,12							
076/SLE rare	No	16	-0,088	-0,69	18	-0,090	-0,70	93	-0,091	-0,37
	92	-0,089	-0,36							

ELEMENTO : PLATEA N° 66

Cmb n°	Tipologia	Sismica daN/cm ^q	Press. N1 daN/cm ^q	Press. N2 daN/cm ^q	Press. N3 daN/cm ^q	Press. N4 daN	S. Taglio X daN	S. Taglio Y
048	SLD	Si	-0,070	-0,069	-0,069	-0,070	-13,2	-3,8
076	SLE rare	No	-0,109	-0,108	-0,109	-0,110	0,0	0,0

Cedimento massimo = -0.07 cm in Cmb n° 076
 Cedimento minimo = -0.01 cm in Cmb n° 048

Cmb	Sismico n°	Nodo daN/cm ^q	Car.Netto mm	Cedimenti n°	Nodo daN/cm ^q	Car.Netto mm	Cedimenti n°	Nodo daN/cm ^q	Car.Netto mm	Cedimenti
-----	---------------	-----------------------------	-----------------	-----------------	-----------------------------	-----------------	-----------------	-----------------------------	-----------------	-----------

048/SLD	Si	18	-0,051	-0,29	20	-0,050	-0,28	94	-0,050	-0,12
	93		-0,051	-0,13						
076/SLE rare	No	18	-0,090	-0,70	20	-0,089	-0,69	94	-0,090	-0,37
	93		-0,091	-0,37						

ELEMENTO : PLATEA N° 67

Cmb n°	Tipologia	Sismica daN/cm ^q	Press. N1 daN/cm ^q	Press. N2 daN/cm ^q	Press. N3 daN/cm ^q	Press. N4 daN	S. Taglio X daN	S. Taglio Y
048	SLD	Si	-0,069	-0,069	-0,068	-0,069	-13,2	-3,6
076	SLE rare	No	-0,108	-0,106	-0,107	-0,109	0,0	0,0

Cedimento massimo = -0.07 cm in Cmb n° 076
 Cedimento minimo = -0.01 cm in Cmb n° 048

Cmb	Sismico n°	Nodo daN/cm ^q	Car.Netto mm	Cedimenti n°	Nodo daN/cm ^q	Car.Netto mm	Cedimenti n°	Nodo daN/cm ^q	Car.Netto mm	Cedimenti
048/SLD	Si	20	-0,050	-0,28	22	-0,050	-0,28	95	-0,049	-0,12
	94		-0,050	-0,12						
076/SLE rare	No	20	-0,089	-0,69	22	-0,087	-0,69	95	-0,088	-0,36
	94		-0,090	-0,37						

ELEMENTO : PLATEA N° 68

Cmb n°	Tipologia	Sismica daN/cm ^q	Press. N1 daN/cm ^q	Press. N2 daN/cm ^q	Press. N3 daN/cm ^q	Press. N4 daN	S. Taglio X daN	S. Taglio Y
048	SLD	Si	-0,069	-0,069	-0,069	-0,068	-13,2	-3,4
076	SLE rare	No	-0,106	-0,106	-0,107	-0,107	0,0	0,0

Cedimento massimo = -0.07 cm in Cmb n° 076
 Cedimento minimo = -0.01 cm in Cmb n° 048

Cmb	Sismico n°	Nodo daN/cm ^q	Car.Netto mm	Cedimenti n°	Nodo daN/cm ^q	Car.Netto mm	Cedimenti n°	Nodo daN/cm ^q	Car.Netto mm	Cedimenti
048/SLD	Si	22	-0,050	-0,28	24	-0,050	-0,28	96	-0,050	-0,12
	95		-0,049	-0,12						
076/SLE rare	No	22	-0,087	-0,69	24	-0,087	-0,68	96	-0,088	-0,36
	95		-0,088	-0,36						

ELEMENTO : PLATEA N° 69

Cmb n°	Tipologia	Sismica daN/cm ^q	Press. N1 daN/cm ^q	Press. N2 daN/cm ^q	Press. N3 daN/cm ^q	Press. N4 daN	S. Taglio X daN	S. Taglio Y
046	SLD	Si	-0,069	-0,069	-0,069	-0,068	12,4	-3,2
076	SLE rare	No	-0,106	-0,107	-0,108	-0,107	0,0	0,0

Cedimento massimo = -0.07 cm in Cmb n° 076
 Cedimento minimo = -0.01 cm in Cmb n° 046

Cmb	Sismico n°	Nodo daN/cm ^q	Car.Netto mm	Cedimenti n°	Nodo daN/cm ^q	Car.Netto mm	Cedimenti n°	Nodo daN/cm ^q	Car.Netto mm	Cedimenti
046/SLD	Si	24	-0,050	-0,28	26	-0,050	-0,28	97	-0,050	-0,13
	96		-0,049	-0,12						
076/SLE rare	No	24	-0,087	-0,68	26	-0,088	-0,69	97	-0,089	-0,37
	96		-0,088	-0,36						

ELEMENTO : PLATEA N° 70

Cmb n°	Tipologia	Sismica daN/cm ^q	Press. N1 daN/cm ^q	Press. N2 daN/cm ^q	Press. N3 daN/cm ^q	Press. N4 daN	S. Taglio X daN	S. Taglio Y
046	SLD	Si	-0,069	-0,070	-0,070	-0,069	12,4	-3,1
076	SLE rare	No	-0,107	-0,108	-0,109	-0,108	0,0	0,0

Cedimento massimo = -0.07 cm in Cmb n° 076
 Cedimento minimo = -0.01 cm in Cmb n° 046

Cmb	Sismico n°	Nodo daN/cm ^q	Car.Netto mm	Cedimenti n°	Nodo daN/cm ^q	Car.Netto mm	Cedimenti n°	Nodo daN/cm ^q	Car.Netto mm	Cedimenti
046/SLD	Si	26	-0,050	-0,28	28	-0,051	-0,29	98	-0,051	-0,13
	97		-0,050	-0,13						
076/SLE rare	No	26	-0,088	-0,69	28	-0,089	-0,70	98	-0,090	-0,37
	97		-0,089	-0,37						

ELEMENTO : PLATEA N° 71

Cmb n°	Tipologia	Sismica daN/cm ^q	Press. N1 daN/cm ^q	Press. N2 daN/cm ^q	Press. N3 daN/cm ^q	Press. N4 daN	S. Taglio X daN	S. Taglio Y
044	SLD	Si	-0,070	-0,069	-0,069	-0,070	-12,4	-3,1
076	SLE rare	No	-0,108	-0,107	-0,108	-0,109	0,0	0,0

Cedimento massimo = -0.07 cm in Cmb n° 076
 Cedimento minimo = -0.01 cm in Cmb n° 044

Cmb n°	Sismico n°	Nodo daN/cm ^q	Car.Netto mm	Cedimenti n°	Nodo daN/cm ^q	Car.Netto mm	Cedimenti n°	Nodo daN/cm ^q	Car.Netto mm	Cedimenti
044/SLD	Si	28	-0,051	-0,29	30	-0,050	-0,28	99	-0,050	-0,13
	98	-0,051	-0,13							
076/SLE rare	No	28	-0,089	-0,70	30	-0,088	-0,69	99	-0,089	-0,37
	98	-0,090	-0,37							

ELEMENTO : PLATEA N° 72

Cmb n°	Tipologia	Sismica daN/cm ^q	Press. N1 daN/cm ^q	Press. N2 daN/cm ^q	Press. N3 daN/cm ^q	Press. N4 daN	S. Taglio X daN	S. Taglio Y
044	SLD	Si	-0,069	-0,068	-0,068	-0,069	-12,4	-3,2
076	SLE rare	No	-0,107	-0,106	-0,107	-0,108	0,0	0,0

Cedimento massimo = -0.07 cm in Cmb n° 076
 Cedimento minimo = -0.01 cm in Cmb n° 044

Cmb n°	Sismico n°	Nodo daN/cm ^q	Car.Netto mm	Cedimenti n°	Nodo daN/cm ^q	Car.Netto mm	Cedimenti n°	Nodo daN/cm ^q	Car.Netto mm	Cedimenti
044/SLD	Si	30	-0,050	-0,28	32	-0,050	-0,28	100	-0,049	-0,12
	99	-0,050	-0,13							
076/SLE rare	No	30	-0,088	-0,69	32	-0,087	-0,68	100	-0,088	-0,36
	99	-0,089	-0,37							

ELEMENTO : PLATEA N° 73

Cmb n°	Tipologia	Sismica daN/cm ^q	Press. N1 daN/cm ^q	Press. N2 daN/cm ^q	Press. N3 daN/cm ^q	Press. N4 daN	S. Taglio X daN	S. Taglio Y
042	SLD	Si	-0,069	-0,069	-0,068	-0,069	13,2	-3,4
076	SLE rare	No	-0,106	-0,106	-0,107	-0,107	0,0	0,0

Cedimento massimo = -0.07 cm in Cmb n° 076
 Cedimento minimo = -0.01 cm in Cmb n° 042

Cmb n°	Sismico n°	Nodo daN/cm ^q	Car.Netto mm	Cedimenti n°	Nodo daN/cm ^q	Car.Netto mm	Cedimenti n°	Nodo daN/cm ^q	Car.Netto mm	Cedimenti
042/SLD	Si	32	-0,050	-0,28	34	-0,050	-0,28	101	-0,049	-0,12
	100	-0,050	-0,12							
076/SLE rare	No	32	-0,087	-0,68	34	-0,087	-0,69	101	-0,088	-0,36
	100	-0,088	-0,36							

ELEMENTO : PLATEA N° 74

Cmb n°	Tipologia	Sismica daN/cm ^q	Press. N1 daN/cm ^q	Press. N2 daN/cm ^q	Press. N3 daN/cm ^q	Press. N4 daN	S. Taglio X daN	S. Taglio Y
042	SLD	Si	-0,069	-0,069	-0,069	-0,068	13,2	-3,6
076	SLE rare	No	-0,106	-0,108	-0,109	-0,107	0,0	0,0

Cedimento massimo = -0.07 cm in Cmb n° 076
 Cedimento minimo = -0.01 cm in Cmb n° 042

Cmb n°	Sismico n°	Nodo daN/cm ^q	Car.Netto mm	Cedimenti n°	Nodo daN/cm ^q	Car.Netto mm	Cedimenti n°	Nodo daN/cm ^q	Car.Netto mm	Cedimenti
042/SLD	Si	34	-0,050	-0,28	36	-0,050	-0,28	102	-0,050	-0,12
	101	-0,049	-0,12							
076/SLE rare	No	34	-0,087	-0,69	36	-0,089	-0,69	102	-0,090	-0,37
	101	-0,088	-0,36							

ELEMENTO : PLATEA N° 75

Cmb n°	Tipologia	Sismica daN/cm ^q	Press. N1 daN/cm ^q	Press. N2 daN/cm ^q	Press. N3 daN/cm ^q	Press. N4 daN	S. Taglio X daN	S. Taglio Y
042	SLD	Si	-0,069	-0,070	-0,070	-0,069	13,2	-3,8
076	SLE rare	No	-0,108	-0,109	-0,110	-0,109	0,0	0,0

Cedimento massimo = -0.07 cm in Cmb n° 076

Cedimento minimo = -0.01 cm in Cmb n° 042

Cmb	Sismico n°	Nodo daN/cm ^q	Car.Netto mm	Cedimenti n°	Nodo daN/cm ^q	Car.Netto mm	Cedimenti n°	Nodo daN/cm ^q	Car.Netto mm	Cedimenti
042/SLD	Si	36	-0,050	-0,28	38	-0,051	-0,29	103	-0,051	-0,13
	102	-0,050	-0,12							
076/SLE rare	No	36	-0,089	-0,69	38	-0,090	-0,70	103	-0,091	-0,37
	102	-0,090	-0,37							

ELEMENTO : PLATEA N° 76

Cmb n°	Tipologia	Sismica daN/cm ^q	Press. N1 daN/cm ^q	Press. N2 daN/cm ^q	Press. N3 daN/cm ^q	Press. N4 daN	S. Taglio X daN	S. Taglio Y
044	SLD	Si	-0,070	-0,068	-0,068	-0,070	-12,4	-4,2
076	SLE rare	No	-0,109	-0,107	-0,108	-0,110	0,0	0,0

Cedimento massimo = -0.07 cm in Cmb n° 076

Cedimento minimo = -0.01 cm in Cmb n° 044

Cmb	Sismico n°	Nodo daN/cm ^q	Car.Netto mm	Cedimenti n°	Nodo daN/cm ^q	Car.Netto mm	Cedimenti n°	Nodo daN/cm ^q	Car.Netto mm	Cedimenti
044/SLD	Si	38	-0,051	-0,29	40	-0,049	-0,28	104	-0,049	-0,12
	103	-0,051	-0,13							
076/SLE rare	No	38	-0,090	-0,70	40	-0,088	-0,69	104	-0,089	-0,36
	103	-0,091	-0,37							

ELEMENTO : PLATEA N° 77

Cmb n°	Tipologia	Sismica daN/cm ^q	Press. N1 daN/cm ^q	Press. N2 daN/cm ^q	Press. N3 daN/cm ^q	Press. N4 daN	S. Taglio X daN	S. Taglio Y
044	SLD	Si	-0,068	-0,066	-0,066	-0,068	-12,4	-4,4
076	SLE rare	No	-0,107	-0,105	-0,105	-0,108	0,0	0,0

Cedimento massimo = -0.07 cm in Cmb n° 076

Cedimento minimo = -0.01 cm in Cmb n° 044

Cmb	Sismico n°	Nodo daN/cm ^q	Car.Netto mm	Cedimenti n°	Nodo daN/cm ^q	Car.Netto mm	Cedimenti n°	Nodo daN/cm ^q	Car.Netto mm	Cedimenti
044/SLD	Si	40	-0,049	-0,28	42	-0,047	-0,27	105	-0,047	-0,12
	104	-0,049	-0,12							
076/SLE rare	No	40	-0,088	-0,69	42	-0,086	-0,67	105	-0,086	-0,36
	104	-0,089	-0,36							

ELEMENTO : PLATEA N° 78

Cmb n°	Tipologia	Sismica daN/cm ^q	Press. N1 daN/cm ^q	Press. N2 daN/cm ^q	Press. N3 daN/cm ^q	Press. N4 daN	S. Taglio X daN	S. Taglio Y
044	SLD	Si	-0,066	-0,065	-0,064	-0,066	-12,3	-4,6
076	SLE rare	No	-0,105	-0,105	-0,105	-0,105	0,0	0,0

Cedimento massimo = -0.07 cm in Cmb n° 076

Cedimento minimo = -0.01 cm in Cmb n° 044

Cmb	Sismico n°	Nodo daN/cm ^q	Car.Netto mm	Cedimenti n°	Nodo daN/cm ^q	Car.Netto mm	Cedimenti n°	Nodo daN/cm ^q	Car.Netto mm	Cedimenti
044/SLD	Si	42	-0,047	-0,27	44	-0,046	-0,26	106	-0,045	-0,08
	105	-0,047	-0,12							
076/SLE rare	No	42	-0,086	-0,67	44	-0,086	-0,67	106	-0,086	-0,28
	105	-0,086	-0,36							

ELEMENTO : PLATEA N° 79

Cmb n°	Tipologia	Sismica daN/cm ^q	Press. N1 daN/cm ^q	Press. N2 daN/cm ^q	Press. N3 daN/cm ^q	Press. N4 daN	S. Taglio X daN	S. Taglio Y
060	SLD	Si	-0,058	-0,058	-0,055	-0,055	-2,3	-15,9
076	SLE rare	No	-0,105	-0,107	-0,107	-0,105	0,0	0,0

Cedimento massimo = -0.07 cm in Cmb n° 076

Cedimento minimo = -0.01 cm in Cmb n° 060

Cmb	Sismico n°	Nodo daN/cm ^q	Car.Netto mm	Cedimenti n°	Nodo daN/cm ^q	Car.Netto mm	Cedimenti n°	Nodo daN/cm ^q	Car.Netto mm	Cedimenti
060/SLD	Si	44	-0,039	-0,18	46	-0,039	-0,17	107	-0,036	-0,06
	106	-0,036	-0,16							

076/SLE rare	No	44	-0,086	-0,67	46	-0,088	-0,57	107	-0,088	-0,28
	106	-0,086	-0,28							

ELEMENTO : PLATEA N° 80

Cmb n°	Tipologia	Sismica daN/cm ^q	Press. N1 daN/cm ^q	Press. N2 daN/cm ^q	Press. N3 daN/cm ^q	Press. N4 daN	S. Taglio X daN	S. Taglio Y daN
047	SLD	Si	-0,070	-0,069	-0,070	-0,071	-12,5	2,0
076	SLE rare	No	-0,107	-0,111	-0,112	-0,107	0,0	0,0

Cedimento massimo = -0.06 cm in Cmb n° 076

Cedimento minimo = 0.00 cm in Cmb n° 047

Cmb n°	Sismico n°	Nodo daN/cm ^q	Car.Netto mm	Cedimenti n°	Nodo daN/cm ^q	Car.Netto mm	Cedimenti n°	Nodo daN/cm ^q	Car.Netto mm	Cedimenti n°
047/SLD	Si	46	-0,051	-0,28	7	-0,050	-0,08	4	-0,051	-0,02
	107	-0,052	-0,13							
076/SLE rare	No	46	-0,088	-0,57	7	-0,092	-0,26	4	-0,093	-0,08
	107	-0,088	-0,28							

ELEMENTO : PLATEA N° 81

Cmb n°	Tipologia	Sismica daN/cm ^q	Press. N1 daN/cm ^q	Press. N2 daN/cm ^q	Press. N3 daN/cm ^q	Press. N4 daN	S. Taglio X daN	S. Taglio Y daN
042	SLD	Si	-0,071	-0,072	-0,071	-0,070	12,5	-2,1
076	SLE rare	No	-0,113	-0,108	-0,108	-0,112	0,0	0,0

Cedimento massimo = -0.06 cm in Cmb n° 076

Cedimento minimo = 0.00 cm in Cmb n° 042

Cmb n°	Sismico n°	Nodo daN/cm ^q	Car.Netto mm	Cedimenti n°	Nodo daN/cm ^q	Car.Netto mm	Cedimenti n°	Nodo daN/cm ^q	Car.Netto mm	Cedimenti n°
042/SLD	Si	3	-0,052	-0,02	108	-0,053	-0,13	70	-0,052	-0,28
	5	-0,051	-0,08							
076/SLE rare	No	3	-0,094	-0,08	108	-0,089	-0,28	70	-0,089	-0,57
	5	-0,093	-0,26							

ELEMENTO : PLATEA N° 82

Cmb n°	Tipologia	Sismica daN/cm ^q	Press. N1 daN/cm ^q	Press. N2 daN/cm ^q	Press. N3 daN/cm ^q	Press. N4 daN	S. Taglio X daN	S. Taglio Y daN
065	SLD	Si	-0,056	-0,056	-0,059	-0,059	2,3	15,8
076	SLE rare	No	-0,108	-0,105	-0,105	-0,108	0,0	0,0

Cedimento massimo = -0.07 cm in Cmb n° 076

Cedimento minimo = -0.01 cm in Cmb n° 065

Cmb n°	Sismico n°	Nodo daN/cm ^q	Car.Netto mm	Cedimenti n°	Nodo daN/cm ^q	Car.Netto mm	Cedimenti n°	Nodo daN/cm ^q	Car.Netto mm	Cedimenti n°
065/SLD	Si	108	-0,037	-0,06	109	-0,037	-0,13	71	-0,040	-0,18
	70	-0,040	-0,17							
076/SLE rare	No	108	-0,089	-0,28	109	-0,086	-0,35	71	-0,086	-0,67
	70	-0,089	-0,57							

ELEMENTO : PLATEA N° 83

Cmb n°	Tipologia	Sismica daN/cm ^q	Press. N1 daN/cm ^q	Press. N2 daN/cm ^q	Press. N3 daN/cm ^q	Press. N4 daN	S. Taglio X daN	S. Taglio Y daN
057	SLD	Si	-0,061	-0,062	-0,063	-0,063	5,0	6,8
076	SLE rare	No	-0,105	-0,106	-0,105	-0,105	0,0	0,0

Cedimento massimo = -0.07 cm in Cmb n° 076

Cedimento minimo = -0.01 cm in Cmb n° 057

Cmb n°	Sismico n°	Nodo daN/cm ^q	Car.Netto mm	Cedimenti n°	Nodo daN/cm ^q	Car.Netto mm	Cedimenti n°	Nodo daN/cm ^q	Car.Netto mm	Cedimenti n°
057/SLD	Si	109	-0,042	-0,11	110	-0,043	-0,15	72	-0,044	-0,25
	71	-0,044	-0,25							
076/SLE rare	No	109	-0,086	-0,35	110	-0,087	-0,36	72	-0,086	-0,68
	71	-0,086	-0,67							

ELEMENTO : PLATEA N° 84

Cmb n°	Tipologia	Sismica daN/cm ^q	Press. N1 daN/cm ^q	Press. N2 daN/cm ^q	Press. N3 daN/cm ^q	Press. N4 daN	S. Taglio X daN	S. Taglio Y daN
--------	-----------	-----------------------------	-------------------------------	-------------------------------	-------------------------------	---------------	-----------------	-----------------

045	SLD	Si	-0,066	-0,069	-0,069	-0,067	12,3	4,2
076	SLE rare	No	-0,106	-0,108	-0,108	-0,105	0,0	0,0

Cedimento massimo = -0.07 cm in Cmb n° 076
 Cedimento minimo = -0.01 cm in Cmb n° 045

Cmb	Sismico n°	Nodo daN/cm ²	Car.Netto mm	Cedimenti n°	Nodo daN/cm ²	Car.Netto mm	Cedimenti n°	Nodo daN/cm ²	Car.Netto mm	Cedimenti
045/SLD	Si	110	-0,047	-0,12	111	-0,050	-0,12	73	-0,050	-0,28
	72	-0,048	-0,27							
076/SLE rare	No	110	-0,087	-0,36	111	-0,089	-0,37	73	-0,089	-0,69
	72	-0,086	-0,68							

ELEMENTO : PLATEA N° 85

Cmb n°	Tipologia	Sismica daN/cm ²	Press. N1 daN/cm ²	Press. N2 daN/cm ²	Press. N3 daN/cm ²	Press. N4 daN	S. Taglio X daN	S. Taglio Y
045	SLD	Si	-0,069	-0,071	-0,071	-0,069	12,3	4,0
076	SLE rare	No	-0,108	-0,110	-0,109	-0,108	0,0	0,0

Cedimento massimo = -0.07 cm in Cmb n° 076
 Cedimento minimo = -0.01 cm in Cmb n° 045

Cmb	Sismico n°	Nodo daN/cm ²	Car.Netto mm	Cedimenti n°	Nodo daN/cm ²	Car.Netto mm	Cedimenti n°	Nodo daN/cm ²	Car.Netto mm	Cedimenti
045/SLD	Si	111	-0,050	-0,12	112	-0,052	-0,13	74	-0,052	-0,29
	73	-0,050	-0,28							
076/SLE rare	No	111	-0,089	-0,37	112	-0,091	-0,37	74	-0,090	-0,70
	73	-0,089	-0,69							

ELEMENTO : PLATEA N° 86

Cmb n°	Tipologia	Sismica daN/cm ²	Press. N1 daN/cm ²	Press. N2 daN/cm ²	Press. N3 daN/cm ²	Press. N4 daN	S. Taglio X daN	S. Taglio Y
047	SLD	Si	-0,070	-0,069	-0,070	-0,071	-13,2	3,9
076	SLE rare	No	-0,110	-0,109	-0,108	-0,109	0,0	0,0

Cedimento massimo = -0.07 cm in Cmb n° 076
 Cedimento minimo = -0.01 cm in Cmb n° 047

Cmb	Sismico n°	Nodo daN/cm ²	Car.Netto mm	Cedimenti n°	Nodo daN/cm ²	Car.Netto mm	Cedimenti n°	Nodo daN/cm ²	Car.Netto mm	Cedimenti
047/SLD	Si	112	-0,051	-0,13	113	-0,050	-0,13	75	-0,051	-0,29
	74	-0,052	-0,29							
076/SLE rare	No	112	-0,091	-0,37	113	-0,090	-0,37	75	-0,089	-0,70
	74	-0,090	-0,70							

ELEMENTO : PLATEA N° 87

Cmb n°	Tipologia	Sismica daN/cm ²	Press. N1 daN/cm ²	Press. N2 daN/cm ²	Press. N3 daN/cm ²	Press. N4 daN	S. Taglio X daN	S. Taglio Y
047	SLD	Si	-0,069	-0,069	-0,069	-0,070	-13,2	3,7
076	SLE rare	No	-0,109	-0,107	-0,107	-0,108	0,0	0,0

Cedimento massimo = -0.07 cm in Cmb n° 076
 Cedimento minimo = -0.01 cm in Cmb n° 047

Cmb	Sismico n°	Nodo daN/cm ²	Car.Netto mm	Cedimenti n°	Nodo daN/cm ²	Car.Netto mm	Cedimenti n°	Nodo daN/cm ²	Car.Netto mm	Cedimenti
047/SLD	Si	113	-0,050	-0,13	114	-0,050	-0,13	76	-0,050	-0,28
	75	-0,051	-0,29							
076/SLE rare	No	113	-0,090	-0,37	114	-0,088	-0,37	76	-0,088	-0,69
	75	-0,089	-0,70							

ELEMENTO : PLATEA N° 88

Cmb n°	Tipologia	Sismica daN/cm ²	Press. N1 daN/cm ²	Press. N2 daN/cm ²	Press. N3 daN/cm ²	Press. N4 daN	S. Taglio X daN	S. Taglio Y
047	SLD	Si	-0,069	-0,069	-0,069	-0,069	-13,1	3,5
076	SLE rare	No	-0,107	-0,107	-0,107	-0,107	0,0	0,0

Cedimento massimo = -0.07 cm in Cmb n° 076
 Cedimento minimo = -0.01 cm in Cmb n° 047

Cmb	Sismico	Nodo	Car.Netto	Cedimenti	Nodo	Car.Netto	Cedimenti	Nodo	Car.Netto	Cedimenti
-----	---------	------	-----------	-----------	------	-----------	-----------	------	-----------	-----------

	<i>n°</i>	<i>daN/cmq</i>	<i>mm</i>	<i>n°</i>	<i>daN/cmq</i>	<i>mm</i>	<i>n°</i>	<i>daN/cmq</i>	<i>mm</i>	
047/SLD	Si	114	-0,050	-0,13	115	-0,050	-0,13	77	-0,050	-0,29
	76	-0,050	-0,28							
076/SLE rare	No	114	-0,088	-0,37	115	-0,088	-0,36	77	-0,088	-0,69
	76	-0,088	-0,69							

ELEMENTO : PLATEA N° 89

Cmb <i>n°</i>	Tipologia	Sismica <i>daN/cmq</i>	Press. N1 <i>daN/cmq</i>	Press. N2 <i>daN/cmq</i>	Press. N3 <i>daN/cmq</i>	Press. N4 <i>daN</i>	S. Taglio X <i>daN</i>	S. Taglio Y
045	SLD	Si	-0,069	-0,070	-0,070	-0,069	12,3	3,2
076	SLE rare	No	-0,107	-0,109	-0,108	-0,107	0,0	0,0

Cedimento massimo = -0.07 cm in Cmb n° 076
 Cedimento minimo = -0.01 cm in Cmb n° 045

Cmb	Sismico <i>n°</i>	Nodo <i>daN/cmq</i>	Car.Netto <i>mm</i>	Cedimenti <i>n°</i>	Nodo <i>daN/cmq</i>	Car.Netto <i>mm</i>	Cedimenti <i>n°</i>	Nodo <i>daN/cmq</i>	Car.Netto <i>mm</i>	Cedimenti
045/SLD	Si	115	-0,050	-0,13	116	-0,051	-0,13	78	-0,051	-0,29
	77	-0,050	-0,28							
076/SLE rare	No	115	-0,088	-0,36	116	-0,090	-0,37	78	-0,089	-0,69
	77	-0,088	-0,69							

ELEMENTO : PLATEA N° 90

Cmb <i>n°</i>	Tipologia	Sismica <i>daN/cmq</i>	Press. N1 <i>daN/cmq</i>	Press. N2 <i>daN/cmq</i>	Press. N3 <i>daN/cmq</i>	Press. N4 <i>daN</i>	S. Taglio X <i>daN</i>	S. Taglio Y
045	SLD	Si	-0,070	-0,071	-0,071	-0,070	12,4	3,1
076	SLE rare	No	-0,109	-0,110	-0,109	-0,108	0,0	0,0

Cedimento massimo = -0.07 cm in Cmb n° 076
 Cedimento minimo = -0.01 cm in Cmb n° 045

Cmb	Sismico <i>n°</i>	Nodo <i>daN/cmq</i>	Car.Netto <i>mm</i>	Cedimenti <i>n°</i>	Nodo <i>daN/cmq</i>	Car.Netto <i>mm</i>	Cedimenti <i>n°</i>	Nodo <i>daN/cmq</i>	Car.Netto <i>mm</i>	Cedimenti
045/SLD	Si	116	-0,051	-0,13	117	-0,052	-0,13	79	-0,052	-0,29
	78	-0,051	-0,29							
076/SLE rare	No	116	-0,090	-0,37	117	-0,091	-0,37	79	-0,090	-0,70
	78	-0,089	-0,69							

ELEMENTO : PLATEA N° 91

Cmb <i>n°</i>	Tipologia	Sismica <i>daN/cmq</i>	Press. N1 <i>daN/cmq</i>	Press. N2 <i>daN/cmq</i>	Press. N3 <i>daN/cmq</i>	Press. N4 <i>daN</i>	S. Taglio X <i>daN</i>	S. Taglio Y
043	SLD	Si	-0,071	-0,070	-0,070	-0,071	-12,4	3,1
076	SLE rare	No	-0,110	-0,109	-0,108	-0,109	0,0	0,0

Cedimento massimo = -0.07 cm in Cmb n° 076
 Cedimento minimo = -0.01 cm in Cmb n° 043

Cmb	Sismico <i>n°</i>	Nodo <i>daN/cmq</i>	Car.Netto <i>mm</i>	Cedimenti <i>n°</i>	Nodo <i>daN/cmq</i>	Car.Netto <i>mm</i>	Cedimenti <i>n°</i>	Nodo <i>daN/cmq</i>	Car.Netto <i>mm</i>	Cedimenti
043/SLD	Si	117	-0,052	-0,13	118	-0,051	-0,13	80	-0,051	-0,29
	79	-0,052	-0,29							
076/SLE rare	No	117	-0,091	-0,37	118	-0,090	-0,37	80	-0,089	-0,69
	79	-0,090	-0,70							

ELEMENTO : PLATEA N° 92

Cmb <i>n°</i>	Tipologia	Sismica <i>daN/cmq</i>	Press. N1 <i>daN/cmq</i>	Press. N2 <i>daN/cmq</i>	Press. N3 <i>daN/cmq</i>	Press. N4 <i>daN</i>	S. Taglio X <i>daN</i>	S. Taglio Y
043	SLD	Si	-0,070	-0,069	-0,069	-0,070	-12,3	3,2
076	SLE rare	No	-0,109	-0,107	-0,107	-0,108	0,0	0,0

Cedimento massimo = -0.07 cm in Cmb n° 076
 Cedimento minimo = -0.01 cm in Cmb n° 043

Cmb	Sismico <i>n°</i>	Nodo <i>daN/cmq</i>	Car.Netto <i>mm</i>	Cedimenti <i>n°</i>	Nodo <i>daN/cmq</i>	Car.Netto <i>mm</i>	Cedimenti <i>n°</i>	Nodo <i>daN/cmq</i>	Car.Netto <i>mm</i>	Cedimenti
043/SLD	Si	118	-0,051	-0,13	119	-0,050	-0,13	81	-0,050	-0,28
	80	-0,051	-0,29							
076/SLE rare	No	118	-0,090	-0,37	119	-0,088	-0,36	81	-0,088	-0,69
	80	-0,089	-0,69							

ELEMENTO : PLATEA N° 93

Cmb n°	Tipologia	Sismica daN/cm ^q	Press. N1 daN/cm ^q	Press. N2 daN/cm ^q	Press. N3 daN/cm ^q	Press. N4 daN	S. Taglio X daN	S. Taglio Y
041	SLD	Si	-0,069	-0,069	-0,069	-0,069	13,1	3,5
076	SLE rare	No	-0,107	-0,107	-0,107	-0,107	0,0	0,0

Cedimento massimo = -0.07 cm in Cmb n° 076

Cedimento minimo = -0.01 cm in Cmb n° 041

Cmb	Sismico n°	Nodo daN/cm ^q	Car.Netto mm	Cedimenti n°	Nodo daN/cm ^q	Car.Netto mm	Cedimenti n°	Nodo daN/cm ^q	Car.Netto mm	Cedimenti
041/SLD	Si	119	-0,050	-0,13	120	-0,050	-0,13	82	-0,050	-0,28
	81	-0,050	-0,29							
076/SLE rare	No	119	-0,088	-0,36	120	-0,088	-0,37	82	-0,088	-0,69
	81	-0,088	-0,69							

ELEMENTO : PLATEA N° 94

Cmb n°	Tipologia	Sismica daN/cm ^q	Press. N1 daN/cm ^q	Press. N2 daN/cm ^q	Press. N3 daN/cm ^q	Press. N4 daN	S. Taglio X daN	S. Taglio Y
041	SLD	Si	-0,069	-0,069	-0,070	-0,069	13,2	3,7
076	SLE rare	No	-0,107	-0,109	-0,108	-0,107	0,0	0,0

Cedimento massimo = -0.07 cm in Cmb n° 076

Cedimento minimo = -0.01 cm in Cmb n° 041

Cmb	Sismico n°	Nodo daN/cm ^q	Car.Netto mm	Cedimenti n°	Nodo daN/cm ^q	Car.Netto mm	Cedimenti n°	Nodo daN/cm ^q	Car.Netto mm	Cedimenti
041/SLD	Si	120	-0,050	-0,13	121	-0,050	-0,13	83	-0,051	-0,29
	82	-0,050	-0,28							
076/SLE rare	No	120	-0,088	-0,37	121	-0,090	-0,37	83	-0,089	-0,70
	82	-0,088	-0,69							

ELEMENTO : PLATEA N° 95

Cmb n°	Tipologia	Sismica daN/cm ^q	Press. N1 daN/cm ^q	Press. N2 daN/cm ^q	Press. N3 daN/cm ^q	Press. N4 daN	S. Taglio X daN	S. Taglio Y
041	SLD	Si	-0,069	-0,070	-0,071	-0,070	13,2	3,9
076	SLE rare	No	-0,109	-0,110	-0,109	-0,108	0,0	0,0

Cedimento massimo = -0.07 cm in Cmb n° 076

Cedimento minimo = -0.01 cm in Cmb n° 041

Cmb	Sismico n°	Nodo daN/cm ^q	Car.Netto mm	Cedimenti n°	Nodo daN/cm ^q	Car.Netto mm	Cedimenti n°	Nodo daN/cm ^q	Car.Netto mm	Cedimenti
041/SLD	Si	121	-0,050	-0,13	122	-0,051	-0,13	84	-0,052	-0,29
	83	-0,051	-0,29							
076/SLE rare	No	121	-0,090	-0,37	122	-0,091	-0,37	84	-0,090	-0,70
	83	-0,089	-0,70							

ELEMENTO : PLATEA N° 96

Cmb n°	Tipologia	Sismica daN/cm ^q	Press. N1 daN/cm ^q	Press. N2 daN/cm ^q	Press. N3 daN/cm ^q	Press. N4 daN	S. Taglio X daN	S. Taglio Y
043	SLD	Si	-0,071	-0,069	-0,069	-0,071	-12,3	4,0
076	SLE rare	No	-0,110	-0,108	-0,108	-0,109	0,0	0,0

Cedimento massimo = -0.07 cm in Cmb n° 076

Cedimento minimo = -0.01 cm in Cmb n° 043

Cmb	Sismico n°	Nodo daN/cm ^q	Car.Netto mm	Cedimenti n°	Nodo daN/cm ^q	Car.Netto mm	Cedimenti n°	Nodo daN/cm ^q	Car.Netto mm	Cedimenti
043/SLD	Si	122	-0,052	-0,13	123	-0,050	-0,12	85	-0,050	-0,28
	84	-0,052	-0,29							
076/SLE rare	No	122	-0,091	-0,37	123	-0,089	-0,37	85	-0,089	-0,69
	84	-0,090	-0,70							

ELEMENTO : PLATEA N° 97

Cmb n°	Tipologia	Sismica daN/cm ^q	Press. N1 daN/cm ^q	Press. N2 daN/cm ^q	Press. N3 daN/cm ^q	Press. N4 daN	S. Taglio X daN	S. Taglio Y
043	SLD	Si	-0,069	-0,066	-0,067	-0,069	-12,3	4,2
076	SLE rare	No	-0,108	-0,106	-0,105	-0,108	0,0	0,0

Cedimento massimo = -0.07 cm in Cmb n° 076
 Cedimento minimo = -0.01 cm in Cmb n° 043

Cmb	Sismico n°	Nodo daN/cm ^q	Car.Netto mm	Cedimenti n°	Nodo daN/cm ^q	Car.Netto mm	Cedimenti n°	Nodo daN/cm ^q	Car.Netto mm	Cedimenti
043/SLD	Si	123	-0,050	-0,12	124	-0,047	-0,12	86	-0,048	-0,27
	85	-0,050	-0,28							
076/SLE rare	No	123	-0,089	-0,37	124	-0,087	-0,36	86	-0,086	-0,68
	85	-0,089	-0,69							

ELEMENTO : PLATEA N° 98

Cmb n°	Tipologia	Sismica daN/cm ^q	Press. N1 daN/cm ^q	Press. N2 daN/cm ^q	Press. N3 daN/cm ^q	Press. N4 daN	S. Taglio X daN	S. Taglio Y
067	SLD	Si	-0,062	-0,061	-0,063	-0,063	-5,0	6,8
076	SLE rare	No	-0,106	-0,105	-0,105	-0,105	0,0	0,0

Cedimento massimo = -0.07 cm in Cmb n° 076
 Cedimento minimo = -0.01 cm in Cmb n° 067

Cmb	Sismico n°	Nodo daN/cm ^q	Car.Netto mm	Cedimenti n°	Nodo daN/cm ^q	Car.Netto mm	Cedimenti n°	Nodo daN/cm ^q	Car.Netto mm	Cedimenti
067/SLD	Si	124	-0,043	-0,15	125	-0,042	-0,11	87	-0,044	-0,25
	86	-0,044	-0,25							
076/SLE rare	No	124	-0,087	-0,36	125	-0,086	-0,35	87	-0,086	-0,67
	86	-0,086	-0,68							

ELEMENTO : PLATEA N° 99

Cmb n°	Tipologia	Sismica daN/cm ^q	Press. N1 daN/cm ^q	Press. N2 daN/cm ^q	Press. N3 daN/cm ^q	Press. N4 daN	S. Taglio X daN	S. Taglio Y
059	SLD	Si	-0,056	-0,056	-0,059	-0,059	-2,3	15,8
076	SLE rare	No	-0,105	-0,108	-0,108	-0,105	0,0	0,0

Cedimento massimo = -0.07 cm in Cmb n° 076
 Cedimento minimo = -0.01 cm in Cmb n° 059

Cmb	Sismico n°	Nodo daN/cm ^q	Car.Netto mm	Cedimenti n°	Nodo daN/cm ^q	Car.Netto mm	Cedimenti n°	Nodo daN/cm ^q	Car.Netto mm	Cedimenti
059/SLD	Si	125	-0,037	-0,13	126	-0,037	-0,06	88	-0,040	-0,17
	87	-0,040	-0,18							
076/SLE rare	No	125	-0,086	-0,35	126	-0,089	-0,28	88	-0,089	-0,57
	87	-0,086	-0,67							

ELEMENTO : PLATEA N° 100

Cmb n°	Tipologia	Sismica daN/cm ^q	Press. N1 daN/cm ^q	Press. N2 daN/cm ^q	Press. N3 daN/cm ^q	Press. N4 daN	S. Taglio X daN	S. Taglio Y
048	SLD	Si	-0,072	-0,071	-0,070	-0,071	-12,5	-2,1
076	SLE rare	No	-0,108	-0,113	-0,112	-0,108	0,0	0,0

Cedimento massimo = -0.06 cm in Cmb n° 076
 Cedimento minimo = 0.00 cm in Cmb n° 048

Cmb	Sismico n°	Nodo daN/cm ^q	Car.Netto mm	Cedimenti n°	Nodo daN/cm ^q	Car.Netto mm	Cedimenti n°	Nodo daN/cm ^q	Car.Netto mm	Cedimenti
048/SLD	Si	126	-0,053	-0,13	2	-0,052	-0,02	8	-0,051	-0,08
	88	-0,052	-0,28							
076/SLE rare	No	126	-0,089	-0,28	2	-0,094	-0,08	8	-0,093	-0,26
	88	-0,089	-0,57							